



## การกำจัดสีย้อมโดยใช้แร่ดินมอนต์morilloniteดัดแปลงด้วยไอโคโซน

ทรงศักดิ์ สาระแก้ว

วิทยานิพนธ์นี้เป็นส่วนหนึ่งของการศึกษาตามหลักสูตรปริญญาวิศวกรรมศาสตรมหาบัณฑิต

สาขาวิชาวิศวกรรมสิ่งแวดล้อม คณะวิศวกรรมศาสตร์

มหาวิทยาลัยอุบลราชธานี

พ.ศ. 2554

ลิขสิทธิ์เป็นของมหาวิทยาลัยอุบลราชธานี



**REMOVAL OF DYE USING CHITOSAN MODIFIED  
MONTMORILLONITE CLAY**

**SONGSAK SAKAEW**

**A THESIS SUBMITTED IN PARTIAL FULLFILLMENT OF THE REQUIREMENTS  
FOR THE DEGREE OF MASTER OF ENGINEERING  
MAJOR IN ENVIRONMENTAL ENGINEERING  
FACULTY OF ENGINEERING  
UBON RATCHATHANI UNIVERSITY  
YEAR 2011  
COPY RIGHT OF UBON RATCHATHANI UNIVERSITY**



ใบรับรองวิทยานิพนธ์  
มหาวิทยาลัยอุบลราชธานี  
ปริญญา วิศวกรรมศาสตร์มหาบัณฑิต  
สาขาวิชาวิศวกรรมสิ่งแวดล้อม คณะวิศวกรรมศาสตร์

เรื่อง การกำจัดสีข้อม โดยใช้เรซินมอนต์มอริล โลในตัดแปรคัวบีโคโตชาน

ผู้วิจัย นายทรงศักดิ์ สร้างเก้า

ได้พิจารณาเห็นชอบโดย

..... อ. ดร. วิจิตร กุญช์ ธรรมชาติ ..... อาจารย์ที่ปรึกษา

(ดร. วิจิตร กุญช์ ธรรมชาติ)

..... อ. ดร. วิจิตร กุญช์ ..... กรรมการ

(ผู้ช่วยศาสตราจารย์ ดร. สนธพ สนองรายณรงค์)

..... อ. ดร. วิจิตร กุญช์ ..... กรรมการ

(ผู้ช่วยศาสตราจารย์ ดร. สุมนา ศิริพัฒนาภูล)

..... อ. ดร. วิจิตร กุญช์ ..... กรรมการ

(ดร. วิจิตร กุญช์ ธรรมชาติ)

..... อ. ดร. วิจิตร กุญช์ ..... กรรมการ

(ดร. วิจิตร กุญช์ ธรรมชาติ)

..... อ. ดร. วิจิตร กุญช์ ..... คณบดี

(ผู้ช่วยศาสตราจารย์ ดร. นท แสงเทียน)

มหาวิทยาลัยอุบลราชธานี รับรองแล้ว

..... อ. ดร. วิจิตร กุญช์ .....

(ผู้ช่วยศาสตราจารย์ ดร. วิจิตร กุญช์)

รองอธิการบดีฝ่ายวิชาการ

ปฏิบัติราชการแทนอธิการบดี มหาวิทยาลัยอุบลราชธานี

ปีการศึกษา 2554

กิตติกรรมประกาศ

วิทยานิพนธ์นี้สำเร็จอุล่วงคัวยดี ผู้วิจัยขอกราบขอบพระคุณ บุคคล และกลุ่มบุคคลต่าง ๆ ที่ได้กรุณาให้คำปรึกษา แนะนำ ช่วยเหลือ อย่างดีเยี่ยม ทั้งในด้านวิชาการและด้านการดำเนินงานวิจัย ได้แก่

ขอขอบพระคุณ ดร.จักรกฤษณ์ อัมพุช อาจารย์ที่ปรึกษาวิทยานิพนธ์ ที่เคยดูแลเอาใจใส่เป็นอย่างดีและให้กำลังใจในการทำงานวิจัยจนเสร็จสิ้นและลุล่วงไปด้วยดี

ขอขอบพระคุณประธานหลักสูตรสาขาวิชาศึกกรรมสิ่งแวดล้อม คณะกรรมการสอบ  
วิทยานิพนธ์ทุกท่าน ที่ได้ให้คำแนะนำนำปรึกษาเกี่ยวกับข้อบ่งชี้ของวิทยานิพนธ์และข้อมูลที่เกี่ยวข้อง  
กับงานวิจัยที่จะทำให้สามารถทำงานวิจัยสำเร็จลุล่วงไปด้วยดี รวมถึงเจ้าหน้าที่ธุรการบันทึกศึกษา<sup>๔</sup>  
สาขาวิชาศึกกรรมสิ่งแวดล้อม คณะกรรมการศาสตร์ มหาวิทยาลัยอุบลราชธานี ที่กรุณาช่วยเหลือ  
ในระหว่างดำเนินงานวิทยานิพนธ์ครั้งนี้

ขอขอบคุณเจ้าหน้าที่ห้องปฏิบัติการภาควิชาวิศวกรรมเคมี คณะวิศวกรรมศาสตร์ มหาวิทยาลัยอุบลราชธานี ที่ได้ให้ความอนุเคราะห์สถานที่ เครื่องมือและอุปกรณ์ต่าง ๆ ในการทดลองเป็นอย่างดี

ขอขอบคุณเพื่อน ๆ นักศึกษาปริญญาโท สาขาวิชาศึกกรรมสิ่งแวดล้อม และน้อง ๆ นักศึกษาปริญญาตรี สาขาวิชาศึกกรรมสิ่งแวดล้อม และสาขาวิชาศึกกรรมเคมีและชีวภาพ คณะศึกกรรมศาสตร์ มหาวิทยาลัยอุบลราชธานี ที่อยู่ให้กำลังใจและช่วยเหลือในการทำงานวิจัย ด้วยดีตลอดมา

ขอขอบพระคุณหลักสูตรบัณฑิตศึกษา สาขาวิชาวิศวกรรมสิ่งแวดล้อม คณะ  
วิศวกรรมศาสตร์ มหาวิทยาลัยอุบลราชธานี และโครงการทุนนักวิจัยหน้าใหม่ ที่ให้การสนับสนุน  
ต้านทานวิจัยเป็นอย่างดี

ท้ายนี้ ขอกราบขอบพระคุณบิชา มารดา ที่ให้การเลี้ยงดูอบรมและส่งเสริมการศึกษาเป็นอย่างดีตลอดมาในอดีต จนทำให้ผู้วิจัยประสบความสำเร็จในชีวิตตลอดมา

นักดูแลคนที่ ๓๕ = ๖๖ ก้าว

(นายทรงศักดิ์ สระแก้ว)

ស៊ីវិចិយ

## สารบัญ

	<b>หน้า</b>
<b>กิตติกรรมประกาศ</b>	<b>ก</b>
<b>บทคัดย่อภาษาไทย</b>	<b>ข</b>
<b>บทคัดย่อภาษาอังกฤษ</b>	<b>ค</b>
<b>สารบัญ</b>	<b>จ</b>
<b>สารบัญตาราง</b>	<b>ช</b>
<b>สารบัญภาพ</b>	<b>ฉ</b>
<b>คำอธิบายสัญลักษณ์และคำย่อ</b>	<b>ต</b>
<b>บทที่</b>	
 <b>1 บทนำ</b>	
1.1 ความสำคัญและที่มาของปัจจุบันการวิจัย	1
1.2 วัตถุประสงค์ของการวิจัย	3
1.3 สมมติฐาน	3
1.4 ขอบเขตของการวิจัย	4
1.5 ประโยชน์ที่คาดว่าจะได้รับ	5
1.6 สถานที่ทำการวิจัย	5
 <b>2 ทฤษฎีและงานวิจัยที่เกี่ยวข้อง</b>	
2.1 สืบย้อน	6
2.2 แร่คินตอนต์มอริลโลïนïต์	8
2.3 ไฮโดรซาน	11
2.4 แร่คินตอนต์มอริลโลïนïต์ดัดแปลงร่วมไฮโดรซาน	12
2.5 การดูดซับ	14
2.6 ไอโซเทอมการดูดซับ	19
2.7 อุณหพลศาสตร์การดูดซับ	21
2.8 ชนิดพลศาสตร์การดูดซับ	23

สารบัญ (ต่อ)	หน้า
2.9 พลังงานกระตุ้น	25
2.10 หอคุดซับ	25
2.11 การขยายขนาดของหอคุดซับ	31
<b>3 วิธีดำเนินการวิจัย</b>	
3.1 ครอบงานวิจัย	34
3.2 แรดินมอนต์มอริลโลในต์และสารเคมีที่ใช้งานวิจัย	35
3.3 การเตรียมตัวคุดซับจากแรดินมอนต์มอริลโลในต์	35
3.4 การวิเคราะห์คุณสมบัติของตัวคุดซับและสีข้อม	36
3.5 การวิเคราะห์ค่าความเข้มข้นของสีข้อม	38
3.6 การศึกษาการคุดซับแบบง	40
3.7 การศึกษาการคุดซับในระบบหอคุดซับแบบเบคนิ่ง	44
<b>4 ผลการวิจัยและอภิปรายผล</b>	
4.1 ผลการวิเคราะห์คุณสมบัติของตัวคุดซับและสีข้อม	48
4.2 ผลการศึกษาสมดุลการคุดซับ	55
4.3 ผลการศึกษาลงพลศาสตร์การคุดซับ	62
4.4 ผลการศึกษาการคุดซับในระบบหอคุดซับแบบเบคนิ่ง	69
<b>5 สรุปผลการวิจัยและข้อเสนอแนะ</b>	
5.1 สรุปผลการวิจัย	78
5.2 ข้อเสนอแนะ	79
<b>เอกสารอ้างอิง</b>	<b>80</b>
<b>ภาคผนวก</b>	
ก ผลการศึกษาสมดุลการคุดซับ	87
ข ผลการศึกษาลงพลศาสตร์การคุดซับ	98
ค ผลการศึกษาการคุดซับสีข้อมในระบบหอคุดซับแบบเบคนิ่ง	117
ง ไอโซเทอมการคุดซับและการถ่ายซับของก้าชในโตรเจน	160
จ ผลงานการนำเสนอในการประชุมวิชาการระดับชาติ	162
<b>ประวัติผู้วิจัย</b>	<b>178</b>

## สารบัญตาราง

ตารางที่	หน้า
2.1 ร้อยละองค์ประกอบทางเคมีโดยน้ำหนัก (%wt) ของแร่คิน MMT	10
3.1 สมการมาตรฐานและ $\lambda_{max}$ ของสีข้อม	40
4.1 ผลการวิเคราะห์คุณสมบัติทางกายภาพของตัวคุณชับ	48
4.2 ผลการวิเคราะห์ปริมาณของชาตุต่าง ๆ ของตัวคุณชับ	52
4.3 ผลการวิเคราะห์จุดไอโซอิเดกทริกของตัวคุณชับ	54
4.4 ผลการวิเคราะห์ปริมาณสารอินทรีย์ของตัวคุณชับและสีข้อม	54
4.5 ผลการศึกษาประสิทธิภาพการคุณชับสีข้อม RB5 และ MO	56
4.6 พารามิเตอร์ของไอโซเทอมการคุณชับแบบແແລງເມຍີຣ໌ ແລະ ແບນຳຫຼຸນຕີຂອງກາຮູບສັບ ສື່ອັນ RB5 ແລະ MO ທີ່ອຸປະກຸມແຕກຕ່າງກັນ	58
4.7 พารามิเตอร์ຂອງເທິ່ງໂໄໂຄນາມີກໍສົ່ງຂອງກາຮູບສັບສື່ອັນ RB5 ແລະສື່ອັນ MO ໂດຍໃຊ້ຕັວຸດັບໜີດຕ່າງໆ	60
4.8 เวลาເຂົ້າສູ່ສ່ານຄຸລາກາຮູບສັບຂອງສື່ອັນ RB5 ແລະ MO ໂດຍໃຊ້ຕັວຸດັບໜີດຕ່າງໆ	62
4.9 พารามิเตอร์ຂອງສົ່ງການອັນດັບໜີງທີ່ຍິນແລະສົ່ງການອັນດັບສອງທີ່ຍິນຂອງກາຮູບສັບ ສື່ອັນຈາກນໍ້າສື່ສັງເກຣະທີ່ສື່ອັນ RB5 ແລະ MO	65
4.10 ຀່າງກີ່ນ $k_2$ (Pseudo-second order) ຂອງກາຮູບສັບສື່ອັນ RB5 ແລະ MO ໂດຍໃຊ້ ຕັວຸດັບໜີດຕ່າງໆ ແລະມີສຳພາວະໃນກາຮູບສັບແຕກຕ່າງກັນ	66
4.11 ຀່າພລັງງານກະຕຸ້ນຂອງກາຮູບສັບສື່ອັນ RB5 ແລະ MO ໂດຍໃຊ້ຕັວຸດັບໜີດຕ່າງໆ ແລະມີສຳພາວະໃນກາຮູບສັບແຕກຕ່າງກັນ	68
4.12 ພາຣາມີເຕອັນທີ່ໄດ້ຈາກກາຮູບສັບສື່ອັນ RB5 ໃນຮະບນຫອກາຮູບສັບແບນບົດນິ່ງ ທີ່ຄວາມ ເຂັ້ມ້າເປັນເປັນດັ່ງ ຄວາມສູງຂອງເບັດ ແລະອັດຕາກາຣ໌ໄຫລແຕກຕ່າງກັນ	70
4.13 ພາຣາມີເຕອັນທີ່ໄດ້ຈາກກາຮູບສັບສື່ອັນ MO ໃນຮະບນຫອກາຮູບສັບແບນບົດນິ່ງ ທີ່ຄວາມ ເຂັ້ມ້າເປັນເປັນດັ່ງ ຄວາມສູງຂອງເບັດ ແລະອັດຕາກາຣ໌ໄຫລແຕກຕ່າງກັນ	70
ກ.1 ປົມມາພາກາຮູບສັບທີ່ສົມຄຸດ ( $q_s$ ) ຂອງສື່ອັນ RB5 ທີ່ອຸປະກຸມແລະຄວາມເຂັ້ມ້າເປັນເປັນດັ່ງ ແຕກຕ່າງກັນ	96
ກ.2 ປົມມາພາກາຮູບສັບທີ່ສົມຄຸດ ( $q_s$ ) ຂອງສື່ອັນ MO ທີ່ອຸປະກຸມແລະຄວາມເຂັ້ມ້າເປັນເປັນດັ່ງ ແຕກຕ່າງກັນ	96

## สารบัญตาราง (ต่อ)

ตารางที่	หน้า
ก.3 ปริมาณการคุณชับที่สมดุล ( $q_c$ ) ของสีข้อม RB5 และ MO ที่ค่าพีเอชเริ่มต้น แตกต่างกัน	97
ข.1 ปริมาณการคุณชับที่เวลาใด ๆ ของสีข้อม RB5 ที่อุณหภูมิแตกต่างกัน	115
ข.2 ปริมาณการคุณชับที่เวลาใด ๆ ของสีข้อม MO ที่อุณหภูมิแตกต่างกัน	116
ก.1 อัตราส่วนระหว่างค่าความเข้มข้นที่เวลาใด ๆ หลังผ่าน hod คุณชับกับค่าความ เข้มข้นเริ่มต้น ( $C/C_0$ ) ของสีข้อม RB5 ที่ความสูงของเบดแตกต่างกัน	142
ก.2 อัตราส่วนระหว่างค่าความเข้มข้นที่เวลาใด ๆ หลังผ่าน hod คุณชับกับค่าความ เข้มข้นเริ่มต้น ( $C/C_0$ ) ของสีข้อม RB5 ที่ความเข้มข้นเริ่มต้นแตกต่างกัน	145
ก.3 อัตราส่วนระหว่างค่าความเข้มข้นที่เวลาใด ๆ หลังผ่าน hod คุณชับกับค่าความ เข้มข้นเริ่มต้น ( $C/C_0$ ) ของสีข้อม RB5 ที่อัตราการไหลแตกต่างกัน	148
ก.4 อัตราส่วนระหว่างค่าความเข้มข้นที่เวลาใด ๆ หลังผ่าน hod คุณชับกับค่าความ เข้มข้นเริ่มต้น ( $C/C_0$ ) ของสีข้อม MO ที่ความสูงของเบดแตกต่างกัน	151
ก.5 อัตราส่วนระหว่างค่าความเข้มข้นที่เวลาใด ๆ หลังผ่าน hod คุณชับกับค่าความ เข้มข้นเริ่มต้น ( $C/C_0$ ) ของสีข้อม MO ที่ความเข้มข้นเริ่มต้นแตกต่างกัน	154
ก.6 อัตราส่วนระหว่างค่าความเข้มข้นที่เวลาใด ๆ หลังผ่าน hod คุณชับกับค่าความ เข้มข้นเริ่มต้น ( $C/C_0$ ) ของสีข้อม MO ที่อัตราการไหลแตกต่างกัน	157

## สารบัญภาพ

ภาพที่	หน้า
2.1 โครงสร้างของแร่ดินมอนต์morilite ในตัวอย่าง	9
2.2 โครงสร้างไม้เดกูลของไคโตกาน	11
2.3 โครงสร้างไม้เดกูลของแร่ดินมอนต์morilite ในตัวอย่างโดยวิเคราะห์ไคโตกาน	13
2.4 แผนภาพจำลองกลไกการดูดซับของเหลว	16
2.5 การพิสูจน์ค่า y สมการ BET	18
2.6 รูปแบบความเข้มข้นของตัวอย่างดูดซับในหอดูดซับ (a) รูปแบบของความเข้มข้น (b) กราฟเบรคทรูสำหรับการดูดซับในระบบหอดูดซับ	26
2.7 ลักษณะการถ่ายโอนมวลของกราฟเบรคทรู (a) บริเวณการถ่ายเทน้ำสารเคมี (b) บริเวณการถ่ายเทน้ำสารกาว	27
3.1 แผนภาพขั้นตอนการวิจัย	34
3.2 โครงสร้างไม้เดกูลของสีข้อน (a) RB5 และ (b) MO	35
3.3 グラฟมาตรฐานของน้ำสีสังเคราะห์สีข้อน RB5 ที่ $\lambda_{max} = 614 \text{ nm}$	39
3.4 グラฟมาตรฐานของน้ำสีสังเคราะห์สีข้อน MO ที่ $\lambda_{max} = 520 \text{ nm}$	40
3.5 คุณสมบัติการทดลองหอดูดซับแบบเบคนิ่ง	47
4.1 ผลการวิเคราะห์ค่า y เครื่อง XRD ของแร่ดิน MMT และ CTS/MMT	50
4.2 สเปกตรัม FTIR ของ MMT CTS/MMT และ CTS	51
4.3 ผลการวิเคราะห์สัณฐานและลักษณะพื้นผิวของตัวอย่าง (a) CTS/MMT และ (b) MMT	52
4.4 จุดไอโซอิเลคทริกของ (a) MMT และ (b) CTS/MMT	53
4.5 ไอโซเทอมการดูดซับสีข้อนจากน้ำสีสังเคราะห์ของสีข้อน (a) RB5 และ (b) MO ที่ อุณหภูมิแตกต่างกัน	57
4.6 ความสัมพันธ์ระหว่างปริมาณการดูดซับสีข้อนกับค่าพีเอชเริ่มต้นของสารละลาย สีข้อน RB5 และ MO	59
4.7 ความสัมพันธ์ระหว่าง $\ln K_L$ กับ $1/T$ ของการดูดซับสีข้อน RB5 และ MO โดยใช้ แร่ดิน CTS/MMT เป็นตัวอย่าง	61
4.8 ความสัมพันธ์ระหว่างปริมาณการดูดซับสีข้อนกับเวลาสัมผัสของน้ำสีสังเคราะห์ สีข้อน (a) RB5 และ (b) MO ที่อุณหภูมิแตกต่างกัน	63

## สารบัญภาค (ต่อ)

ภาคที่	หน้า
4.9 แบบจำลองอัตราการคุณชับอันดับสองเที่ยม (Pseudo-second order) ของการคุณชับสีเยื่อ (a) RB5 และ (b) MO ที่อุณหภูมิแตกต่างกัน	67
4.10 ความสัมพันธ์ระหว่าง $\ln k_2$ กับ $1/T$ ของการคุณชับสีเยื่อ RB5 และ MO โดยใช้เรขาคณิต CTS/MMT เป็นตัวคุณชับ	69
4.11 กราฟเบรคทຽของ การคุณชับสีเยื่อ (a) RB5 และ (b) MO ด้วยเรขาคณิต CTS/MMT ที่ความสูงของเบคแตกต่างกัน	71
4.12 กราฟเบรคทຽของ การคุณชับสีเยื่อ (a) RB5 และ (b) MO ด้วยเรขาคณิต CTS/MMT ที่ความเข้มข้นเริ่มต้นแตกต่างกัน	73
4.13 กราฟเบรคทຽของ การคุณชับสีเยื่อ (a) RB5 และ (b) MO ด้วยเรขาคณิต CTS/MMT ที่อัตราการไหลดแตกต่างกัน	76
ก.1 ไอโซเทอนการคุณชับแบบແลงເມີນຈາກນ້ຳສັງຄරະຫີສີ່ຍ້ອນ RB5 ທີ່ອຸພທູນໃນການคຸດຊັບ $25^{\circ}\text{C}$	88
ก.2 ไอโซเทอนการคุณชับแบบຝຣຸນດີຈາກນ້ຳສັງຄරະຫີສີ່ຍ້ອນ RB5 ທີ່ອຸພທູນໃນການคຸດຊັບ $25^{\circ}\text{C}$	88
ก.3 ไอโซเทอนการคุณชับแบบແลงເມີນຈາກນ້ຳສັງຄරະຫີສີ່ຍ້ອນ RB5 ທີ່ອຸພທູນໃນການคຸດຊັບ $35^{\circ}\text{C}$	89
ก.4 ไอโซเทอนการคุณชับแบบຝຣຸນດີຈາກນ້ຳສັງຄරະຫີສີ່ຍ້ອນ RB5 ທີ່ອຸພທູນໃນການคຸດຊັບ $35^{\circ}\text{C}$	89
ก.5 ไอโซเทอนการคุณชับแบบແลงເມີນຈາກນ້ຳສັງຄරະຫີສີ່ຍ້ອນ RB5 ທີ່ອຸພທູນໃນການคຸດຊັບ $45^{\circ}\text{C}$	90
ก.6 ไอโซเทอนการคุณชับแบบຝຣຸນດີຈາກນ້ຳສັງຄරະຫີສີ່ຍ້ອນ RB5 ທີ່ອຸພທູນໃນການคຸດຊັບ $45^{\circ}\text{C}$	90
ก.7 ไอโซเทอนการคุณชับแบบແลงເມີນຈາກນ້ຳສັງຄරະຫີສີ່ຍ້ອນ RB5 ທີ່ອຸພທູນໃນການคຸດຊັບ $55^{\circ}\text{C}$	91
ก.8 ไอโซเทอนการคุณชับแบบຝຣຸນດີຈາກນ້ຳສັງຄරະຫີສີ່ຍ້ອນ RB5 ທີ່ອຸພທູນໃນການคຸດຊັບ $55^{\circ}\text{C}$	91

## สารบัญภาค (ต่อ)

ภาคที่	หน้า
ก.9 ไอโซเทอโนกรดูคชับแบบແລງເມີນຈາກນ້ຳສັງເຄຣະທີ່ສີ້ອົນ MO ທີ່ອຸພຫກູນໃນກາຮຽດູບ 25 °C	92
ก.10 ไอโซເທອນກາຮຽດູບແບບຝຽນດີຈາກນ້ຳສັງເຄຣະທີ່ສີ້ອົນ MO ທີ່ອຸພຫກູນໃນກາຮຽດູບ 25 °C	92
ก.11 ไอโซເທອນກາຮຽດູບແບບແລງເມີນຈາກນ້ຳສັງເຄຣະທີ່ສີ້ອົນ MO ທີ່ອຸພຫກູນໃນກາຮຽດູບ 35 °C	93
ก.12 ไอโซເທອນກາຮຽດູບແບບຝຽນດີຈາກນ້ຳສັງເຄຣະທີ່ສີ້ອົນ MO ທີ່ອຸພຫກູນໃນກາຮຽດູບ 35 °C	93
ก.13 ไอโซເທອນກາຮຽດູບແບບແລງເມີນຈາກນ້ຳສັງເຄຣະທີ່ສີ້ອົນ MO ທີ່ອຸພຫກູນໃນກາຮຽດູບ 45 °C	94
ก.14 ไอโซເທອນກາຮຽດູບແບບຝຽນດີຈາກນ້ຳສັງເຄຣະທີ່ສີ້ອົນ MO ທີ່ອຸພຫກູນໃນກາຮຽດູບ 45 °C	94
ก.15 ไอโซເທອນກາຮຽດູບແບບແລງເມີນຈາກນ້ຳສັງເຄຣະທີ່ສີ້ອົນ MO ທີ່ອຸພຫກູນໃນກາຮຽດູບ 55 °C	95
ก.16 ไอโซເທອນກາຮຽດູບແບບຝຽນດີຈາກນ້ຳສັງເຄຣະທີ່ສີ້ອົນ MO ທີ່ອຸພຫກູນໃນກາຮຽດູບ 55 °C	95
ข.1 ຄວາມສັນພັນຮ່ວ່າງຄວາມເຂັ້ມຂັ້ນຂອງນ້ຳສັງເຄຣະທີ່ສີ້ອົນ RB5 ກັບເວລາສັນພັສ ທີ່ອຸພຫກູນໃນກາຮຽດູບ 25 °C	99
ข.2 ຄວາມສັນພັນຮ່ວ່າງຄໍາພື້ເອຂອງນ້ຳສັງເຄຣະທີ່ສີ້ອົນ RB5 ກັບເວລາສັນພັສ ທີ່ອຸພຫກູນໃນກາຮຽດູບ 25 °C	99
ข.3 ແບບຈຳລອງອັຕຣາກາຮຽດູບອັນດັບໜຶ່ງເຖິ່ນ (Pseudo-first order) ຂອງກາຮຽດູບ ທີ່ສີ້ອົນ RB5 ທີ່ອຸພຫກູນໃນກາຮຽດູບ 25 °C	100
ข.4 ແບບຈຳລອງອັຕຣາກາຮຽດູບອັນດັບສອງເຖິ່ນ (Pseudo-second order) ຂອງກາຮຽດູບ ທີ່ສີ້ອົນ RB5 ທີ່ອຸພຫກູນໃນກາຮຽດູບ 25 °C	100
ข.5 ຄວາມສັນພັນຮ່ວ່າງຄວາມເຂັ້ມຂັ້ນຂອງນ້ຳສັງເຄຣະທີ່ສີ້ອົນ RB5 ກັບເວລາສັນພັສ ທີ່ອຸພຫກູນໃນກາຮຽດູບ 35 °C	101

## สารบัญภาพ (ต่อ)

ภาพที่	หน้า
ข.6 ความสัมพันธ์ระหว่างค่าพีเอชของน้ำสีสังเคราะห์สีเข้ม RB5 กับเวลาสัมผัส ที่อุณหภูมิในการคุณซับ 35 °C	101
ข.7 แบบจำลองอัตราการคุณซับอันดับหนึ่งเที่ยม (Pseudo-first order) ของการคุณซับ สีเข้ม RB5 ที่อุณหภูมิในการคุณซับ 35 °C	102
ข.8 แบบจำลองอัตราการคุณซับอันดับสองเที่ยม (Pseudo-second order) ของการคุณซับ สีเข้ม RB5 ที่อุณหภูมิในการคุณซับ 35 °C	102
ข.9 ความสัมพันธ์ระหว่างความเข้มข้นของน้ำสีสังเคราะห์สีเข้ม RB5 กับเวลาสัมผัส ที่อุณหภูมิในการคุณซับ 45 °C	103
ข.10 ความสัมพันธ์ระหว่างค่าพีเอชของน้ำสีสังเคราะห์สีเข้ม RB5 กับเวลาสัมผัส ที่อุณหภูมิในการคุณซับ 45 °C	103
ข.11 แบบจำลองอัตราการคุณซับอันดับหนึ่งเที่ยม (Pseudo-first order) ของการคุณซับ สีเข้ม RB5 ที่อุณหภูมิในการคุณซับ 45 °C	104
ข.12 แบบจำลองอัตราการคุณซับอันดับสองเที่ยม (Pseudo-second order) ของการคุณซับ สีเข้ม RB5 ที่อุณหภูมิในการคุณซับ 45 °C	104
ข.13 ความสัมพันธ์ระหว่างความเข้มข้นของน้ำสีสังเคราะห์สีเข้ม RB5 กับเวลาสัมผัส ที่อุณหภูมิในการคุณซับ 55 °C	105
ข.14 ความสัมพันธ์ระหว่างค่าพีเอชของน้ำสีสังเคราะห์สีเข้ม RB5 กับเวลาสัมผัส ที่อุณหภูมิในการคุณซับ 55 °C	105
ข.15 แบบจำลองอัตราการคุณซับอันดับหนึ่งเที่ยม (Pseudo-first order) ของการคุณซับ สีเข้ม RB5 ที่อุณหภูมิในการคุณซับ 55 °C	106
ข.16 แบบจำลองอัตราการคุณซับอันดับสองเที่ยม (Pseudo-second order) ของการคุณซับ สีเข้ม RB5 ที่อุณหภูมิในการคุณซับ 55 °C	106
ข.17 ความสัมพันธ์ระหว่างความเข้มข้นของน้ำสีสังเคราะห์สีเข้ม MO กับเวลาสัมผัส ที่อุณหภูมิในการคุณซับ 25 °C	107
ข.18 ความสัมพันธ์ระหว่างค่าพีเอชของน้ำสีสังเคราะห์สีเข้ม MO กับเวลาสัมผัส ที่ อุณหภูมิในการคุณซับ 25 °C	107

## สารบัญภาค (ต่อ)

ภาคที่		หน้า
ข.19	แบบจำลองอัตราการคุณชับอันดับหนึ่งเทียม (Pseudo-first order) ของการคุณชับสีข้อม MO ที่อุณหภูมิในการคุณชับ $25^{\circ}\text{C}$	108
ข.20	แบบจำลองอัตราการคุณชับอันดับสองเทียม (Pseudo-second order) ของการคุณชับสีข้อม MO ที่อุณหภูมิในการคุณชับ $25^{\circ}\text{C}$	108
ข.21	ความสัมพันธ์ระหว่างความเข้มข้นของน้ำสีสังเคราะห์สีข้อม MO กับเวลาสัมผัสที่อุณหภูมิในการคุณชับ $35^{\circ}\text{C}$	109
ข.22	ความสัมพันธ์ระหว่างค่าพีเอชของน้ำสีสังเคราะห์สีข้อม MO กับเวลาสัมผัสที่อุณหภูมิในการคุณชับ $35^{\circ}\text{C}$	109
ข.23	แบบจำลองอัตราการคุณชับอันดับหนึ่งเทียม (Pseudo-first order) ของการคุณชับสีข้อม MO ที่อุณหภูมิในการคุณชับ $35^{\circ}\text{C}$	110
ข.24	แบบจำลองอัตราการคุณชับอันดับสองเทียม (Pseudo-second order) ของการคุณชับสีข้อม MO ที่อุณหภูมิในการคุณชับ $35^{\circ}\text{C}$	110
ข.25	ความสัมพันธ์ระหว่างความเข้มข้นของน้ำสีสังเคราะห์สีข้อม MO กับเวลาสัมผัสที่อุณหภูมิในการคุณชับ $45^{\circ}\text{C}$	111
ข.26	ความสัมพันธ์ระหว่างค่าพีเอชของน้ำสีสังเคราะห์สีข้อม MO กับเวลาสัมผัสที่อุณหภูมิในการคุณชับ $45^{\circ}\text{C}$	111
ข.27	แบบจำลองอัตราการคุณชับอันดับหนึ่งเทียม (Pseudo-first order) ของการคุณชับสีข้อม MO ที่อุณหภูมิในการคุณชับ $45^{\circ}\text{C}$	112
ข.28	แบบจำลองอัตราการคุณชับอันดับสองเทียม (Pseudo-second order) ของการคุณชับสีข้อม MO ที่อุณหภูมิในการคุณชับ $45^{\circ}\text{C}$	112
ข.29	ความสัมพันธ์ระหว่างความเข้มข้นของน้ำสีสังเคราะห์สีข้อม MO กับเวลาสัมผัสที่อุณหภูมิในการคุณชับ $55^{\circ}\text{C}$	113
ข.30	ความสัมพันธ์ระหว่างค่าพีเอชของน้ำสีสังเคราะห์สีข้อม MO กับเวลาสัมผัสที่อุณหภูมิในการคุณชับ $55^{\circ}\text{C}$	113
ข.31	แบบจำลองอัตราการคุณชับอันดับหนึ่งเทียม (Pseudo-first order) ของการคุณชับสีข้อม MO ที่อุณหภูมิในการคุณชับ $55^{\circ}\text{C}$	114
ข.32	แบบจำลองอัตราการคุณชับอันดับสองเทียม (Pseudo-second order) ของการคุณชับสีข้อม MO ที่อุณหภูมิในการคุณชับ $55^{\circ}\text{C}$	114

## สารบัญภาพ (ต่อ)

ภาพที่	หน้า
ค.1  กราฟเบรคทຽของกรดซัพสีเข้ม RB5 ด้วยแร่คิน CTS/MMT ที่ความสูงของเบคแตกต่างกัน ( $C_0 = 100 \text{ mg/L}$ และ $Q = 3.57 \pm 0.02 \text{ mL/min}$ )	118
ค.2  กราฟเบรคทຽของกรดซัพสีเข้ม MO ด้วยแร่คิน CTS/MMT ที่ความสูงของเบคแตกต่างกัน ( $C_0 = 100 \text{ mg/L}$ และ $Q = 3.57 \pm 0.02 \text{ mL/min}$ )	118
ค.3  กราฟเบรคทຽของกรดซัพสีเข้ม RB5 ด้วยแร่คิน CTS/MMT ที่ความเข้มข้นเริ่มต้นแตกต่างกัน ( $H = 15 \text{ cm}$ และ $Q = 3.57 \pm 0.02 \text{ mL/min}$ )	119
ค.4  กราฟเบรคทຽของกรดซัพสีเข้ม MO ด้วยแร่คิน CTS/MMT ที่ความเข้มข้นเริ่มต้นแตกต่างกัน ( $H = 15 \text{ cm}$ และ $Q = 3.57 \pm 0.02 \text{ mL/min}$ )	119
ค.5  กราฟเบรคทຽของกรดซัพสีเข้ม RB5 ด้วยแร่คิน CTS/MMT ที่อัตราการไหลแตกต่างกัน ( $C_0 = 100 \text{ mg/L}$ และ $H = 15 \text{ cm}$ )	120
ค.6  กราฟเบรคทຽของกรดซัพสีเข้ม MO ด้วยแร่คิน CTS/MMT ที่อัตราการไหลแตกต่างกัน ( $C_0 = 100 \text{ mg/L}$ และ $H = 15 \text{ cm}$ )	120
ค.7  ความสัมพันธ์ระหว่างค่าพีเอชของน้ำสีสังเคราะห์สีเข้ม RB5 กับเวลาที่ $C_0 = 50 \text{ mg/L}$ , $H = 15 \text{ cm}$ และ $Q = 3.59 \text{ mL/min}$	121
ค.8  ความสัมพันธ์ระหว่างค่าพีเอชของน้ำสีสังเคราะห์สี RB5 กับปริมาตรสะสมหลังผ่านหอดูดซับ ที่ $C_0 = 50 \text{ mg/L}$ , $H = 15 \text{ cm}$ และ $Q = 3.59 \text{ mL/min}$	121
ค.9  ความสัมพันธ์ระหว่างปริมาตรสะสมของน้ำสีสังเคราะห์สีเข้ม RB5 หลังผ่านหอดูดซับกับเวลา ที่ $C_0 = 50 \text{ mg/L}$ , $H = 15 \text{ cm}$ และ $Q = 3.59 \text{ mL/min}$	122
ค.10  ความสัมพันธ์ระหว่างค่าพีเอชของน้ำสีสังเคราะห์สีเข้ม RB5 กับเวลาที่ $C_0 = 100 \text{ mg/L}$ , $H = 15 \text{ cm}$ และ $Q = 3.57 \text{ mL/min}$	122
ค.11  ความสัมพันธ์ระหว่างค่าพีเอชของน้ำสีสังเคราะห์สี RB5 กับปริมาตรสะสมหลังผ่านหอดูดซับ ที่ $C_0 = 100 \text{ mg/L}$ , $H = 15 \text{ cm}$ และ $Q = 3.57 \text{ mL/min}$	123
ค.12  ความสัมพันธ์ระหว่างปริมาตรสะสมของน้ำสีสังเคราะห์สีเข้ม RB5 หลังผ่านหอดูดซับกับเวลา ที่ $C_0 = 100 \text{ mg/L}$ , $H = 15 \text{ cm}$ และ $Q = 3.57 \text{ mL/min}$	123
ค.13  ความสัมพันธ์ระหว่างค่าพีเอชของน้ำสีสังเคราะห์สีเข้ม RB5 กับเวลาที่ $C_0 = 200 \text{ mg/L}$ , $H = 15 \text{ cm}$ และ $Q = 3.57 \text{ mL/min}$	124

### สารบัญภาพ (ต่อ)

ภาพที่		หน้า
ค.14	ความสัมพันธ์ระหว่างค่าพีอิorchของน้ำสีสังเคราะห์สี RB5 กับปริมาตร สะสมหลังผ่านหอดูดซับ ที่ $C_0 = 200 \text{ mg/L}$ , $H = 15 \text{ cm}$ และ $Q = 3.57 \text{ mL/min}$	124
ค.15	ความสัมพันธ์ระหว่างปริมาตรสะสมของน้ำสีสังเคราะห์สีเข้ม RB5 หลังผ่านหอดูดซับกับเวลา ที่ $C_0 = 200 \text{ mg/L}$ , $H = 15 \text{ cm}$ และ $Q = 3.57 \text{ mL/min}$	125
ค.16	ความสัมพันธ์ระหว่างค่าพีอิorchของน้ำสีสังเคราะห์สีเข้ม RB5 กับเวลา ที่ $C_0 = 100 \text{ mg/L}$ , $H = 20 \text{ cm}$ และ $Q = 3.56 \text{ mL/min}$	125
ค.17	ความสัมพันธ์ระหว่างค่าพีอิorchของน้ำสีสังเคราะห์สี RB5 กับปริมาตร สะสมหลังผ่านหอดูดซับ ที่ $C_0 = 100 \text{ mg/L}$ , $H = 20 \text{ cm}$ และ $Q = 3.56 \text{ mL/min}$	126
ค.18	ความสัมพันธ์ระหว่างปริมาตรสะสมของน้ำสีสังเคราะห์สีเข้ม RB5 หลังผ่านหอดูดซับกับเวลา ที่ $C_0 = 100 \text{ mg/L}$ , $H = 20 \text{ cm}$ และ $Q = 3.56 \text{ mL/min}$	126
ค.19	ความสัมพันธ์ระหว่างค่าพีอิorchของน้ำสีสังเคราะห์สีเข้ม RB5 กับเวลา ที่ $C_0 = 100 \text{ mg/L}$ , $H = 25 \text{ cm}$ และ $Q = 3.56 \text{ mL/min}$	127
ค.20	ความสัมพันธ์ระหว่างค่าพีอิorchของน้ำสีสังเคราะห์สี RB5 กับปริมาตร สะสมหลังผ่านหอดูดซับ ที่ $C_0 = 100 \text{ mg/L}$ , $H = 25 \text{ cm}$ และ $Q = 3.56 \text{ mL/min}$	127
ค.21	ความสัมพันธ์ระหว่างปริมาตรสะสมของน้ำสีสังเคราะห์สีเข้ม RB5 หลังผ่านหอดูดซับกับเวลา ที่ $C_0 = 100 \text{ mg/L}$ , $H = 25 \text{ cm}$ และ $Q = 3.56 \text{ mL/min}$	128
ค.22	ความสัมพันธ์ระหว่างค่าพีอิorchของน้ำสีสังเคราะห์สีเข้ม RB5 กับเวลา ที่ $C_0 = 100 \text{ mg/L}$ , $H = 15 \text{ cm}$ และ $Q = 7.18 \text{ mL/min}$	128
ค.23	ความสัมพันธ์ระหว่างค่าพีอิorchของน้ำสีสังเคราะห์สี RB5 กับปริมาตร สะสมหลังผ่านหอดูดซับ ที่ $C_0 = 100 \text{ mg/L}$ , $H = 15 \text{ cm}$ และ $Q = 7.18 \text{ mL/min}$	129
ค.24	ความสัมพันธ์ระหว่างปริมาตรสะสมของน้ำสีสังเคราะห์สีเข้ม RB5 หลังผ่านหอดูดซับกับเวลา ที่ $C_0 = 100 \text{ mg/L}$ , $H = 15 \text{ cm}$ และ $Q = 7.18 \text{ mL/min}$	129
ค.25	ความสัมพันธ์ระหว่างค่าพีอิorchของน้ำสีสังเคราะห์สีเข้ม RB5 กับเวลา ที่ $C_0 = 100 \text{ mg/L}$ , $H = 15 \text{ cm}$ และ $Q = 9.18 \text{ mL/min}$	130
ค.26	ความสัมพันธ์ระหว่างค่าพีอิorchของน้ำสีสังเคราะห์สี RB5 กับปริมาตร สะสมหลังผ่านหอดูดซับ ที่ $C_0 = 100 \text{ mg/L}$ , $H = 15 \text{ cm}$ และ $Q = 9.18 \text{ mL/min}$	130

## สารบัญภาพ (ต่อ)

ภาพที่	หน้า
ค.27 ความสัมพันธ์ระหว่างปริมาตรสะสนของน้ำสีสังเคราะห์สีเข้ม RBS หลังผ่านหอคุณชับกับเวลา ที่ $C_0 = 100 \text{ mg/L}$ , $H = 15 \text{ cm}$ และ $Q = 9.18 \text{ mL/min}$	131
ค.28 ความสัมพันธ์ระหว่างค่าพีเอชของน้ำสีสังเคราะห์สีเข้ม MO กับเวลา ที่ $C_0 = 50 \text{ mg/L}$ , $H = 15 \text{ cm}$ และ $Q = 3.58 \text{ mL/min}$	131
ค.29 ความสัมพันธ์ระหว่างค่าพีเอชของน้ำสีสังเคราะห์สี MO กับปริมาตร สะสนหลังผ่านหอคุณชับ ที่ $C_0 = 50 \text{ mg/L}$ , $H = 15 \text{ cm}$ และ $Q = 3.58 \text{ mL/min}$	132
ค.30 ความสัมพันธ์ระหว่างปริมาตรสะสนของน้ำสีสังเคราะห์สีเข้ม MO หลังผ่านหอคุณชับกับเวลา ที่ $C_0 = 50 \text{ mg/L}$ , $H = 15 \text{ cm}$ และ $Q = 3.58 \text{ mL/min}$	132
ค.31 ความสัมพันธ์ระหว่างค่าพีเอชของน้ำสีสังเคราะห์สีเข้ม MO กับเวลา ที่ $C_0 = 100 \text{ mg/L}$ , $H = 15 \text{ cm}$ และ $Q = 3.58 \text{ mL/min}$	133
ค.32 ความสัมพันธ์ระหว่างค่าพีเอชของน้ำสีสังเคราะห์สี MO กับปริมาตร สะสนหลังผ่านหอคุณชับ ที่ $C_0 = 100 \text{ mg/L}$ , $H = 15 \text{ cm}$ และ $Q = 3.58 \text{ mL/min}$	133
ค.33 ความสัมพันธ์ระหว่างปริมาตรสะสนของน้ำสีสังเคราะห์สีเข้ม MO หลังผ่านหอคุณชับกับเวลา ที่ $C_0 = 100 \text{ mg/L}$ , $H = 15 \text{ cm}$ และ $Q = 3.58 \text{ mL/min}$	134
ค.34 ความสัมพันธ์ระหว่างค่าพีเอชของน้ำสีสังเคราะห์สีเข้ม MO กับเวลา ที่ $C_0 = 200 \text{ mg/L}$ , $H = 15 \text{ cm}$ และ $Q = 3.57 \text{ mL/min}$	134
ค.35 ความสัมพันธ์ระหว่างค่าพีเอชของน้ำสีสังเคราะห์สี MO กับปริมาตร สะสนหลังผ่านหอคุณชับ ที่ $C_0 = 200 \text{ mg/L}$ , $H = 15 \text{ cm}$ และ $Q = 3.57 \text{ mL/min}$	135
ค.36 ความสัมพันธ์ระหว่างปริมาตรสะสนของน้ำสีสังเคราะห์สีเข้ม MO หลังผ่านหอคุณชับกับเวลา ที่ $C_0 = 200 \text{ mg/L}$ , $H = 15 \text{ cm}$ และ $Q = 3.57 \text{ mL/min}$	135
ค.37 ความสัมพันธ์ระหว่างค่าพีเอชของน้ำสีสังเคราะห์สีเข้ม MO กับเวลา ที่ $C_0 = 100 \text{ mg/L}$ , $H = 20 \text{ cm}$ และ $Q = 3.56 \text{ mL/min}$	136
ค.38 ความสัมพันธ์ระหว่างค่าพีเอชของน้ำสีสังเคราะห์สี MO กับปริมาตร สะสนหลังผ่านหอคุณชับ ที่ $C_0 = 100 \text{ mg/L}$ , $H = 20 \text{ cm}$ และ $Q = 3.56 \text{ mL/min}$	136
ค.39 ความสัมพันธ์ระหว่างปริมาตรสะสนของน้ำสีสังเคราะห์สีเข้ม MO หลังผ่านหอคุณชับกับเวลา ที่ $C_0 = 100 \text{ mg/L}$ , $H = 20 \text{ cm}$ และ $Q = 3.56 \text{ mL/min}$	137

## สารบัญภาพ (ต่อ)

ภาพที่	หน้า
ค.40 ความสัมพันธ์ระหว่างค่าพีอิของน้ำสีสังเคราะห์สีข้อม MO กับเวลา ที่ $C_0 = 100 \text{ mg/L}$ , $H = 25 \text{ cm}$ และ $Q = 3.56 \text{ mL/min}$	137
ค.41 ความสัมพันธ์ระหว่างค่าพีอิของน้ำสีสังเคราะห์สี MO กับปริมาตร สะมนหลังผ่านหอดูดซับ ที่ $C_0 = 100 \text{ mg/L}$ , $H = 25 \text{ cm}$ และ $Q = 3.56 \text{ mL/min}$	138
ค.42 ความสัมพันธ์ระหว่างปริมาตรสะมนของน้ำสีสังเคราะห์สีข้อม MO หลังผ่านหอดูดซับกับเวลา ที่ $C_0 = 100 \text{ mg/L}$ , $H = 25 \text{ cm}$ และ $Q = 3.56 \text{ mL/min}$	138
ค.43 ความสัมพันธ์ระหว่างค่าพีอิของน้ำสีสังเคราะห์สีข้อม MO กับเวลา ที่ $C_0 = 100 \text{ mg/L}$ , $H = 15 \text{ cm}$ และ $Q = 7.15 \text{ mL/min}$	139
ค.44 ความสัมพันธ์ระหว่างค่าพีอิของน้ำสีสังเคราะห์สี MO กับปริมาตร สะมนหลังผ่านหอดูดซับ ที่ $C_0 = 100 \text{ mg/L}$ , $H = 15 \text{ cm}$ และ $Q = 7.15 \text{ mL/min}$	139
ค.45 ความสัมพันธ์ระหว่างปริมาตรสะมนของน้ำสีสังเคราะห์สีข้อม MO หลังผ่านหอดูดซับกับเวลา ที่ $C_0 = 100 \text{ mg/L}$ , $H = 15 \text{ cm}$ และ $Q = 7.15 \text{ mL/min}$	140
ค.46 ความสัมพันธ์ระหว่างค่าพีอิของน้ำสีสังเคราะห์สีข้อม MO กับเวลา ที่ $C_0 = 100 \text{ mg/L}$ , $H = 15 \text{ cm}$ และ $Q = 9.19 \text{ mL/min}$	140
ค.47 ความสัมพันธ์ระหว่างค่าพีอิของน้ำสีสังเคราะห์สี MO กับปริมาตร สะมนหลังผ่านหอดูดซับ ที่ $C_0 = 100 \text{ mg/L}$ , $H = 15 \text{ cm}$ และ $Q = 9.19 \text{ mL/min}$	141
ค.48 ความสัมพันธ์ระหว่างปริมาตรสะมนของน้ำสีสังเคราะห์สีข้อม MO หลังผ่านหอดูดซับกับเวลา ที่ $C_0 = 100 \text{ mg/L}$ , $H = 15 \text{ cm}$ และ $Q = 9.19 \text{ mL/min}$	141
ก.1 ไอโซเทอมการคุณซับและการถ่ายซับของก้าชในโตรเจนบันแร่คิน MMT	161
ก.2 ไอโซเทอมการคุณซับและการถ่ายซับของก้าชในโตรเจนบันแร่คิน CTS/MMT	161

## คำอธิบายสัญลักษณ์และคำย่อ

$R^2$	= สัมประสิทธิ์สหสัมพันธ์
$\theta$	= The Bragg angle
d001	= ระยะห่างระหว่างชั้น โครงสร้างของแร่ดินมองต์morillonite (A°)
QACs	= สาร Quaternary Ammonium Cations
BET	= Brunauer Emmett and Teller
XRD	= X-Ray Diffusion
FTIR	= Fourier Transform Infrared Spectroscopy
SEM	= Scanning Electron Microscope
MMT	= แร่ดินมองต์morillonite (Montmorillonite clay)
CTS/MMT	= แร่ดินมองต์morilloniteที่ดัดแปลงด้วยไคโตซาน (Chitosan modified Montmorillonite)
CCN	= Chitosan/clay nanocomposite
<i>N,O-CMC-MMT</i>	= <i>N,O-carboxymethyl-chitosan/montmorillonite</i>
R1	= Chitosan/amino resin
GMA/MBA-TEPA	= Glycidyl methacrylate/methelenebisacrylimide resin loaded with tetraethelenepentamine
MOF-235	= Iron terephthalate
MWCNTs	= Multiwalled carbon nanotubes
CMK-3	= Mesoporous carbon material-kinetic
CTMAB/10SSTA-MMT	= Cetyl trimethyl ammonium bromide anionic surfactants sodium stearate and their mixture to montmorillonite
RB5	= Reactive Black 5
MO	= Methyl Orange
Organo-clay	= แร่ดินมองต์morilloniteที่ถูกปรับปูรุ่งคุณสมบัติด้วยสารอินทรีย์ประเภท QACs
TMA	= สาร Tetramethyl – ammonium
TDMA	= สาร Tetradecyltrimethylhexadecylammonium
TDMA-Br	= สาร Tetradecyltrimethyl ammonium bromide

### คำอธิบายสัญลักษณ์และคำย่อ (ต่อ)

HDTMA	= สาร Hexadecyltrimethylammonium
Abs	= Absorbance
$\lambda_{\max}$	= ความยาวคลื่นที่สารตัวอย่างสามารถดูดกลืนแสงได้มากที่สุด (nm)
pI	= จุดไอโซเลคทริก
%wt	= เปอร์เซ็นต์โดยน้ำหนัก
CEC	= ความจุในการแลกเปลี่ยนประจุบวก (Cation Exchange Capacity) (meq./g)
P	= ความดันที่สมดุลของตัวถูกคุณชาบดีอุณหภูมิต่าง ๆ
$P_0$	= ความดันที่อิ่มตัวของตัวถูกคุณชาบดีอุณหภูมิต่าง ๆ
v	= ปริมาตรของแก๊สที่ถูกคุณชาบดีอุณหภูมิหน่วยเป็นปริมาตร
$v_m$	= ปริมาณของแก๊สที่ถูกคุณชาบดีแบบขั้นเดียว
c	= ค่าคงที่ของ BET
$E_i$	= ความร้อนของการคุณชาบดีเกิดขึ้นชั้นแรก
$E_L$	= ความร้อนของการคุณชาบดีขั้นที่สองและขั้นที่สูงขึ้นต่อ ๆ ไป
N	= เลขอะโว加โด (Avogadro's number)
s	= พื้นที่ที่ตัวถูกคุณชาบดีปอกคุณบันพืนผิวของแข็ง
V	= ปริมาตรเชิงโมลของแก๊สที่ถูกคุณชาบดี
a	= มวลของคุณชาบดีหน่วยเป็นกรัม
$r_k$	= รัศมีของรูพรุน
$\sigma$	= แรงตึงผิว
$C_e$	= ความเข้มข้นของสีข้อมที่สมดุลหลังการคุณชาบดี (mg/L)
$C_0$	= ความเข้มข้นของสีข้อมเริ่มต้น (mg/L)
q	= ปริมาณการคุณชาบดีข้อม (mg/g)
$q_e$	= ปริมาณการคุณชาบดีข้อมที่สภาวะสมดุล (mg/g)
$q_m$	= ปริมาณการคุณชาบดีข้อมแบบขั้นเดียวสูงสุดจากสมการ ไอโซเทอน การคุณชาบดีแบบแดงเมียร์ (mg/g)
$q_t$	= ปริมาณการคุณชาบดีข้อมที่เวลา t (mg/g)
m	= น้ำหนักของแร่ดิน (g)
V	= ปริมาตรของน้ำ (L)

### คำอธิบายสัญลักษณ์และคำย่อ (ต่อ)

$K_d$	= สัมประสิทธิ์การแยกแข่งหรือ ค่าคงที่ Henry's Law (L/g)
$K_F$	= ค่าคงที่ของสมการไอโซเทอมการดูดซับแบบฟรุนเดิช (L/g)
$K_L$	= ค่าคงที่ของสมการไอโซเทอมการดูดซับแบบเมียร์ (L/g)
$\Delta_{ads}G^\circ$	= การเปลี่ยนแปลงพลังงานอิสระมาตรฐาน (kJ/mol)
$\Delta_{ads}H^\circ$	= การเปลี่ยนแปลงเอนthalpie มาตรฐาน (kJ/mol)
$\Delta_{ads}S^\circ$	= การเปลี่ยนแปลงเอนโทรอปี มาตรฐาน (kJ/mol*K)
$R$	= ค่าคงที่ของแก๊ส (8.314 J/mol*K)
$T$	= อุณหภูมิของสารละลายสีข้อม (K)
$k_1$	= ค่าคงที่ของสมการอันดับหนึ่งเทียน (1/min)
$k_2$	= ค่าคงที่ของสมการอันดับสองเทียน (g/mg*min)
$q_{e, exp}$	= ปริมาณการดูดซับสีข้อมที่สภาวะสมดุลจากการทดลอง (mg/g)
$q_{e, cal}$	= ปริมาณการดูดซับสีข้อมที่สภาวะสมดุลจากการคำนวณ (mg/g)
$E_a$	= พลังงานกระตุ้น (kJ/mol)
MTZ	= Mass Transfer Zone
$t^*$	= เวลาการดูดซับอุดมคติของกราฟเบรคทู (min)
$L$	= ความยาวของเบดในหอดูดซับ (m)
$W_{sat}$	= น้ำหนักของตัวถูกดูดซับบนตัวดูดซับที่สภาวะสมดุล (g/g)
$W_0$	= น้ำหนักของตัวถูกดูดซับบนตัวดูดซับที่เวลาเริ่มต้น (g/g)
$\rho_b$	= ความหนาแน่นรวมของเบดในหอดูดซับ (kg/m <sup>3</sup> )
$t_b$	= เวลาที่จุดเบรคทู (min)
$V_b$	= ปริมาตรที่จุดเบรคทู (mL)
$q_{total}$	= ปริมาณการดูดซับสีข้อมทั้งหมดในระบบหอดูดซับแบบเบดนิ่ง (mg)
LUB	= ความยาวของเบดที่ยังไม่ได้ใช้งาน (m)
$BV$	= Bed volume
$Q$	= อัตราการไหลในหอดูดซับจริง (m <sup>3</sup> of fixed-bed/min)
$Q_0$	= อัตราการไหลในหอดูดซับขนาดเล็กในห้องปฏิบัติการ (m <sup>3</sup> of fixed-bed/min)

### คำอธิบายสัญลักษณ์และคำย่อ (ต่อ)

$M$	= น้ำหนักของตัวคูดซับในหอคูดซับจริง ( $\text{kg}/\text{min}$ )
$P$	= ความหนาแน่นรวมของตัวคูดซับ ( $\text{kg}/\text{m}^3$ )
$T$	= เวลาที่จุดเบรคทร่าสำหรับหอคูดซับจริง ( $\text{min}$ )
$M_t$	= มวลของตัวคูดซับในหอคูดซับ ณ จุดที่ตัวคูดซับหมดสภาพต่อหน่วยเวลา ( $\text{kg}/\text{min}$ )
$D_{sc}$	= สัมประสิทธิ์การแพร่กระจายในรูป/run ของอนุภาคคาร์บอนที่มีขนาดเล็ก
$D_{lc}$	= สัมประสิทธิ์การแพร่กระจายในรูป/run ของอนุภาคคาร์บอนที่มีขนาดใหญ่
$d_{lc}$	= เส้นผ่าศูนย์กลางของอนุภาคคาร์บอนที่มีขนาดอนุภาคใหญ่
$d_{sc}$	= เส้นผ่าศูนย์กลางของอนุภาคคาร์บอนที่มีขนาดอนุภาคเล็ก
$x$	= แฟกเตอร์การแพร่ (Diffusivity factor)
$EBCT_{sc}$	= EBCT ของอนุภาคที่อยู่ในหอคูดซับขนาดเล็ก
$EBCT_{lc}$	= EBCT ของอนุภาคที่อยู่ในหอคูดซับขนาดใหญ่
$t_{sc}$	= เวลาในการดำเนินการของหอคูดซับขนาดเล็ก
$t_{lc}$	= เวลาในการดำเนินการของหอคูดซับขนาดใหญ่
$v_{sc}$	= ความเร็วในหอคูดซับขนาดเล็ก
$v_{lc}$	= ความเร็วในหอคูดซับขนาดใหญ่
$Re_{sc, \min}$	= ค่าเรย์โนลด์สเบอร์ที่น้อยที่สุดในหอคูดซับขนาดเล็ก
$Re_{lc}$	= ค่าเรย์โนลด์สเบอร์ในหอคูดซับขนาดใหญ่
$\nu$	= ความหนืดเชิงไกนีเมติก (Kinematic viscosity)
$e$	= ความพรุนในเบคนิ่ง
$Re$	= ค่าเรย์โนลด์สเบอร์
$L_{sc}$	= ความยาวของเบคของหอคูดซับที่มีรูป/run ขนาดเล็ก

## กิตติกรรมประกาศ

วิทยานิพนธ์นี้สำเร็จลุล่วงด้วยดี ผู้วิจัยขอกราบขอบพระคุณ บุคคล และกลุ่มบุคคลต่าง ๆ ที่ได้ร่วมให้คำปรึกษา แนะนำ ช่วยเหลือ อย่างดีเยี่ยม ทั้งในด้านวิชาการและด้านการดำเนินงานวิจัย ได้แก่

ขอขอบพระคุณ ดร.จักรกฤษณ์ อัมพุช อาจารย์ที่ปรึกษาวิทยานิพนธ์ ที่ค่อยดูแลเอาใจใส่ เป็นอย่างดีและให้กำลังใจในการทำงานวิจัยจนสำเร็จสิ้นและลุล่วงไปด้วยดี

ขอขอบพระคุณประธานหลักสูตรสาขาวิชาศึกกรรมสิ่งแวดล้อม คณะกรรมการสอน วิทยานิพนธ์ทุกท่าน ที่ได้ให้คำแนะนำปรึกษาเกี่ยวกับข้อเสนอของวิทยานิพนธ์และข้อมูลที่เกี่ยวข้อง กับงานวิจัยที่จะทำให้สามารถทำงานวิจัยสำเร็จลุล่วงไปด้วยดี รวมถึงเจ้าหน้าที่ธุรการบันทึกศึกษา สาขาวิชาศึกกรรมสิ่งแวดล้อม คณะกรรมการศาสตร์ มหาวิทยาลัยอุบลราชธานี ที่กรุณาช่วยเหลือ ในระหว่างดำเนินงานวิทยานิพนธ์ครั้งนี้

ขอขอบคุณเจ้าหน้าที่ห้องปฏิบัติการภาควิชาศึกกรรมเคมี คณะศึกกรรมศาสตร์ มหาวิทยาลัยอุบลราชธานี ที่ได้ให้ความอนุเคราะห์สถานที่ เครื่องมือและอุปกรณ์ต่าง ๆ ในการทดลองเป็นอย่างดี

ขอขอบคุณเพื่อน ๆ นักศึกษาปริญญาโท สาขาวิชาศึกกรรมสิ่งแวดล้อม และน้อง ๆ นักศึกษาปริญญาตรี สาขาวิชาศึกกรรมสิ่งแวดล้อม และสาขาวิชาศึกกรรมเคมีและชีวภาพ คณะศึกกรรมศาสตร์ มหาวิทยาลัยอุบลราชธานี ที่ค่อยให้กำลังใจและช่วยเหลือในการทำงานวิจัย ด้วยดีตลอดมา

ขอขอบพระคุณหลักสูตรบัณฑิตศึกษา สาขาวิชาศึกกรรมสิ่งแวดล้อม คณะ วิศวกรรมศาสตร์ มหาวิทยาลัยอุบลราชธานี และโครงการทุนนักวิจัยหน้าใหม่ ที่ให้การสนับสนุน ด้านทุนวิจัยเป็นอย่างดี

ท้ายนี้ ขอกราบขอบพระคุณบิค่า มารดา ที่ให้การเลี้ยงดูอบรมและส่งเสริมการศึกษาเป็น อย่างดีตลอดมาในอดีต จนทำให้ผู้วิจัยประสบความสำเร็จในชีวิตตลอดมา

ทรงศักดิ์ ยะเก้า

(นายทรงศักดิ์ ยะเก้า)

ผู้วิจัย

## บทคัดย่อ

**ชื่อเรื่อง** : การกำจัดสีข้อมโดยใช้แร่ดินมอนต์moril โลในตัวคัดแปรด้วยไกโตกาน

**โดย** : ทรงศักดิ์ สารแก้ว

**ชื่อปรญญา** : วิศวกรรมศาสตรมหาบัณฑิต

**สาขาวิชา** : วิศวกรรมสิ่งแวดล้อม

**ประธานกรรมการที่ปรึกษา** : ดร.จักรกฤษณ์ อัมพุช

**ศัพท์สำคัญ** : การคุกซับ สีเมทิลออกเรนจ์ สีรีแอคทีฟเบล็ค ๕ สารไกโตกาน แร่ดินมอนต์moril โลในตัวคัดแปรด้วยไกโตกาน

งานวิจัยนี้มีวัตถุประสงค์เพื่อศึกษาการกำจัดสีข้อมที่มีประจุลบ 2 สี ได้แก่ สีรีแอคทีฟเบล็ค ๕ (Reactive Black 5: RB5) และสีเมทิลออกเรนจ์ (Methyl Orange: MO) จากน้ำสีสังเคราะห์โดยใช้แร่ดินมอนต์moril โลในตัวคัดแปรด้วยไกโตกาน (Chitosan modified Montmorillonite: CTS/MMT) เป็นตัวคุกซับ การทดลองแบ่งออกเป็น 3 ส่วน ได้แก่ ส่วนที่ ๑ การวิเคราะห์คุณสมบัติของตัวคุกซับ พบว่า การคัดแปรแร่ดินมอนต์moril โลในต์ (Montmorillonite: MMT) ด้วยสารไกโตกานจะส่งผลให้แร่ดิน MMT มีพื้นที่ผิวคล่อง มีขนาดของรูพรุนเฉลี่ยใหญ่ขึ้น และระบบของช่องว่างระหว่างชั้นดิน ( $d_{001}$ ) เพิ่มขึ้นจากเดิม  $1.27\text{ nm}$  ไปเป็น  $1.40\text{ nm}$  ผลการวิเคราะห์ด้วยเครื่องฟูเรียร์transform spectrometer (Fourier Transform Infrared Spectrophotometer) แสดงให้เห็นการแตกเปลี่ยนของหมู่อะมิโนของไกโตกานกับประจุบวกภายในแร่ดิน MMT ส่วนที่ ๒ การศึกษาสมดุลและอัตราการคุกซับ พบร่วม CTS/MMT มีประสิทธิภาพในการกำจัดสี RB5 และ MO สูงกว่าแร่ดิน MMT ร้อยละ 71.48 และ 65.18 ตามลำดับ ปริมาณการคุกซับสีข้อม เกิดขึ้นสูงสุดที่ค่า pH เท่ากับ 2 และอุณหภูมิ  $55^\circ\text{C}$  ข้อมูลสมดุลการคุกซับมีความสอดคล้องกับใช้เทอมแแบบเมียร์มากกว่า ไอโซเทอมแแบบฟรุนดิช อัตราการคุกซับของสีข้อมทั้งสองชนิดเพิ่มขึ้นอย่างรวดเร็วในช่วงแรก และเข้าสู่สมดุลภายใน 60 นาที ข้อมูลอัตราการคุกซับสอดคล้องกับสมการอัตราการคุกซับอันดับสองเที่ยม ส่วนที่ ๓ การศึกษาการคุกซับในหน่วยปฏิบัติการหอคุกซับแบบเบ肯นิ่ง พบร่วม ปริมาณการคุกซับสูงสุดของสี RB5 และ MO มีค่าเท่ากับ  $9.12$  และ  $7.35\text{ mg/g}$  ตามลำดับ ปริมาณการคุกซับจะเพิ่มขึ้นตามความสูงของเบคและความเข้มข้นเริ่มต้น แต่จะลดลงตามอัตราการไหลที่เพิ่มขึ้น ผลการวิจัยแสดงให้เห็นว่าแร่ดิน CTS/MMT เป็นตัวคุกซับที่มีประสิทธิภาพสำหรับการกำจัดสี RB5 และ MO

## ABSTRACT

TITLE : REMOVAL OF DYE USING CHITOSAN MODIFIED  
MONTMORILLONITE CLAY

BY : SONGSAK SAKAEW

DEGREE : MASTER OF ENGINEERING

MAJOR : ENVIRONMENTAL ENGINEERING

CHAIR : CHAKKRIT UMPUCH, Ph.D.

KEYWORDS : ADSORPTION / METHY ORANGE / REACTIVE BLACK 5 / CHITOSAN /  
CHITOSAN MODIFIED MONTMORILLONITE CLAY

The objective of this research was to study the removal of two negatively-charged dyes such as reactive black 5 (RB5) and methyl orange (MO) from aqueous solution by using chitosan modified montmorillonite (CTS/MMT) as adsorbents. The experiment was divided into 3 parts. Firstly, the physical properties of the both adsorbents were characterized. The modification of montmorillonite (MMT) by intercalation of chitosan caused a decrease of surface area and an increase of average pore size and an expansion of basal spacing ( $d_{001}$ ) from 1.27 nm to 1.40 nm. The result of Fourier Transform Infrared Spectrophotometer shows the ion-exchange between amino groups of chitosan with the positively-charged molecules inside MMT. Secondly, the study of equilibrium and kinetic adsorptions was investigated. The CTS/MMT has dye removal percentage of RB5 and MO higher than that of MMT about 71.48 and 65.18, respectively. The maximum adsorption capacity of both dyes was obtained at initial pH value of the dye solution of 2 and operating temperature of 55 °C. The equilibrium adsorption data was better fitted to Langmuir isotherm model comparing with that of Freundlich isotherm. The rate of adsorption increased initially rapid and reached equilibrium within 60 min. The adsorption rate data were better fitted to pseudo-second order equation. Finally, fixed-bed adsorption column experiments demonstrating that the maximum of adsorption capacity of RB5 and MO was 9.12 and 7.35 mg/g, respectively. The adsorption capacities increased with bed height and initial dye concentration, but

decreased with an increase in flow rate. The results show that the CTS/MMT is an effective adsorbent for removal of RB5 and MO.

## บทที่ 1

### บทนำ

#### 1.1 ความสำคัญและที่มาของปัญหาการวิจัย

ปัจจุบันน้ำเสียที่เกิดจากการปนเปื้อนของสีข้อมเคมีมีแนวโน้มเพิ่มมากขึ้น ตามการขยายตัวของอุตสาหกรรมต่าง ๆ เช่น อุตสาหกรรมสิ่งทอ อุตสาหกรรมฟอกซ้อม อุตสาหกรรมการผลิตกระดาษ เป็นต้น น้ำเสียที่เกิดขึ้นส่วนใหญ่จะมีอุณหภูมิสูง มีสีเข้ม มีกลิ่นเหม็น และมีปริมาณสารอินทรีย์สูง เนื่องจากสีข้อมเคมีสามารถละลายในน้ำได้ดี มีขนาดไม่เล็กหลาดใหญ่และมีโครงสร้างซับซ้อนซึ่งไม่สามารถย่อยสลายได้เองตามธรรมชาติที่สภาพภาวะปกติ (Aksu, 2005) หากน้ำเสียเหล่านี้ปนเปื้อนลงในแหล่งน้ำธรรมชาติในปริมาณมากจะทำให้แหล่งน้ำเน่าเสีย ส่งผลกระทบต่อสิ่งมีชีวิตในแหล่งน้ำ เช่น สีข้อมเคมีที่ละลายในน้ำจะบดบังแสงแดดทำให้พืชนาไม่สามารถดึงเคราะห์แสงได้ และจะลดการแพร่ของออกซิเจนเข้าสู่ผิวน้ำ ส่งผลให้ออกซิเจนในน้ำลดลงและส่งผลเสียต่อสัตว์น้ำเป็นต้น นอกจากนี้ยังทำให้เกิดการทำลายทัศนียภาพและเป็นที่น่ารังเกียจ

การกำจัดสีข้อมที่ปนเปื้อนอยู่ในน้ำเสียสามารถทำได้หลายวิธี ได้แก่ วิธีทางกายภาพ วิธีทางเคมี และวิธีทางชีวภาพ ถึงแม้ว่าวิธีการทางเคมีและทางชีวภาพจะให้ประสิทธิภาพในการกำจัดสีข้อมสูง แต่จำเป็นต้องใช้เครื่องมือที่มีลักษณะเฉพาะ มีการใช้พลังงานสูง และมีปริมาณของผลิตภัณฑ์พอลอยได้เกิดขึ้นตามมาด้วย การใช้วิธีทางกายภาพ เช่น การคุตซับ การแยกเปลี่ยนประจำ และการกรองผ่านแผ่นเยื่อบาง เป็นต้น เป็นวิธีที่มีประสิทธิภาพและไม่ก่อให้เกิดสารพอลอยได้ตามมาดังนั้นวิธีทางกายภาพจึงเป็นวิธีที่นำมาใช้ในการกำจัดสีข้อมเคมีอย่างแพร่หลาย (Al-Deges et al., 2008) การคุตซับเป็นวิธีการหนึ่งที่นิยมใช้เนื่องจากมีคืนทุนต่ำและเป็นกระบวนการที่ไม่ซับซ้อน ซึ่งสามารถนำวัสดุที่มีราคาถูกมาใช้เป็นตัวคุตซับ เช่น แร่ดิน วัสดุเหลือใช้จากการเกษตร เปลือกผลไม้ ชีวมวล และใบโอะโอะลิเมอร์ เป็นต้น (Rafatullah et al., 2010) ในอดีต ได้มีการศึกษาการเตรียมถ่านกัมมันต์เป็นจำนวนมาก เนื่องจากถ่านกัมมันต์มีประสิทธิภาพในการกำจัดสีข้อมสูงมาก ซึ่งมีหมู่การรับออกซิลและหมู่อะมิโนอยู่ที่พื้นผิวทำหน้าที่ในการยึดจับและสามารถคุตซับไօอ่อนที่มีประจำนากและไօอ่อนที่มีประจำลูน ไว้ที่ผิวได้ดี ตัวอย่างเช่น ถ่านกัมมันต์สามารถคุตซับสีเมทิลีนบลู (Methylene Blue) และสีเอสิกบลู 29 (Acid Blue 29) ในปริมาณสูงถึง 453.12 และ 554.32 mg/g ตามลำดับ (Auta and Hameed, 2011) อย่างไรก็ตามถ่านกัมมันต์มีคืนทุนในการเตรียมสูง และหากต่อการนำกลับมาใช้ใหม่และการกำจัด ดังนั้นมีอยู่นานนานนี้ การพัฒนาตัวคุตซับจากแร่ดินธรรมชาติมี

การศึกษาเพิ่มมากขึ้น เนื่องจากเป็นตัวคุณภาพที่มีราคาถูก มีปริมาณมาก และสามารถนำกลับมาใช้ใหม่ได้ (Wang and Wang, 2007)

แร่ดินอนต์มอริล โลไนต์ (MMT) เป็นแร่ดินธรรมชาตินิคหนึ่งที่นิยมใช้เป็นตัวคุณภาพ สีข้อม Clem เนื่องจากมีพื้นที่ผิวสูง และมีราคาถูก มีปริมาณมากและมีการผลิตในเชิงพาณิชย์ กากในประเทศไทย และผลิตภัณฑ์แร่ดินมีความบริสุทธิ์สูงเนื่องจากผ่านกระบวนการการทำบริสุทธิ์หลายขั้นตอน (จักรกุญแจ อัมพุช และรัตนวรรณ เกียรติโภนล, 2549) แร่ดิน MMT เป็นแร่ดินในกลุ่ม สมคไทร์ (Smectite) ที่มีอัลูมินา ( $Al_2O_3$ ) และซิลิเกต ( $SiO_4$ ) เป็นองค์ประกอบหลัก โครงสร้างของแร่ดิน MMT จะซ้อนกันเป็นชั้น (Lamellar structure) และระหว่างชั้นดินจะมีช่องว่างอยู่ชั้งสามารถ ขยายตัวได้เมื่อละลายในน้ำ แร่ดิน MMT มีประจุลบอยู่บนพื้นผิวทำให้สามารถดูดซับสีข้อมที่มี ประจุบวกได้ดี เช่น แร่ดิน MMT มีปริมาณการดูดซับของสีเมทิลีนบลูแบบชั้นเดียวสูงสุดเท่ากับ 322.6 mg/g (ปีหมายเหตุ จากรุวงศ์, 2545) แร่ดิน MMT มีปริมาณการดูดซับของสีโรดามีนบี (Rhodamine B) แบบชั้นเดียวสูงสุดเท่ากับ 42.19 mg/g (Panneer Selvam et al., 2008) เป็นต้น

ถึงแม้ว่าแร่ดิน MMT มีปริมาณในการดูดซับสีข้อมที่มีประจุสูง แต่เมื่อนำมาดูดซับสีข้อม ที่มีประจุลบจะดูดซับได้น้อย เนื่องจากแรงผลักระหว่างประจุลบของแร่ดินกับประจุลบของสีข้อม (จักรกุญแจ อัมพุช, 2549) และสีข้อมที่มีประจุลบเป็นสีที่ใช้มากในอุตสาหกรรมฟอกย้อมของ ประเทศไทย ดังนั้นจึงได้มีการคัดแปรแร่ดิน MMT ด้วยสารต่าง ๆ เช่น สารลดแรงตึงผิวและกรด เพื่อ เพิ่มปริมาณการดูดซับของแร่ดินให้สามารถดูดซับไออกอนที่มีประจุลบได้ ตัวอย่างเช่น การคัดแปร แร่ดิน MMT ด้วยสารลดแรงตึงผิวซิทิลไตรเมทิลแอนโนเนียมเบนโซเมทัล (Cetyltrimethylammonium bromide) สามารถเพิ่มเบอร์เซ็นต์การกำจัดเมทิลօเรนจ์ได้ถึง 80.12 % และการคัดแปรสารลดแรง ตึงผิวจีมินี (Gemini) สามารถเพิ่มเบอร์เซ็นต์ในการกำจัดเมทิลօเรนจ์ได้ถึง 90.62 % (Kan et al., 2011) การคัดแปรแร่ดิน MMT ด้วยกรดไฮโดรคลอโรกัลิกสามารถเพิ่มปริมาณการดูดซับเมทิลօเรนจ์ ได้ถึง 88 % แต่จะมีเวลาในการเข้าสู่สมดุลนานกว่า (Teng and Lin, 2006) เป็นต้น ดังนั้น แร่ดิน MMT ที่ถูกคัดแปรจึงมีประสิทธิภาพในการกำจัดสีข้อมคิดกว่าแร่ดิน MMT

นอกจากนี้ แร่ดิน MMT สามารถนำมาคัดแปรด้วยสารไฮโคลาชาน (CTS/MMT) และทำให้พื้นผิวของตัวคุณภาพมีประจุบวก และสามารถดูดซับไออกอนที่มีประจุลบได้ดี เนื่องจากสารไฮโคลาชานเป็นไขโอโพลิเมอร์ธรรมชาติที่มีประจุบวกอยู่ที่ผิว (Darder et al., 2003) ไฮโคลาชานเป็นสารที่สามารถถักด้วยกันเป็นรูปแบบของสัตว์พวงกุญแจ แมลง และปู เป็นต้น ซึ่งมีการบริโภคสัตว์เหล่านี้ในประเทศไทยเป็นจำนวนมาก จึงทำให้มีเปลือกแข็งของสัตว์เหล่านี้เหลือทั้งเป็นจำนวนมาก ถึงแม้ว่าสารไฮโคลาชานจะมีประสิทธิภาพในการกำจัดสีข้อมสูง แต่สารไฮโคลาชานละลายน้ำได้น้อย และพองตัวง่ายเมื่อละลายน้ำ การนำสารไฮโคลาชานมาตรึงไว้บนพื้นผิวของแร่ดิน MMT จะช่วยให้มี

ประสิทธิภาพในการกำจัดสีข้อมเคลมเพิ่มขึ้น เช่น การคัดแปรรั่ว MMT ด้วยสารไกโตกานะมีปริมาณการดูดซับสีคงโกรด (Congo Red) เท่ากับ  $54.52 \text{ mg/g}$  ซึ่งสูงกว่าปริมาณการดูดซับด้วยแร่ดิน MMT มีค่าเท่ากับ  $12.70 \text{ mg/g}$  และมีค่าน้ำอ่อนกว่าสารไกโตกานะมากเดียวมีค่าเท่ากับ  $81.23 \text{ mg/g}$  (Wang and Wang, 2007) ดังนั้นในงานวิจัยนี้จึงทำการศึกษาการคัดแปรรั่ว MMT ด้วยไกโตกานะเพื่อใช้เป็นตัวดูดซับในการกำจัดสีข้อมเคลมที่มีประจุลบจากน้ำสีสังเคราะห์ ได้แก่ สีรีดคอทีฟเบล็ก 5 และสีเมทิลอะเวนเจ ซึ่งเป็นสีข้อมที่นิยมใช้ในอุตสาหกรรมฟอกย้อม และอุตสาหกรรมสีงทองของประเทศไทย

## 1.2 วัตถุประสงค์ของการวิจัย

เพื่อศึกษาการกำจัดสีข้อมจากน้ำสีสังเคราะห์โดยใช้แร่ดินมอนต์morilite ในตัวคัดแปรด้วยไกโตกานะเป็นตัวดูดซับ โดยศึกษาในประเด็นดังนี้

- 1.2.1 เพื่อศึกษาคุณสมบัติทางกายภาพและทางเคมีของตัวดูดซับ
- 1.2.2 เพื่อศึกษาการดูดซับแบบชนิดขั้นตอนเดียว
- 1.2.3 เพื่อศึกษาการดูดซับในระบบหอดูดซับแบบเบนจิง

## 1.3 สมมติฐาน

1.3.1 แร่ดิน CTS/MMT จะมีความสามารถในการดูดซับสีข้อมที่มีประจุลบได้ดีกว่าแร่ดิน MMT เนื่องจากแร่ดิน MMT มีประจุลบ เมื่อนำมาคัดแปรด้วยสารไกโตกานะทำให้แร่ดินมีประจุลบ

1.3.2 ปริมาณการดูดซับสีข้อมในการทดลองแบบชนิดขั้นตอนเดียวอาจจะเพิ่มขึ้น เมื่อเพิ่มเวลาในการสัมผัส หรือการลดลงของค่าพีเอชของสารละลายน้ำจากในโรงงานฟอกย้อมจะนิยมข้อมสีที่มีประจุลบในสภาวะที่เป็นกรด หรือการเพิ่มขึ้นของอุณหภูมิเนื่องจากในขั้นตอนการข้อมสีผ้าจะนิยมข้อมที่อุณหภูมิสูง

1.3.3 ปริมาณการดูดซับสีข้อมในหน่วยปฏิบัติการหอดูดซับอาจจะเพิ่มขึ้นเนื่องจาก การเพิ่มความเข้มข้นเริ่มต้นของสีข้อม เพราะอาจจะทำให้การถ่ายโอนมวลสูงขึ้นเมื่อความแตกต่างของความเข้มข้นของสีข้อมในสารละลายน้ำกับตัวดูดซับเพิ่มสูงขึ้น หรือการลดลงของอัตราการไหลเนื่องจากทำให้เวลาสัมผัสระหว่างสีข้อมในสารละลายน้ำกับตัวดูดซับเพิ่มมากขึ้น หรือการเพิ่มขึ้นของความสูงของเบนจิงเนื่องจากมีพื้นที่ผิวในการดูดซับเพิ่มสูงขึ้น

#### 1.4 ขั้นตอนของการวิจัย

1.4.1 สีข้อมที่ใช้ในการทดลองเป็นสีข้อมที่มีประจุลบ จำนวน 2 ชนิด คือ สีรีแอคทีฟ แบล็ค 5 (Reactive Black 5) ซึ่งซื้อจาก Sigma-Aldrich บริษัท Sigma-Aldrich จำกัด ประเทศไทย และสีเมทิลออกเรนจ์ (Methyl Orange) ซึ่งซื้อจาก Labchem บริษัท Asia Pacific Specialty Chemicals จำกัด ประเทศไทยอสเตรเลีย

1.4.2 ตัวดูดซับที่ใช้ในการทดลองมี 2 ชนิด คือ แรร์ดิน MMT (บริษัท ไทยนิปปอน เคมีภัณฑ์อุตสาหกรรม จำกัด) และแรร์ดิน CTS/MMT

1.4.3 การวิเคราะห์สมบัติทางกายภาพของตัวดูดซับ ประกอบด้วย การวิเคราะห์พื้นที่ผิว และขนาดรูพรุนเฉลี่ย ระยะของช่องว่างระหว่างชั้นคิน หน่วยฟังก์ชันของตัวดูดซับ สัมฐานะและลักษณะพื้นผิว ปริมาณชาตุкар์บอน ไฮโคลเคน และไนโตรเคน จุดไอโซอิเลคทริก (Isoelectric point) และปริมาณสารอินทรีย์ในตัวดูดซับ

1.4.4 การศึกษาการดูดซับแบบกะนิดขั้นตอนเดียว ประกอบด้วย การศึกษา ประสิทธิภาพการดูดซับ การศึกษาอิทธิพลของค่าพีเอชเริ่มต้นของสารละลายน การศึกษาอิทธิพลของ อุณหภูมิ การศึกษาไอโซเทอมการดูดซับ การศึกษาอิทธิพลของเวลาสัมผัส และการศึกษา ขนาดผลศาสตร์การดูดซับ

1.4.5 การศึกษาการดูดซับในระบบหอดูดซับแบบเบ肯นิ่ง ประกอบไปด้วย การศึกษา อิทธิพลของความสูงของเบ肯นิ่ง อิทธิพลของความเข้มข้นเริ่มต้นของสารละลายนสีข้อม และอิทธิพล ของอัตราการไหลด

1.4.6 การศึกษาประสิทธิภาพการดูดซับใช้ตัวดูดซับ 2 ชนิด ส่วนการทดลองที่เหลือ เลือกใช้ตัวดูดซับที่สามารถดูดซับสีข้อมแต่ละสีได้มากกว่าจากผลการศึกษาประสิทธิภาพการดูดซับ

1.4.7 การศึกษาการดูดซับแบบกะจะทำการทดลอง 2 ชั้น และความเร็วของในการเขย่า 200 rpm

1.4.8 วิเคราะห์ปริมาณการดูดซับด้วยหลักการดูดกลืนแสงเทียบกับความเข้มข้นด้วย เครื่องวัดค่าการดูดกลืนแสง (UV-VIS Spectrophotometer)

1.4.9 การศึกษานี้พิจารณาเฉพาะการกำจัดสีข้อม เพื่อบ่งชี้ประสิทธิภาพและศักยภาพ ของระบบเท่านั้น

### 1.5 ประโยชน์ที่คาดว่าจะได้รับ

1.5.1 สามารถจำจัดสีข้อมูลในน้ำเสื้อสังเคราะห์ได้ โดยใช้แร่ดิน CTS/MMT เป็นตัวคูดซับ

1.5.2 ผลการวิจัยที่ได้สามารถนำไปประยุกต์ใช้ในการจำจัดสีข้อมูลในน้ำเสียที่เกิดจากโรงงานฟอกข้อมูลได้

1.5.3 เพิ่มประสิทธิภาพและพัฒนาความสามารถในการใช้แร่ดิน MMT ที่เป็นวัสดุธรรมชาติที่มีอยู่มากในประเทศไทย และมีราคาถูกให้เกิดประโยชน์มากขึ้น

1.5.4 สามารถนำสารไฮโดรเจนที่สกัดมาจากการเปลือกของสัตว์พวงกรุง แมลง และปูซึ่งเป็นของเสียชนิดหนึ่งที่มีอยู่เป็นจำนวนมากในประเทศไทย มาใช้ประโยชน์ได้มากขึ้น

### 1.6 สถานที่ทำการวิจัย

ห้องปฏิบัติการภาควิชาวิศวกรรมเคมี คณะวิศวกรรมศาสตร์ มหาวิทยาลัยอุบลราชธานี

## บทที่ 2

### ทฤษฎีและงานวิจัยที่เกี่ยวข้อง

#### 2.1 สีอ่อน

สีอ่อน (Dyes) คือ สีชนิดหนึ่งที่ใช้ในการย้อมวัสดุต่างๆ อาจจะเป็นสารอินทรีย์หรือสารอนินทรีย์ได้ มีลักษณะเป็นผลึกหรือผงละเอียด สีอ่อนบางชนิดคละลายน้ำได้ บางชนิดจะไม่สามารถคละลายน้ำแต่จะคละลายในตัวทำลายอินทรีย์ได้ เมื่อนำสีอ่อนไปใช้ในกระบวนการย้อม จะทำให้โมเลกุลของสีอ่อนซึ่งผ่านเข้าไปในโมเลกุลของเส้นใยโดยจะทำลายโครงสร้างผลึกของวัตถุนั้นชั่วคราว ซึ่งอาจเกิดพันธะไอออนิก (Ionic bond) หรือพันธะโคوالเอนท์ (Covalent bond) กับวัตถุที่ต้องการย้อมโดยตรง สีที่เห็นจากสีอ่อนนั้นเกิดจากอิเล็กตรอนในพันธะคู่ซึ่งอยู่ในโมเลกุลของสีอ่อนนั้นมีความสามารถดูดกลืนพลังงานในช่วงスペกตรัมต่างกัน พลังงานแสงที่สายตามองเห็นจะมีความยาวคลื่นช่วง 400 – 700 นาโนเมตร สีอ่อนที่มีโครงสร้างทางโมเลกุลต่างกันจะมีความสามารถในการดูดกลืนพลังงานแสงที่ช่วงความยาวคลื่นต่าง ๆ กันไป ซึ่งสายตาสามารถรับภาพได้ จึงทำให้โมเลกุลสีอ่อนต่างโทนสีกันแสดงสีให้เราเห็นด้วยสายตาอุปกรณ์เป็นต่างกันไป

สีอ่อนเคมีอาจเข้าสู่ร่างกายของผู้ใช้ได้ 3 ทางคือ ทางการหายใจด้วยการสูดดมสีที่ฟุ้งกระจายอยู่ในอากาศ จากการสัมผัสทางผิวนังและจากการประปันเข้าไปกับอาหารการกิน สารบางชนิดในสีอ่อนหากเข้าสู่ร่างกายจะไปสะสมอยู่ภายในอวัยวะต่าง ๆ จะก่อตัวเป็นสารก่อมะเร็ง เช่น 2-naphthylamine และ NH<sub>2</sub>Benzidine สีอ่อนบางชนิด เช่น สี Azo เป็นสีที่ทำได้ง่ายและมีราคาถูกซึ่งมีส่วนประกอบของโลหะหนักโดยเมียนพสมอยู่ ถ้าทึบลงไปในน้ำจะเป็นอันตรายต่อปลาและสัตว์มีชีวิตในน้ำ ถ้าเข้าสู่ร่างกายมนุษย์จะเป็นสารก่อมะเร็ง (จักรกฤษณ์ อัมพุช, 2549) การจำแนกสีอ่อนที่นิยมกันมากที่สุด คือ การจำแนกสีอ่อนตามการนำใช้ เนื่องจากสีอ่อนมีหลากหลายประเภทและมีการใช้งานที่ไม่เหมือนกันขึ้นอยู่กับวัตถุประสงค์ในการใช้งาน ซึ่งในกลุ่มโรงงานอุตสาหกรรมได้จำแนกสีอ่อนตามวิธีใช้งาน ออกเป็น 11 ประเภท ได้ดังนี้

2.1.1 สีเอชิด (Acid dye) สีชนิดนี้เกิดจากสารประกอบอินทรีย์มีประจุลบ คละลายน้ำได้ คือ ส่วนใหญ่เป็นเกลือของกรดกำมะถัน กลไกในการติดสีเกิดเป็นพันธะไอออนิก ใช้ย้อมเส้นใยโปรตีน ในน้ำซึ่งที่มีสภาพเป็นกรดเจื้อจาง สีเอชิดบางตัวสามารถนำไปใช้ย้อมเส้นใยเซลลูโลส บริสุทธิ์ได้ เช่น ปอ ป่าน ไนลอน ไขขนแกะ ไนน และอะคริลิกได้ วิธีการใช้งานนำสีอ่อนที่เกิดจากสารประกอบอินทรีย์ไปคละลายน้ำซึ่งที่เป็นกรดหรือเป็นกลาง สีเอชิดไม่ทนเหงื่อ

2.1.2 สีไดเรกท์ (Direct dye) หรืออาจเรียกว่าสีข้อมือ สายนิคนี้ส่วนใหญ่เป็นสารประกอบอะโซที่มีน้ำหนักโมเลกุลสูง มีหมู่กรดจัลไฟนิกที่ทำให้ตัวสีสามารถละลายน้ำได้ มีประจุลบ นิยมใช้ข้อมเด็นไฮเซลลูโลส สีจะติดเด็นไปได้โดยไม่เกิดการออกซิเจน ระหว่างโมเลกุลเด็น ハイโคลเจน สีไม่ทนต่อการซักน้ำ ตกจ่าง ทนแสง

2.1.3 สีเบสิก (Basic dye) หรือบางครั้งเรียกสีแคทไออ้อนนิก (Cationic dyes) ทั้งนี้ เพราะเวลาสีอยู่ในน้ำ สีจะแสดงคงประจุบวกบนโครงสร้างโมเลกุลของสี และใช้ส่วนประจุบวกนี้ให้เกิดพันธะกับเด็นไฮท์แสดงประจุลบเป็นพันธะไฮอ่อนิก นิยมใช้ข้อมเด็นไฮโปรตีน ในลอน และไฮอะคริลิก ได้ดี ในขณะข้อมโมเลกุลของสีส่วนที่มีประจุบวกจะยึดจับกับโมเลกุลของเด็นไฮที่มีประจุลบ เป็นสีที่คิดเห็น ไม่ควรใช้ข้อมเด็นไฮธรรมชาติ เพราะจะไม่ทนต่อการซักและแสง

2.1.4 สีดิสเพอร์ส (Disperse dye) เป็นสีที่ไม่ละลายน้ำแต่มีสมบัติกระหายได้ดี สามารถข้อมเด็นไฮอะซิเตท เด็นไฮโพลีอสเทอร์ ในลอน และอะคริลิก ได้ดี การข้อมจะใช้สารพา (Carrier) เพื่อช่วยเร่งอัตราการดูดซึมของสีเข้าไปในเด็นไฮหรือข้อมโดยใช้อุณหภูมิ และความดันสูง สีดิสเพอร์สเป็นสีที่ทนแสงและการซักฟอกก่อนข้างดี แต่สีจะซึมถาวรกวันหรือแก๊สบางชนิด เช่น แก๊สไนตรัสออกไซด์ สีดิสเพอร์สแบ่งออกได้เป็น 2 กลุ่ม โดยพิจารณาตามลุ่มเคมีในตัวสีข้อม ได้แก่ สีข้อมอะโซ (Azo dyes) และสีข้อมแอมโนแอนทรากวินอยน (Amino antraquinone) ซึ่งทั้ง 2 กลุ่ม ประกอบด้วยอนุพันธ์ของเอทานอลามีน (Ethanolamine;  $\text{NH}_2\text{CH}_2\text{CH}_2\text{CH}_3$ ) หรือนุพันธ์ที่คล้ายคลึงกัน

2.1.5 สีรีแอคทีฟ (Reactive dye) เป็นสีที่ละลายน้ำได้ มีประจุลบ เมื่อยูไนน้ำจะมีสมบัติเป็นด่าง สีข้อมชนิดนี้หมายความกับการข้อมเด็นไฮเซลลูโลสมากที่สุด โมเลกุลของสีจะยึดจับกับหมู่ไฮดรอกไซด์ ( $\text{OH}^-$ ) ของเซลลูโลสและเชื่อมโยงติดกับคิวบพันธะ គัวเลนท์ในสภาวะที่เป็นด่าง กลายเป็นสารประกอบเคมีชนิดใหม่กับเซลลูโลส สีรีแอคทีฟมี 2 กลุ่ม คือ กลุ่มที่ข้อมติดที่อุณหภูมิสูง  $70-75^\circ\text{C}$  และกลุ่มที่ข้อมติดที่อุณหภูมิปกติ สีรีแอคทีฟให้สีที่สดใส ทุกสีคิดเห็นในทุกสภาวะ

2.1.6 สีอะโซอิก (Azoic dye) สีข้อมชนิดนี้ไม่สามารถละลายน้ำได้ การที่สีจะก่อรูปเป็นเด็นไฮได้ต้องข้อมด้วยสารประกอบฟีนอลซึ่งละลายน้ำได้ก่อน ซึ่งเป็นกระบวนการทำให้รวมตัวเป็นสี (Coupling) แล้วข้อมทับด้วยสารไฮอะโซคอมโพเนนท์จะเกิดเป็นสีได้ สีอะโซอิกใช้ข้อมเด็นไฮได้ทั้งเซลลูโลส ในลอน หรืออะซิเตท สีอะโซอิกเป็นสีที่ทนต่อการซัก แต่ไม่ทนต่อการขัดถู

2.1.7 สีแเว็ต (Vat dye) ตัวสีทำจากต้นคราม ต้องหมักให้ตัวสีละลายออกมายากต้นพืช จึงจะใช้ข้อมได้ ถังที่ใช้มักจะเรียกว่า "Vat" จึงเรียกันว่า สี Vat ตามถังที่ใช้มักเป็นสีที่ไม่สามารถละลายน้ำได้ เมื่อทำการข้อมต้องเตรียมน้ำข้อมให้ สีแเว็ตจะละลายน้ำโดยให้ทำปฏิกิริยา กับสารรีดิวช์ และไฮಡรอกไซด์ สีแเว็ตจะถูกรีดิวช์ให้กลาญเป็นเกลือจึงเข้าไปในเด็นไฮได้ เมื่อนำผ้าไป

ผึ้งในอาการสีในเส้นใยจะถูกออกซิไซด์เป็นสีแวร์ สีข้อมชนิดนี้มีส่วนประกอบทางเคมีที่สำคัญอยู่ 2 ชนิด คือ สีอินดิกอ (Indigoid) และ สีแอนตราควินอยด์ (Antraquinoid)

2.1.8 สีมอร์แคนท์ หรือโครม (Mordant or chrome dye) สีข้อมชนิดนี้ต้องใช้สารช่วยติดเข้าไปช่วยเพื่อให้เกิดการติดสีบนเส้นใย สารที่ช่วยติดที่ใช้คือ สารประกอบออกไซด์ของโลหะ เช่น โครเมอิน ดิบุก เหล็ก อะลูมิเนียม เป็นต้น สีมอร์แคนท์เป็นสีที่มีโมเลกุลใหญ่ซึ่งเกิดจาก สีมอร์แคนท์หลายโมเลกุลจับกับโลหะแล้วละลายน้ำได้ง่ายทำให้ข้อมได้รับง่าย ซึ่งใช้ข้อมเส้นใยโปรดีน และเส้นใยโพลีเอไนด์ได้ดี

2.1.9 สีอินเกรน เป็นสีที่ไม่ละลายน้ำ โดยจะเกิดเป็นคลอ落อยด์หลังจากเกิดปฏิกิริยา กับน้ำ สีข้อมชนิดนี้ใช้สำหรับข้อมฝ้าย

2.1.10 สีออกซิเดชัน (Oxidation dye) เป็นสีที่ละลายน้ำโดยจะเกิดเป็นคลอ落อยด์หลังจากเกิดปฏิกิริยาในน้ำโดยสีจะติดแน่น อาศัยปฏิกิริยาการแตกตัวของผลึกภายในเส้นใย ใช้สำหรับข้อมฝ้ายและขนสัตว์

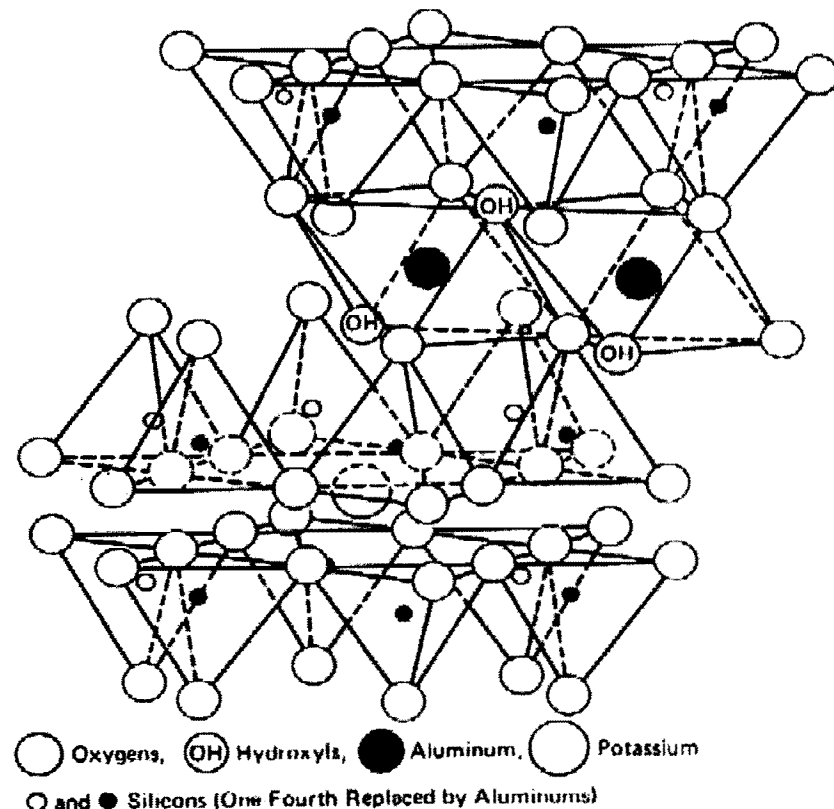
2.1.11 สีซัลเฟอร์ (Sulfur dye) เป็นสีที่ไม่ละลายน้ำ เมื่อทำการข้อมต้องรีดิวซ์สีเพื่อให้โมเลกุลอยู่ในสภาพที่ละลายน้ำได้ แต่สีซัลเฟอร์บางชนิดที่ผลิตออกมาก็สามารถนำเข้าไปในรูปที่ถูกรีดิวซ์จะละลายน้ำได้ นิยมน้ำสีซัลเฟอร์มาข้อมฝ้าย สีจะติดทน และยังเป็นสีที่มีราคาถูก แต่สีที่อ่อนจะไม่ทนต่อการซัก

สมบัติของการละลายน้ำของสีข้อมเคมีสังเคราะห์มีความสำคัญต่อความยากง่ายในการกำจัดสีข้อมออกจากน้ำเสีย ถ้าเป็นสีข้อมเคมีสังเคราะห์ละลายน้ำไม่ได้จะทำการกำจัดสีข้อมเหล่านี้ด้วยใช้วิธีการแตกตัวของสีข้อมซึ่งจะทำได้โดยง่าย แต่ถ้าเป็นสีข้อมเคมีสังเคราะห์ที่ละลายน้ำอาจต้องใช้วิธีการที่ซับซ้อนมากขึ้น เช่น การคุณซับ และการแยกด้วยเยื่อเลือกผ่าน เป็นต้น ดังนั้นสีข้อมเคมีสังเคราะห์แต่ละชนิดจะมีวิธีกำจัดที่แตกต่างกัน ขึ้นอยู่กับสมบัติของสีแต่ละประเภท (จักรกุญณ อัมพุช, 2549)

## 2.2 แร่คินมอนต์มอริลโลไนต์

แร่คินมอนต์มอริลโลไนต์ (Montmorillonite clay: MMT) มีโครงสร้างเป็นชั้น ๆ ซ้อนกันหลายชั้น มีลักษณะการจัดเรียงตัวที่ไม่แน่นอน เมื่อนำแร่คิน MMT ไปละลายน้ำ แร่คินจะเกิดการพองตัวอย่างรวดเร็ว และขยายตัวได้ แร่คิน MMT เป็นแร่คินในกลุ่มสมектิต (Smectite) มีสูตรทางเคมีทั่วไปคือ  $M_{y+} (Al_{2-y}, Mg_y) Si_4 O_{10} (OH)_2 \cdot n(H_2O)$  สำหรับสูตรอย่างง่าย (Empirical formula) ของแร่คิน MMT ได้แก่  $(Na, Ca)_{0.3} (Al, Mg)_2 Si_4 O_{10} (OH)_2 \cdot n(H_2O)$  โครงสร้างของแร่คินแสดงไว้ในภาพที่ 2.1 ในแต่ละชั้นคินจะประกอบไปด้วยแผ่น 3 แผ่นซ้อนกันได้แก่ แผ่นของซิลิกาที่มีรูปร่างของเซลล์

หน่วยเป็นแบบทรงสี่เหลี่ยม 2 แผ่นประกับกับแผ่นของอัลูมินาที่มีรูปร่างของเซลล์หน่วยเป็นแบบทรงแป็คหน้าแทรกอยู่ตรงกลาง ระหว่างชั้นดินแต่ละชั้นจะมีช่องว่างอยู่ เนื่องจากประจุของชั้นดินมีความไม่สมดุลกัน เพราะ  $Al^{3+}$  สามารถเข้าไปแทนที่  $Si^{4+}$  ในแผ่นซิลิกา นอกจากนี้  $Mg^{2+}$  และ  $Zn^{2+}$  สามารถเข้าไปแทนที่  $Al^{3+}$  ในแผ่นอัลูมินาได้ ทำให้แร่ดินชนิดนี้แสดงประจุเป็นลบ เมื่อการแทนที่เกิดขึ้นมาก ๆ ประจุลบจะมีอำนาจสูงขึ้นทำให้ออกซิเจนภายในชั้นดินพ่ายตามจัดเรียงตัวใหม่ แต่เนื่องจากเซลล์หน่วยของชั้นดินมีการอัดตัวกันอย่างแน่นหนาอยู่แล้วทำให้ออกซิเจนไม่สามารถขับได้จึงส่งผลให้มีแรงผลักดันระหว่างชั้นดิน ชั้นดินจึงแยกชั้นออกจากกันเกิดเป็นช่องว่างระหว่างชั้นดินขึ้น ดังนั้นแร่ดิน MMT ในธรรมชาติจึงมีไออกอนบวกของโลหะ เช่น โซเดียม ไออกอนแคลเซียม ไออกอน และน้ำ (ปิยมารถ จารุวงศ์ และ รัตนวรรณ เกียรติโภุมส, 2547) แทรกอยู่ในช่องว่างระหว่างชั้นดิน เพื่อคุ้กับประจุลบบนแร่ดิน MMT ด้วยเหตุนี้ทำให้ช่องว่างระหว่างชั้นดินสามารถขยายตัวได้เมื่อละลายอยู่ในน้ำ



ภาพที่ 2.1 โครงสร้างของแร่ดินมอนต์morillonite ในตัววัสดุกลวงใหญ่ คือ ออกซิเจน วงกลมกลวงเล็ก คือ ไออกอน วงกลมสีคำใหญ่ คือ อัลูมิเนียม, เหล็ก, แมกนีเซียม วงกลมสีคำเล็ก คือ ซิลิกา บางส่วนเป็นอัลูมินา วงกลมที่มี OH อยู่ตรงกลาง คือ ไออกอซิล (Ohtsuka, 1997)

แร่คิน MMT มีองค์ประกอบทางเคมีของแร่คินดังแสดงไว้ในตารางที่ 2.1 และแร่คิน MMT มีค่า CEC (Cation exchange capacity) เท่ากับ 80 meq./g

ตารางที่ 2.1 ร้อยละองค์ประกอบทางเคมีโดยน้ำหนัก (%wt) ของแร่คิน MMT

องค์ประกอบทางเคมี	%wt	องค์ประกอบทางเคมี	%wt
$\text{SiO}_2$	56-60	$\text{MgO}$	1.5-2.0
$\text{Al}_2\text{O}_3$	16-18	$\text{CaO}$	1.9-2.1
$\text{Fe}_2\text{O}_3$	5-7	$\text{K}_2\text{O}_3$	0.3-0.5
$\text{Na}_2\text{O}$	2.4-3	$\text{TiO}_2$	1.2-1.5

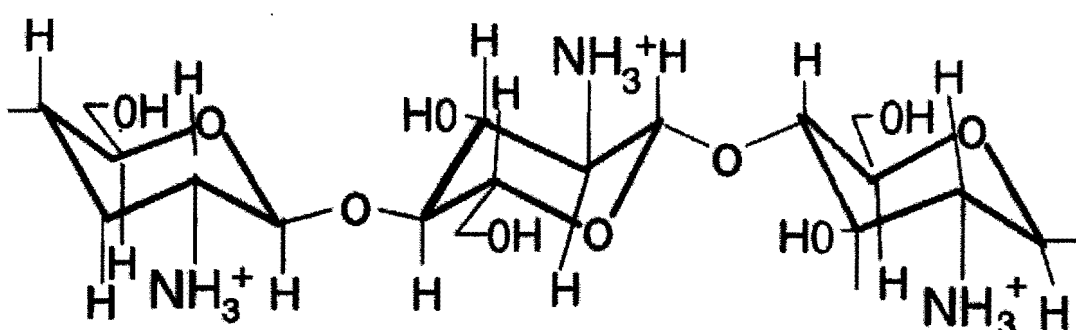
หมายเหตุ : ข้อมูลจาก บริษัท ไทยนิปปอนเคมีภัณฑ์อุตสาหกรรม จำกัด

เนื่องจากแร่คิน MMT มีคุณสมบัติชอบน้ำ (hydrophilic) จึงเป็นตัวคุณชั้บที่มีความสามารถในการคุณชั้บที่ไม่มีประจุหรือไอออนที่มีประจุลบได้น้อยอย่างไรก็ตามคุณสมบัติเหล่านี้ สามารถนำมาปรับปรุงได้โดยการนำแร่คิน MMT ไปคัดแปรคัวบสารลดแรงตึงผิวที่มีประจุบวก (Cationic Surfactant) ถ้าอยู่เป็นตัวคุณชั้บสามารถคุณชั้บไม่เลกฤทธิ์ไม่มีประจุ และไม่เลกฤทธิ์ที่มีประจุลบได้ดี แร่คินที่ถูกคัดแปรนี้จะถูกเรียกว่า “Organoclay” ซึ่งจะมีคุณสมบัติชอบสารอินทรีย์ (Organophilic) จึงเป็นตัวคุณชั้บที่มีความสามารถในการคุณชั้บสารอินทรีย์ นอกจากนี้สารลดแรงตึงผิวส่วนใหญ่จะเป็นไม่เลกฤทธิ์ที่เป็นโซ่อิยาและปลายข้างหนึ่งเป็นประจุบวก ประจุบวกเหล่านี้จะเข้าไปยึดจับกับประจุบวกคัวบแรงทางไฟฟ้า ทำให้ประจุลบบนแร่คิน MMT มีความแรงลดลง ส่งผลให้สามารถคุณชั้บไอออนที่มีประจุลบได้ดีขึ้น เช่น การคัดแปรแร่คิน MMT โดยใช้สารลดแรงตึงผิว Tetradecyltrimethyl ammonium bromide (TDMA-Br) มาใช้เป็นสารปรับปรุงพื้นผิวของแร่คิน สามารถนำไปเป็นตัวคุณชั้บสีเมทิลอะครีเลิกอะเซทิกไดค์ เป็นสีที่มีประจุลบได้ดี แต่มีประสิทธิภาพในการคุณชั้บสีเมทิลินบลูซึ่งเป็นสีที่มีประจุบวกได้น้อยลง (Wibulswas, 2004) นอกจากนี้ได้มีการนำสารลดแรงตึงผิว Hexadecyltrimethylammonium (HDTMA) มาคัดแปรคุณสมบัติพื้นผิวของแร่คิน MMT พนวจว่า สามารถคุณชั้บสารอินทรีย์ เช่น กรดไขมัน ฟินอล และแวน ila ลีน เป็นต้น ที่อยู่ในน้ำได้ดี (ปัญญาภรณ์ จากรุวงศ์ และรัตนวรรณ เกียรติโภมล, 2547)

### 2.3 ไคโตซาน

ไคโตซานเป็นไนโตรโพลิเมอร์ธรรมชาติอย่างหนึ่งเป็นสารอนุพันธ์ของไคติน มีรูปร่างหน้าตาคล้ายกับไคติน และไม่ละลายน้ำ ซึ่งมีองค์ประกอบสำคัญอยู่ในรูปของ D-glucosamine โดยไคโตซานจะได้จากปฏิกิริยาการถ่านส่วนที่เรียกว่า หมู่อะซิทิล (Acetyl group) ของไคตินออกไป เรียกว่า ปฏิกิริยาดีอะซิทิเลชัน (Deacetylation) ทำให้จากเดิมไม่เลกฤทธิ์ของไคตินที่เคยเป็นเอ็น-อะซิทิลกลูโคไซด์ (N-acetylglucosamine) ถูกปรับเปลี่ยนใหม่เหลือแค่ กลูโคไซด์ (Glucosamine) เท่านั้น จากที่เคยเรียกว่า ไคตินก็เปลี่ยนชื่อเป็นไคโตซาน พนได้ในธรรมชาติ และเป็นองค์ประกอบอยู่ในเปลือกหอยของสัตว์พวกกุ้ง ปู แมลง และเรือร่า เป็นสารธรรมชาติที่มีลักษณะโดดเด่นเฉพาะตัว คือ เป็นวัสดุชีวภาพ (Biomaterials) ข้อขลัยตามธรรมชาติ มีความปลดปล่อยในการนำมาใช้กับมนุษย์ ไม่เกิดผลเสียและปลดปล่อยต่อสิ่งแวดล้อม ไม่เกิดการแพ้ไม่ไวไฟและไม่เป็นพิษ (Non-phytotoxic) ต่อพืชและสัตว์ ในแห่งทางเศรษฐกิจ ไคโตซานเป็นอนุพันธ์ชนิดหนึ่งของไคตินซึ่งเป็นวัสดุที่มีราคาถูก เนื่องจากไคตินเป็นโพลิเมอร์ที่มีมากที่สุดเป็นอันดับสองรองจากเซลลูโลส

ไคโตซานเป็นตัวคุณชันที่มีประสิทธิภาพสูงในการคุ้มครองหนัง เช่น ทองแดง (Wu et al., 1999) และสารอินทรีย์ที่มีประจุลบหรือเป็นกลาง เช่น สีรีแอดก็ฟ (Wu et al., 2001) เนื่องจากมีหมู่อะมิโน (-NH<sub>2</sub>) และหมู่ไฮดรอกซิล (-OH) อยู่บนโซ่อิเลเมอร์ทำหน้าที่ยึดเกาะและเป็นบริเวณที่มีการยึดเหนี่ยวด้วยแรงทางเคมี ดังแสดงไว้ในภาพที่ 2.2 คุณสมบัติทางไฟฟ้าและความสามารถในการคุ้มครอง ประสิทธิภาพของการคุ้มครองจะขึ้นอยู่กับการรับประคองของหมู่อะมิโนโดยเป็น -NH<sub>3</sub><sup>+</sup> ( $pK = 6.3$ ) ซึ่งจะขึ้นอยู่กับระดับความเป็นกรด-ด่าง (Dambies et al., 2001)

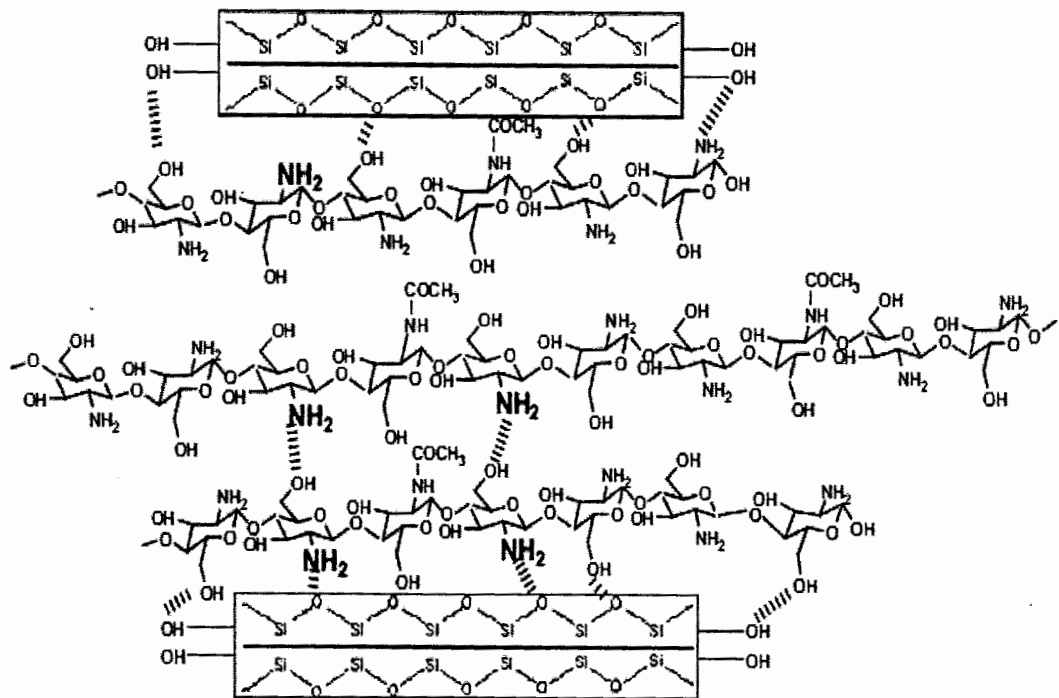


ภาพที่ 2.2 โครงสร้างโมเลกุลของไคโตซาน (An and Dultz, 2007)

ถึงแม้ว่าไคโตซานจะแสดงความสามารถในการดูดซับได้ดีแล้ว แต่ยังมีข้อด้อยบางประการ ได้แก่ เกิดการบวมหรือพองตัวมาก (Highly swollen) เมื่อละลายอยู่ในน้ำ มีความถ่วงจำเพาะต่ำ จึงอาจจะนำมาชี้ความไม่สะท้อนในการใช้งาน เพื่อให้ง่ายต่อการใช้งานในการทดลองการดูดซับแบบกะ และในระบบหอดูดซับแบบเบนนิ่ง คุณสมบัติทางกายภาพเหล่านี้สามารถถูกปรับปรุงได้โดยการนำไคโตซานไปตรึงหรือเคลือบไว้บนพื้นผิวของแร่ดิน MMT

#### 2.4 แร่ดินชนิดมอริลโลไนต์ดัดแปลงด้วยไคโตซาน

เนื่องจากแร่ดิน MMT มีคุณสมบัติชอบน้ำและสารไคโตซานเป็นโพลิเมอร์ที่มีประจุบวก จึงทำให้ไคโตซานสามารถเข้าไปแลกเปลี่ยนประจุบวกกับไอออนบวกที่อยู่ในช่องระหว่างชั้นดินได้ง่าย ไคโตซานมีความสามารถในการแลกเปลี่ยนประจุบวกกับไอออนบวกที่อยู่ในช่องระหว่างชั้นของแร่ดิน MMT ได้สูงถึง 180% CEC (Cation Exchange Capacity) (Darder et al., 2003) เนื่องจากไคโตซานหนึ่งโมเลกุลจะประกอบไปด้วยหมู่อะมิโน (-NH<sub>2</sub>) หนึ่งหมู่และหมู่ไฮดรอกซิล (OH) สองหมู่ หมู่ฟังก์ชันเหล่านี้สามารถเกิดพันธะไฮโดรเจน (H-bonds) กับหมู่ไฮดรอกซิล (OH) ในแผ่นซิลิกาต์ของแร่ดิน MMT ได้ จึงทำให้ไคโตซานเข้ามายังช่องระหว่างชั้นดิน สามารถศึกษาได้โดยการวิเคราะห์ IR-spectra เช่น การแลกเปลี่ยนประจุบวกของโซเดียมไอออน (Na<sup>+</sup>) กับหมู่อะมิโนที่โปรตอนเนต (-NH<sub>3</sub><sup>+</sup>) จะเกิดที่พีก 1594 cm<sup>-1</sup> ในแร่ดิน MMT ไปเป็น 1520 cm<sup>-1</sup> ในแร่ดิน CTS/MMT (Monvisade and Siriphannon, 2009) การดัดแปลงแร่ดิน MMT ด้วยสารไคโตซานยังส่งผลให้ช่องระหว่างชั้นดิน (Basal spacing) ซึ่งจะนิยมแสดงด้วยค่า  $d_{001}$  ขยายใหญ่ขึ้นเนื่องจากโซ่อิเลิเมอร์ของสารไคโตซานเข้าไปแทรกและเป็นตัวค้ายันอยู่ภายในช่องระหว่างชั้น (ขยายตัวได้เมื่อลดลงอยู่ในน้ำ) ในลักษณะชั้นเดียว (Monolayer) เช่น การดัดแปลงแร่ดิน MMT ด้วยสารไคโตซานที่ 25 %CEC จะทำให้  $d_{001}$  กว้างขึ้นจาก 1.30 nm ไปเป็น 1.52 nm เป็นต้น เมื่อทำการเพิ่มปริมาณของไคโตซานบนแร่ดิน MMT โซ่อิเลิเมอร์จะจับตัวกันหนาขึ้นเป็นลักษณะสองชั้น (Bilayer) และจะทำให้  $d_{001}$  กว้างขึ้นกว่าลักษณะชั้นเดียว เช่น การดัดแปลงสารไคโตซานที่ 160% CEC จะทำให้ช่องระหว่าง  $d_{001}$  เพิ่มขึ้นจากเดิม 1.30 nm ไปเป็น 2.52 nm (Wang et al., 2005) แต่อย่างไรก็ตามการเพิ่มปริมาณของไคโตซานมากกว่านี้จะไม่มีผลต่อการขยายตัวของช่องระหว่าง  $d_{001}$  อีกต่อไป



ภาพที่ 2.3 โครงสร้างโมเลกุลของแร่ดินมอนต์morilโลในคัตต์ดับเบิร์ดด้วยไโคโตชาน  
(Wang et al., 2005)

แร่ดิน CTS/MMT เป็นตัวคูดซับที่สามารถคูดซับโลหะหนักที่มีประจุบวกได้ดี เช่น ตะกั่ว ทองแดง และnickel ก็เป็นต้น การคูดซับโลหะหนักเกิดขึ้นเนื่องจากการรวมตัวกันระหว่าง หมู่อะมิโนและหมู่ไฮดรอกซิลบนโซ่ใบโพอลิเมอร์ของไโคโตชานกับโลหะหนัก โดยมีปริมาณการคูดซับโลหะหนักแบบชั้นเดียวมีค่าเท่ากับ 28.77 mg/g สำหรับตะกั่ว 20.90 mg/g สำหรับทองแดง และ 20.90 mg/g สำหรับnickel เป็นต้น (Futalan et al., 2011) แร่ดิน CTS/MMT สามารถนำคูดซับสีเย็บที่มีประจุบวกได้ดี เช่น สีเบสิกฟ้า 9 (Basic blue 9) สีเบสิกฟ้า 66 (Basic blue 66) สีเบสิกเหลือง 1 (Basic yellow 1) เป็นต้น ซึ่งมีปริมาณการคูดซับอยู่ในช่วง 46 – 49 mg/g หรือมีเปลอร์เซนต์การกำจัดสีเย็บโดยมวลในช่วง 92-99 % โดยทำการทดลองที่ความเข้มข้นของสีเย็บเท่ากับ 500 ppm ปริมาตร 100 mL และปริมาณตัวคูดซับเท่ากับ 1 g (Monvisade and Siriphannnon, 2009) นอกจากนี้แร่ดิน CTS/MMT ยังมีความสามารถในการคูดซับกรดอินทรีย์ได้ซึ่งจะแตกตัวเป็นประจุลบที่ค่าพีเอชสูงกว่าค่า pKa เช่น ปริมาณการคูดซับกรดแทนนิก (Tannic acid) ซึ่งเป็นสารมลพิษบนแร่ดิน CTS/MMT มีค่าเท่ากับ 240 g/kg ที่ค่าพีเอชเท่ากับ 4 (An and Dultz, 2007) แร่ดิน CTS/MMT สามารถคูดซับสีเย็บที่มีประจุลบได้ด้วยเช่นกัน เช่น แร่ดิน CTS/MMT สามารถคูดซับสีคงโกเรค (Congo Red) ในปริมาณการคูดซับเท่ากับ 53.42 mg/g (Wang and Wang, 2007) แร่ดิน

CTS/MMT สามารถดูดซับสีรีแอคทีฟเรด (Reactive Red) ในปริมาณการดูดซับเท่ากับ 5.61 mg/g (Kittinaovarat et al., 2010) และแร่คิน CTS/MMT มีปริมาณการดูดซับสีบีซัคทีพօเรนจ์ 34 (Bezactiv Orange V-3R) เท่ากับ 279 mg/g (Nesic et al., 2012) ดังนั้นจึงสามารถสรุปได้ว่า แร่คิน CTS/MMT เป็นตัวดูดซับที่มีประสิทธิภาพในการดูดซับทั้ง ไอออนบวกและ ไอออนลบ ได้ดี

## 2.5 การดูดซับ

การดูดซับ หมายถึง ปรากฏการณ์ของการสะสมสารประกอบชนิดนี้ หรือสารประกอบหلامนิดไว้บนผิวของแข็ง โดยไม่เปลี่ยนโครงสร้างของแข็งนั้น ระบบของแข็งที่เก็บสะสมสารประกอบอื่น ๆ ไว้บนผิว เรียกว่า “ตัวดูดซับ (Adsorbent)” ส่วนสารประกอบต่าง ๆ ที่สะสมบนผิวของตัวดูดซับ เรียกว่า “สารถูกดูดซับหรือตัวถูกดูดซับ (Adsorbate)” (เดชา ฉัตรศิริเวช, 2552) โดยกระบวนการดูดซับจะเกิดจากการแยกสาร (ตัวถูกดูดซับ) ซึ่งอนุภาคของตัวถูกดูดซับจะละลายอยู่ในของเหลว (ของเหลวหรือแก๊ส) และจะไหลเข้าสัมผัสกับของแข็ง (ตัวดูดซับ) โดยอนุภาคของตัวถูกดูดซับจะแพร่ผ่านเข้าไปยังพื้นผิวของตัวดูดซับผ่านรอบต่อรอบห่วงของแข็งกับของเหลว (จักรกฤษณ์ อัมพุช, 2549) ดังนั้น ตัวดูดซับจึงมักเป็นของแข็งที่มีลักษณะเป็นรูพรุน จำนวนมากโดยมีขนาดเท่าเดิม เพื่อเพิ่มพื้นผิวจำเพาะของตัวดูดซับให้มากยิ่งขึ้น ซึ่งจะมีผลให้สามารถดูดซับได้มากขึ้นตามสัดส่วนพื้นผิวจำเพาะของตัวดูดซับที่เพิ่มขึ้น เมื่อตัวดูดซับมีรูพรุนภายในมาก แต่ตัวดูดซับมีขนาดเท่าเดิม ตัวดูดซับจึงมีความหนาแน่นลดลง แม้ว่าการเพิ่มปริมาณรูพรุนที่มีขนาดเล็กในตัวดูดซับจะทำให้ตัวดูดซับมีพื้นผิวจำเพาะมากขึ้น แต่รูพรุนขนาดเล็กอาจเป็นอุปสรรคต่อการแพร่ของตัวถูกดูดซับภายในรูพรุนของตัวดูดซับไปยังพื้นผิวในรูพรุนขนาดเล็ก ดังกล่าว เมื่อพิจารณาตามลักษณะทางกายภาพของรูพรุนในตัวดูดซับ รูพรุนส่วนใหญ่ของตัวดูดซับ จึงควรมีขนาดใหญ่กว่าขนาดโมเลกุลของตัวถูกดูดซับในสถานะก้าชหรือไอ เพื่อให้ตัวถูกดูดซับนั้นสามารถแพร่เข้าสู่รูพรุนของตัวดูดซับ และสามารถแพร่ต่อไปยังพื้นผิวภายในรูพรุนเหล่านั้นได้อย่างสะดวก ส่วนการดูดซับตัวถูกดูดซับชนิดต่าง ๆ ที่อยู่ในสถานะของเหลวหนึ้น เช่น การดูดซับ ไอออนชนิดต่าง ๆ หรือสารประกอบอินทรีย์ชนิดต่าง ๆ ที่ละลายน้ำ เป็นต้น รูพรุนส่วนใหญ่ของตัวดูดซับ ควรมีขนาดใหญ่เพียงพอ เพื่อให้ของเหลวที่มีตัวถูกดูดซับเหล่านั้น สามารถไหลเข้าสู่รูพรุนของตัวดูดซับได้อย่างสะดวก โดยที่ตัวถูกดูดซับยังคงอยู่ในลักษณะเดิม นั่นคือ เมื่อดูดซับ ไอออนชนิดต่าง ๆ หรือสารประกอบอินทรีย์ชนิดต่าง ๆ ที่ละลายน้ำได้แล้ว ไอออนหรือสารประกอบอินทรีย์เหล่านั้นยังคงสภาพเป็นสารละลายของ ไอออนหรือสารละลายของสารประกอบอินทรีย์ดังกล่าว เช่นเดิม การดูดซับตัวถูกดูดซับในระบบของเหลวมักมีผลให้ความเข้มข้นของตัวถูกดูดซับที่อยู่ภายในรูพรุนของตัวดูดซับมีค่าสูงกว่าความเข้มข้นของตัวถูกดูดซับชนิดเดิมกวันที่อยู่บนผิวภายนอก

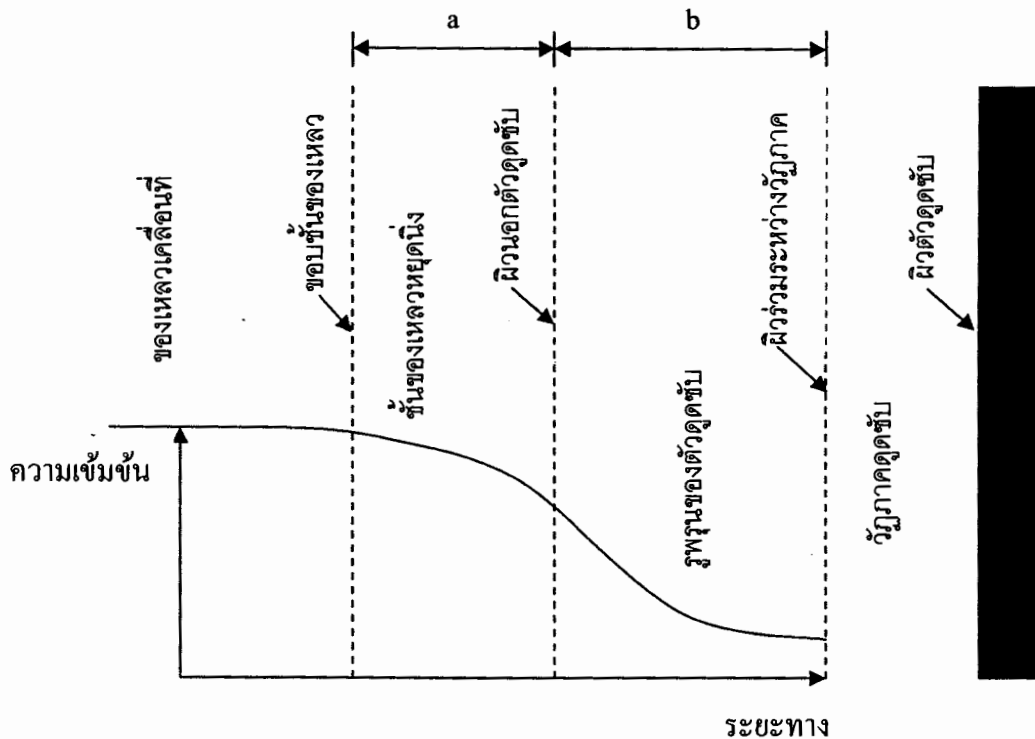
ตัวคูดซับ ดังนั้น สารประกอบทุกชนิดที่อยู่ในรูปrunของตัวคูดซับจัดเป็น “ตัวถูกคูดซับ” ของระบบคูดซับของเหลวโดยไม่ต้องเกิดปฏิวัติรูปrunของตัวคูดซับ

การคูดซับสามารถจำแนกออกเป็น 2 ประเภท (McKay, 1996) ได้ดังนี้

(1) การคูดซับทางกายภาพ (Physical adsorption) คือ ตัวถูกคูดซับและตัวคูดซับจะยึดเหนี่ยว กันด้วยแรงยึดเหนี่ยวระหว่างโมเลกุลอ่อน ๆ เรียกว่า “แรง van der Waals” และเป็นกระบวนการการผันกลับได้ ลักษณะสำคัญของการคูดซับประเทณนี้ คือ การคูดซับเกิดขึ้นได้ ณ อุณหภูมิปกติ หรือ ณ อุณหภูมิบรรยายกาศทั่วไป และเกิดได้มากขึ้น ณ อุณหภูมิที่ต่ำกว่าอุณหภูมิบรรยายกาศ เช่น การคูดซับกลินอับต่าง ๆ ในตู้เย็นและในห้องโดยสารปรับอากาศ เป็นต้น การคูดซับทางกายภาพสามารถเกิดขึ้นได้ทั้งบนผิวของตัวคูดซับโดยตรง และเกิดขึ้นบนชั้นของโมเลกุลของตัวถูกคูดซับที่สะสมบนชั้นของตัวคูดซับที่ซ้อนทับกัน จึงเรียกการคูดซับลักษณะนี้ว่า “การคูดซับหลายชั้น (Multilayer adsorption)”

(2) การคูดซับทางเคมี (Chemical adsorption) คือ ตัวถูกคูดซับจะถูกคูดซับไว้ที่พื้นผิวของตัวคูดซับโดยพันธะเคมี ได้แก่ พันธะ ไอโอนิก และพันธะ โควาเดนต์ เป็นต้น ในการสร้างพันธะเคมีต้องใช้พลังงานสูงและเป็นระบบที่ผันกลับไม่ได้ ดังนั้น การคูดซับจึงมักเกิดได้หรือเกิดขึ้นได้เร็วที่อุณหภูมิสูง ๆ และการคูดซับจะเกิดขึ้นเฉพาะบนผิวของตัวคูดซับเท่านั้น นั่นคือ การคูดซับทางเคมีนี้จะไม่เกิดบนชั้นของโมเลกุลของตัวถูกคูดซับที่สะสมบนผิวของตัวคูดซับเช่นเดียวกับการคูดซับทางกายภาพ การคูดซับทางเคมีนี้จึงเกิดขึ้นได้เพียงชั้นเดียวเท่านั้นและเรียกการคูดซับประเทณนี้ว่า “การคูดซับชั้นเดียว (Monolayer adsorption)” ความร้อนของการคูดซับประเทณนี้ จึงมีค่าสูงกว่าค่าความร้อนของการคูดซับทางกายภาพ

กลไกในการคูดซับจะเกิดขึ้น 3 ขั้นตอน ได้แก่ การถ่ายโอนน้ำภาค การถ่ายโอนน้ำภาค และการคูดซับ การถ่ายโอนน้ำภาคจะศึกษาการเคลื่อนที่ของตัวถูกคูดซับผ่านของไอลิปิดร้อยต่อระหว่างของเหลว กับของแข็ง (Liquid-solid interface) สำหรับการถ่ายโอนน้ำภาคจะศึกษาการแพร่ผ่านของตัวถูกคูดซับเข้าไปในรูปrunของตัวคูดซับ ซึ่งรูปrunจะเขื่อนโยงกันอยู่ภายในตัวคูดซับ ส่วนการคูดซับจะศึกษาถึงแรงยึดเหนี่ยวระหว่างตัวถูกคูดซับกับตัวคูดซับ ดังภาพที่ 2.4 แสดงกลไกการคูดซับของเหลว



ภาพที่ 2.4 แผนภาพจำลองกลไกการดูดซับของเหลว (เดชา พัตรศิริเวช, 2552)

จากภาพที่ 2-4 สามารถอธิบายได้ว่ากลไกการดูดซับตัวถูกดูดซับในของเหลวพสมเป็นการถ่ายโอนมวลจากของเหลวเคลื่อนที่ ผ่านชั้นของเหลวหยุดนิ่งรอบตัวคุณซับซึ่งมีความหนาของชั้นเป็น a จากนั้นจะผ่านเข้าสู่รูพรุนของตัวคุณซับซึ่งมีความลึกเป็น b จนถึงวัสดุการคุณซับซึ่งอยู่บนผิวของรูพรุนในตัวคุณซับ

การเลือกใช้ตัวคุณซับจะพิจารณาถึงความจำเพาะเจาะจงต่อตัวถูกดูดซับ และปริมาณการดูดซับของตัวถูกดูดซับบนตัวคุณซับ ตามการนิยามของ IUPAC (International Union of Pure and Applied Chemistry) ขนาดของรูพรุนของตัวคุณซับจะถูกจำแนกเป็นรูพรุนขนาดเล็ก (Micropore) มีขนาดเส้นผ่าศูนย์กลางของรูพรุนน้อยกว่า 2 nm สำหรับรูพรุนขนาดกลาง (Mesopore) จะมีขนาดเส้นผ่าศูนย์กลางของรูพรุนอยู่ในช่วง 2 - 50 nm และรูพรุนขนาดใหญ่ (Macropore) จะมีขนาดเส้นผ่าศูนย์กลางของรูพรุนมากกว่า 50 nm ตัวคุณซับอาจจะมีรูปร่างเป็นทรงกลม เป็นทรงกระบอก เป็นแผ่นบางขนาดเล็ก หรือเป็นผงที่มีขนาดของอนุภาคอยู่ในช่วง 50 μm ถึง 1.2 cm มีพื้นที่ผิวอยู่ในช่วง 300 ถึง  $1200 \text{ m}^2/\text{g}$  มีความพนูนภายในตัวคุณซับประมาณ 30-85 % พื้นที่ผิวจำเพาะของตัวคุณซับสามารถวัดได้ด้วยโดยใช้วิธี BET (Brunauer Emmett Teller) ซึ่งจะศึกษาการดูดซับและการคาย

ของก้าชในโตรเจน บนตัวคุณซับ ดังนั้น ควรเลือกวัสดุตัวคุณซับที่มีรูพรุนสูงและขนาดของรูพรุนมีขนาดเล็กเพื่อป้องกัน มีพื้นที่ผิวสัมผัสมากเมื่อเทียบกับหน่วยปริมาตรตัวคุณซับ (จักรกฤษณ์ อัมพุช, 2549)

ทฤษฎี BET (Brunauer Emmett and Teller) มีจุดประสงค์เพื่ออธิบายการคุณซับทางกายภาพของโมเลกุลของแก๊สบนพื้นผิวของของแข็ง และใช้เป็นวิธีการหรือเทคนิคพื้นฐานที่สำคัญในการวัดพื้นที่ผิวจำเพาะของวัสดุ แนวคิดของทฤษฎีนี้คือการขยายขอบเขตทฤษฎีແลงเมียร์ซึ่งเป็นทฤษฎีที่ใช้อธิบายการคุณติดผิวของโมเลกุลตัวถูกคุณซับที่เรียกว่าเป็นชั้นเดียว ให้สามารถอธิบายการคุณติดผิวของโมเลกุลที่เรียกว่าเป็นชั้นแบบหลายชั้น โดยอาศัยสมมติฐานต่าง ๆ ดังนี้ (a) โมเลกุลของแก๊สสามารถถูกคุณซับเชิงกายภาพบนพื้นผิวของของแข็งแบบหลาย ๆ ชั้นจนนับไม่ถ้วน (b) ไม่มีแรงกระทำระหว่างโมเลกุลแต่ละชั้น (c) ทฤษฎีของແลงเมียร์สามารถอธิบายโมเลกุลที่อยู่ในแต่ละชั้นได้สมการของ BET แสดงได้ดังนี้

$$\frac{1}{v[(\frac{P_0}{P})-1]} = \frac{c-1}{v_m c} \left( \frac{P}{P_0} \right) + \frac{1}{v_m c} \quad (2.1)$$

โดย	$P$	คือ ความดันที่สมดุลของตัวถูกคุณซับที่อุณหภูมิต่าง ๆ
	$P_0$	คือ ความดันที่อิ่มตัวของตัวถูกคุณซับที่อุณหภูมิต่าง ๆ
	$v$	คือ ปริมาตรของแก๊สที่ถูกคุณซับ หน่วยเป็นปริมาตร
	$v_m$	คือ ปริมาณของแก๊สที่ถูกคุณซับแบบชั้นเดียว
	$c$	คือ ค่าคงที่ของ BET ซึ่งมีค่าเป็นไปตามสมการนี้

$$c = \exp \left( \frac{E_1 - E_L}{RT} \right) \quad (2.2)$$

ที่ซึ่ง	$E_1$	คือ ความร้อนของการคุณซับที่เกิดขึ้นชั้นแรก
	$E_L$	คือ ความร้อนของการคุณซับที่ชั้นที่สองและชั้นที่สูงขึ้นต่อ ๆ ไป และมีค่าเท่ากับความร้อนของการหลอมละลาย (Liquefaction)

สมการที่ 2.1 เป็นไอโซเทอมของการคุณซับชนิดหนึ่ง และสามารถนำข้อมูลการทดลองมาพล็อตกราฟความสัมพันธ์ระหว่าง  $1/v[(P_0/P)-1]$  และ  $\theta = P/P_0$  ค้างแสดงในภาพที่ 2.5 กราฟนี้จะถูกเรียกว่า BET plot ความสัมพันธ์นี้จะให้เส้นกราฟที่เป็นเส้นตรงเฉพาะ  $P/P_0$  อยู่ในช่วง 0.05 ถึง 0.35 ความชัน A และจุดตัดแกน y หรือ I จะถูกนำมาคำนวณปริมาณการคุณซับแก๊สที่ถูกคุณซับแบบชั้นเดียว ( $v_m$ ) และค่าคงที่ของ BET (c) โดยใช้สมการดังต่อไปนี้

$$v_m = \frac{1}{A+I} \quad (2.3)$$

$$v_m = 1 + \frac{A}{I} \quad (2.4)$$

วิธีการ BET จะถูกใช้ในการหาพื้นที่ผิวของของแข็ง โดยการคูดซับโนเลกูลของแก๊สเชิงกายภาพ ซึ่งสามารถหาพื้นที่ผิวทั้งหมดแทนค่า  $S_{total}$  และพื้นที่ผิวจำเพาะ  $S$  (Specific surface area) ได้จากสมการ

$$S_{BET, total} = \frac{(v_m N s)}{V} \quad (2.5)$$

ที่ซึ่ง  $v_m$  คือ หน่วยของปริมาณซึ่งเป็นหน่วยของปริมาตรเชิงโมลของแก๊สที่ถูกคูดซับ

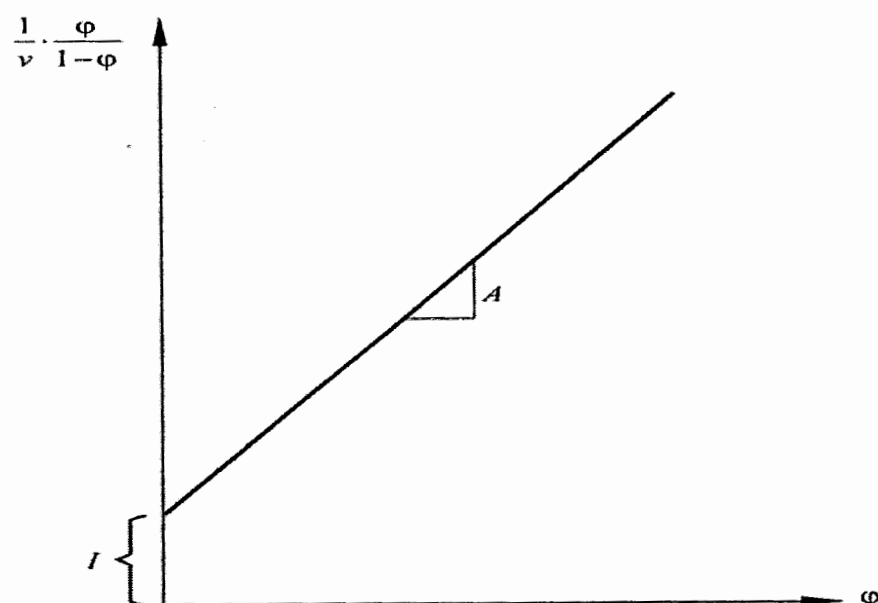
$$S_{BET} = \frac{(S_{total})}{a} \quad (2.6)$$

ที่ซึ่ง  $N$  คือ เลขอะโว加โด (Avogadro's number)

$s$  คือ พื้นที่ที่ตัวถูกคูดซับปกคลุมบนพื้นผิวของของแข็ง

$V$  คือ ปริมาตรเชิงโมลของแก๊สที่ถูกคูดซับ

$a$  คือ มวลของตัวคูดซับ หน่วยเป็นกรัม



ภาพที่ 2.5 การพื้อตัวด้วยสมการ BET

นอกจากนี้ค่าปริมาณการดูดซับแก๊สที่ถูกดูดซับแบบชั้นเดียว ( $v_m$ ) ยังสามารถคำนวณหาค่าขนาดรูพูนเฉลี่ยได้โดยอาศัยสมการต่อไปนี้

$$r_k = \frac{2\sigma v_m}{RT \ln\left(\frac{P}{P_0}\right)} \quad (2.7)$$

โดย  $r_k$  คือ รัศมีของรูพูน

$\sigma$  คือ แรงตึงผิว

## 2.6 ไอโซเทอมการดูดซับ

ไอโซเทอมการดูดซับเป็นความสัมพันธ์ระหว่างปริมาณของตัวถูกดูดซับที่อยู่บนพื้นผิวของตัวดูดซับกับความเข้มข้นของตัวถูกดูดซับในของเหลว ส่วนใหญ่พุทธิกรรมของการดูดซับในของเหลวจะมีความสอดคล้องกับไอโซเทอมการดูดซับแบบฟรุนดิช (Freundlich) และแลงเมียร์ (Langmuir) เช่น การดูดซับของถ่านกัมมันต์ในน้ำ และน้ำเสีย เป็นต้น (Rozada et al., 2003)

ปริมาณของตัวถูกดูดซับบนตัวดูดซับ สามารถคำนวณได้จากสมดุลมวลสาร (Seader and Henley, 1998) โดยจะถือว่าความเข้มข้นของตัวถูกดูดซับที่หายไปจากสารละลาย จะถูกดูดซับอยู่บนตัวดูดซับเท่านั้น ซึ่งปริมาณการดูดซับหาได้ตามสมการที่ 2.8 และสำหรับประสิทธิภาพการดูดซับสีข้อมสามารถคำนวณได้จากสมการเปลอร์เซ็นต์การกำจัดสีข้อม ดังแสดงไว้ในสมการที่ 2.9

$$q_e = \frac{V(C_0 - C_e)}{m} \quad (2.8)$$

เมื่อ  $q_e$  คือ ปริมาณสีข้อมในตัวแร่ดินที่สภาวะสมดุล (mg/g)

$m$  คือ น้ำหนักของแร่ดิน (g)

$V$  คือ ปริมาตรของน้ำ (L)

$C_0$  คือ ความเข้มข้นเริ่มต้นของสีข้อมเคมีในน้ำ (mg/L)

$C_e$  คือ ความเข้มข้นที่สภาวะสมดุลของสีข้อมเคมีในน้ำ (mg/L)

$$\% Removal = \frac{(C_0 - C_e)}{C_0} \times 100 \quad (2.9)$$

รายละเอียดของไอโซเทอมการดูดซับมีดังนี้

(1) ไอโซเทอมการดูดซับแบบเส้นตรง (Linear isotherm)

เป็นไฮโซเทอนที่ปริมาณของตัวถูกดูดซับบนตัวดูดซับจะแปรผันตรงกับความเข้มข้นของตัวถูกดูดซับในสารละลายน้ำที่สภาวะสมดุล โดยที่ไปแล้วจะเรียกว่า “Henry’s Law” มีรูปแบบสมการเป็นดังนี้

$$q_e = K_d C_e \quad (2.10)$$

เมื่อ	$q_e$	คือ ปริมาณตัวถูกดูดซับบนผิวของตัวดูดซับ (mg/g)
	$C_e$	คือ ความเข้มข้นที่สมดุลของตัวถูกดูดซับในสารละลายน้ำที่ดูดซับ (mg/L)
	$K_d$	คือ สัมประสิทธิ์การแยกแข่งหรือ ค่าคงที่ Henry’s Law (L/g)

### (2) ไฮโซเทอนการดูดซับแบบฟรุนเดิช (Freundlich isotherm)

สมการไฮโซเทอนการดูดซับแบบฟรุนเดิช (Chen et al., 2011) ดังแสดงไว้ในสมการที่ 2.11 ซึ่งอธิบายถึงการจับตัวกันเป็นชั้น ๆ ของตัวถูกดูดซับ (Multilayer) บนพื้นผิวของตัวดูดซับเนื่องจากโมเดลของตัวถูกดูดซับมีแรงยึดเหนี่ยวระหว่างกันสูง

$$q_e = K_F C_e^{1/n} \quad (2.11)$$

เมื่อ	$q_e$	คือ ปริมาณตัวถูกดูดซับบนผิวของตัวดูดซับ (mg/g)
	$C_e$	คือ ความเข้มข้นที่สมดุลของตัวถูกดูดซับในสารละลายน้ำที่ดูดซับ (mg/L)
	$K_F, n$	คือ ค่าคงที่

ค่าคงที่ในสมการไฮโซเทอนการดูดซับแบบฟรุนเดิช สามารถหาได้โดยการสร้างกราฟความสัมพันธ์ระหว่าง  $q_e$  กับ  $C_e$  โดยใช้สมการที่ 2.12 ซึ่งเป็นการจัดรูปสมการใหม่ของสมการที่ 2.11

$$\ln q_e = \ln K_F + \frac{1}{n} \ln C_e \quad (2.12)$$

โดยค่าคงที่  $n$  หาได้จากค่าเสียหนึ่งส่วนความชัน ( $\frac{1}{\text{slope}}$ ) และค่าคงที่  $K_F$  หาได้จากการอกรช์โพเนนเชียลของจุดตัดแกน  $y$  ในสมการที่ 2.12

### (3) ไฮโซเทอนการดูดซับแบบแลงเมียร์ (Langmuir isotherm)

ไฮโซเทอนการดูดซับแบบแลงเมียร์ (Almeida et al., 2009) มีสมมติฐานว่าตัวถูกดูดซับจะปกคลุมผิวของตัวดูดซับเพียงชั้นเดียว (Monolayer) ซึ่งเป็นไปตามสมการที่ 2.13

$$q_e = \frac{K_L C_e}{1 + a_L C_e} \quad (2.13)$$

เมื่อ  $q_e$  คือ ปริมาณตัวถูกดูดซับบนผิวของตัวดูดซับ (mg/g)  
 $C_e$  คือ ความเข้มข้นที่สมดุลของตัวถูกดูดซับในสารละลายหลังการดูดซับ (mg/L)  
 $a_L, K_L$  คือ ค่าคงที่

การหาค่าคงที่ในสมการ ไอโซเทอมการดูดซับแบบແลงເມිර් สามารถหาได้จากการสร้างกราฟความสัมพันธ์ระหว่าง  $\frac{C_e}{q_e}$  กับ  $C_e$  โดยใช้สมการที่ 2.14 ซึ่งเป็นการจัดรูปสมการใหม่ของสมการที่ 2.13

$$\frac{C_e}{q_e} = \frac{1}{K_L} + \frac{a_L}{K_L} C_e \quad (2.14)$$

เมื่อหาค่าเสียหนึ่งส่วนความชัน ( $\frac{1}{slope}$ ) หรือหาค่า  $\frac{K_L}{a_L}$  ในสมการที่ 2.14 จะได้ปริมาณการดูดซับแบบชั้นเดียวของตัวถูกดูดซับบนพื้นผิwtตัวดูดซับสูงสุด และแทนค่าysลักษณ์  $q_m$

## 2.7 อุณหพลศาสตร์การดูดซับ

อุณหพลศาสตร์ คือ การศึกษาเกี่ยวกับพลังงาน ความร้อน และงาน โดยในการศึกษาอุณหพลศาสตร์ของการดูดซับ จะศึกษาการเปลี่ยนแปลงพลังงานอิสระมาตรฐาน ( $\Delta_{ads}G^\circ$ ) การเปลี่ยนแปลงอนthalปีมาตรฐาน ( $\Delta_{ads}H^\circ$ ) และการเปลี่ยนแปลงэнโทรปีมาตรฐาน ( $\Delta_{ads}S^\circ$ ) ซึ่งแสดงได้ดังนี้

การเปลี่ยนแปลงพลังงานอิสระมาตรฐาน (Standard free energy,  $\Delta_{ads}G^\circ$ ) คือ การเปลี่ยนแปลงพลังงานอิสระของปฏิกิริยาที่เกิดขึ้นภายใต้สภาวะมาตรฐานหรือการที่สารตั้งต้นเปลี่ยนไปเป็นสารผลิตภัณฑ์ที่สภาวะมาตรฐาน ( $25^\circ\text{C}$  และ  $1\text{ atm}$ )

ถ้า  $\Delta_{ads}G^\circ = -$  คือ ปฏิกิริยาเกิดขึ้นได้เองในทิศทางไปข้างหน้า  
 $\Delta_{ads}G^\circ = +$  คือ ปฏิกิริยาเกิดขึ้นเองไม่ได้ แต่จะเกิดได้เองในทิศทางย้อนกลับ  
 $\Delta_{ads}G^\circ = 0$  คือ ระบบอยู่ในสมดุล ไม่เกิดการเปลี่ยนแปลง

สมการการเปลี่ยนแปลงพลังงานอิสระมาตรฐาน (Standard Gibbs' free energy change equation) มีรูปแบบสมการเป็นดังนี้ (Almeida et al., 2009)

$$\Delta_{ads} G^\circ = -RT\ln K_L \quad (2.15)$$

- เมื่อ  $\Delta_{ads} G^\circ$  คือ การเปลี่ยนแปลงพลังงานอิสระมาตรฐาน (kJ/mol)  
 $K_L$  คือ ค่าคงที่ของสมการແลงเมียร์ (L/g)  
 $R$  คือ ค่าคงที่ของแก๊ส (8.314 J/mol\*K)  
 $T$  คือ อุณหภูมิของสารละลายสีข้อม (K)

การเปลี่ยนแปลงเอนทาลปีมาตรฐาน (Standard enthalpy,  $\Delta_{ads} H^\circ$ ) คือ เป็นการเปลี่ยนแปลงความร้อนที่เกิดจากการที่ธาตุองค์ประกอบทำปฏิกิริยากันเพื่อเกิดเป็นสารประกอบหรือธาตุชนิดหนึ่งที่เกิดขึ้นภายใต้สภาวะมาตรฐาน ( $25^\circ C$  และ  $1 \text{ atm}$ ) และปริมาณความร้อนที่ผ่านเข้าหรือออกจากระบบจะเกิดขึ้นในกระบวนการที่ความดันคงที่

- ถ้า  $\Delta_{ads} H^\circ = +$  คือ เป็นระบบดูดความร้อน  
 $\Delta_{ads} H^\circ = -$  คือ เป็นระบบขายความร้อน

การเปลี่ยนแปลงเอนโตรปีมาตรฐาน (Standard entropy,  $\Delta_{ads} S^\circ$ ) คือ ปริมาณที่บ่งบอกถึงความไม่เป็นระเบียนของระบบ ซึ่งระบบมีความไม่เป็นระเบียนสูง เอนโตรปีก็จะยิ่งมีค่าสูง แต่ถ้าระบบมีความไม่เป็นระเบียนน้อย เอนโตรปีก็จะยิ่งมีค่าต่ำ โดยค่าของเอนโตรปีจะมีค่าขึ้นอยู่กับห้องทดลองปี และอุณหภูมิ ซึ่งการเกิดปฏิกิริยาจะเกิดขึ้นภายใต้สภาวะมาตรฐาน ( $25^\circ C$  และ  $1 \text{ atm}$ )

- ถ้า  $\Delta_{ads} S^\circ = +$  คือ เกิดการเปลี่ยนแปลงเกิดขึ้นในทิศทางไปข้างหน้า  
 $\Delta_{ads} S^\circ = -$  คือ เกิดการเปลี่ยนแปลงเกิดขึ้นในทิศทางข้อนกลับ  
 $\Delta_{ads} S^\circ = 0$  คือ ระบบอยู่ในสมดุล ไม่เกิดการเปลี่ยนแปลง

การหาค่า ( $\Delta_{ads} H^\circ$ ) และ ( $\Delta_{ads} S^\circ$ ) สามารถหาได้โดยการสร้างกราฟความสัมพันธ์ระหว่าง  $\ln K_L$  กับ  $1/T$  โดยใช้สมการของ Van't Hoff (Almeida et al., 2009) ดังแสดงไว้ในสมการที่ 2.16

$$\ln K_L = \frac{\Delta_{ads} H^\circ}{RT} - \frac{\Delta_{ads} S^\circ}{R} \quad (2.16)$$

- เมื่อ  $\Delta_{ads} H^\circ$  คือ การเปลี่ยนแปลงเอนทาลปีมาตรฐาน (kJ/mol)  
 $\Delta_{ads} S^\circ$  คือ การเปลี่ยนแปลงเอนโตรปีมาตรฐาน (J/mol\*K)  
 $K_L$  คือ ค่าคงที่ของสมการແลงเมียร์ (L/g)  
 $R$  คือ ค่าคงที่ของแก๊ส (8.314 J/mol\*K)  
 $T$  คือ อุณหภูมิของสารละลายสีข้อม (K)

## 2.8 จลนพลศาสตร์การคุณชับ

การคุณชับสารถูกคุณชับชนิดหนึ่ง จะประกอบไปด้วยขั้นตอนการแพร่ผ่านชั้นของไอลรอน ๆ ตัวคุณชับ การแพร่ในรูปrunตัวคุณชับไปยังพื้นผิวตัวคุณชับ และขั้นตอนการเกิดปฏิกิริยาเคมีที่พื้นผิwtัวคุณชับ ซึ่งขั้นตอนใดที่เกิดขึ้นช้าที่สุด ขั้นตอนนั้นจะเป็นขั้นตอนกำหนดอัตราการคุณชับของระบบการคุณชับนั้น ๆ (เดชา ฉัตรศิริเวช, 2552) โดยการแพร่ผ่านชั้นของไอลรอนตัวคุณชับ ในหลักของการถ่ายโอนโมเม้นตัม ของไอลรอนที่อยู่รอบตัวคุณชับที่หยุดนิ่งจะเคลื่อนที่อย่างช้า ๆ จึงเกิดชั้นของไอลรอน ๆ ล้อมรอบตัวคุณชับ ชั้นของไอลรอนนี้เป็นอุปสรรคต่อการคุณชับ นอกจากนี้ความหนาของชั้นของไอลรอนตัวคุณชับจะลดลง ของไอลรอนชั้นของไอลรอนตัวคุณชับจะเคลื่อนที่ช้ามาก จึงมักพิจารณาให้เสมือนหยุดนิ่ง ไม่เลกุดของตัวถูกคุณชับจึงแพร่ผ่านชั้นของไอลรอนตัวคุณชับเข้าสู่รูปrunของตัวคุณชับได้ การแพร่ของตัวถูกคุณชับจึงเกิดขึ้นจากผลต่างของความเข้มข้นของตัวถูกคุณชับตามกฎการแพร่ของฟิกค์ (Fick's law of diffusion) เพียงอย่างเดียว ส่วนการแพร่ในรูปrunของตัวคุณชับ เมื่อตัวถูกคุณชับแพร่ผ่านชั้นของไอลรอนตัวคุณชับถึงผิวนอกของตัวคุณชับ แม้ว่าตัวถูกคุณชับอาจ\_keต่อการติดผิวนอกของตัวคุณชับซึ่งเป็นพื้นผิวคุณชับส่วนน้อยของตัวคุณชับ แต่ตัวถูกคุณชับส่วนใหญ่จะแพร่เข้าสู่รูปrunของตัวคุณชับและแพร่ไปยังพื้นผิwtัวคุณชับ ตัวถูกคุณชับบางส่วนสามารถKeต่อพิวภัยในรูปrunของตัวคุณชับดังกล่าว และตัวถูกคุณชับอีกบางส่วนยังคงแพร่เข้าสู่ส่วนลึกของรูปrunต่อไป

การศึกษาจลนพลศาสตร์การคุณชับจะแสดงให้เห็นถึงปัจจัยที่มีผลกระทบต่อทางกายภาพและทางเคมี คือ วัสดุที่ใช้เป็นตัวคุณชับจะมีอิทธิพลต่อ全局 ไการคุณชับคัวบ และเพื่อทราบถึงกลไกการคุณชับ เช่น การถ่ายโอนมวลสารระหว่างตัวถูกคุณชับกับตัวคุณชับ และกระบวนการเกิดปฏิกิริยาเคมี แบบจำลองจลนพลศาสตร์จะถูกใช้อธิบายประกูลการณ์ตั้งกล่าว ซึ่งแบบจำลองที่นิยมใช้ในการอธิบายประกูลการณ์การคุณชับที่เกิดขึ้น มี 2 แบบ คือ Pseudo-first order และ Pseudo-second order (Wang and Wang, 2007) โดยอัตราการคุณชับจะขึ้นอยู่กับว่าขั้นตอนใดเกิดขึ้นช้าที่สุด ดังกล่าวข้างต้น ขั้นตอนนั้นจะเป็นขั้นตอนกำหนดอัตราการคุณชับ

ดังนั้น จึงสามารถอธิบายได้ว่า ขั้นตอนการถ่ายโอนมวลของตัวถูกคุณชับผ่านชั้นของไอลรอนตัวคุณชับเกิดขึ้นช้าที่สุด เป็นอัตราการคุณชับอันดับหนึ่งเทียม (Pseudo-first order) ส่วนขั้นตอนการเกิดปฏิกิริยาเคมีที่พื้นผิวของตัวคุณชับเกิดขึ้นได้ช้าที่สุด เป็นอัตราการคุณชับอันดับสองเทียม (Pseudo-second order) ซึ่งขั้นตอนในการหาผลไกอัตราการคุณชับของจลนพลศาสตร์มีรายละเอียดแสดงได้ดังนี้

## (1) สมการอัตราการดูดซับอันดับหนึ่งเทียน (Pseudo-first order equation)

จนผลศาสตร์ของการดูดซับจะถูกอธิบายโดยสมการเชิงอนุพันธ์แสดงไว้ดังนี้

$$\frac{dq_t}{dt} = k_1(q_e - q_t) \quad (2.17)$$

เมื่อ  $q_e$  คือ ปริมาณของสีข้อมที่ถูกดูดซับที่สมดุล (mg/g)

$q_t$  คือ ปริมาณของสีข้อมที่ถูกดูดซับที่เวลา  $t$  (mg/g)

$k_1$  ค่าคงที่ของสมการ Pseudo-first order (1/min)

เมื่อทำการอินทิเกรตสมการที่ 2.17 โดยใช้เงื่อนไขขอบเขต (Boundary conditions)

ที่  $t = 0; q_t = 0$  และ  $t = t; q_t = q_t$  จะได้

$$\ln \left[ \frac{q_e}{(q_e - q_t)} \right] = k_1 t \quad (2.18)$$

สามารถจัดรูปใหม่ของสมการที่ 2.18 ในรูปของสมการเส้นตรงได้ดังนี้

$$\ln(q_e - q_t) = \ln q_e - k_1 t \quad (2.19)$$

ค่าคงที่  $k_1$  และสัมประสิทธิ์สหสัมพันธ์  $R^2$  สามารถหาได้จากการฟิตความสัมพันธ์ระหว่าง  $\ln(q_e - q_t)$  กับ  $t$

## (2) สมการอัตราการดูดซับอันดับสองเทียน (Pseudo-second order equation)

จนผลศาสตร์ของการดูดซับจะถูกอธิบายโดยสมการเชิงอนุพันธ์ดังแสดงต่อไปนี้

$$\frac{dq_t}{dt} = k_2(q_e - q_t)^2 \quad (2.20)$$

เมื่อ  $k_2$  ค่าคงที่ของสมการ Pseudo-second order (g/mg\*min)

เมื่อทำการอินทิเกรตสมการที่ 2.20 โดยใช้เงื่อนไขขอบเขต (Boundary conditions)

ที่  $t = 0; q_t = 0$  และ  $t = t; q_t = q_t$  จะได้

$$\frac{t}{q_e - q_t} = \frac{1}{q_e} + k_2 t \quad (2.21)$$

สมการที่ 2.21 สามารถจัดรูปใหม่ในรูปของสมการเส้นตรง ดังนี้

$$\frac{t}{q_t} = \frac{1}{k_2 q_e^2} + \frac{t}{q_e} \quad (2.22)$$

ค่าคงที่  $k_2, q_e$  และสัมประสิทธิ์สหสัมพันธ์  $R^2$  สามารถหาได้จากการฟิตความสัมพันธ์ระหว่าง  $\frac{t}{q_t}$  กับ  $t$

## 2.9 พลังงานกระตุ้น

พลังงานกระตุ้น ( $E_a$ ) คือ พลังงานอย่างต่ำที่ไม่เลกูลของสารตั้งต้นจะต้องมี จึงจะเกิดปฏิกิริยาเคมีได้ ปฏิกิริยาใดที่เกิดเร็วมากแสดงว่ามีค่าพลังงานกระตุ้นต่ำ ปฏิกิริยาใดที่เกิดช้า แสดงว่ามีพลังงานกระตุ้นสูงมาก ถ้าค่าพลังงานกระตุ้นมีค่าอยู่ในช่วง 5-40 kJ/mol และแสดงว่าเป็นการคุดชับทางกายภาพ และถ้าค่าพลังงานกระตุ้นมีค่าอยู่ในช่วง 40-800 kJ/mol และแสดงว่าเป็นการคุดชับทางเคมี (Alkan et al., 2008)

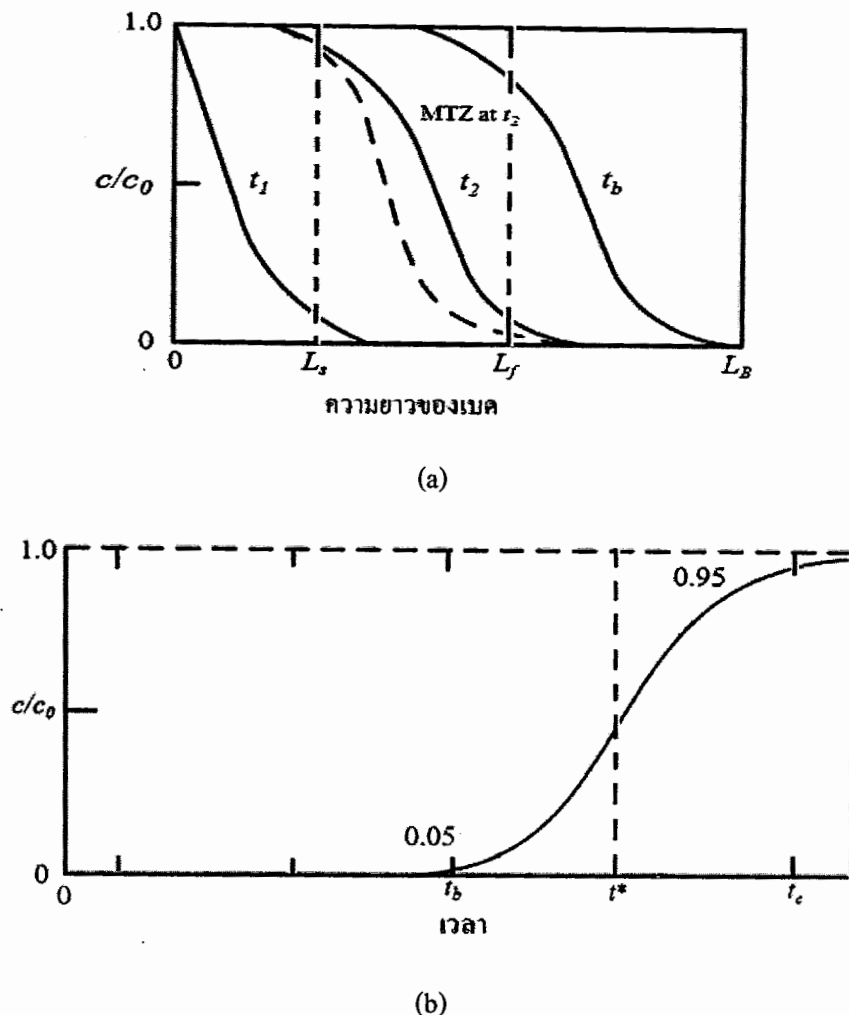
ค่าพลังงานกระตุ้น ( $E_a$ ) สามารถหาได้โดยการสร้างกราฟความสัมพันธ์ระหว่าง  $\ln k_2$  กับ  $1/T$  โดยใช้สมการของ Arrhenius (Almeida et al., 2009) ดังแสดงไว้ในสมการที่ 2.23

$$\ln k_2 = \ln A - \frac{E_a}{RT} \quad (2.23)$$

เมื่อ	$E_a$	คือ พลังงานกระตุ้น
	$k_2$	ค่าคงที่ของสมการอันดับสองเทียบ (g/mg*min)
	$R$	ค่าคงที่ของแก๊ส (8.314 J/mol*K)
	$T$	ค่า อุณหภูมิของสารละลายสีเข้ม (K)

## 2.10 หอคุดชับ

การศึกษาการคุดชับในระบบหอคุดชับจะศึกษาเกี่ยวกับการเปลี่ยนแปลงของความเข้มข้นในเฟสของไอลและเฟสของแข็งเทียบกับเวลาหรือคำแนะนำภายในหอคุดชับ (Juang et al., 2004) อันดับแรกจะพิจารณาการถ่ายโอนมวลสารบริเวณใกล้กับทางเข้าของหอคุดชับซึ่งเป็นบริเวณที่ของไอลใหม่สัมผัสกับตัวคุดชับเป็นส่วนแรกและมีการถ่ายโอนมวลสารมากที่สุดเป็นส่วนแรก ถ้าตัวคุดชับเริ่มต้นไม่มีตัวถูกคุดชับเจือปนอยู่ เมื่อนำมาทำการคุดชับลักษณะของความเข้มข้นในเฟสของไอลเทียบกับความยาวของเบดในหอคุดชับจะลดลงเป็นแบบเลขชี้กำลัง (Exponential) และจะมีค่าเข้าสู่สูญญ์ถ้าการถ่ายโอนมวลสารเกิดขึ้นไม่ถึงปลายของหอคุดชับ รูปแบบของความเข้มข้นจะแทนด้วยเส้นกราฟ  $t$ , ดังแสดงในภาพที่ 2.6a โดย  $c/c_0$  ซึ่งเป็นสัญลักษณ์ในกราฟและแทนอัตราส่วนของความเข้มข้นในเฟสของไอลและมวลสารที่ถูกคุดชับเทียบกับความเข้มข้นในเฟสของไอลขาเข้าเริ่มต้น



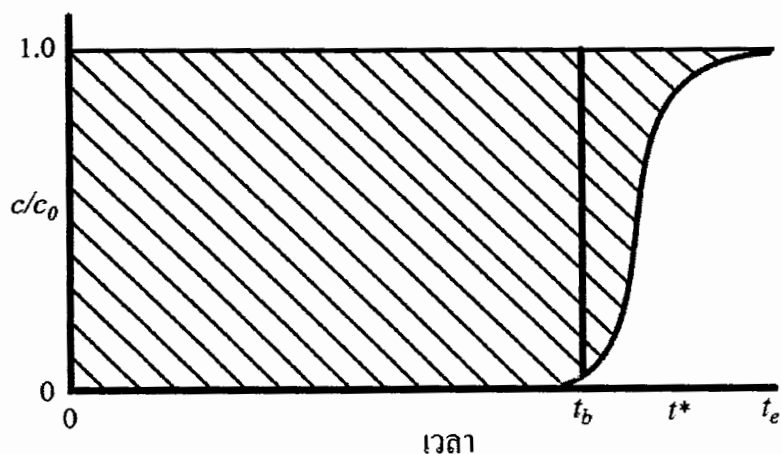
ภาพที่ 2.6 รูปแบบความเข้มข้นของตัวถุกคุดซับในหอดคุดซับ (Seader and Henley, 1998)

(a) รูปแบบของความเข้มข้น (b) กราฟเบรคทรูสำหรับการคุดซับในระบบหอดคุดซับ

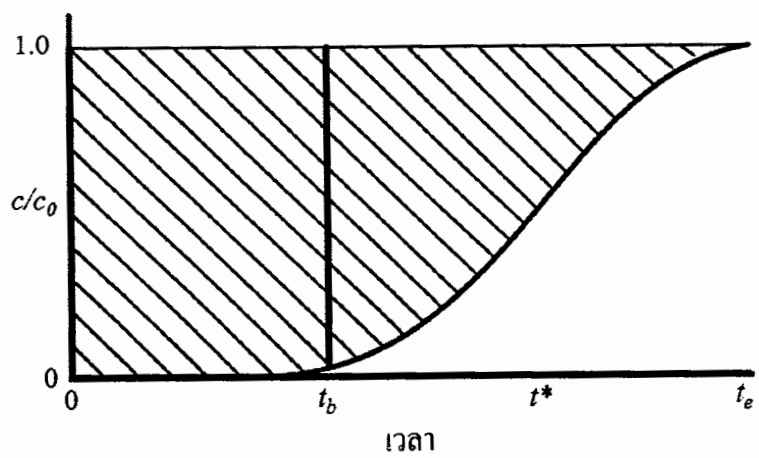
เมื่อเวลาผ่านไปเล็กน้อยตัวถุคุดซับที่อยู่ใกล้กับทางเข้าจะเริ่มอึมตัวและบริเวณที่มีการถ่ายโอนมวลสารจะเลื่อนห่างออกจากทางเข้าหอดคุดซับออกไปเรื่อย ๆ จนถึงปลายหอดคุดซับ และรูปแบบของความเข้มข้นจะมีรูปร่างคล้ายกับตัวอักษรเอสและเรียกว่ารูปแบบของความเข้มข้นเช่นนี้ว่า "S-shaped" หรือแทนด้วยเส้นกราฟ  $t_c$  ในภาพที่ 2.6a พื้นที่ที่มีการเปลี่ยนแปลงของความเข้มข้นมากที่สุด หรือบริเวณระหว่าง  $L_s$  และ  $L_f$  จะเรียกว่า "Mass Transfer Zone" หรือแทนด้วย MTZ (Lin et al., 2004) MTZ จะเคลื่อนที่ลงตามแนวตั้งของหอดคุดซับ ดังแสดงด้วยรูปแบบความเข้มข้นในเส้นกราฟ  $t_c$  ในภาพที่ 2.6a เนื่องจากรูปแบบของความเข้มข้นในเส้นกราฟ  $t_c - t_b$  มีลักษณะคล้ายกันจึงสามารถนำมาหาค่าความเข้มข้นของตัวถุกคุดซับเฉลี่ยบนตัวถุคุดซับได้ นอกจากนี้กราฟดังกล่าวบ่งแสดงให้เห็นว่าตัวถุคุดซับที่อยู่บริเวณทางเข้าหอดคุดซับอึมตัวแล้วเนื่องจากเกิดการถ่ายเท

มวลสารเป็นส่วนแรก ส่วนนบริเวณปลายทางออกของหอคุตซันจะเป็นบริเวณที่ยังไม่มีการถ่ายเทนมวลสารและความเข้มข้นจะมีค่าเท่ากับศูนย์

สำหรับกราฟในภาพที่ 2.6b จะถูกเรียกว่า “กราฟเบรคทรู” โดยที่เวลา  $t_b$  ในกราฟเบรคทรูความเข้มข้นที่ออกมากจากหอคุตซันจะมีค่าเท่ากับศูนย์ ซึ่งสอดคล้องกับรูปแบบความเข้มข้นในภาพที่ 2.6a ปกติแล้วความเข้มข้น ( $c/c_0$ ) ของตัวถูกคุตซันที่ชุดเบรคทรูจะอยู่ที่ 0.05 - 0.10 ของความเข้มข้นเริ่มต้นตั้งแต่จุดนี้ไปความเข้มข้นที่ออกจากหอคุตซันจะเพิ่มขึ้นอย่างรวดเร็ว จนกระทั่งค่าเฉลี่ยของความเข้มข้นในของไหลที่ออกมากจากหอคุตซันมีความเข้มข้นเทียบกับความเข้มข้นเริ่มต้น ( $c/c_0$ ) เท่ากับ 0.95 แต่ไม่เกิน 1.0 ที่เวลา  $t_e$



(a)



(b)

ภาพที่ 2.7 ลักษณะการถ่ายโอนมวลของกราฟเบรคทรู (McCabe et al., 2001)

(a) บริเวณการถ่ายเทนมวลสารแคบ (b) บริเวณการถ่ายเทนมวลสารกว้าง

ถ้ากราฟเบรคทรูมีรูปร่างที่สมมาตรเป็นรูปตัวอักษรเอสจะเรียกว่า “S-shape” เมื่อพิจารณาสมดุลมวลสารของกราฟเบรคทรู พบว่า พื้นที่ระหว่างหนึ่งเส้นกราฟเบรคทรูและภายใต้เส้นตรงของสัดส่วน  $c/c_0 = 1.0$  หรือพื้นที่แรงาทั้งหมดในภาพที่ 2.7 ซึ่งจะเป็นปริมาณการคุณชับทั้งหมดในหอดคุณชับ (Chen and Wang, 2004) ถ้ากราฟเบรคทรูมีลักษณะสมมาตรปริมาณของตัวถูกคุณชับที่เป็นสัดส่วนโดยตรงกับพื้นที่สี่เหลี่ยมผืนผ้าทางด้านซ้ายของเส้นประ  $t^*$  (เวลาการคุณชับที่สุดยอด) ในภาพที่ 2.6b เนื่องจากพื้นที่หนึ่งเส้นกราฟเบรคทรูทางด้านขวาเมื่อของเส้นประ  $t^*$  จะทดแทนพื้นที่ที่อยู่ภายใต้เส้นกราฟเบรคทรูทางด้านซ้ายเมื่อของเส้น  $t^*$

สำหรับหนึ่งหน่วยพื้นที่ของหน้าตัดหอดคุณชับท่อต่อการไหลจะเป็นผลคูณของความเข้มข้นเริ่มต้นกับ Superficial velocity นั่นคือ

$$F_A = u_0 c_0 \quad (2.24)$$

เมื่อ  $F_A$  คือ อัตราการไหลขาเข้าของตัวถูกคุณชับท่อพื้นที่หน้าตัดของหอดคุณชับ ( $\text{g/cm}^2 \cdot \text{s}$ )

$u_0$  คือ Superficial velocity ของของไหล ( $\text{cm/s}$ )

$c_0$  คือ ความเข้มข้นเริ่มต้นของตัวถูกคุณชับท่อของไหลขาเข้า ( $\text{g/cm}^3$ )

สำหรับกราฟเบรคทรูอุณหภูมิกติตัวถูกคุณชับที่แสดงในภาพที่ 2.7 และความเข้มข้นของตัวถูกคุณชับทอนตัวคุณชับทะเพิ่มจากค่าเริ่มต้น  $W_0$  จนกระทั่งตัวคุณชับท่อเข้าสู่สมดุลหรืออิ่มตัว  $W_{sat}$  ดังนี้

$$u_0 c_0 t^* = L \rho_b (W_{sat} - W_0) \quad (2.25)$$

จัดรูปสมการใหม่

$$t^* = \frac{L \rho_b (W_{sat} - W_0)}{u_0 c_0} \quad (2.26)$$

เมื่อ  $t^*$  คือ เวลาการคุณชับที่สุดยอดของกราฟเบรคทรู (min)

$L$  คือ ความยาวของเบดในหอดคุณชับ (m)

$W_{sat}$  คือ น้ำหนักของตัวถูกคุณชับทอนตัวคุณชับที่สภาวะสมดุล (g/g)

$W_0$  คือ น้ำหนักของตัวถูกคุณชับทอนตัวคุณชับที่เวลาเริ่มต้น (g/g)

$\rho_b$  คือ ความหนาแน่นรวมของเบดในหอดคุณชับ ( $\text{kg/m}^3$ )

เวลา  $\eta$  จุดเบรคทรูแทนด้วยสัญลักษณ์  $\zeta$ , จะมีค่าอยู่กว่าเวลา  $t^*$  เสมอ และปริมาณของตัวถูกคุกซับที่เหลือจะน้อยลงจุดเบรคทรูสามารถหาได้โดยการอินทิเกรตกราฟเบรคทรูจากเวลา  $t = 0$  จนกระทั่งถึงเวลา  $\eta$  จุดเบรคทรู ( $Farran$  et al., 2000) หรือการหาพื้นที่ของกราฟเบรคทรูในช่วงเวลา  $t = 0$  จนกระทั่งถึงเวลา  $\eta$ , ดังแสดงในภาพที่ 2.7 ถ้าช่วงของ MTZ แคบเมื่อเทียบกับความยาวของหอคุกซับกราฟเบรคทรูจะมีลักษณะค่อนข้างสั้นคั่งแสดงไว้ในภาพที่ 2.6a และความสามารถในการคุกซับสูงสุดของตัวคุกซับจะอยู่ที่จุดเบรคทรู ถ้าช่วงของ MTZ มีลักษณะกว้างเมื่อเทียบกับความยาวของหอคุกซับดังแสดงในภาพที่ 2.7b ลักษณะเช่นนี้จะทำให้  $\zeta$  มีค่าน้อยและน้อยกว่า  $\eta$  ในกรณีที่ช่วงของ MTZ แคบ

ในกรณีของระบบอุตสาหกรรมที่ไม่มีความต้านทานการถ่ายเทmvlsar และไม่มีการแพร่กระจายในแนวแกน บริเวณที่มีการถ่ายเทmvlsar จะกว้างและมีแนวโน้มเข้าสู่อนันต์ ลักษณะของกราฟเบรคทรูจึงเป็นเส้นตรงแนวตั้งจาก  $c/c_0$  เท่ากับ 0 ถึง 1.0 เมื่อตัวคุกซับทั้งหมดอิ่มตัว ปัจจัยที่มีผลต่อความสามารถกว้างของ MTZ ได้แก่ อัตราการถ่ายเทmvlsar อัตราการไหล และรูปร่างของกราฟสมดุล วิธีการที่ทำนายรูปแบบของความเข้มข้นและความกว้างของ MTZ ได้กล่าวไว้แล้ว แต่การคำนวณหาความยาวของหอคุกซับยังให้ผลที่ไม่แม่นยำมากพอ เนื่องจากความไม่แน่นอนของความสัมพันธ์ของการถ่ายโอนมวลสาร (Walker and Weatherley, 1998) ดังนั้นการขยายขนาดของหอคุกซับโดยทั่วไปจึงศึกษาจากการทดลองในห้องปฏิบัติการในระบบหอคุกซับขนาดเล็ก และการออกแบบหอคุกซับที่มีขนาดใหญ่ขึ้น ขนาดของอนุภาคน้ำ Superficial velocity จะยังมีค่าเท่าเดิม แต่ความยาวของหอคุกซับไม่จำเป็นต้องมีค่าเท่าเดิม

สำหรับมีไโอโซเทอนการคุกซับที่เหมาะสม รูปแบบของความเข้มข้นจะไม่มีการเปลี่ยนแปลงตลอดความยาวของหอคุกซับและรูปร่างของกราฟเบรคทรูจะไม่เปลี่ยนแปลง ถึงแม่ว่าความยาวของหอคุกซับจะแตกต่างกัน หอคุกซับที่มีความยาวมากขึ้นสัดส่วนของ MTZ เมื่อเทียบกับความยาวของหอคุกซับ ถ้าพิจารณาช่วง MTZ อย่างคร่าวๆ จะสมมุติให้ตัวคุกซับครึ่งหนึ่งใน MTZ เกิดการอิ่มตัวและอิกครึ่งหนึ่งยังไม่เกิดการคุกซับ ดังนั้นหลักในการขยายขนาดหอคุกซับจะกำหนดให้ปริมาณของตัวคุกซับที่ไม่ถูกใช้งาน (Unused adsorbent) หรือความยาวของเบดที่ไม่ถูกใช้งาน (Length of unused bed) ไม่เปลี่ยนแปลงตลอดความยาวของเบดทั้งหมดในหอคุกซับ

การหาความยาวของเบดที่ยังไม่ถูกใช้งานสามารถหาได้จากการเบรคทรู โดยหาปริมาณของตัวถูกคุกซับทั้งหมดที่ถูกคุกซับจากการอินทิเกรตพื้นที่บนเส้นกราฟเบรคทรูถึงจุดเบรคทรูและหาความสามารถในการคุกซับของตัวคุกซับโดยการอินทิเกรตพื้นที่ทั้งหมดบนเส้นกราฟเบรคทรูหรือหาจากสมดุลการคุกซับ อัตราส่วนของปริมาณทั้งสองจะเป็นสัดส่วนของความสามารถในการคุกซับของเบด  $\eta$  จุดเบรคทรู (Fraction of bed capacity utilized) และถ้านำไป

ลบด้วยหนึ่งจะได้สัดส่วนของเบคที่ไม่ถูกใช้งาน (Unused fraction) และอัตราส่วนของเบคที่ไม่ถูกใช้งานสามารถแปรเป็นความยาวของเบคที่ไม่ถูกใช้งาน (*LUB*) ได้ ซึ่งจะสมมุติให้เป็นค่าคงที่ และเวลา ณ จุดเบรคทรูจะคำนวณจากเวลาที่อุบัติ และสัดส่วนของเบคที่ไม่ถูกใช้งานดังสมการที่ 2.24

$$t_b = t^*(1 - LUB/L) \quad (2.27)$$

เมื่อ  $t_b$  คือ เวลาที่จุดเบรคทรู (min)  
 $LUB$  คือ ความยาวของเบคที่ยังไม่ได้ใช้งาน (m)

ในปี 1966 มีผู้ศึกษาและพัฒนาสมการที่ใช้ในการขยายขนาดหอดูดซับจากหอดูดซับขนาดเล็กในห้องปฏิบัติการ ไปเป็นหอดูดซับที่ใช้งานจริงดังนี้ (Reynolds and Richards, 1996)

(1) คำนวณหาปริมาตรของตัวดูดซับ

$$\text{Bed volume (BV)} = Q/Q_0 \quad (2.28)$$

เมื่อ  $Q$  คือ อัตราการไหลในหอดูดซับจริง ( $\text{m}^3 \text{ of fixed-bed/min}$ )  
 $Q_0$  คือ อัตราการไหลในหอดูดซับขนาดเล็กในห้องปฏิบัติการ ( $\text{m}^3 \text{ of fixed-bed/min}$ )

(2) มวลของการออกแบบหอดูดซับ

$$M = (BV) P \quad (2.29)$$

เมื่อ  $M$  คือ น้ำหนักของตัวดูดซับในหอดูดซับจริง ( $\text{kg/min}$ )  
 $P$  คือ ความหนาแน่นรวมของตัวดูดซับ ( $\text{kg/m}^3$ )

(3) เวลาของการออกแบบหอดูดซับจนถึงจุดเบรคทรู

$$T = M/M_i \quad (2.30)$$

เมื่อ  $T$  คือ เวลาที่จุดเบรคทรูสำหรับหอดูดซับจริง (min)  
 $M_i$  คือ มวลของตัวดูดซับในหอดูดซับ ณ จุดที่ตัวดูดซับหมดสภาพต่อหน่วยเวลา ( $\text{kg/min}$ )

(4) ปริมาตรของไอลที่ผ่านการบำบัดจากหอคุดซับจนกระแท้ถึงจุดเบรคทู (V<sub>b</sub>)

$$V_b = QT \quad (2.31)$$

เมื่อ Q กือ อัตราการไอลในหอคุดซับจริง ( $m^3$  of fixed-bed/min)  
 T กือ เวลาที่จุดเบรคทูสำหรับหอคุดซับจริง (min)

## 2.11 การขยายขนาดของหอคุดซับ

การขยายขนาดของหอคุดซับ (Absorber) สามารถประมาณได้โดยการใช้ข้อมูลจากการทดลองหอคุดซับที่มีขนาดเล็กหรือ RSSCT (Rapid small-scale column test) สมการการคำนวณของแบบจำลองนี้จะถูกพัฒนาการเปรียบเทียบค่าสัมประสิทธิ์การแพร่ (Diffusion coefficients) ค่าเวลาในการสัมผัสในเบดที่ยังไม่ถูกคุดซับ หรือ EBCTS (Empty bed contact times) และความเร็วในการดำเนินงาน (Loading rates) ระหว่างหอคุดซับที่มีขนาดเล็กกับหอคุดซับที่มีขนาดใหญ่ สมการขยายขนาดนี้เป็นฟังก์ชันกับอัตราส่วนระหว่างเส้นผ่าศูนย์กลางของอนุภาคคาร์บอนที่มีในหอคุดซับขนาดเล็กกับเส้นผ่าศูนย์กลางของอนุภาคคาร์บอนในหอคุดซับขนาดใหญ่ จากการออกแบบหอคุดซับเป็นจำนวนมาก แสดงให้เห็นว่า การออกแบบจะต้องคำนึงถึงความสัมพันธ์ระหว่างขนาดของอนุภาคและค่าความสามารถในการแพร่ของขั้นตอนการกำหนดอัตรา (Rate of limiting step) เพื่อให้ได้ความสัมพันธ์อย่างง่าย (Empirical relationships) สามารถตั้งสมมติฐานที่ว่า “การลดลงของขนาดอนุภาคจะทำให้การแพร่ภายในรูปrunของตัวคุดซับลดลง” ซึ่งความสัมพันธ์นี้จะเป็นไปตามสมการต่อไปนี้

$$D_{sc} = (d_{sc}/d_{lc})x D_{lc} \quad (2.32)$$

ที่ซึ่ง D<sub>sc</sub> กือ สัมประสิทธิ์การแพร่ภายในรูปrunของอนุภาคคาร์บอนที่มีขนาดเล็ก  
 D<sub>lc</sub> กือ สัมประสิทธิ์การแพร่ภายในรูปrunของอนุภาคคาร์บอนที่มีขนาดใหญ่  
 d<sub>lc</sub> กือ เส้นผ่าศูนย์กลางของอนุภาคคาร์บอนที่มีขนาดอนุภาคใหญ่  
 d<sub>sc</sub> กือ เส้นผ่าศูนย์กลางของอนุภาคคาร์บอนที่มีขนาดอนุภาคเล็ก  
 x กือ แฟกเตอร์การแพร่ (Diffusivity factor)

ถ้าอัตราการแพร่เข้าสู่รูปrunภายในตัวคุดซับเป็นขั้นตอนกำหนดอัตราและการแพร่ผ่านเกิดขึ้นไม่คงที่ ดังนั้น ความสัมพันธ์ระหว่างค่าตัวแปรของอนุภาคที่มีขนาดเล็กและอนุภาคที่มีขนาด

ใหญ่ เช่น EBCT และเวลาในการดำเนินการ จะเข้ามาเกี่ยวข้องกับอัตราส่วนของขนาดของอนุภาค ดังแสดงในสมการต่อไปนี้

$$EBCT_s = \left( \frac{d_{sc}}{d_{lc}} \right)^{2-x} \cdot EBCT_{lc} \quad (2.33)$$

$$t_{sc} = \left( \frac{d_{sc}}{d_{lc}} \right)^{2-x} \cdot t_{lc} \quad (2.34)$$

ที่ซึ่ง  $EBCT_{sc}$  คือ EBCT ของอนุภาคที่อยู่ในหอคุณภาพขนาดเล็ก  
 $EBCT_{lc}$  คือ EBCT ของอนุภาคที่อยู่ในหอคุณภาพขนาดใหญ่  
 $t_{sc}$  คือ เวลาในการดำเนินการของหอคุณภาพขนาดเล็ก  
 $t_{lc}$  คือ เวลาในการดำเนินการของหอคุณภาพขนาดใหญ่

ดังนั้นค่า  $EBCT_{sc}$  และ  $t_{sc}$  จะมีค่าน้อยกว่าค่าตัวแปรในหอคุณภาพขนาดใหญ่ขึ้นอยู่กับขนาดเส้นผ่าศูนย์ของอนุภาคที่ใช้ ความสัมพันธ์ระหว่างความเร็วในหอคุณภาพขนาดเล็กกับความเร็วของหอคุณภาพขนาดใหญ่จะสามารถนิยามได้โดยสมการต่อไปนี้

$$v_{sc} = \left( \frac{d_{lc}}{d_{sc}} \right) \cdot v_{lc} \cdot \left( \frac{Re_{sc,min}}{Re_{lc}} \right) \quad (2.35)$$

ที่ซึ่ง  $v_{sc}$  คือ ความเร็วในหอคุณภาพขนาดเล็ก  
 $v_{lc}$  คือ ความเร็วในหอคุณภาพขนาดใหญ่  
 $Re_{sc,min}$  คือ ค่าเรย์โน่เดอร์ที่น้อยที่สุดในหอคุณภาพขนาดเล็ก หรือค่า  $Re_{sc,min}$  จะนิยามเป็นค่าความเร็วที่น้อยที่สุดที่สามารถดำเนินงานในการทดสอบ RSSCT โดยปราศจากอิทธิพลของการกระจายตัวและการถ่ายโอนมวลภายนอก ซึ่งจะอยู่ในช่วง 0.02 ถึง 0.13  
 $Re_{lc}$  คือ ค่าเรย์โน่เดอร์ในหอคุณภาพขนาดใหญ่

$$Re = (d \cdot v) / (v \cdot e) \quad (2.36)$$

ที่ซึ่ง  $v$  คือ ความหนืดเชิงไคโนเมติก (Kinematic viscosity)  
 $e$  คือ ความพรุนในเบตัน  
 $Re$  คือ ค่าเรย์โน่เดอร์

สมการความเร็วนี้จะถูกพัฒนาขึ้นมาเป็นอันดับแรกโดยการใช้ค่าเรย์โน่เดอร์ของหอคุณภาพที่มีขนาดใหญ่ต่อค่าเรย์โน่เดอร์ของหอคุณภาพที่มีขนาดเล็ก อัตราส่วนระหว่าง  $Re_{sc,min}$  กับ  $Re_{lc}$  จะถูกใช้เพื่อครุปของสมการ  $v_{sc}$  จะลดลงเหลือเป็นความยาวของเบตันดังแสดงในสมการที่ (2.37)

$$L_{sc} = v_{sc} \cdot EBCT_{sc} \quad (2.37)$$

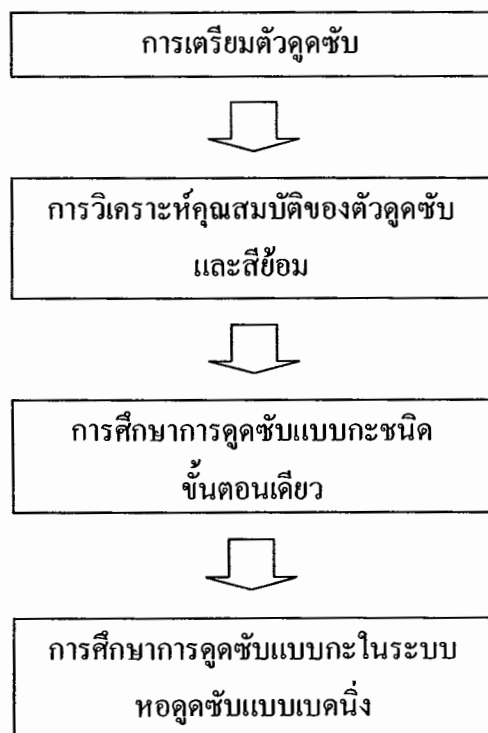
ที่ซึ่ง  $L_{sc}$  คือ ความยาวของเบคของหอคุณชับที่มีรูพรุนขนาดเล็ก

## บทที่ 3

### วิธีดำเนินการวิจัย

#### 3.1 กรอบงานวิจัย

ทำการดัดแปลงร่างคืน MMT ด้วยสารไกโตซาน และวิเคราะห์คุณสมบัติทางกายภาพและทางเคมีของตัวคุณชับทั้งสองชนิด (แร่คิน MMT และแร่คิน CTS/MMT) จากนั้นศึกษาการคุณชับสีข้อมากน้ำสีสังเคราะห์ (สารละลายสีข้อม) ในการทดลองแบบกะ และศึกษาการคุณชับในระบบหอคุณชับแบบเบคนิ่ง ขั้นตอนการวิจัยทั้งหมดสามารถแสดงความสัมพันธ์เป็นแบบแผนภาพได้ดังภาพที่ 3.1



ภาพที่ 3.1 แผนภาพขั้นตอนการวิจัย

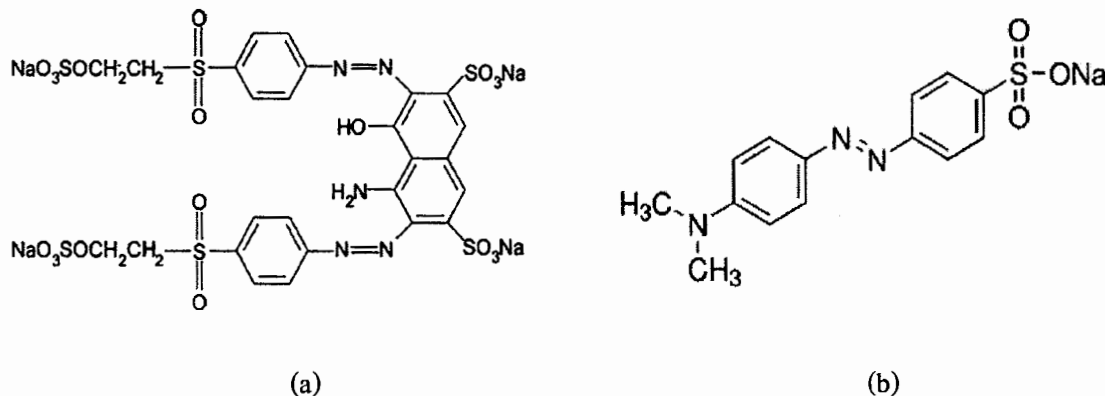
### 3.2 แร่ดินมอนต์มอริลโลไนต์และสารเคมีที่ใช้ในงานวิจัย

#### 3.2.1 แร่ดิน MMT (Montmorillonite clays)

3.2.2 สารไคโตกาน (Chitosan, high molecular weight) ยี่ห้อ Aldrich บริษัท Sigma-Aldrich จำกัด ประเทศไทย

3.2.3 สีข้อม RB5 ซึ่งโครงสร้างของสีข้อมได้แสดงไว้ในภาพที่ 3.2a มีมวลโมเลกุลเท่ากับ 991.82 g/mol และมีประจุลบ

3.2.4 สีข้อม MO ซึ่งโครงสร้างของสีข้อมได้แสดงไว้ในภาพที่ 3.2b มีมวลโมเลกุลเท่ากับ 327.34 g/mol และมีประจุลบ



ภาพที่ 3.2 โครงสร้างโมเลกุลของสีข้อม (a) RB5 และ (b) MO

### 3.3 การเตรียมตัวดูดซับจากแร่ดินมอนต์มอริลโลไนต์

วิธีการคัดแปรแร่ดิน MMT ด้วยสารไคโตกานมีวิธีการดังนี้

3.3.1 นำแร่ดิน MMT 1 g ละลายในน้ำกลั่น 100 mL และเติมสารละลายไคโตกานเข้มข้น 2 g/L ปริมาตร 100 mL

3.3.2 ทำการกรองด้วยอัตราการกรองคงที่ ที่ความเร็วรอบ 200 rpm เป็นเวลา 1 hr ที่อุณหภูมิห้อง

3.3.3 จากนั้นปรับค่า pH เอชด้วยสารละลาย 0.1 M โซเดียมไฮดรอกไซด์ (NaOH) หรือ 0.1 M กรดไฮโดรคลอริก (HCl) ให้อยู่ในช่วง 7.0 - 7.5 ทั้งสารละลายให้อยู่ในรูปของเจลเป็นเวลา 30 min ที่อุณหภูมิห้อง

3.3.4 หลังจากนั้นกรองแร่ดินด้วยเครื่องกรองสุญญากาศ เพื่อรีดน้ำออกและถางด้วยน้ำกลั่น และทำให้แห้งโดยอบในตู้อบที่อุณหภูมิ 40 °C เป็นเวลา 24 hr

3.3.5 นำแร่ดิน MMT ที่ดัดแปลงด้วยสารไคโตซานมาดคั่วโดยกวิทยาศาสตร์ให้ละเอียด จากนั้นนำไปร่อนผ่านตะแกรงขนาด 200 mesh ที่จะได้ขนาดอนุภาคเท่ากับ  $75 \mu\text{m}$

### 3.4 การวิเคราะห์คุณสมบัติของตัวคูดชันและสีเยื่อ

#### 3.4.1 การวิเคราะห์พื้นที่ผิวและขนาดครูพรุนของตัวคูดชัน

นำตัวคูดชันทั้งสองชนิด (แร่ดิน MMT และแร่ดิน CTS/MMT) ไปวิเคราะห์หาพื้นที่ผิวและขนาดครูพรุน โดยใช้หลักการการคูดชันและการหายของก๊าซในโครงบนตัวคูดชัน ( $N_2$  adsorption-desorption) วิเคราะห์ด้วยเครื่องออ โตเมติกเซอร์เฟก่อน้าไลเซอร์ (Automatic Surface Analyzer) รุ่น ASI-C-8 ยี่ห้อ Quantachrome Instrument อุณหภูมิที่ใช้  $77.4 \text{ K}$  (ปีบมาก่อน จารุวงศ์ และ รัตนวรรณ เกียรติโภนล, 2547)

#### 3.4.2 การวิเคราะห์ระยะของช่องว่างระหว่างชั้นเดินของตัวคูดชัน

การวิเคราะห์หาระยะระหว่างชั้นเดิน (ค่า  $d_{001}$ ) ของแร่ดิน MMT และแร่ดิน CTS/MMT โดยใช้กฎของแบรกส์ (Bragg's law) เพื่อเปลี่ยนค่า  $2\theta$  ไปเป็นค่า  $d_{001}$  วิเคราะห์ด้วยเครื่องวิเคราะห์การเดี้ยวเบนรังสีเอกซ์ (X-Ray Diffraction: XRD) รุ่น X' Pert MPD ยี่ห้อ Philips โดยใช้ขัตระในการสแกน  $2.4 \text{ องศาต่อนาที}$  สแกนมุม  $2\theta$  ในช่วง  $5 - 18 \text{ องศา}$  ค่าหักมี้ไฟฟ้า  $30 \text{ kV}$  และค่ากระแสไฟฟ้า  $25 \text{ mA}$  (Wang and Wang, 2007)

#### 3.4.3 การวิเคราะห์หมู่ฟังก์ชันของตัวคูดชัน

การวิเคราะห์ทำการแทนที่ของหมู่ฟังก์ชัน ได้แก่ หมู่อะมิโน ( $\text{-NH}_2$ ) และหมู่ไฮดรอกซิล ( $\text{-OH}$ ) ของสารไคโตซานกับหมู่ของน้ำในแร่ดิน MMT เมื่อทำการดัดแปลงแร่ดิน MMT ด้วยสารไคโตซาน วิเคราะห์ด้วยเครื่องฟูเรียร์ทรานส์ฟอร์มอินฟราเรด สเปกโทรโฟโทมิเตอร์ (Fourier Transform Infrared Spectrophotometer: FTIR) รุ่น Spectrum RX 1 ยี่ห้อ Perkin Elmer ใช้สาร  $\text{KBr}$  ผสมกับตัวอย่าง และสแกนเวฟนัมเบอร์ (Wavenumbers Scan) ในช่วง  $4,000 - 400 \text{ cm}^{-1}$  (Wang and Wang, 2007)

#### 3.4.4 การวิเคราะห์สัณฐานและลักษณะพื้นผิวของตัวคูดชัน

นำแร่ดิน MMT และแร่ดิน CTS/MMT ไปศึกษาสัณฐานและรายละเอียดของลักษณะพื้นผิว วิเคราะห์ด้วยเครื่องกล้องจุลทรรศน์อิเล็กตรอนแบบสแกน (Scanning Electron Microscope: SEM) รุ่น JSM-5410LV ยี่ห้อ JEOL ใช้กำลังขยาย  $5,000$  เท่า

#### 3.4.5 การวิเคราะห์ปริมาณของธาตุต่าง ๆ ของตัวคูดชัน

วิเคราะห์ทางคปประกอบทางเคมี ได้แก่ ปริมาณธาตุคาร์บอน ธาตุไฮโคลเจน ธาตุในโครงเเจน และธาตุชัลเฟอร์ของตัวคูดชันทั้งสองชนิด เพื่อยืนยันว่ามีการเปลี่ยนแปลงของคปประกอบ

ทางเคมีของตัวคุณภาพหลังจากทำการคัดแปรแร่คิน MMT ด้วยสารไฮโดรเจนฟluoride CHNS Analyzer รุ่น Flash EA 1112 ยี่ห้อ THERMOQUEST โดยใช้เทคนิคการเผา

### 3.4.6 การวิเคราะห์จุดไอโซอิเลคทริก (Isoelectric point) ของตัวคุณภาพ

การหาจุดไอโซอิเลคทริก (จุดที่มีประจุสุทธิเป็นศูนย์) ใช้วิธี Solid addition method (Wang et al., 2008)

3.4.6.1 นำตัวคุณภาพ 0.1 g ละลายในสารละลายน้ำตรารา (KNO<sub>3</sub>) ที่ความเข้มข้น 0.1 M จำนวน 45 mL

3.4.6.2 ทำการเตรียมสารละลายดังข้อ 1 ข้างต้น ให้มีค่าพีเอชเริ่มต้น ( $pH_0$ ) แตกต่างกัน (2, 4, 6, 8, 10 และ 12) โดยการปรับค่าพีเอชด้วยสารละลาย 0.1 M โซเดียมไฮดรอกไซด์ (NaOH) หรือ 0.1 M กรดไนโตริก (HNO<sub>3</sub>)

3.4.6.3 นำไปเบย่าด้วยเครื่องเบย่าแนวราบที่ความเร็วรอบ 200 rpm เป็นเวลา 48 hr ที่อุณหภูมิ 25 °C

3.4.6.4 หลังจากนั้นนำไปวัดค่าพีเอชด้วย ( $pH_f$ ) เพื่อนำไปวิเคราะห์หาจุดที่มีประจุสุทธิเป็นศูนย์ ( $pI$ ) โดยการนำค่า  $pH_0$  กับ  $pH_f$  (ของแต่ละ pH ต่าง ๆ) ไปplot อัตราการ

3.4.6.5 ทำซ้ำดังเด่นข้อ 1 – 4 แต่ใช้ความเข้มข้นของสารละลายน้ำตรารา (KNO<sub>3</sub>) เท่ากับ 0.01 M

### 3.4.7 การวิเคราะห์ปริมาณสารอินทรีย์ (Organic matter) ของตัวคุณภาพและสีข้อน

เนื่องจากสีข้อมเคมีมีปริมาณสารอินทรีย์เป็นองค์ประกอบหลัก เมื่อถูกคุณภาพไว้บนพื้นผิวของแร่คิน CTS/MMT แล้ว จะส่งผลให้ปริมาณสารอินทรีย์ในตัวคุณภาพเพิ่มขึ้น (จารกุณณ อัมพุช, 2549) เพื่อเป็นการยืนยันว่าสีข้อมถูกคุณภาพไว้บนพื้นผิวของตัวคุณชาบจริง จึงได้ทำการวิเคราะห์หาปริมาณสารอินทรีย์ในตัวคุณภาพและสีข้อม โดยใช้วิธี Organic matter determination (Reddy, 2011) ซึ่งมีวิธีการทดลองดังนี้

3.4.7.1 นำตัวคุณภาพหรือผงสีข้อมและถ้วยกระเบื้องเปล่าไปอบให้แห้งที่อุณหภูมิ 105 °C เป็นเวลา 24 hr เพื่อลดความชื้นออกให้หมด เสร็จแล้วนำไปป่วงทึ้งไว้ให้เย็นในโถดูดความชื้น (Desiccator) ที่อุณหภูมิห้อง

3.4.7.2 นำน้ำหนักของสีข้อมและถ้วยกระเบื้องเปล่าและจดบันทึกมวลของถ้วยกระเบื้องเปล่า ( $M_p$ )

3.4.7.3 ซึ่งตัวคุณภาพหรือผงสีข้อมที่อบแห้งแล้ว ( $M_D$ ) ใส่ในถ้วยกระเบื้อง

3.4.7.4 นำไปเผาที่อุณหภูมิ 440 °C เป็นเวลา 12 hr เสร็จแล้วนำไปป่วงทึ้งไว้ให้เย็นในโถดูดความชื้นที่อุณหภูมิห้อง

3.4.7.5 จากนั้นนำไปชั่งก็จะทราบมวลของถัวยกระเบื้องและขี้ถ้า ( $M_{PA}$ ) แล้วนำไปวิเคราะห์หาปริมาณสารอินทรีย์ต่อไป

การวิเคราะห์หาปริมาณสารอินทรีย์สามารถหาได้จากการต่อไปนี้

$$M_A = M_{PA} - M_p \quad (3.1)$$

$$M_O = M_D - M_A \quad (3.2)$$

$$OM = \frac{M_O}{M_D} \times 100 \quad (3.3)$$

เมื่อ	$M_p$	คือ มวลของถัวยกระเบื้อง (g)
	$M_{PA}$	คือ มวลของถัวยกระเบื้องและขี้ถ้า (g)
	$M_D$	คือ มวลของตัวดูดซับหรือผงสีข้อมแห้ง (g)
	$M_A$	คือ มวลของขี้ถ้า (g)
	$M_O$	คือ มวลของสารอินทรีย์ (g)
	OM	คือ เปอร์เซ็นต์สารอินทรีย์ (Organic matter, %)

### 3.5 การวิเคราะห์ค่าความเข้มข้นของสีข้อม

การทำกราฟมาตรฐาน (Standard curve) ของสีข้อม เพื่อจะใช้เป็นวิธีในการวัดความเข้มข้นของสารละลายสีข้อม ซึ่งจะใช้หลักการดูดกลืนแสง โดยอาศัยกฎของเบียร์ (Beer's Law) ที่กล่าวว่า “เมื่อแสงส่องผ่านสารละลายตัวกลาง ค่าความเข้มแสงจะลดลงเป็นปฏิภาคแบบชี้กำลัง (Exponential) กับการเพิ่มขึ้นของความเข้มข้นของสารละลาย” ซึ่งจะวัดความเข้มของแสงส่องผ่านในรูปของค่าความสามารถในการดูดกลืนแสง (Absorbance, Abs) โดยใช้เครื่องวัดค่าการดูดกลืนแสง (UV-VIS Spectrophotometer) (จักรกฤษณ์ อัมพุช, 2549) ซึ่งมีวิธีการทดลองดังนี้

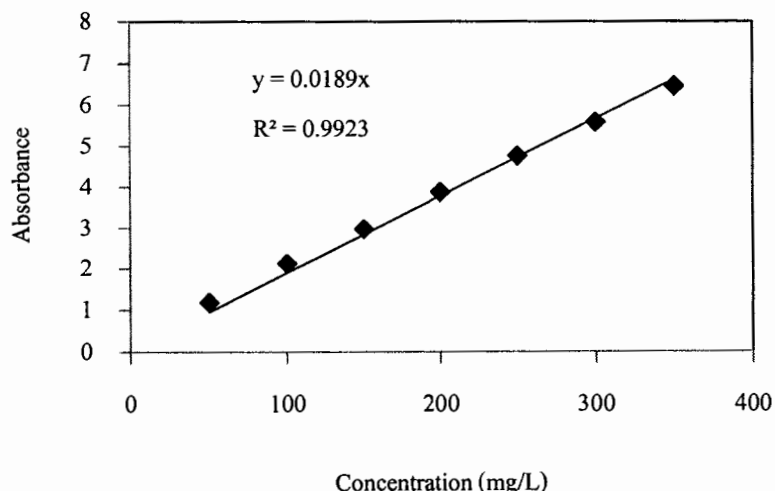
3.5.1 เตรียมสารละลายสีข้อมที่ความเข้มข้น 1,000 mg/L เพื่อใช้เป็นสารละลายมาตรฐาน โดยการละลายผงสีข้อมจำนวน 0.1 g ในน้ำเดียว เมื่อสีข้อมละลายดีแล้วจะปล่อยทึ้งไว้ให้เย็นที่อุณหภูมิห้อง และทำการปรับปริมาตรด้วยน้ำกลั่นในขวดบีบีมาร์ตให้มีปริมาตรเท่ากับ 100 mL

3.5.2 ทำการเตรียมสารละลายสีข้อมที่มีความเข้มข้นต่าง ๆ กัน โดยใช้วิธีการเจือจางสารในข้อ 1 ซึ่งใช้หลักการสมดุลมวลสารตามความสัมพันธ์ในสมการที่ 3-4 แล้วทำการสแกนหาค่าความยาวคลื่นของสีข้อมแต่ละสีที่สามารถดูดกลืนแสงได้มากที่สุดนั่นคือ ค่า  $\lambda_{max}$

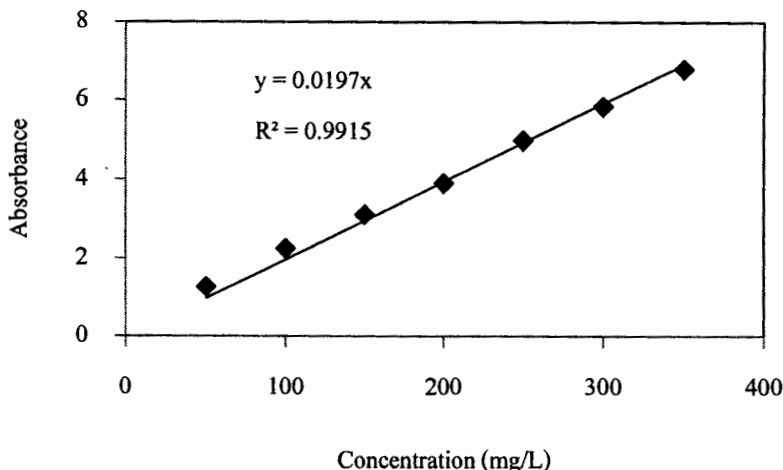
$$C_1 V_1 = C_2 V_2 \quad (3.4)$$

- เมื่อ  $C_1$  คือ ความเข้มข้นเริ่มต้นของน้ำสีข้อมีค่าเท่ากับ 1,000 mg/L  
 $C_2$  คือ ความเข้มข้นน้ำสีข้อมีที่ต้องการตรวจ (mg/L)  
 $V_1$  คือ ปริมาตรของสารละลายมาตรฐานสีข้อมีที่ต้องใช้ (mL)  
 $V_2$  คือ ปริมาตรของน้ำสีข้อมีที่ต้องการตรวจ (mL)

3.5.3 สร้างกราฟมาตรฐาน (Standard curve) ของสีข้อมีซึ่งทำได้โดยนำน้ำสีข้อมีที่ทราบความเข้มข้นต่าง ๆ แล้ว มาวัดค่าความสูญเสียในการดูดกลืนแสง (Abs) โดยใช้ค่าความยาวคลื่นที่สามารถดูดกลืนแสงได้มากที่สุด ( $\lambda_{max}$ ) ที่หาได้จากข้อที่ 2) แล้วนำข้อมูลไปสร้างกราฟมาตรฐาน ซึ่งเป็นกราฟความสัมพันธ์ระหว่างค่าความสูญเสียในการดูดกลืนแสง (Abs) กับความเข้มข้นของสีข้อมี ดังแสดงในภาพที่ 3.3 และ 3.4



ภาพที่ 3.3 กราฟมาตรฐานของน้ำสีสังเคราะห์สีข้อม RBS ที่  $\lambda_{max} = 614$  nm



ภาพที่ 3.4 กราฟมาตรฐานของน้ำสีสังเคราะห์สีข้อม MO ที่  $\lambda_{\max} = 520 \text{ nm}$

ตารางที่ 3.1 สมการมาตรฐานและ  $\lambda_{\max}$  ของสีข้อม

ลำดับที่	สีข้อม	$\lambda_{\max}$ (nm)	สมการมาตรฐาน	$R^2$
1	สี Reactive Black 5	614	$\text{Abs}=0.0189\text{conc.}$	0.9923
2	สี Methyl Orange	520	$\text{Abs}=0.0197\text{conc.}$	0.9915

### 3.6 การศึกษาการคุณชั้บแบบง่าย

#### 3.6.1 การศึกษาประสิทธิภาพการคุณชับ

การศึกษาประสิทธิภาพการคุณชับสีข้อม โดยใช้แร่ดิน MMT และแร่ดิน CTS/MMT เป็นตัวคุณชับ มีวิธีการดังนี้

3.6.1.1 เตรียมสารละลายสีข้อมความเข้มข้นเริ่มต้น 200 mg/L ปริมาตร 200 mL เพื่อใช้เป็นน้ำสีสังเคราะห์ จากนั้นวัดค่า pH เริ่มต้น ( $\text{pH}_0$ ) ของสารละลายสีข้อม

3.6.1.2 นำน้ำสีสังเคราะห์ไปวัดค่าความสามารถในการคุณกลืนแสง (Abs) ด้วย เครื่องวัดค่าการคุณกลืนแสง (UV-VIS Spectrophotometer) เพื่อให้ทราบค่าความสามารถในการคุณกลืนแสง (Abs) ที่ความเข้มข้นเริ่มต้น

3.6.1.3 เดิมตัวคุณชับลงไว้ในน้ำสีสังเคราะห์ 0.5 g (การเดือกปริมาณของตัวคุณชับและความเข้มข้นเริ่มต้นของสารละลายสีข้อมจะได้มาจากการทดลองสู่มหลาຍ ๆ ครั้งเพื่อให้ง่ายต่อการสังเกตผล)

3.6.1.4 นำไปเขย่าด้วยเครื่องเขย่าแนวราบที่ความเร็วรอบ 200 rpm เป็นเวลา 24 hr ที่อุณหภูมิ 25 °C

3.6.1.5 นำสารแ xenobiot กที่เขย่าเสร็จแล้วไปวัดค่าพีเอชที่สมดุล ( $pH_0$ ) หลังจากนั้นนำไปแยกตัวคุณภาพออกโดยใช้เครื่องปั่นเหวี่ยง (Centrifuge) ที่ความเร็วรอบ 6000 rpm เป็นเวลา 30 min

3.6.1.6 นำสารละลายส่วนที่ใสไปวัดค่าความสามารถในการดูดกลืนแสง (Abs) ด้วยเครื่องวัดค่าการดูดกลืนแสง (UV-VIS Spectrophotometer) และเปลี่ยนเป็นความเข้มข้นด้วยกราฟมาตราฐาน จากนั้นนำไปวิเคราะห์หาเปอร์เซ็นต์การกำจัดสีข้อม โดยสามารถหาได้จากการที่ 2.9 ในหัวข้อ 2.6 บทที่ 2

### 3.6.2 การศึกษาโดยเทอมการดูดซับ

3.6.2.1 เตรียมสารละลายสีข้อมที่ความเข้มข้นเริ่มต้นแตกต่างกันในช่วง 0 - 300 mg/L ปริมาตร 200 mL เพื่อใช้เป็นน้ำสีสังเคราะห์ จากนั้นวัดค่าพีเอชเริ่มต้น ( $pH_0$ ) ของสารละลายสีข้อม

3.6.2.2 นำไปวัดค่าความสามารถในการดูดกลืนแสง (Abs) ด้วยเครื่องวัดค่าการดูดกลืนแสง (UV-VIS Spectrophotometer) เพื่อให้ทราบค่าความสามารถในการดูดกลืนแสง (Abs) ที่ความเข้มข้นเริ่มต้น

3.6.2.3 เติมตัวคุณภาพลงในน้ำสีสังเคราะห์ 0.1 g โดยเลือกใช้ตัวคุณภาพที่สามารถดูดซับสีข้อมแต่ละสีได้มากกว่าจากผลการศึกษาประสิทธิภาพการดูดซับในหัวข้อ 3.6.1 (แร่คิน MMT หรือแร่คิน CTS/MMT)

3.6.2.4 ทำการเขย่าด้วยเครื่องเขย่าแนวราบที่ความเร็วรอบ 200 rpm เป็นเวลา 24 hr ที่อุณหภูมิ 25 °C เพื่อให้เข้าสู่สมดุลการดูดซับ

3.6.2.5 ต่อนานาสารแ xenobiot กที่เขย่าเสร็จแล้วไปวัดค่าพีเอชที่สมดุล ( $pH_0$ ) จากนั้นนำไปแยกตัวคุณภาพออกโดยใช้เครื่องปั่นเหวี่ยง (Centrifuge) ที่ความเร็วรอบ 6000 rpm เป็นเวลา 30 min

3.6.2.6 นำสารละลายส่วนที่ใสมาวัดค่าความสามารถในการดูดกลืนแสง (Abs) ด้วยเครื่องวัดค่าการดูดกลืนแสง (UV-VIS Spectrophotometer) และเปลี่ยนเป็นความเข้มข้นด้วยกราฟมาตราฐาน

3.6.2.7 จากนั้นนำไปวิเคราะห์หาปริมาณการดูดซับ และนำผลการทดลองที่ได้ไปศึกษาหาผลตัวรับของตัวคุณภาพว่ามีความสอดคล้องกับไอล์เซนเซอร์ในการดูดซับแบบใดบ้าง เช่น

แบบเส้นตรง (Linear) ฟรุนดิช (Freundlich) และแลงเมียร์ (Langmuir) โดยสามารถหาได้จากการ  
ไอโซเทอมการดูดซับ ซึ่งอยู่ในบทที่ 2 ในหัวข้อ 2.6

### 3.6.3 การศึกษาจลนพลาสต์การดูดซับ

ในการศึกษาจลนพลาสต์การดูดซับจะทำการทดลองที่อุณหภูมิแตกต่างกัน  
4 ค่า มีวิธีการศึกษาดังนี้

3.6.3.1 เตรียมน้ำสีสังเคราะห์จากสีเย็นที่ความเข้มข้นเริ่มต้น 200 mg/L ปริมาณ  
200 mL ในขวดรูปทรงพู่วนขนาด 250 mL ตามจำนวนที่กำหนด จากนั้นวัดค่า pH เริ่มต้น ( $pH_0$ ) ของ  
สารละลายสีเย็น

3.6.3.2 นำไปวัดค่าความสามารถในการดูดกลืนแสง (Abs) ด้วยเครื่องวัดค่าการ  
ดูดกลืนแสง (UV-VIS Spectrophotometer) เพื่อให้ทราบค่าความสามารถในการดูดกลืนแสง (Abs)  
ที่ความเข้มข้นเริ่มต้น

3.6.3.3 เติมตัวดูดซับจำนวน 0.1 g ลงไปผสมกับน้ำสีสังเคราะห์ ในขวดรูปทรงพู่  
ซึ่งสีเย็นแต่ละสีจะใช้ปริมาณตัวดูดซับที่เท่ากัน โดยเลือกใช้ตัวดูดซับที่สามารถดูดซับสีเย็นแต่ละสี  
ได้มากกว่าจากผลการศึกษาประสิทธิภาพการดูดซับในหัวข้อ 3.6.1 (แรร์คิน MMT หรือแรร์คิน  
CTS/MMT)

3.6.3.4 นำไปเขย่าด้วยเครื่องเขย่าแนวราบที่ความเร็วรอบ 200 rpm โดยจะทำการ  
ปรับค่าอุณหภูมิที่แตกต่างกัน 4 ค่า (25 35 45 และ 55 °C)

3.6.3.5 เก็บตัวอย่างน้ำทุก ๆ 10 นาที ใน 1 ชั่วโมงแรก ต่อมาเก็บตัวอย่างน้ำทุก ๆ  
30 นาที จนถึงชั่วโมงที่ 3 หลังจากนั้นเก็บตัวอย่างน้ำทุก ๆ 1 ชั่วโมง จนกว่าความเข้มข้นจะคงที่

3.6.3.6 นำตัวอย่างน้ำที่เก็บได้ไปวัดค่า pH ที่เวลาใด ๆ ( $pH$ ) จากนั้นนำไป  
แยกตัวดูดซับออกโดยใช้เครื่องปั่นเหวี่ยง (Centrifuge) ด้วยความเร็วรอบ 6,000 rpm เป็นเวลา  
30 min ทันที แล้วนำสารละลายส่วนที่ใสไปวัดค่าความสามารถในการดูดกลืนแสง (Abs) ด้วย  
เครื่องวัดค่าการดูดกลืนแสง (UV-VIS Spectrophotometer) และเปลี่ยนเป็นความเข้มข้นด้วยกราฟ  
มาตรฐาน

3.6.3.7 วิเคราะห์หาปริมาณการดูดซับ และนำผลการทดลองที่ได้ไปศึกษากับ  
แบบจำลองอัตราการดูดซับ โดยใช้สมการอัตราการดูดซับอันดับหนึ่งเทียน (Pseudo-first order  
equation) และสมการอัตราการดูดซับอันดับสองเทียน (Pseudo-second order equation) ซึ่งสมการ  
เหล่านี้จะอยู่ในบทที่ 2 ในหัวข้อ 2.8 จากนั้นนำไปศึกษาหาค่าพารามิเตอร์ของพลังงานกระตื้น ศึกษา  
อิทธิพลของเวลาสัมผัสต่อปริมาณการดูดซับ และศึกษาอิทธิพลของอุณหภูมิต่ออัตราการดูดซับ  
ต่อไป

### 3.6.4 การศึกษาอิทธิพลของค่าพีเอชเริ่มต้นของสารละลายน้ำสีข้อมต่อปริมาณการคุณซับ

3.6.4.1 เตรียมสารละลายน้ำสีข้อมความเข้มข้นเริ่มต้น  $200 \text{ mg/L}$  จำนวนปริมาตร  $200 \text{ mL}$  เพื่อใช้เป็นน้ำสีสังเคราะห์

3.6.4.2 ทำการเตรียมสารละลายน้ำสีข้อมค่าพีเอชดังข้อ 1 ข้างต้น ให้มีค่าพีเอชเริ่มต้น ( $\text{pH}_0$ ) แตกต่างกัน 5 ค่า ( $2, 4, 6, 8$  และ  $10$ ) โดยการปรับค่าพีเอชด้วยสารละลายน้ำ  $0.1 \text{ M}$  โซเดียมไฮดรอกไซด์ ( $\text{NaOH}$ ) หรือ  $0.1 \text{ M}$  กรดไนโตริก ( $\text{HNO}_3$ )

3.6.4.3 นำน้ำสีสังเคราะห์ไปวัดค่าความสามารถในการคุณลีนแสง (Abs) ด้วยเครื่องวัดค่าการคุณลีนแสง (UV-VIS Spectrophotometer) เพื่อให้ทราบค่าความสามารถในการคุณลีนแสง (Abs) ที่ความเข้มข้นเริ่มต้น

3.6.4.4 เติมน้ำสีสังเคราะห์ไปจำนวน  $0.1 \text{ g}$  ในน้ำสีสังเคราะห์โดยเลือกใช้ตัวคุณซับที่สามารถคุณซับสีข้อมแต่ละสีได้มากกว่าจากผลการศึกษาประสิทธิภาพการคุณซับในหัวข้อ 3.6.1 (แรร์ดิน MMT หรือแรร์ดิน CTS/MMT)

3.6.4.5 นำไป燮ย่าด้วยเครื่อง燮ย่าแควรบที่ความเร็วรอบ  $200 \text{ rpm}$  เป็นเวลา  $24 \text{ hr}$  ที่อุณหภูมิ  $25^\circ\text{C}$  เพื่อให้เข้าสู่สมดุลการคุณซับ

3.6.4.6 นำสารแขวนลอยที่燮ย่าเสร็จแล้วไปวัดค่าพีเอชที่สมดุล ( $\text{pH}_e$ ) จากนั้นนำไปแยกตัวคุณซับออกโดยใช้เครื่องปั่นเหวี่ยง (Centrifuge) ที่ความเร็วรอบ  $6000 \text{ rpm}$  เป็นเวลา  $30 \text{ min}$

3.6.4.7 นำสารละลายน้ำที่ได้ไปวัดค่าความสามารถในการคุณลีนแสง (Abs) ด้วยเครื่องวัดค่าการคุณลีนแสง (UV-VIS Spectrophotometer) แล้วเปลี่ยนเป็นความเข้มข้นด้วยกราฟมาตรฐาน จากนั้นนำผลการทดลองที่ได้ไปศึกษาอิทธิพลของค่าพีเอชเริ่มต้นของสารละลายน้ำสีข้อมต่อปริมาณการคุณซับต่อไป

### 3.6.5 การศึกษาอิทธิพลของอุณหภูมิต่อปริมาณการคุณซับ

ในการศึกษาอิทธิพลของอุณหภูมิต่อปริมาณการคุณซับจะทำการทดลองที่อุณหภูมิแตกต่างกัน 4 ค่า มีวิธีการศึกษาดังนี้

3.6.5.1 เตรียมสารละลายน้ำสีข้อมที่ความเข้มข้นเริ่มต้นแตกต่างกันในช่วง  $0 - 300 \text{ mg/L}$  ปริมาตร  $200 \text{ mL}$  จากนั้นวัดค่าพีเอชเริ่มต้น ( $\text{pH}_0$ ) ของสารละลายน้ำสีข้อม

3.6.5.2 นำไปวัดค่าความสามารถในการคุณลีนแสง (Abs) ด้วยเครื่องวัดค่าการคุณลีนแสง (UV-VIS Spectrophotometer) เพื่อให้ทราบค่าความสามารถในการคุณลีนแสง (Abs) ที่ความเข้มข้นเริ่มต้น

3.6.5.3 เติมตัวคูดซับลงไปในน้ำสีสังเคราะห์ 0.1 g โดยเลือกใช้ตัวคูดซับที่สามารถดูดซับสีเข้มแต่ละสีได้มากกว่าจากผลการศึกษาประสิทธิภาพการดูดซับในหัวข้อ 3.6.1 (แร่คิน MMT หรือแร่คิน CTS/MMT)

3.6.5.4 ทำการเขย่าด้วยเครื่องเขย่าแนววนที่ความเร็วรอบ 200 rpm เป็นเวลา 24 hr โดยจะทำการปรับค่าอุณหภูมิที่แตกต่างกัน 4 ค่า (25 35 45 และ 55 °C)

3.6.5.5 ต่อน้ำสารแขวนลอยที่เขย่าเสร็จแล้วไปวัดค่าพีอีเชคที่สมดุล ( $pH$ ) จากนั้นนำไปแยกตัวคูดซับออกโดยใช้เครื่องบันห่วง (Centrifuge) ที่ความเร็วรอบ 6000 rpm เป็นเวลา 30 min

3.6.5.6 นำสารละลายส่วนที่ใสไปวัดค่าความสามารถในการดูดกลืนแสง (Abs) ด้วยเครื่องวัดค่าการดูดกลืนแสง (UV-VIS Spectrophotometer) และเปลี่ยนเป็นความเข้มข้นด้วยกราฟมาตรฐาน นำผลการทดลองที่ได้ไปศึกษาอิทธิพลของอุณหภูมิต่อปริมาณการดูดซับ และจากนั้นนำไปศึกษาเทอร์โนไดนามิกส์ของการดูดซับต่อไป

### 3.7 การศึกษาการดูดซับในระบบหอดูดซับแบบเบคนิ่ง

การดูดซับสีเข้มภายในหอดูดซับแบบเบคนิ่ง ใช้ตัวคูดซับที่สามารถดูดซับสีเข้มแต่ละสีได้มากกว่าจากผลการศึกษาประสิทธิภาพการดูดซับในหัวข้อ 3.6.1 (แร่คิน MMT หรือแร่คิน CTS/MMT) ลักษณะของอุปกรณ์การทดลองแสดงไว้ในภาพที่ 3.5 ซึ่งมีขั้นตอนการศึกษาดังนี้

#### 3.7.1 การศึกษาอิทธิพลของความสูงของเบคต่อการดูดซับแบบเบคนิ่ง

ในการศึกษาอิทธิพลของความสูงของเบคต่อการดูดซับแบบเบคนิ่งจะทำการทดลองโดยใช้ความสูงของเบคที่แตกต่างกัน 3 ค่า มีวิธีการศึกษาดังนี้

3.7.1.1 นำตัวคูดซับผสมกับทรัพยากรวอตซ์ในอัตราส่วนทรัพยากรวอตซ์ต่อตัวคูดซับเท่ากับ 1 g : 0.02 g (2 %โดยน้ำหนัก) แล้วเขย่าให้เข้ากัน สำหรับความสูงของเบคที่ใช้ 15 20 และ 25 cm (ใช้ตัวคูดซับ 0.6 0.8 และ 1.0 g ผสมกับทรัพยากรวอตซ์ 30 40 และ 50 g ตามลำดับ) เนื่องจากแร่คินมอนต์มอริลโลไนต์เมื่อละลายน้ำจะมีความหนืดลื่นสูงถ้าบรรจุลงในคลอลัมน์โดยตรงจะทำให้เกิดการอุดตัน ดังนั้นจึงต้องทำการผสมด้วยทรัพยากรวอตซ์ในอัตราส่วนที่เหมาะสม เพื่อไม่ให้เกิดการอุดตันขึ้นภายในหอดูดซับ (Wibulsawas, 2004)

3.7.1.2 ปิดจุกสายยางที่ก้นคลอลัมน์ก่อน แล้วจึงบรรจุไขแก้วลงไปสูง 10 cm ต่อมาเทตัวคูดซับที่ผสมกับทรัพยากรวอตซ์แล้วลงในคลอลัมน์ที่มีเส้นผ่าศูนย์กลาง 1.2 cm และยาว 40 cm

3.7.1.3 ปล่อยน้ำกลั่นให้ไหลผ่านคอลัมน์ที่บรรจุตัวคูดซับผสมกับทรายคือตัวเก็บตัวอย่างน้ำที่ออกจากคอลัมน์แล้วนำไปทำเป็นแบล็ค (Blank) เพื่อปรับค่าศูนย์ในเครื่องวัดค่าการคูดกลีนแสง (UV-VIS Spectrophotometer)

3.7.1.4 เมื่อน้ำกลั่นให้ไหลออกจากคอลัมน์จนหมดแล้ว ให้คูดสารละลายสีข้อมที่ความเข้มข้นเริ่มต้น  $100 \text{ mg/L}$  และอัตราการไหล  $5 \text{ mL/min}$  จากถังใส่สารละลายสีข้อมโดยใช้ปืนชนิดโซลินอยด์ อุณหภูมิที่ใช้ในการทดลอง  $25^\circ\text{C}$

3.7.1.5 เก็บตัวอย่างน้ำที่ผ่านคอลัมน์ทุก ๆ 1 นาทีในครึ่งชั่วโมงแรก ต่อมาเก็บตัวอย่างน้ำทุก ๆ 5 นาทีจนครบ 2 ชั่วโมง เพื่อนำไปหาอัตราการไหล ค่าพีเอช และวัดค่าความสามารถในการคูดกลีนแสง (Abs) และเปลี่ยนเป็นความเข้มข้นด้วยกราฟมาตรฐาน จากนั้นนำผลการทดลองที่ได้ไปสร้างกราฟเบรคทรูเพื่อหาปริมาณการคูดซับที่สมดุล ( $q_s$ ) เวลาที่จุดเบรคทรู ( $t_b$ ) และปริมาตรที่จุดเบรคทรู ( $V_b$ )

### 3.7.2 การศึกษาอิทธิพลของความเข้มข้นเริ่มต้นของสารละลายสีข้อมต่อการคูดซับแบบเบคนิ่ง

ในการศึกษาอิทธิพลของความเข้มข้นเริ่มต้นของสารละลายสีข้อมต่อการคูดซับแบบเบคนิ่งจะทำการทดลองโดยใช้ความเข้มข้นเริ่มต้นที่แตกต่างกัน 3 ค่า มีวิธีการศึกษาดังนี้

3.7.2.1 ความสูงของเบดที่ใช้  $15 \text{ cm}$  โดยการนำตัวคูดซับผสมกับทรายคือตัวในอัตราส่วน  $2\%$  โดยน้ำหนักแล้ว夷่ำให้เข้ากัน (ใช้ตัวคูดซับ  $0.6 \text{ g}$  ผสมกับทรายคือตัว  $30 \text{ g}$ )

3.7.2.2 ทำการปิดจุกสายยางที่ก้นคอลัมน์ก่อน แล้วจึงบรรจุไขแก้วลงไปสูง  $10 \text{ cm}$  ต่อมาเทตัวคูดซับที่ผสมกับทรายคือตัวแล้วลงในคอลัมน์ที่มีเส้นผ่าศูนย์กลาง  $1.2 \text{ cm}$  และยาว  $40 \text{ cm}$  ก็จะได้ความสูงของเบดประมาณ  $15 \text{ cm}$

3.7.2.3 ปล่อยน้ำกลั่นให้ไหลผ่านคอลัมน์ที่บรรจุตัวคูดซับผสมกับทรายคือตัวเก็บตัวอย่างน้ำที่ออกจากคอลัมน์แล้วนำไปทำเป็นแบล็ค (Blank) เพื่อปรับค่าศูนย์ในเครื่องวัดค่าการคูดกลีนแสง (UV-VIS Spectrophotometer)

3.7.2.4 เมื่อน้ำกลั่นให้ไหลออกจากคอลัมน์จนหมดแล้ว ให้คูดสารละลายสีข้อมที่ความเข้มข้นเริ่มต้นแตกต่างกัน ( $50$ ,  $100$  และ  $200 \text{ mg/L}$ ) และอัตราการไหล  $5 \text{ mL/min}$  จากถังใส่สารละลายสีข้อมโดยใช้ปืนชนิดโซลินอยด์ อุณหภูมิที่ใช้ในการทดลอง  $25^\circ\text{C}$

3.7.2.5 เก็บตัวอย่างน้ำที่ผ่านคอลัมน์ทุก ๆ 1 นาทีในครึ่งชั่วโมงแรก ต่อมาเก็บตัวอย่างน้ำทุก ๆ 5 นาทีจนครบ 2 ชั่วโมง เพื่อนำไปหาอัตราการไหล ค่าพีเอช และวัดค่าความสามารถในการคูดกลีนแสง (Abs) และเปลี่ยนเป็นความเข้มข้นด้วยกราฟมาตรฐาน จากนั้นนำ

ผลการทดลองที่ได้ไปสร้างกราฟเบรคทูเพื่อหาปริมาณการดูดซับที่สมดุล ( $q_e$ ) เวลาที่จุดเบรคทู ( $t_b$ ) และปริมาตรที่จุดเบรคทู ( $V_b$ )

### 3.7.3 การศึกษาอิทธิพลของอัตราการไหลของสารละลายสีเย็นต่อการดูดซับแบบเบตันิ่ง

ในการศึกษาอิทธิพลของอัตราการไหลของสารละลายสีเย็นต่อการดูดซับแบบเบตันิ่งจะทำการทดลองโดยใช้อัตราการไหลที่แตกต่างกัน 3 ค่า มีวิธีการศึกษาดังนี้

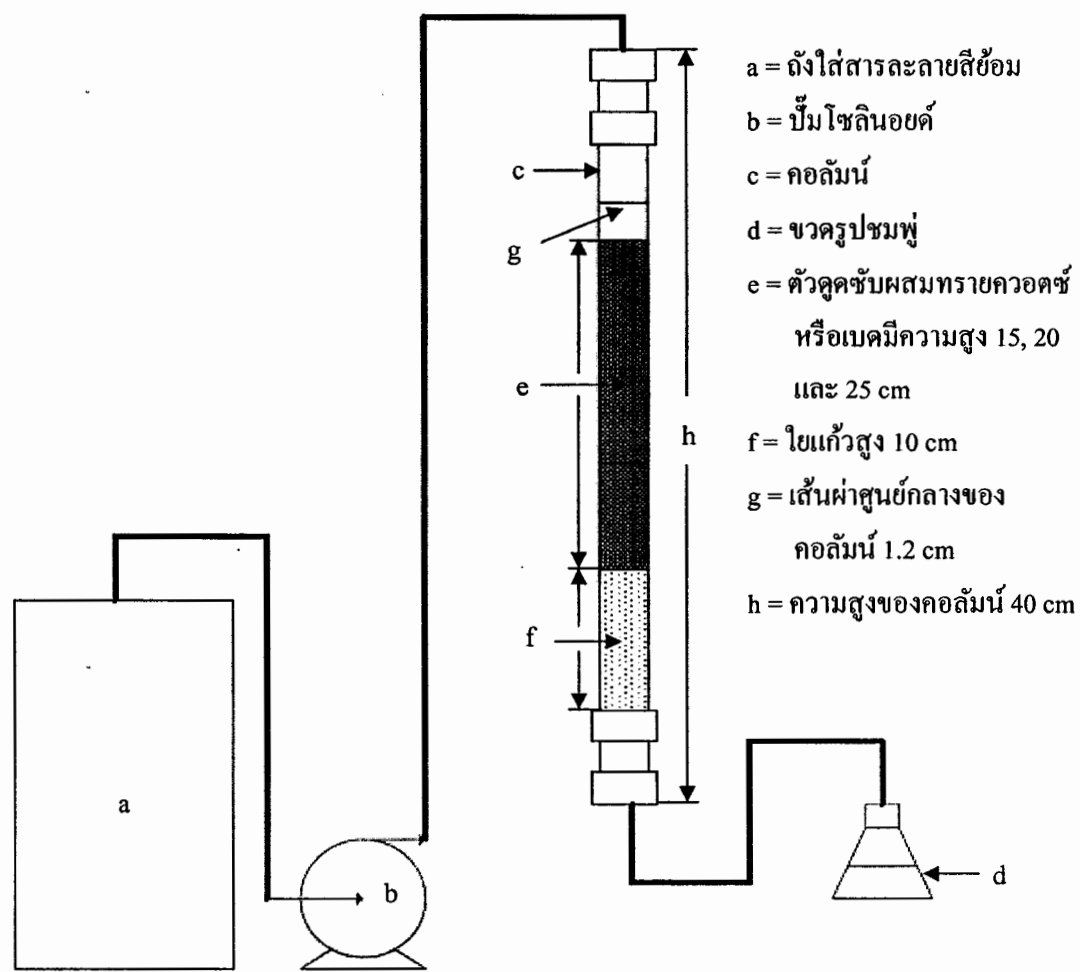
3.7.3.1 ความสูงของเบตต์ให้  $15 \text{ cm}$  โดยการนำตัวดูดซับผสมกับทรายมวลซึ่ในอัตราส่วน  $2\%$  โดยน้ำหนัก แล้วเขย่าให้เข้ากัน (ใช้ตัวดูดซับ  $0.6 \text{ g}$  ผสมกับทรายมวล  $30 \text{ g}$ )

3.7.3.2 ทำการปั๊กสายยางที่ก้น columน์ก่อน แล้วจึงบรรจุไยแก้วลงไปสูง  $10 \text{ cm}$  ต่อมาเทตัวดูดซับที่ผสมกับทรายมวลแล้วลงใน columน์ที่มีเส้นผ่าศูนย์กลาง  $1.2 \text{ cm}$  และยาว  $40 \text{ cm}$  ก็จะได้ความสูงของเบตันิ่ง  $15 \text{ cm}$

3.7.3.3 ปล่อยน้ำกลั่นให้ไหลผ่าน columน์ที่บรรจุตัวดูดซับผสมกับทรายมวล เก็บตัวอย่างน้ำที่ออกจาก columน์แล้วนำไปทำเป็นแบล็ค (Blank) เพื่อปรับค่าศูนย์ในเครื่องวัดค่าการดูดกลืนแสง (UV-VIS Spectrophotometer)

3.7.3.4 เมื่อน้ำกลั่นไหลออกจาก columน์จนหมดแล้ว ให้ดูดสารละลายสีเย็นที่ความเข้มข้นเริ่มต้น  $100 \text{ mg/L}$  และอัตราการไหลแตกต่างกัน ( $5, 10$  และ  $15 \text{ mL/min}$ ) จากถังใส่สารละลายสีเย็นโดยใช้ปั๊มนิคโซลินอยด์ อุณหภูมิที่ใช้ในการทดลอง  $25^\circ\text{C}$

3.7.3.5 เก็บตัวอย่างน้ำที่ผ่าน columน์ทุก ๆ  $1 \text{นาที}$  ในครึ่งชั่วโมงแรก ต่อมากำบังตัวอย่างน้ำทุก ๆ  $5 \text{ นาที}$  จนครบ  $2 \text{ ชั่วโมง}$  เพื่อนำไปหาอัตราการไหล ค่าพีอีช และวัดค่าความสามารถในการดูดกลืนแสง (Abs) และเปลี่ยนเป็นความเข้มข้นด้วยกราฟนำร่อง จากนั้นนำผลการทดลองที่ได้ไปสร้างกราฟเบรคทูเพื่อหาปริมาณการดูดซับที่สมดุล ( $q_e$ ) เวลาที่จุดเบรคทู ( $t_b$ ) และปริมาตรที่จุดเบรคทู ( $V_b$ )



ภาพที่ 3.5 อุปกรณ์การทดลองหอคูดซับแบบเบนนิ่ง

## บทที่ 4

### ผลการวิจัยและอภิปรายผล

#### 4.1 ผลการวิเคราะห์คุณสมบัติของตัวคูดซับและสีข้อม

##### 4.1.1 ผลการวิเคราะห์พื้นที่ผิวและขนาดครูพรุนเฉลี่ยของตัวคูดซับ

จากการวิเคราะห์ตัวคูดซับด้วยเครื่อง Automatic Surface Analyzer วิเคราะห์ด้วย BET-method เพื่อศึกษาหาพื้นที่ผิวและขนาดครูพรุนเฉลี่ยของตัวคูดซับ ผลการวิเคราะห์แสดงในตารางที่ 4.1 พบว่า แร่คิน CTS/MMT มีพื้นที่ผิวน้อยกว่าและมีขนาดครูพรุนเฉลี่ยใหญ่กว่าแร่คิน MMT เนื่องจากไม่เลกุดของไคลโ陶ดานจะเข้าไปปกคลุมครูพรุนขนาดเล็กของแร่คิน MMT ส่วนครูพรุนขนาดใหญ่จะไม่ถูกครอบบัง จึงทำให้ขนาดครูพรุนเฉลี่ยของแร่คิน CTS/MMT ใหญ่ขึ้น ส่งผลให้พื้นที่ผิวดลงเนื่องจากพื้นที่ผิวภายใต้ครูพรุนขนาดเล็กหายไป เมื่อเทียบกับแร่คิน MMT (Wang and Wang, 2007)

ตารางที่ 4.1 ผลการวิเคราะห์คุณสมบัติทางกายภาพของตัวคูดซับ

ชนิดตัวคูดซับ	พื้นที่ผิว ( $\text{m}^2/\text{g}$ )	ขนาดครูพรุน เฉลี่ย (nm)	$d_{001}$ (Å)	อ้างอิง
MMT	78.23	3.62	12.71	งานวิจัยนี้
MMT	61.40	6.70	12.74	Wang and Wang, 2007
MMT	46.00	14.20	12.30	Monvisade and Siriphannon, 2009
MMT	-	-	13.00	An and Dultz, 2007
MMT	-	-	12.60	Kittinaovarat et al., 2010
CTS/MMT	27.95	8.92	15.20	งานวิจัยนี้
CTS/MMT	22.30	11.80	15.76	Wang and Wang, 2007
CTS/MMT	23.00	16.90	13.60	Monvisade and Siriphannon, 2009
CTS/MMT	-	-	18.80	An and Dultz, 2007
CTS/MMT	-	-	15.60	Kittinaovarat et al., 2010
CTS/MMT	-	-	16.20	Kittinaovarat et al., 2010

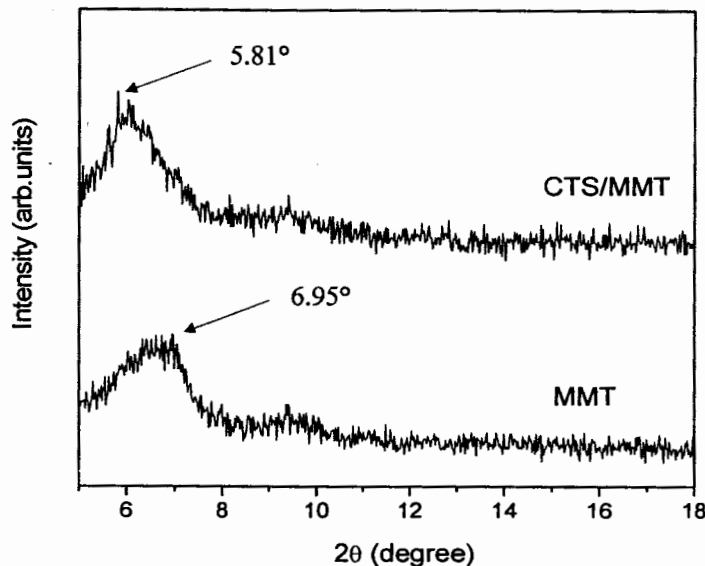
เมื่อเปรียบเทียบพื้นที่ผิวจำเพาะและขนาดครูพ魯นเคลือบของแร่คิน MMT และแร่คิน CTS/MMT กับงานวิจัยอื่น ๆ พบว่า แร่คินที่มีพื้นที่ผิวจำเพาะมากจะมีขนาดครูพ魯นเคลือบน้อย (Monvisade and Siriphannon, 2009; Wang and Wang, 2007) เมื่อพิจารณาปริมาณการคุกซับสีข้อมที่มีประจุลบคั่วยแร่คิน CTS/MMT กับแร่คิน MMT พบว่า แร่คิน CTS/MMT มีปริมาณการคุกซับมากกว่า ถึงแม้ว่าแร่คิน MMT มีพื้นที่ผิวจำเพาะมากกว่า แสดงให้เห็นว่าการคุกซับไม่ได้เกิดขึ้นเฉพาะกระบวนการทางกายภาพอย่างเดียว แต่จะมีกระบวนการทางเคมีมาเกี่ยวข้องคั่วย

#### 4.1.2 ผลการวิเคราะห์ระยะของช่องระหว่างชั้นคินของตัวคุกซับ

ผลการวิเคราะห์ด้วยเครื่อง XRD ของแร่คิน MMT และ CTS/MMT แสดงไว้ในภาพที่ 4.1 ค่าความเข้มของรังสี (Intensity) มีค่าสูงสุด เมื่อค่ามุม  $2\theta = 5.81^\circ$  สำหรับแร่คิน MMT และเมื่อค่ามุมเท่ากับ  $2\theta = 6.95^\circ$  สำหรับแร่คิน CTS/MMT ซึ่งค่ามุมเหล่านี้สามารถนำไปคำนวณหาช่องระหว่างชั้นคิน ( $d_{001}$ ) ของแร่คิน ได้โดยอาศัย Bragg's law ผลการคำนวณ พบว่า ระยะ  $d_{001}$  ของแร่คิน MMT มีค่าเท่ากับ 12.71 Å และแร่คิน CTS/MMT มีค่าเท่ากับ 15.20 Å (ดูในตารางที่ 4.1) การที่ระยะ  $d_{001}$  ของแร่คิน MMT ขยายตัวเมื่อถูกคัดแปรคั่วยสาร ไอโคโซน สามารถอธิบายได้ดังนี้ ระยะ  $d_{001}$  ของแร่คิน MMT สามารถขยายตัวได้เมื่อคลายอยู่ในน้ำและจะหดตัวกลับมาอยู่ในระยะเดิมเมื่อแร่คิน MMT แห้งตัวลง เมื่อทำการคัดแปรคั่วยสาร ไอโคโซน โนเลกูลของสาร ไอโคโซนจะเข้าไปแลกเปลี่ยนประจุบวกกับไอออนบวกที่อยู่ภายในช่องระหว่าง  $d_{001}$  และจะถูกยึดติดผิวไว้ทับบริเวณนั้น เมื่อแร่คิน CTS/MMT แห้งตัวลงช่องระหว่างคั่งกล่าวก็จะหดตัวลง แต่เนื่องจากโนเลกูลของ ไอโคโซนที่มีขนาดใหญ่และถูกตรึงไว้ในช่องระหว่างนั้นจะทำหน้าที่เป็นตัวคั่ย จึงส่งผลให้ช่องระหว่างคั่งกล่าวหดตัวได้น้อยลง และมีระยะกว้างกว่าระยะเดิม (Wang and Wang, 2007)

เมื่อเปรียบเทียบผลการศึกษากับงานวิจัยอื่น ๆ พบว่า ระยะของช่องระหว่างชั้นคิน ( $d_{001}$ ) ของแร่คิน MMT มีค่าใกล้เคียงกัน นั่นคืออยู่ในช่วง 12.30 ถึง 13.00 Å ส่วนแร่คิน CTS/MMT จะมีระยะของช่องระหว่างชั้น แบ่งออกเป็น 2 ช่วง ได้แก่ ระยะช่วงที่หนึ่ง 13.60 ถึง 15.76 Å และระยะช่วงที่สอง 16.20 ถึง 18.20 Å ดังแสดงในตารางที่ 4.1 จากงานวิจัยของ An and Dultz (2007) และ Kittinaovarat et al. (2010) อธิบายลักษณะที่พบนี้ว่า ปริมาณ ไอโคโซนที่ใช้ในการคัดแปรแร่คิน MMT จะส่งผลให้ช่องระหว่างชั้นเพิ่มขึ้น ได้ตามปริมาณ ไอโคโซนที่ใช้ในการคัดแปร แต่การเพิ่มขึ้นจะแบ่งออกเป็น 2 ระยะ ได้แก่ ระยะแรก ไอโคโซนจัดเรียงตัวกันเป็นแบบชั้นเดียวกันในช่องระหว่างชั้น (monolayer) และระยะที่สอง ไอโคโซนจัดเรียงตัวกันเป็นแบบสองชั้นภายในช่องระหว่างชั้น (bilayer) ช่องระหว่างชั้นสามารถขยายตัวสูงสุด ได้ไม่เกินความกว้างของระยะที่สอง ถึงแม้จะมีการเพิ่มปริมาณ ไอโคโซนที่ใช้ในการคัดแปรก็ตาม ดังนั้น ปริมาณของ ไอโคโซนที่ใช้ในการคัดแปรในงานวิจัยนี้จะก่อให้เกิดการจัดเรียงตัวของ ไอโคโซนในช่องระหว่าง

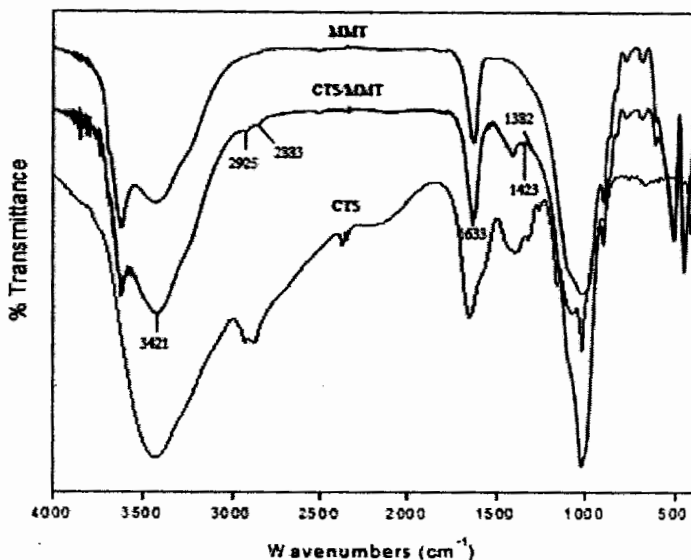
เพียงชั้นเดียวเท่านั้น นอกจากนี้ปริมาณในการดูดซับไอกอนลบของแร่คิน CTS/MMT จะเพิ่มขึ้นตามระยะของช่องว่างระหว่างชั้นที่เพิ่มขึ้น (An and Dultz, 2007; Kittinaovarat et al. 2010; Wang and Wang, 2007)



ภาพที่ 4.1 ผลการวิเคราะห์ด้วยเครื่อง XRD ของแร่คิน MMT และ CTS/MMT

#### 4.1.3 ผลการวิเคราะห์หมู่ฟังก์ชันของตัวดูดซับ

ภาพที่ 4.2 แสดง IR Spectra ของแร่คิน MMT ไคลโตกาเรน และแร่คิน CTS/MMT วิเคราะห์โดยใช้ด้วยเครื่อง FTIR เพื่อศึกษาหาหมู่ฟังก์ชันที่เปลี่ยนไปของแร่คิน MMT ที่ถูกดัดแปลงไปเป็นแร่คิน CTS/MMT พนว่า IR-spectra ของแร่คิน MMT แสดงให้เห็นถึงหมู่ O-H stretching ที่พีก  $3622\text{ cm}^{-1}$  หมู่ -OH ที่พีก  $3421\text{ cm}^{-1}$  และ  $\text{H}_2\text{O}$  ที่พีก  $1633\text{ cm}^{-1}$  IR-spectra ของสารไคลโตกาเรน แสดงให้เห็นถึงหมู่ O-H และ N-H ที่พีก  $3421\text{ cm}^{-1}$  หมู่ฟังก์ชัน C-H (Methyl) ที่พีก  $2925\text{ cm}^{-1}$  และ  $1423\text{ cm}^{-1}$  หมู่ฟังก์ชัน C-H (Methylene) ที่พีก  $2883\text{ cm}^{-1}$  และ  $1382\text{ cm}^{-1}$  และพบหมู่ฟังก์ชัน NH-CO ที่พีก  $1633\text{ cm}^{-1}$  ส่วน IR-spectra ของแร่คิน CTS/MMT แสดงให้เห็นถึงหมู่ฟังก์ชัน O-H N-H และ  $\text{H}_2\text{O}$  ที่พีก  $3421\text{ cm}^{-1}$  พนหมู่ฟังก์ชัน C-H (Methyl) ( $2925\text{ cm}^{-1}$  และ  $1423\text{ cm}^{-1}$ ) พนหมู่ฟังก์ชัน C-H (Methylene) ( $2883\text{ cm}^{-1}$  และ  $1382\text{ cm}^{-1}$ ) และที่พีก  $1633\text{ cm}^{-1}$  พนหมู่ฟังก์ชัน NH-CO และ  $\text{H}_2\text{O}$  (Wang and Wang, 2007) ซึ่งหมู่ฟังก์ชันต่าง ๆ ที่พนในตัวดูดซับแร่คิน CTS/MMT จะมีหมู่ฟังก์ชันของสารไคลโตกาเรนปรากฏอยู่ด้วย (Wang et al., 2005) จากผลการวิเคราะห์ดังกล่าวแสดงให้เห็นถึงการแตกเปลี่ยนประจุระหว่างหมู่อะมิโน ( $-\text{NH}_3^+$ ) ของสารไคลโตกาเรนกับประจุบวกที่อยู่ภายในแร่คิน MMT (Monvisade and Siriphannon, 2009)

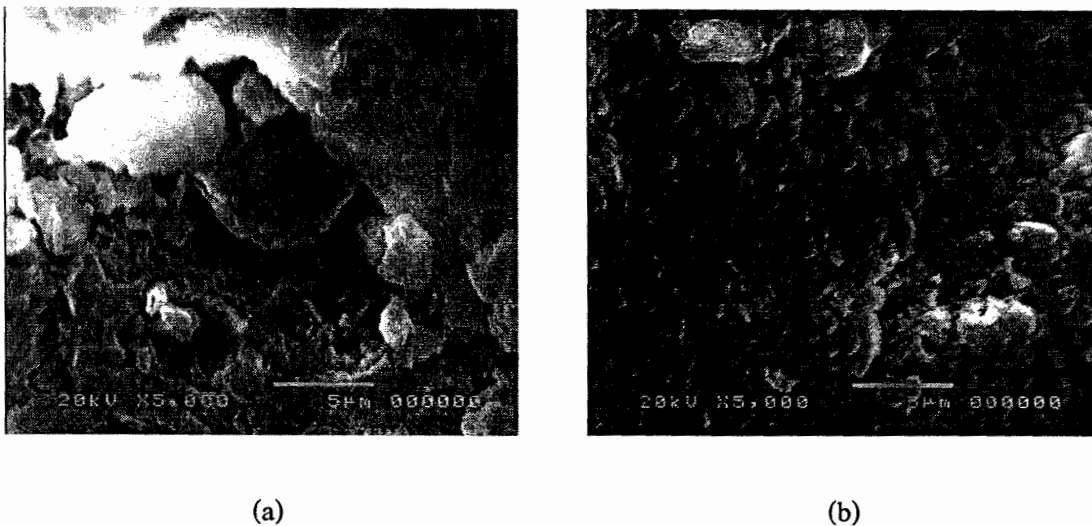


ภาพที่ 4.2 สเปกตรัม FTIR ของ MMT CTS/MMT และ CTS

#### 4.1.4 ผลการวิเคราะห์สัณฐานและลักษณะพื้นผิวของตัวคุณชับ

จากการวิเคราะห์สัณฐานและลักษณะพื้นผิวของตัวคุณชับด้วยเครื่อง SEM ได้ผลการวิเคราะห์ดังแสดงในภาพที่ 4-3 พนบว่า จากภาพที่ 4-3a จะเห็นได้ว่ามีไมเลกูลขนาดใหญ่ของไคลโ陶ไซด์เกาะหรือเคลือบอยู่บนพื้นผิวของแร่ดิน MMT และแร่ดิน CTS/MMT มีลักษณะของรูพรุนกว้างขึ้น เมื่อเทียบกับแร่ดิน MMT ดังแสดงในภาพที่ 4-3b

เมื่อทำการเปรียบเทียบผลการศึกษากับผลที่รายงานจากงานวิจัยอื่น ๆ ที่ผ่านมาพบว่า ผลการวิเคราะห์สอดคล้องกับงานวิจัยของ Pandey and Mishra (2011) และ Wang and Wang (2008) นั่นคือ สารที่ใช้ปรับสภาพแร่ดิน MMT จะปักคุณหรือเคลือบอยู่บนพื้นผิวของแร่ดิน MMT เช่น สาร Chitosan/clay nanocomposite (CCN) (Pandey and Mishra, 2011) และสาร N, O-carboxymethyl-chitosan/montmorillonite (*N,O*-CMC-MMT) (Wang and Wang, 2008) นอกจากนี้แร่ดิน *N,O*-CMC-MMT และแร่ดิน CCN มีลักษณะรูพรุนที่กว้างขึ้นเช่นเดียวกันกับแร่ดิน CTS/MMT ในงานวิจัยนี้



ภาพที่ 4.3 ผลการวิเคราะห์สัมฐานและลักษณะพื้นผิวของตัวดูดซับ (a) CTS/MMT และ (b) MMT

#### 4.1.5 ผลการวิเคราะห์ปริมาณของชาตุต่าง ๆ ของตัวดูดซับ

จากการวิเคราะห์ทางค์ประกอบทางเคมีของตัวดูดซับด้วยเครื่อง CHNS Analyzer ได้ผลการวิเคราะห์ดังแสดงในตารางที่ 4.2 พบว่า แร่ดิน CTS/MMT มีปริมาณของชาตุต่าง ๆ ในตัวดูดซับมากกว่าแร่ดิน MMT ซึ่งแสดงถึงการปรัก主旨ของโมเลกุลไคโตซานเกาะติดอยู่กับแร่ดิน CTS/MMT

ตารางที่ 4.2 ผลการวิเคราะห์ปริมาณของชาตุต่าง ๆ ของตัวดูดซับ

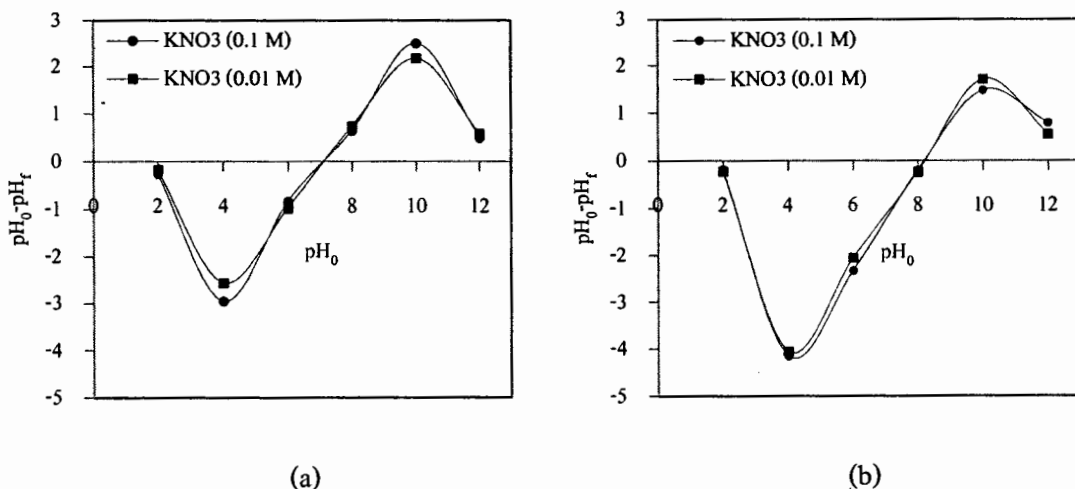
ชนิดตัวดูดซับ	ปริมาณของชาตุต่าง ๆ ของตัวดูดซับ			
	% C	% H	% N	% S
MMT	2.9290	1.8250	0.4620	0.3436
CTS/MMT	14.1000	3.6220	2.6270	1.6400

หมายเหตุ : Montmorillonite clay (MMT)

Chitosan modified Montmorillonite (CTS/MMT)

#### 4.1.6 ผลการวิเคราะห์จุดไอโซอิเลคทริก (Isoelectric point) ของตัวคูดซับ

จุดไอโซอิเลคทริก ( $pI$ ) ของตัวคูดซับ คือ ค่าพีเอช ( $pH$ ) ของตัวคูดซับที่มีประจุสุทธิเป็นศูนย์ (หรือไม่มีประจุ) ซึ่งค่านี้จะเป็นค่าเฉลี่ยของตัวคูดซับแต่ละชนิด (Wang et al., 2008) จากการวิเคราะห์จุดไอโซอิเลคทริกของตัวคูดซับ ได้ผลการวิเคราะห์ดังแสดงในตารางที่ 4.3 พบว่า แร่คิน MMT และแร่คิน CTS/MMT มีจุดไอโซอิเลคทริกเท่ากัน 7.1 และ 8.2 ตามลำดับ ลักษณะกราฟของจุดไอโซอิเลคทริกได้แสดงไว้ในภาพที่ 4.4 พบว่า ถ้าพีเอชของตัวคูดซับมีค่าต่ำกว่าจุดไอโซอิเลคทริกแสดงว่าพื้นผิวของตัวคูดซับจะมีประจุสุทธิเป็นบวก และในทางตรงกันข้าม ถ้าพีเอชของตัวคูดซับมีค่าสูงกว่าจุดไอโซอิเลคทริกแสดงว่าพื้นผิวของตัวคูดซับจะมีประจุสุทธิเป็นลบ (Yahya et al., 2008)



ภาพที่ 4.4 จุดไอโซอิเลคทริกของ (a) MMT และ (b) CTS/MMT

การคัดแปรแร่คิน MMT ไปเป็นแร่คิน CTS/MMT นอกจากจะส่งผลให้จุดไอโซอิเลคทริกของแร่คิน MMT เพิ่มขึ้นจาก 7.10 ไปเป็น 8.20 แล้วยังส่งผลให้แร่คิน CTS/MMT ขึ้นนิ่งอยู่ในโนเกลกุตและเมื่อนำมาเกะติดผิว กับแร่คิน MMT จะส่งผลให้แร่คิน CTS/MMT นี ปริมาณหนูอะมิโนที่มีประจุบวกเพิ่มมากขึ้น จึงทำให้มีผลต่างของค่า  $\text{pH}_0 - \text{pH}$  ในช่วงที่ต่ำกว่า 8.20 กว้างมากขึ้นและสามารถดูดซับไออกอนที่มีประจุลบได้สูงขึ้นเมื่อเทียบกับแร่คิน MMT ส่วนที่ค่า  $\text{pH}$  สูงกว่า 8.20 จะมีค่าผลต่างของ  $\text{pH}_0 - \text{pH}$  ของแร่คินแตกต่างกันน้อยมากเมื่อเปรียบเทียบกันระหว่าง แร่คิน MMT และแร่คิน CTS/MMT

ตารางที่ 4.3 ผลการวิเคราะห์ค่าไอโซอิเลคทริกของตัวดูดซับ

ลำดับที่	ชนิดตัวดูดซับ	ค่าไอโซอิเลคทริก (pI)
1	MMT	7.10
2	CTS/MMT	8.20

หมายเหตุ : Montmorillonite clay (MMT)

Chitosan modified Montmorillonite (CTS/MMT)

#### 4.1.7 ผลการวิเคราะห์ปริมาณสารอินทรีย์ (Organic matter) ของตัวดูดซับและสีข้อม

จากการวิเคราะห์หาปริมาณสารอินทรีย์ในตัวดูดซับและสีข้อม โดยใช้วิธี

Organic matter determination (ASTM D 2974 – Standard Test Methods for Moisture, Ash, and Organic Matter of Peat and Organic Soils) ผลการวิเคราะห์ปริมาณสารอินทรีย์ ดังแสดงในตารางที่ 4.4 พบว่า แร่ดิน CTS/MMT และผงสีข้อมทั้ง 2 ชนิดจะมีสารอินทรีย์เป็นองค์ประกอบ ส่วนในแร่ดิน MMT จะไม่มีสารอินทรีย์อยู่เลย เมื่อทำการดูดซับสีข้อมทั้งสองค่าวัยแร่ดิน CTS/MMT แล้วพบว่า ปริมาณสารอินทรีย์ของแร่ดิน CTS/MMT หลังการดูดซับเพิ่มขึ้นจาก 26.28 % (แร่ดิน CTS/MMT ก่อนดูดซับ) ไปเป็น 38.17 และ 33.27 สำหรับสีข้อม RB5 และ MO ตามลำดับ ปริมาณสารอินทรีย์ที่เพิ่มขึ้นนี้แสดงให้เห็นถึงการประกูดยุ่งของสีข้อมในแร่ดิน CTS/MMT

ตารางที่ 4.4 ผลการวิเคราะห์ปริมาณสารอินทรีย์ของตัวดูดซับและสีข้อม

ชนิดสีข้อม	% Organic matter		
	ผงสีข้อม	แร่ดิน CTS/MMT ก่อนดูดซับ	แร่ดิน CTS/MMT หลังดูดซับ
RB5	41.15	26.28	38.17
MO	35.42	26.28	33.27

หมายเหตุ : แร่ดิน MMT มีปริมาณสารอินทรีย์ก่อนการดูดซับเท่ากับ 0.00 %

## 4.2 ผลการศึกษาสมดุลการดูดซับ

### 4.2.1 ผลการศึกษาประสิทธิภาพการดูดซับ

เพื่อศึกษาประสิทธิภาพในการดูดซับสีข้อม RB5 และ MO ด้วยแร่คิน MMT และ CTS/MMT สามารถทำได้โดยการหาเปอร์เซ็นต์การกำจัด (Removal percentage) ดังแสดงไว้ในตารางที่ 4.5 พบว่า แร่คิน CTS/MMT มีเปอร์เซ็นต์การกำจัดสีข้อมหั่งสองชนิดสูงกว่าแร่คิน MMT การที่แร่คิน CTS/MMT สามารถดูดซับสีข้อมได้มากกว่านั้น อาจเนื่องมาจากแร่คิน CTS/MMT มีช่องว่างระหว่างชั้นดิน ( $d_{001}$ ) ที่กว้างขึ้นและมีขนาดของรูพรุนเล็กกว่าแร่คิน MMT ดังแสดงไว้ในตารางที่ 4.1 ทำให้สีข้อมที่มีโมเลกุลขนาดใหญ่สามารถเคลื่อนที่เข้าไปอยู่ในช่องว่างระหว่างชั้นดินมากขึ้น การที่โมเลกุลของสีข้อมยึดเกาะกับพื้นผิวของแร่คิน CTS/MMT อาจเนื่องมาจากแรงยึดเหนี่ยวทางกายภาพ และแรงทางไฟฟ้าสถิต (Electrostatic forces) ระหว่างประจุบวกของหมู่อะมิโนบนแร่คิน CTS/MMT กับประจุลบของสีข้อม (Wang and Wang, 2007) ก่อนหน้านี้ได้มีการศึกษาการดูดซับสีของโกรเด (เป็นสีที่มีประจุลบ) ด้วยอนุพันธ์ของแร่คิน MMT พบว่า แร่คิน CTS/MMT (Wang and Wang, 2007) และแร่คิน *N,O-CMC-MMT* (Wang and Wang, 2008) สามารถดูดซับสีของโกรเดได้มากกว่าแร่คิน MMT ซึ่งสอดคล้องกับงานวิจัยนี้

เมื่อทำการเปรียบเทียบเปอร์เซ็นต์การกำจัดสีข้อม MO และ RB5 ด้วยแร่คิน MMT พบว่า แร่คิน MMT ให้เปอร์เซ็นต์การกำจัดสีข้อม MO สูงกว่า ซึ่งอาจเนื่องมาจากการไม่มีโมเลกุลของสีข้อม RB5 ใหญ่กว่าสีข้อม MO จึงแพร่เข้าไปในรูพรุนหรือช่องว่างระหว่างชั้นดินได้น้อยกว่าสีข้อม MO และอาจเกิดจากแรงผลักดันทางไฟฟ้า (Repulsion forces) ระหว่างประจุลบของแร่คิน MMT กับประจุลบของสีข้อม RB5 ที่สูงกว่าเนื่องจาก RB5 มีจำนวนหมู่ชัลโพเนต (Sulphonate functional group) ซึ่งเป็นหมู่ที่มีประจุลบอยู่ในโมเลกุลมากกว่าสีข้อม MO ขณะที่เปอร์เซ็นต์การกำจัดสีข้อม RB5 ด้วยแร่คิน CTS/MMT มีค่าสูงกว่าสีข้อม MO ซึ่งอาจเนื่องมาจากสีข้อม RB5 มีจำนวนหมู่ชัลโพเนตที่ทำหน้าที่ในการยึดเหนี่ยวและเกิดปฏิกิริยากับแร่คิน CTS/MMT มากกว่าสีข้อม MO จึงทำให้สามารถยึดจับสีข้อม RB5 ได้มากกว่า MO (Elwakeel, 2009; Mohammadi et al., 2011)

ตารางที่ 4.5 ผลการศึกษาประสิทธิภาพการคุณซับสีข้อม RB5 และ MO ที่  $C_0 = 200 \text{ mg/L}$  โดยใช้ปริมาณตัวคุณซับ  $0.5 \text{ g}$  อุณหภูมิในการคุณซับ  $25^\circ\text{C}$  และ  $\text{pH}_0 = 7.0 \pm 0.5$

ชนิดสีข้อม	% การกำจัดสีข้อม	
	MMT	CTS/MMT
RB5	1.85	73.33
MO	2.15	67.33

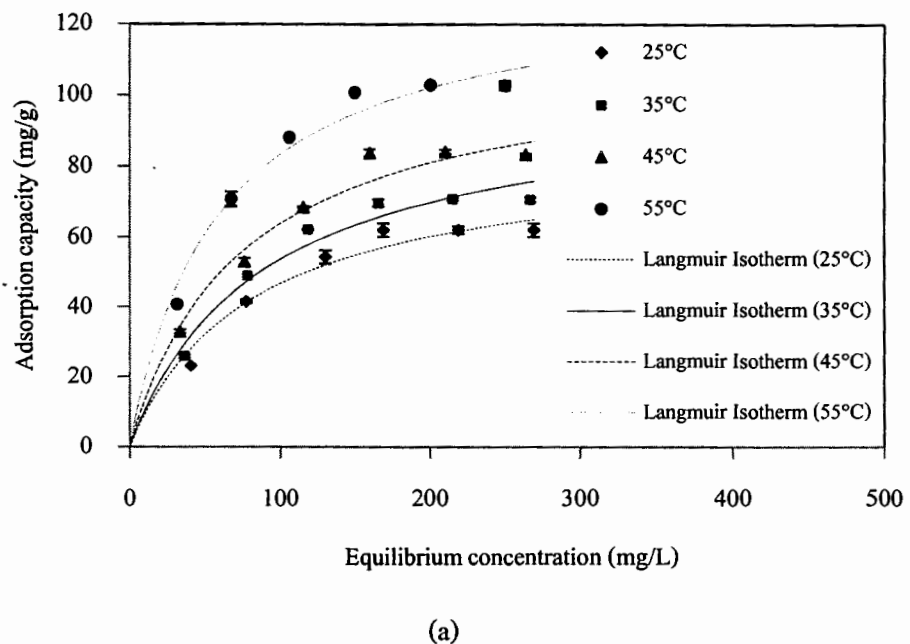
จากผลการศึกษาประสิทธิภาพการคุณซับ พบร่วมกับค่า CTS/MMT เป็นตัวคุณซับที่สามารถคุณซับสีข้อม RB5 และ MO ในน้ำสีสังเคราะห์ได้มากกว่าแร่คิน MMT ดังนั้น ในการทดลองขั้นตอนต่อไป จะศึกษาเฉพาะการคุณซับสีข้อมด้วยแร่คิน CTS/MMT เท่านั้น

#### 4.2.2 ผลการศึกษาไอโซเทอมการคุณซับ

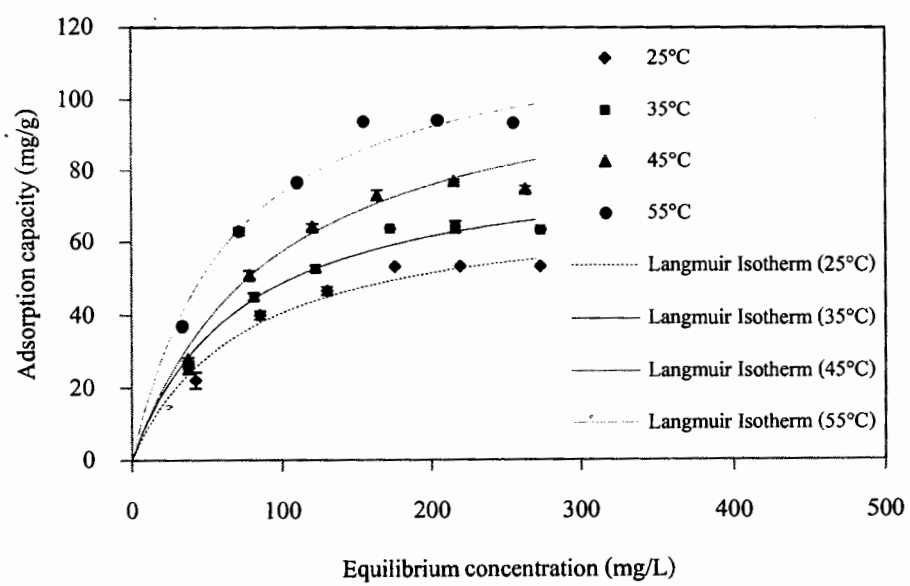
ไอโซเทอมของการคุณซับเป็นความสัมพันธ์ระหว่างปริมาณของตัวถูกคุณซับที่อยู่บนพื้นผิวของตัวคุณซับกับความเข้มข้นของตัวถูกคุณซับในของเหลวที่สภาวะสมดุล ณ อุณหภูมิหนึ่ง ๆ การศึกษาไอโซเทอมการคุณซับเพื่อหาค่าไอกองการคุณซับสีข้อม ซึ่งไอโซเทอมของการคุณซับเป็นแบบจำลองที่อธินายได้โดยสมการว่า กลไกการคุณซับสีข้อมเป็นการคุณซับแบบขั้นเดียว (ไอโซเทอมแบบแลงเมียร์) หรือการคุณซับแบบหลายขั้น (ไอโซเทอมแบบฟรุนดิช) ปริมาณของสีข้อมที่ถูกคุณซับสามารถคำนวณได้จากสมการสมดุลมวลสาร ซึ่งอยู่ในบทที่ 2 ในหัวข้อ 2.6

ไอโซเทอมการคุณซับของสี RB5 และ MO ด้วยแร่คิน CTS/MMT แสดงไว้ในภาพที่ 4.5 ผลการพล็อตข้อมูลการทดลองกับสมการไอโซเทอมแบบแลงเมียร์และฟรุนดิช พบร่วมกับไอโซเทอมการคุณซับของสีข้อมทั้งสองชนิดมีความสอดคล้องกับไอโซเทอมการคุณซับแบบแลงเมียร์มากกว่า ไอโซเทอมการคุณซับแบบฟรุนดิช โดยพิจารณาจากค่า  $R^2$  ในตารางที่ 4.6 และค่าพารามิเตอร์ต่าง ๆ ที่ได้จากการนำผลการทดลองการคุณซับสีข้อมที่อุณหภูมิต่าง ๆ ( $25^\circ\text{C}$ ,  $35^\circ\text{C}$ ,  $45^\circ\text{C}$  และ  $55^\circ\text{C}$ ) มาพล็อตกับสมการไอโซเทอมการคุณซับแบบแลงเมียร์ และสมการไอโซเทอมการคุณซับแบบฟรุนดิช ได้แสดงไว้ในตารางที่ 4.6 เช่นเดียวกัน

จากการศึกษาชุดค่าคงที่ของสีข้อม RB5 และ MO ดังแสดงในตารางที่ ก.1 และ ก.2 พบร่วมกับปริมาณการคุณซับก่อนและหลังการคุณซับแตกต่างกันเพียงเล็กน้อย (ไม่เกินร้อยละ 5) หรือไม่เกิดการคุณซับเลย



(a)



(b)

ภาพที่ 4.5 ໄອโซเทอมการดูดซับสีเย็บจากน้ำสีสังเคราะห์ของสีเย็บ (a) RB5 และ (b) MO  
ที่อุณหภูมิแตกต่างกัน โดยใช้ตัวดูดซับแร่ดิน CTS/MMT ปริมาณ 0.1 g  
และ  $pH_0 = 7.0 \pm 0.5$

ตารางที่ 4.6 พารามิเตอร์ของ ไอโซเทอมการคุณชั้บแบบແลงເມිර් ແລະ ແບນຟ່ານດີຂອງການຄຸດຊັບ  
ສືບ້ອນ RB5 ແລະ MO ທີ່ອຸພາກຸນິແຕກຕ່າງກັນ

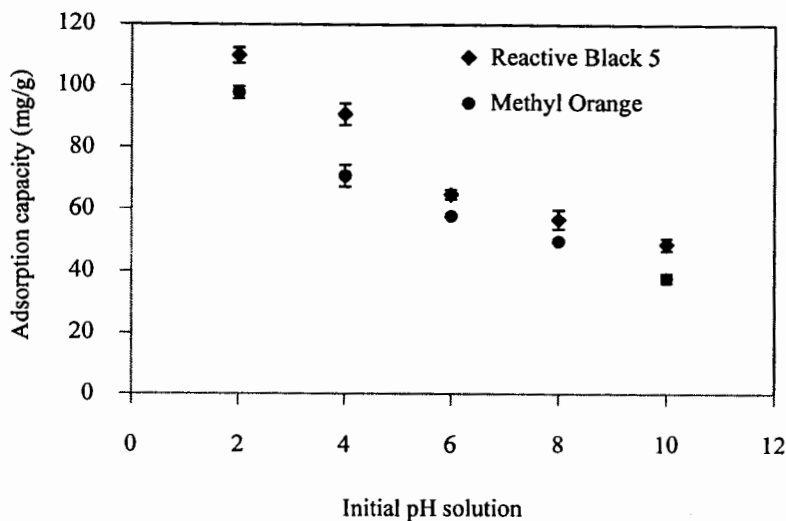
ชนิดສືບ້ອນ	ອຸພາກຸນິ (°C)	ไอโซທັມແບນແลงເມිර්			ไอโซທັມແບນຟ່ານດີ		
		$q_m$ (mg/g)	$K_L$ (L/g)	$R^2$	$K_F$ (L/g)	$n$	$R^2$
RB5	25	82.64	1.143	0.9616	4.59	2.03	0.8565
	35	94.34	1.245	0.9531	4.55	1.93	0.8761
	45	111.11	1.507	0.9775	6.65	2.10	0.9425
	55	138.89	1.999	0.9870	8.27	2.07	0.9408
MO	25	68.49	1.047	0.9730	4.81	2.21	0.8483
	35	84.75	1.128	0.9786	4.93	2.08	0.9212
	45	100.00	1.347	0.9611	5.16	1.97	0.8914
	55	123.46	1.833	0.9809	7.93	2.13	0.9276

จากตารางที่ 4.6 พบว่า ค่า  $q_m$  ປົມາຜາການຄຸດຊັບສູງສຸດແບນໜັ້ນເດີວຂອງສືບ້ອນ RB5 ແລະ MO ค่า  $K_L$  ແລະ  $K_F$  ຈະເພີ່ມຂຶ້ນຕາມການເພີ່ມຂຶ້ນຂອງອຸພາກຸນິ ແສດຈວ່າປົມາຜາການຄຸດຊັບຈະເພີ່ມຂຶ້ນຕາມອຸພາກຸນິທີ່ສູງຂຶ້ນ ແລະ ແສດຈວ່າກະບວນການຄຸດຊັບສືບ້ອນທີ່ສອງໜີນແຮ່ດິນ CTS/MMT ເປັນກະບວນການຄຸດຄວາມຮ້ອນ (Endothermic process) ຜຶ່ງຈະອົບນາຍເພີ່ມເຕີມໃນຫຼັງໜີ້ 4.2.4 ອິທີພລຂອງອຸພາກຸນິຕ່ອງປົມາຜາການຄຸດຊັບ

#### 4.2.3 ພຄກາຣີກໍາອິທີພລຂອງຄ່າພື້ເອຂເຮີມຕົ້ນຂອງສາຮະລາຍສືບ້ອນຕ່ອງປົມາຜາການຄຸດຊັບ

ຈາກພຄກາຣີກໍາອິທີພລຂອງຄ່າພື້ເອຂເຮີມຕົ້ນຂອງສາຮະລາຍສືບ້ອນຕ່ອງປົມາຜາການຄຸດຊັບ ດັ່ງແສດງໄວ້ໃນກາພທີ 4.6 ພົບວ່າ ປົມາຜາການຄຸດຊັບລດລົງຕາມການເພີ່ມຂຶ້ນຂອງຄ່າພື້ເອຂເຮີມຕົ້ນ ເນື່ອງຈາກ ໂມເລກຸລຸທີ່ມີປະຈຸບັນຂອງສືບ້ອນ RB5 ແລະ MO ຈະຄຸກຄຸດຕິດພິວບັນແຮ່ດິນ CTS/MMT ທີ່ມີປະຈຸບັນວຸກ ທີ່ຄ່າພື້ເອຂຂອງສາຮະລາຍສູງຈະມີປົມາຜາການໄຊໂຮກໄຊ໌ໄອອົນນາກຕີ້ງຈະເຂົ້າໄປແຢ່ງຈັນ ກັບ ໂມເລກຸລຸສືບ້ອນໃນບຣິເວລີທີ່ມີປະຈຸບັນຂອງແຮ່ດິນ CTS/MMT ສ່ວນໄໝມີພື້ນທີ່ວ່າງສໍາຫັນຢືນຈັນ ກັບ ໂມເລກຸລຸສືບ້ອນລດລົງ ດັ່ງນັ້ນປົມາຜາການຄຸດຊັບສືບ້ອນຈຶ່ງລດລົງ ແຕ່ທີ່ຄ່າພື້ເອຂຕໍ່ ຈະມີປົມາຜາການໄຊໂຮກໄຊ໌ໄອອົນນ້ອຍ ທຳໄໝມີພື້ນທີ່ວ່າງສໍາຫັນຄຸດຊັບ ໂມເລກຸລຸສືບ້ອນເພີ່ມນາກຈຶ້ນ ດັ່ງນັ້ນປົມາຜາການຄຸດຊັບຈຶ່ງສູງຂຶ້ນ (Wang and Wang, 2008) ເນື່ອງຈາກແຮ່ດິນ CTS/MMT ມີຈຸດໄຊໂຮກທີ່ກຳນົດ 8.2 (ໃນຫຼັງໜີ້ 4.1.6) ຜຶ່ງໃຫ້ເຫັນວ່າທີ່ຄ່າພື້ເອຂສູງກວ່າຈຸດນີ້ພື້ນພິວຂອງຕົວຄຸດຊັບຈະມີປະຈຸບັນ ແຕ່ພຄ

การทดลองจากภาพที่ 4.6 พบว่าการดูดซับสีข้อมที่พิเออชสูงขึ้นสามารถเกิดขึ้นได้อีกนั้น ทั้งนี้เนื่องมาจากโมเลกุลสีข้อมถูกยึดเหนี่ยว กับพื้นผิวของตัวดูดซับด้วยแรงยึดเหนี่ยวทางเคมี (Wang and Wang, 2007)



ภาพที่ 4.6 ความสัมพันธ์ระหว่างปริมาณการดูดซับสีข้อมกับค่าพิเออชเริ่มต้นของสารละลายสีข้อม RB 5 และ MO ที่  $C_0 = 200 \text{ mg/L}$  โดยใช้ตัวดูดซับแร่คิน CTS/MMT ปริมาณ  $0.1 \text{ g}$  และอุณหภูมิในการดูดซับ  $25^\circ\text{C}$

จากการศึกษาดูดความคุมของสีข้อม RB5 และ MO ดังแสดงในตารางที่ ก.3 พบว่า มีปริมาณการดูดซับก่อนและหลังการดูดซับแตกต่างกันเพียงเล็กน้อย (ไม่เกินร้อยละ 5) หรือไม่เกิดการดูดซับเลย

#### 4.2.4 ผลการศึกษาอิทธิพลของอุณหภูมิต่อปริมาณการดูดซับ

จากการศึกษาอิทธิพลของอุณหภูมิต่อปริมาณการดูดซับที่สภาวะสมดุล ได้ผลการศึกษาดังแสดงในตารางที่ 4.6 พบว่า ปริมาณการดูดซับของสีข้อมทั้งสองชนิดจะเพิ่มขึ้นตามการเพิ่มขึ้นของอุณหภูมิ เนื่องจากการถ่ายโอนมวลสารจะเกิดขึ้นได้เร็ว เมื่ออุณหภูมิเพิ่มขึ้น และยังทำให้โครงสร้างภายในของตัวดูดซับขยายตัวมากขึ้น จึงทำให้โมเลกุลขนาดใหญ่ของสีข้อมสามารถเข้าไปได้มากขึ้น (Wang and Wang, 2008) จากงานวิจัยอื่น ๆ ที่ผ่านมา ได้มีการศึกษาการดูดซับสีของโกลด์ด้วยแร่คิน CTS/MMT (Wang and Wang, 2007) และแร่คิน N,O-CMC-MMT (Wang and Wang, 2008) พบว่า ปริมาณการดูดซับจะเพิ่มขึ้นตามการเพิ่มขึ้นของอุณหภูมิ นอกจากนี้ยังได้มีการศึกษาการดูดซับสีข้อม RB5 ด้วยสาร Chitosan/amino resin (Elwakeel, 2009) และสีข้อม MO ด้วยสาร

Iron terephthalate (Haque et al., 2011) พบว่า เมื่ออุณหภูมิเพิ่มขึ้นปริมาณการคุตซับจะเพิ่มขึ้นด้วย เช่นกัน ซึ่งมีความสอดคล้องกับงานวิจัยนี้

#### 4.2.5 ผลการศึกษาเทอร์โมไดนามิกส์ของการคุตซับ

การศึกษาเทอร์โมไดนามิกส์ของการคุตซับ โดยการนำผลการทดลองมาพลีอตกับสมการของ Standard Gibbs' free energy change และสมการของ Van't Hoff (Almeida et al., 2009) เพื่อศึกษาว่ากระบวนการคุตซับที่เกิดขึ้นสามารถเกิดขึ้นได้เองหรือไม่และจะเกิดไปในทิศทางใด (การเปลี่ยนแปลงพลังงานอิสระมาตรฐาน:  $\Delta_{ads}G^\circ$ ) เพื่อหาปริมาณความร้อนที่ผ่านเข้าหรือออกจากระบบ (การเปลี่ยนแปลงเอนทัลปีมาตรฐาน:  $\Delta_{ads}H^\circ$ ) และหาปริมาณที่บ่งถึงความไม่เป็นระเบียบของระบบว่าจะเกิดไปในทิศทางใด (การเปลี่ยนแปลงเอนโทรปีมาตรฐาน:  $\Delta_{ads}S^\circ$ )

ตารางที่ 4.7 พารามิเตอร์ของเทอร์โมไดนามิกส์ของการคุตซับสีช้อง RB5 และ MO โดยใช้ตัวคูตซับชนิดต่าง ๆ และมีสภาวะในการทดลองแตกต่างกัน

ชนิดตัวคูตซับ	$\Delta_{ads}G^\circ$ (kJ/mol)				$\Delta_{ads}H^\circ$	$\Delta_{ads}S^\circ$	อ้างอิง
	25 °C	35 °C	45 °C	55 °C	(kJ/mol)	(kJ/mol*K)	
CTS/MMT, RB5	-0.33	-0.56	-1.08	-1.89	+15.53	+0.0527	งานวิจัยนี้
R1, RB5	-29.88	-31.21	-32.54	-	+9.75	+0.1329	Elwakeel, 2009
GMA/MBA-TEPA, RB5	-8.41	-9.34	-10.28	-	+19.40	+0.0933	Elwakeel and Rekaby, 2011
CTS/MMT, MO	-0.11	-0.31	-0.79	-1.65	+15.44	+0.0516	งานวิจัยนี้
MOF-235, MO	-31.10	-35.90	-41.00	-	+99.6	+0.4410	Haque et al., 2011
MWCNTs, MO	-27.62	-30.15	-32.19	-33.71	+19.39	+0.1015	Yao et al., 2011

หมายเหตุ : Chitosan modified montmorillonite (CTS/MMT)

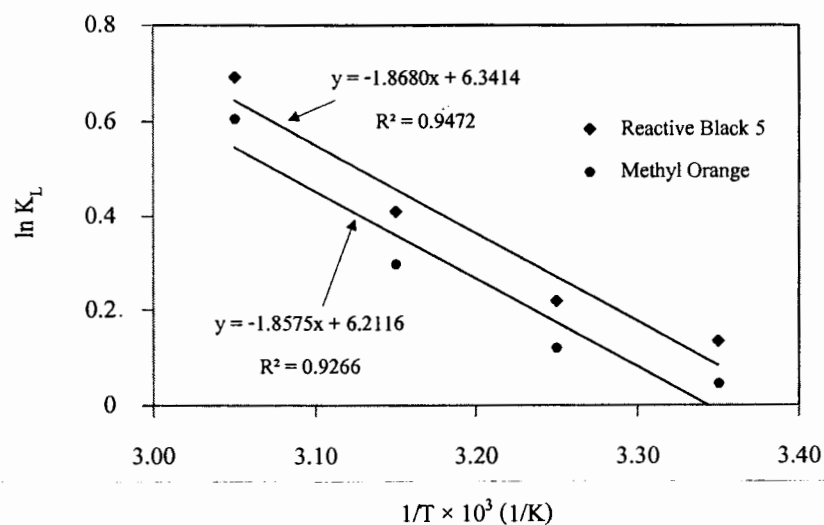
Chitosan/amino resin (R1)

Glycidyl methacrylate/methelenebisacrylimide resin loaded with tetraethelenepentamine (GMA/MBA-TEPA)

Iron terephthalate (MOF-235)

Multiwalled carbon nanotubes (MWCNTs)

จากการศึกษาเทอร์โนไคนามิกส์ของการคุณซับสีบ้ม Reactive Black 5 และ Methyl Orange ค่าพารามิเตอร์ที่ได้แสดงไว้ในตารางที่ 4.7 พบว่า การคุณซับสีบ้มทั้งสองชนิดด้วยแร่คิน CTS/MMT มีค่า  $\Delta_{ads}G^\circ$  เป็นลบ ซึ่งแสดงว่าเป็นกระบวนการการคุณซับที่เกิดขึ้นได้เองในทิศทางไปข้างหน้า การเปลี่ยนแปลงพลังงานอิสระของการศึกษานี้อยู่ในช่วง -0.11 ถึง -1.89 kJ/mol เมื่ออุณหภูมิเพิ่มขึ้นจาก 25 °C ไปเป็น 55 °C การลดลงของค่า  $\Delta_{ads}G^\circ$  เมื่ออุณหภูมิเพิ่มขึ้นแสดงให้เห็นว่าการคุณซับเกิดขึ้นเองได้มากขึ้นที่อุณหภูมิสูงขึ้น ส่วน  $\Delta_{ads}H^\circ$  มีค่าเป็นบวก แสดงว่ากระบวนการคุณซับเป็นระบบดูดความร้อน และ  $\Delta_{ads}S^\circ$  มีค่าเป็นบวก แสดงให้เห็นว่าจุดสัมผัสระหว่างเฟสสองแข็งและของเหลวมีความไม่เป็นระเบียบเพิ่มมากขึ้น ทั้งนี้อาจเนื่องมาจากการที่หนึ่ง มีการปลดปล่อยประจุบวกของสารอนินทรีย์ที่ละลายน้ำได้ออกมาจากแร่คิน MMT และการที่สองเกิดจากโมเลกุลสีบ้มเข้าไปแทนที่โมเลกุลของตัวทำละลายที่ถูกคุณซับไว้ก่อนแล้ว ณ บริเวณพื้นผิวภายนอกของตัวคุณซับ จึงทำให้ความไม่เป็นระเบียบเพิ่มมากขึ้น (Almeida et al., 2009)



ภาพที่ 4.7 ความสัมพันธ์ระหว่าง  $\ln K_L$  กับ  $1/T$  ของการคุณซับสีบ้ม RB5 และ MO โดยใช้แร่คิน CTS/MMT เป็นตัวคุณซับ

จากการวิจัยอื่น ๆ ที่ผ่านมาได้มีการศึกษาหาราคาพารามิเตอร์ของเทอร์โนไคนามิกส์ของการคุณซับสีบ้ม RB5 และ MO ด้วยตัวคุณซับชนิดต่าง ๆ พบว่า เมื่ออุณหภูมิเพิ่มขึ้น ค่า  $\Delta_{ads}G^\circ$  จะมีค่าลดลง นอกจากนี้  $\Delta_{ads}H^\circ$  และ  $\Delta_{ads}S^\circ$  จะมีค่าเป็นบวกเช่นเดียวกันกับงานวิจัยนี้ ดังแสดงไว้ใน

ตารางที่ 4.7 ลักษณะของกราฟจากสมการของ Van't Hoff แสดงไว้ในภาพที่ 4.7 ซึ่งเป็นความสัมพันธ์ระหว่าง  $\ln K_L$  กับ  $1/T$  ของการคุณซับสีข้อมากน้ำสีสังเคราะห์

#### 4.3 ผลการศึกษาจดผลศาสตร์การคุณซับ

##### 4.3.1 ผลการศึกษาอิทธิพลของเวลาสัมผัสดต่อปริมาณการคุณซับ

จากการศึกษาอิทธิพลของเวลาสัมผัสดต่อปริมาณการคุณซับ ได้ผลการศึกษาดังแสดงในภาพที่ 4.8 ความสัมพันธ์ระหว่างปริมาณการคุณซับกับเวลาสัมผัสด พบว่า ปริมาณการคุณซับของสีข้อมทั้งสองชนิดเพิ่มขึ้นตามระยะเวลาที่เพิ่มขึ้น ในช่วงแรก ๆ ปริมาณการคุณซับจะเพิ่มขึ้นอย่างรวดเร็ว จนถึงจุด ๆ หนึ่ง และจะเข้าสู่สมดุลการคุณซับภายในเวลาประมาณ 60 นาที ก่อนหน้านี้ได้มีการศึกษาการคุณซับสีข้อม RB5 และ MO ด้วยตัวคุณซับชนิดต่าง ๆ พบว่า เวลาเข้าสู่สมดุลการคุณซับมีค่าใกล้เคียงกันกับงานวิจัยนี้ โดยพิจารณาจากตารางที่ 4.8

ตารางที่ 4.8 เวลาเข้าสู่สมดุลการคุณซับของสีข้อม RB5 และ MO โดยใช้ตัวคุณซับชนิดต่าง ๆ และมีสภาวะในการทดลองแตกต่างกัน

ชนิดของตัวคุณซับ	เวลาเข้าสู่สมดุลการคุณซับ (min)	อ้างอิง
CTS/MMT คุณซับ RB5	60	งานวิจัยนี้
R1 คุณซับ RB5	50	Elwakeel, 2009
GMA/MBA-TEPA คุณซับ RB5	60	Elwakeel and Rekaby, 2011
CTS/MMT คุณซับ MO	60	งานวิจัยนี้
CMK-3 คุณซับ MO	60	Mohammadi et al., 2011
MWCNTs คุณซับ MO	65	Yao et al., 2011

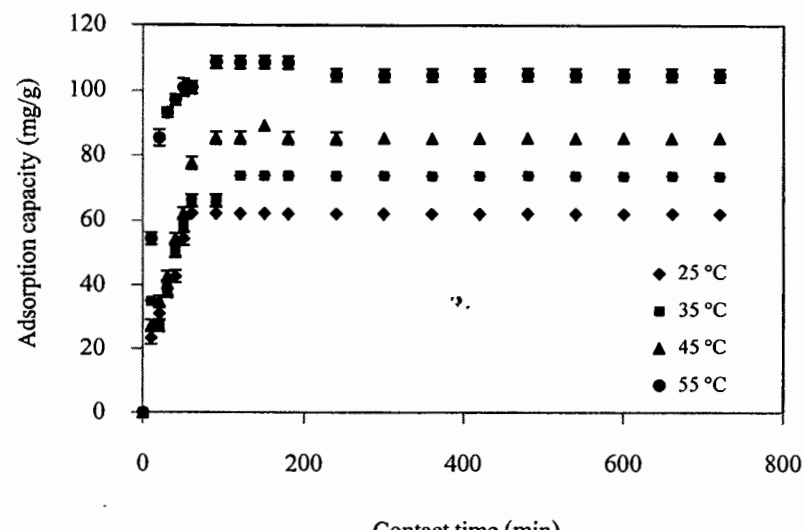
หมายเหตุ : Chitosan modified Montmorillonite (CTS/MMT)

Chitosan/amino resin (R1)

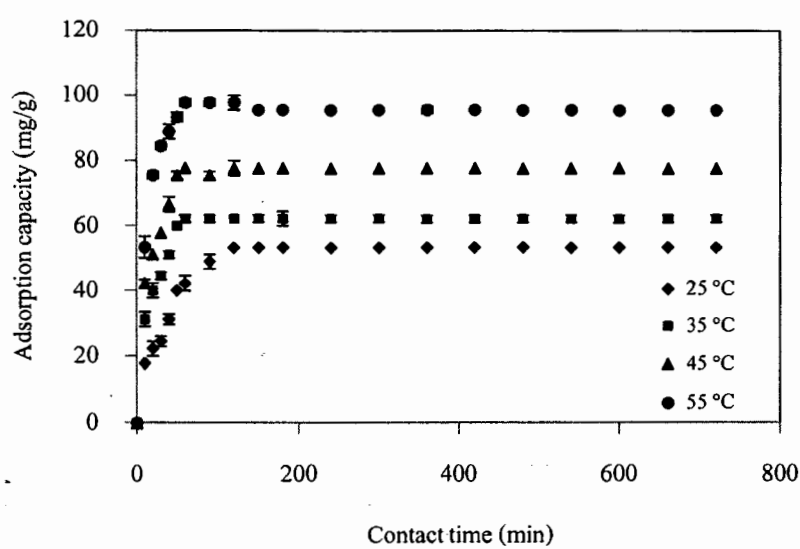
Glycidyl methacrylate/methelenebisacrylimide resin loaded with tetraethelenepentamine (GMA/MBA-TEPA)

Mesoporous carbon material-kinetic (CMK-3)

Multiwalled carbon nanotubes (MWCNTs)



(a)



(b)

ภาพที่ 4.8 ความสัมพันธ์ระหว่างปริมาณการดูดซับสีเข้มกับเวลาสัมผัสของน้ำสีสังเคราะห์สีเข้ม<sup>1</sup>  
(a) RB5 และ (b) MO ที่อุณหภูมิแตกต่างกัน โดยใช้ตัวดูดซับเรื่อง CTS/MMT ปริมาณ  
0.1 g,  $C_0 = 200 \text{ mg/L}$  และ  $\text{pH}_0 = 7.0 \pm 0.5$

### 4.3.2 ผลการศึกษาอิทธิพลของอุณหภูมิต่ออัตราการคุดชับ

จากการศึกษาอิทธิพลของอุณหภูมิต่ออัตราการคุดชับ ได้ผลการศึกษาดังแสดงในตารางที่ 4.9 พบว่า อัตราการคุดชับจะเพิ่มขึ้นตามการเพิ่มขึ้นของอุณหภูมิ โดยพิจารณาจากการเพิ่มขึ้นของค่าคงที่ของการเกิดปฏิกิริยาเคมี ( $k_2$ ) ซึ่งสอดคล้องกับผลการศึกษาอิทธิพลของอุณหภูมิต่อปริมาณการคุดชับ ในหัวข้อ 4.2.4 แต่อย่างไรก็ตามอุณหภูมิไม่ได้มีผลต่อเวลาเข้าสู่สมดุลการคุดชับ เนื่องจากอัตราการเข้าสู่สมดุลจะขึ้นอยู่กับอัตราการกวน ซึ่งในการศึกษานี้กำหนดให้อัตราการกวนเท่ากันทุกอุณหภูมิ ดังแสดงไว้ในตารางที่ 4.8 งานวิจัยอื่น ๆ ที่ผ่านมาได้มีการศึกษาการคุดชับสีเย็บ RBS ด้วยสาร Chitosan/amino resin (Elwakeel, 2009) และการคุดชับสีเย็บ MO ด้วยสาร CTMAB/10SSTA-MMT (Chen et al., 2011) พบว่า อุณหภูมนี้มีผลต่ออัตราการคุดชับ เมื่ออุณหภูมิเพิ่มขึ้น ค่าคงที่ของการเกิดปฏิกิริยาเคมี ( $k_2$ ) จะเพิ่มขึ้นเช่นกัน ซึ่งมีความสอดคล้องกับงานวิจัยนี้

### 4.3.3 ผลการหาอันดับของปฏิกิริยาการคุดชับ

การศึกษาอันดับของปฏิกิริยาการคุดชับเพื่อหาค่า  $k_2$  ของอัตราการคุดชับสีเย็บ กระทำได้โดยการพิจารณาความสอดคล้องของข้อมูลการคุดชับกับแบบจำลองการคุดชับแบบจำลองอัตราการคุดชับที่เป็นที่รู้จักกันโดยทั่วไป ได้แก่ แบบจำลองอัตราการคุดชับอันดับหนึ่งเทียน (Pseudo-first order equation) ซึ่งจะบ่งบอกได้ว่าขั้นตอนการถ่ายโอนมวลของตัวกรุดุคชับ ผ่านชั้นของไหครอบตัวคุดชับเกิดขึ้นช้าที่สุด และแบบจำลองอัตราการคุดชับอันดับสองเทียน (Pseudo-second order equation) ซึ่งจะบ่งชี้ได้ว่าขั้นตอนการเกิดปฏิกิริยาเคมีที่พื้นผิวของตัวคุดชับเกิดขึ้นได้ช้าที่สุด เมื่อนำผลการทดลองมาพล็อตกับสมการอัตราการคุดชับอันดับหนึ่งเทียน และสมการอัตราการคุดชับอันดับสองเทียน พารามิเตอร์ต่าง ๆ ที่ได้จากการพล็อตสมการแสดงในภาพที่ 4.9 พบว่า อัตราการคุดชับของสีเย็บทั้งสองชนิดมีความสอดคล้องกับสมการอัตราการคุดชับอันดับสองเทียนมากกว่าสมการอัตราการคุดชับอันดับหนึ่งเทียน โดยพิจารณาจากค่า  $R^2$  ในตารางที่ 4.9 และจากตารางนี้ยังพบอีกว่า ค่าคงที่ในการเกิดปฏิกิริยาเคมี ( $k_2$ ) ของการคุดชับสีเย็บ RBS จะมีค่ามากกว่าสีเย็บ MO ดังนั้น แสดงว่ากระบวนการคุดชับสีเย็บ RBS สามารถเกิดขึ้นได้เร็วกว่าสีเย็บ MO

ตารางที่ 4.9 พารามิเตอร์ของสมการอันดับหนึ่งเทียนและสมการอันดับสองเทียนของการคุตชับสีข้อมากน้ำสีสังเคราะห์สีข้อม RB5 และ MO

ชนิดสี ข้อม	อุณหภูมิ ( °C )	$q_{e,exp}$ (mg/g)	สมการอันดับหนึ่งเทียน (Pseudo-first order)			สมการอันดับสองเทียน (Pseudo-second order)		
			$k_1 \times 10^2$ (min <sup>-1</sup> )	$q_{e,cal}$ (mg/g)	$R^2$	$k_2 \times 10^3$ (g/mg*min)	$q_{e,cal}$ (mg/g)	$R^2$
Reactive Black 5	25	62.14	3.65	64.96	0.9293	1.89	63.29	0.9993
	35	73.78	4.79	69.29	0.8935	2.91	75.76	0.9987
	45	85.44	5.16	96.09	0.8791	4.67	87.71	0.9984
	55	104.85	5.69	113.33	0.8380	8.51	103.09	0.9994
Methyl Orange	25	53.33	3.09	48.97	0.9251	1.15	54.35	0.9993
	35	62.22	5.71	67.96	0.8858	2.35	62.89	0.9998
	45	77.77	6.16	71.43	0.9078	3.43	78.13	0.9997
	55	95.55	7.12	88.26	0.9206	6.15	97.09	0.9995

จากการวิจัยอื่น ๆ ที่ผ่านมาได้มีการศึกษาการคุตชับสีข้อม RB5 และ MO ด้วยตัวคุตชับชนิดต่าง ๆ พบว่า มีอัตราการคุตชับสอดคล้องกับสมการอัตราการคุตชับอันดับสองเทียนมากกว่าสมการอันดับหนึ่งเทียน (ซึ่งมีความสอดคล้องกับงานวิจัยนี้) โดยพิจารณาจากค่า  $R^2$  ในตารางที่ 4.10 และยังพบอีกว่า ค่าคงที่ในการเกิดปฏิกิริยาเคมี ( $k_2$ ) ของการคุตชับสีข้อม RB5 โดยใช้แร่คิน CTS/MMT (งานวิจัยนี้) จะมีค่ามากกว่าการคุตชับสีข้อม โดยใช้ตัวคุตชับ Chitosan/amino resin (Elwakeel, 2009) แต่จะมีค่าน้อยกว่าการคุตชับสีข้อม โดยใช้ตัวคุตชับ GMA/MBA-TEPA (Elwakeel and Rekaby, 2011) ส่วนค่าคงที่ในการเกิดปฏิกิริยาเคมี ( $k_2$ ) ของการคุตชับสีข้อม MO โดยใช้แร่คิน CTS/MMT (งานวิจัยนี้) จะมีค่าน้อยกว่าการคุตชับสีข้อม โดยใช้ตัวคุตชับ CMK-3 (Mohammadi et al., 2011) MWCNTs (Yao et al., 2011) และ CTMAB/10SSTA-MMT (Chen et al., 2011)

จากการศึกษาดูความคุณของสีข้อม RB5 และ MO ดังแสดงในตารางที่ 4.1 และ 4.2 พบว่า มีปริมาณการคุตชับที่เวลาใด ๆ แตกต่างกันเพียงเล็กน้อย (ไม่เกินร้อยละ 5) หรือไม่เกิดการคุตชับเลย

**ตารางที่ 4.10 ค่าคงที่  $k_2$  (Pseudo-second order) ของการดูดซึบสีข้อม RB5 และ MO โดยใช้ตัวดูดซึบชนิดต่าง ๆ และมีสภาวะในการทดลองแตกต่างกัน**

ชนิดของตัวดูดซึบ	$k_2 \times 10^3$ (g/mg*min)	$R^2$ (อันดับ หนึ่งเที่ยม)	$R^2$ (อันดับ สองเที่ยม)	อ้างอิง
CTS/MMT ดูดซึบ RB5	1.890	0.9293	0.9993	งานวิจัยนี้
R1 ดูดซึบ RB5	1.470	0.9770	0.9990	Elwakeel, 2009
GMA/MBA-TEPA ดูดซึบ RB5	9.580	0.9600	0.9990	Elwakeel and Rekaby, 2011
CTS/MMT ดูดซึบ MO	1.150	0.9251	0.9993	งานวิจัยนี้
CMK-3 ดูดซึบ MO	4.000	0.8156	0.9998	Mohammadi <i>et al.</i> , 2011
MWCNTs ดูดซึบ MO	4.570	0.9699	0.9980	Yao <i>et al.</i> , 2011
CTMAB/10SSTA-MMT ดูดซึบ MO	4.892	0.9060	0.9990	Chen <i>et al.</i> , 2011

หมายเหตุ : Chitosan modified Montmorillonite (CTS/MMT)

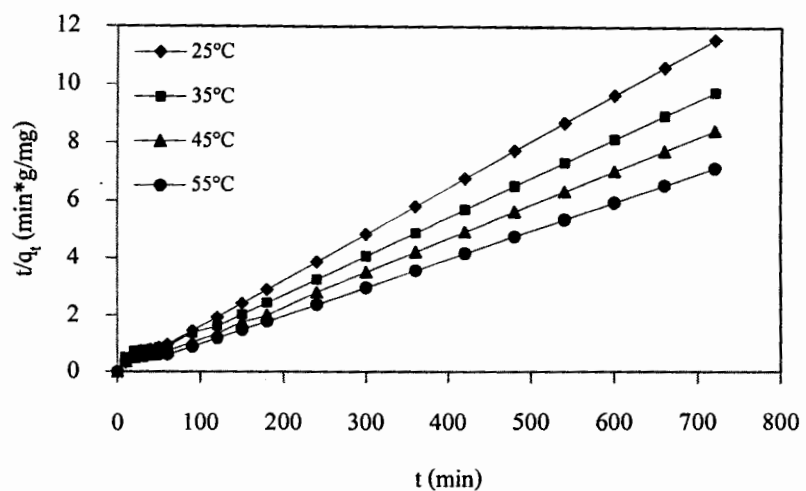
Chitosan/amino resin (R1)

Glycidyl methacrylate/methelenebisacrylimide resin loaded with  
tetraethylenepentamine (GMA/MBA-TEPA)

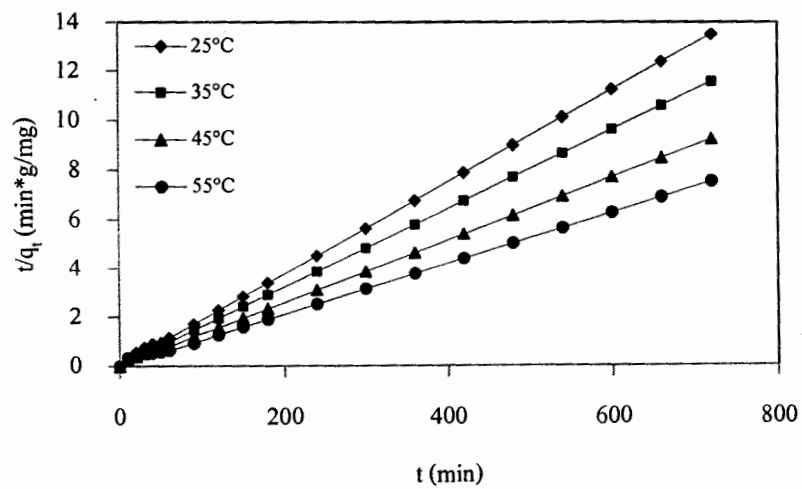
Mesoporous carbon material-kinetic (CMK-3)

Multiwalled carbon nanotubes (MWCNTs)

Cetyl trimethyl ammonium bromide anionic surfactants sodium stearate and their  
mixture to montmorillonite (CTMAB/10SSTA-MMT)



(a)



(b)

ภาพที่ 4.9 ความสัมพันธ์ระหว่าง  $t/q_t$  (min\*g/mg) และ  $t$  (min) แบบจำลองอัตราการดูดซับอันดับสองเที่ยม (Pseudo-second order) ของการดูดซับสีเยื่อ (a) RB5 และ (b) MO ที่อุณหภูมิแตกต่างกัน โดยใช้เรเดิน CTS/MMT เป็นตัวดูดซับ

#### 4.3.4 ผลพารามิเตอร์ของพลังงานกระตุ้น

การศึกษาพารามิเตอร์ของพลังงานกระตุ้น ( $E_a$ ) สามารถหาได้โดยการนำผลการทดลองไปพล็อตกับสมการ Arrhenius (Almeida et al., 2009) พลังงานกระตุ้นหรือพลังงานก่อ起ก้มันต์ (Activation energy) เป็นพลังงานต่ำที่สุดที่ไม่เกิดขึ้นของสารตั้งต้นจะสามารถเกิดปฏิกิริยาเคมีได้ ปฏิกิริยาที่เกิดได้เร็ว แสดงว่ามีค่าพลังงานกระตุ้นต่ำ ปฏิกิริยาที่เกิดได้ช้าแสดงว่ามีพลังงานกระตุ้นสูง

ตารางที่ 4.11 ค่าพลังงานกระตุ้นของการดูดซับสีข้อม RBS และ MO โดยใช้ตัวดูดซับชนิดต่าง ๆ และมีสภาวะในการทดลองแตกต่างกัน

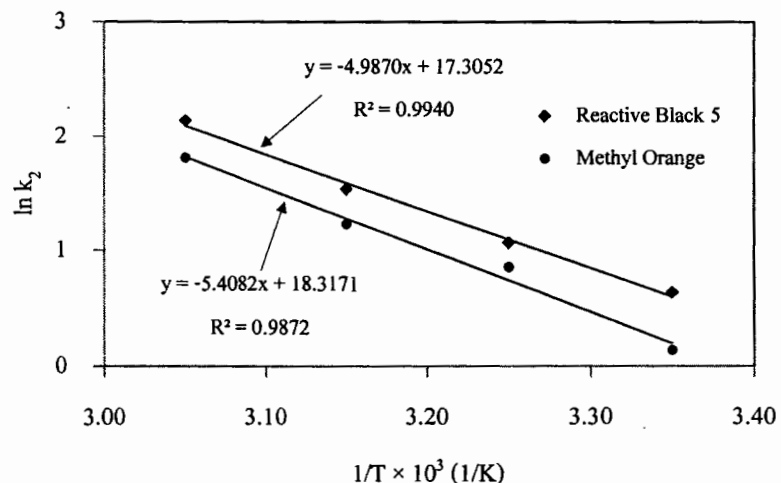
ชนิดของตัวดูดซับ	$E_a$ (kJ/mol)	$R^2$	อ้างอิง
CTS/MMT ดูดซับ RBS	+41.46	0.9940	งานวิจัยนี้
Kaolinite clay ดูดซับ RBS	+38.10	-	Karaoglu et al., 2010
CTS/MMT ดูดซับ MO	+44.96	0.9872	งานวิจัยนี้
CTMAB/10SSTA–MMT ดูดซับ MO	+4.050	-	Chen et al., 2011

หมายเหตุ : Chitosan modified Montmorillonite (CTS/MMT)

Cetyl trimethyl ammonium bromide anionic surfactants sodium stearate and their mixture to montmorillonite (CTMAB/10SSTA–MMT)

ค่าพารามิเตอร์ของพลังงานกระตุ้นแสดงไว้ในตารางที่ 4.11 พบว่า พลังงานกระตุ้นของการดูดซับสีข้อม RBS มีค่าน้อยกว่าสีข้อม MO ดังนั้น แสดงว่ากระบวนการดูดซับสีข้อม RBS สามารถเกิดขึ้นได้เร็วกว่าสีข้อม MO ซึ่งมีความสอดคล้องกับค่าคงที่ของการเกิดปฏิกิริยาเคมี ( $k_2$ ) ดังแสดงไว้ในตารางที่ 4.9 (ถ้า  $k_2$  มีค่ามากกระบวนการดูดซับสีข้อมจะเกิดขึ้นได้เร็ว แต่ถ้า  $k_2$  มีค่าน้อยกระบวนการดูดซับสีข้อมจะเกิดขึ้นช้า) นอกจากนี้ ถ้าค่าพลังงานกระตุ้นมีค่าอยู่ในช่วง 5-40 kJ/mol แสดงว่า เป็นการดูดซับทางกายภาพ และถ้าค่าพลังงานกระตุ้นมีค่าอยู่ในช่วง 40-800 kJ/mol แสดงว่า เป็นการดูดซับทางเคมี (Alkan et al., 2008) ดังนั้น การดูดซับสีข้อม RBS และ MO ด้วยเรacrin CTS/MMT จึงเป็นการดูดซับทางเคมี ดังแสดงค่าพลังงานกระตุ้นไว้ในตารางที่ 4.11 และจากงานวิจัยอื่น ๆ ที่ผ่านมาได้มีการศึกษาหาค่าพลังงานกระตุ้นของการดูดซับสีข้อม RBS และ MO ด้วยตัวดูดซับชนิดต่าง ๆ พบว่า ค่าพลังงานกระตุ้นจะมีค่าเป็นวงเวียนเดียวกันกับงานวิจัยนี้

ดังแสดงในตารางที่ 4.11 ลักษณะของกราฟจากสมการ Arrhenius แสดงไว้ในภาพที่ 4.10 ความสัมพันธ์ระหว่าง  $\ln k_2$  กับ  $1/T$  ของการคุณซับสีข้อมจากน้ำสีตังเคราะห์



ภาพที่ 4.10 ความสัมพันธ์ระหว่าง  $\ln k_2$  กับ  $1/T$  ของการคุณซับสีข้อม RB5 และ MO โดยใช้เรซิน CTS/MMT เป็นตัวคุณซับ

#### 4.4 ผลการศึกษาการคุณซับในระบบหอดคุณซับแบบเบนิ่ง

การศึกษาการคุณซับสีข้อมในระบบหอดคุณซับแบบเบนิ่งนี้ จะศึกษาที่ความสูงของเบด ความเข้มข้นเริ่มต้น และอัตราการไอลแทกต่างกัน ซึ่งพารามิเตอร์ที่ได้จากการศึกษาจะมีประโยชน์ในการนำไปออกแบบเพื่อยاختนาดของหอดคุณซับแบบเบนิ่งได้ และจากการผลการศึกษาพบว่า ลักษณะของกราฟเบรคทรูที่ได้เป็นเส้นโค้งคล้ายรูปตัวอักษรเอสหรือเรียกว่า “S-shape” ดังแสดงไว้ในภาพที่ 4.11 4.12 และ 4.13 โดยความเข้มข้นของสีข้อมที่ผ่านหอดคุณซับออกมานั้นช่วงแรก ๆ จะมีค่าน้อย แต่เมื่อถึงจุดเบรคทรูความเข้มข้นก็จะเพิ่มขึ้นอย่างรวดเร็วนั้นกระทำการทั้งคงที่ในที่สุด

ตารางที่ 4.12 พารามิเตอร์ที่ได้จากการคุณซับสีข้อม RBS ในระบบหอดูดซับแบบเบนจิ่ง ที่ความเข้มข้นเริ่มต้น ความสูงของเบค และอัตราการไหลแตกต่างกัน

ความเข้มข้นเริ่มต้น (mg/L)	ความสูงของเบค (cm)	อัตราการไหล (mL/min)	$q_{total}$ (mg)	$q_e$ (mg/g)	$t_b$ (min)	$V_b$ (mL)
50	15	3.59	4.27	7.12	2.93	10.54
100	15	3.57	4.79	7.98	2.52	9.07
200	15	3.57	5.51	9.17	2.29	8.23
100	20	3.56	6.51	8.14	3.86	13.89
100	25	3.56	8.40	8.40	4.34	15.63
100	15	7.18	3.54	5.89	1.54	11.06
100	15	9.18	2.77	4.62	1.35	12.39

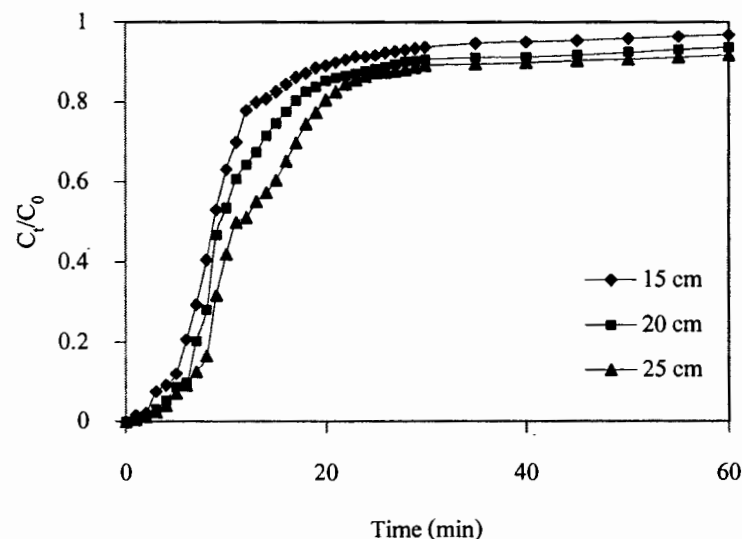
ตารางที่ 4.13 พารามิเตอร์ที่ได้จากการคุณซับสีข้อม MO ในระบบหอดูดซับแบบเบนจิ่ง ที่ความเข้มข้นเริ่มต้น ความสูงของเบค และอัตราการไหลแตกต่างกัน

ความเข้มข้นเริ่มต้น (mg/L)	ความสูงของเบค (cm)	อัตราการไหล (mL/min)	$q_{total}$ (mg)	$q_e$ (mg/g)	$t_b$ (min)	$V_b$ (mL)
50	15	3.58	2.27	3.79	2.57	9.24
100	15	3.58	3.18	5.29	2.17	7.83
200	15	3.57	4.41	7.35	2.09	7.55
100	20	3.56	3.78	4.72	2.29	8.24
100	25	3.56	4.21	4.21	2.98	10.71
100	15	7.15	2.67	4.45	1.93	12.89
100	15	9.19	1.87	3.12	1.43	13.17

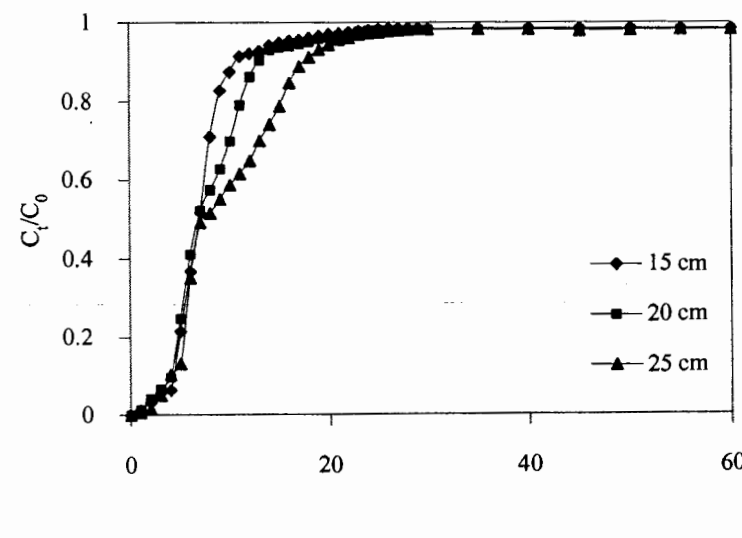
#### 4.4.1 ผลการศึกษาอิทธิพลของความสูงของเบคต่อการคุณซับแบบเบนจิ่ง

จากผลการศึกษาอิทธิพลของความสูงของเบคต่อการคุณซับแบบเบนจิ่ง พบร่วมกับความสูงของเบคเพิ่มขึ้น ปริมาณการคุณซับที่สูงคุณ เวลาและปริมาตรที่จุคเบรคทรูก็จะเพิ่มขึ้น ด้วย เนื่องมาจากการเพิ่มความสูงของเบคเพิ่มขึ้นก็จะทำให้เบคมีพื้นที่ผิวที่สามารถดูดซับได้เพิ่มมากขึ้น

(ปริมาณของตัวคูดซับจะแปรผันตามความสูงของเบด) จึงทำให้การคูดซับสีเข้มเกิดขึ้นได้มากและอันตัวชี้ จึงส่งผลให้ปริมาณการคูดซับที่สูมคุล เวลาและปริมาตรที่จุดเบรคทูเพิ่มขึ้น



(a)



Time (min)

(b)

ภาพที่ 4.11 กราฟเบรคทูของการคูดซับสีเข้ม (a) RB5 และ (b) MO ด้วยแร่ดิน CTS/MMT ที่ความสูงของเบดแตกต่างกัน (ความเข้มข้นเริ่มต้นเท่ากับ 100 mg/L และอัตราการไหลเท่ากับ  $3.57 \pm 0.02$  mL/min)

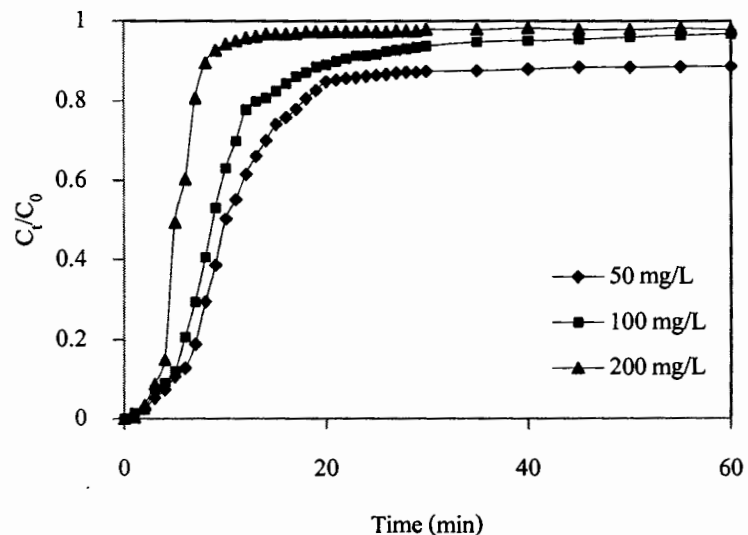
การคุณชั้บสีเย้อม RBS ในระบบหอดคุณชั้บแบบเบดนิ่ง ที่อัตราการไหลเท่ากับ  $3.57 \pm 0.02 \text{ mL/min}$  และความเข้มข้นเริ่มต้นเท่ากับ  $100 \text{ mg/L}$  ได้ผลการศึกษาดังแสดงไว้ในตารางที่ 4.12 พบว่า ที่ความสูงของเบดเท่ากับ  $25 \text{ cm}$  จะมีปริมาณการคุณชั้บที่สูงคุล เวลาและปริมาตรที่จุดเบรคทรูมากกว่าเบดที่สูง  $15$  และ  $20 \text{ cm}$  มีค่าเท่ากับ  $8.40 \text{ mg/g}$ ,  $4.34 \text{ min}$  และ  $15.63 \text{ mL}$  ตามลำดับ ลักษณะของ Graf เบรคทรูของการคุณชั้บสีเย้อม RBS ที่ความสูงของเบดแตกต่างกันแสดงไว้ในภาพที่ 4.11a

การคุณชั้บสีเย้อม MO ในระบบหอดคุณชั้บแบบเบดนิ่ง ที่อัตราการไหลเท่ากับ  $3.57 \pm 0.02 \text{ mL/min}$  และความเข้มข้นเริ่มต้นเท่ากับ  $100 \text{ mg/L}$  ได้ผลการศึกษาดังแสดงไว้ในตารางที่ 4.13 พบว่า ที่ความสูงของเบดเท่ากับ  $15 \text{ cm}$  จะมีปริมาณการคุณชั้บที่สูงคุลมากกว่าเบดที่สูง  $20$  และ  $25 \text{ cm}$  มีค่าเท่ากับ  $5.29 \text{ mg/g}$  แต่ปริมาณการคุณชั้บทั้งหมดจะเพิ่มขึ้นตามการเพิ่มขึ้นของความสูงของเบด (ซึ่งโดยปกติแล้วปริมาณการคุณชั้บที่สูงคุลจะแปรผันตามปริมาณการคุณชั้บทั้งหมด) และเนื่องจากเบดทั้ง  $3$  ขนาดมีค่าปริมาณการคุณชั้บทั้งหมดใกล้เคียงกันมาก ดังนั้น เบดที่มีความสูงน้อยจะมีปริมาณการคุณชั้บที่สูงคุลมากกว่าเบดที่มีความสูงมาก (ปริมาณการคุณชั้บที่สูงคุลหาได้จากปริมาณการคุณชั้บทั้งหมดหารด้วยปริมาณของตัวคุณชั้บ) แต่ที่ความสูงของเบดเท่ากับ  $25 \text{ cm}$  จะมีเวลาและปริมาตรที่จุดเบรคทรูมากกว่าเบดที่สูง  $15$  และ  $20 \text{ cm}$  มีค่าเท่ากับ  $2.98 \text{ min}$  และ  $10.71 \text{ mL}$  ตามลำดับ ลักษณะของ Graf เบรคทรูของการคุณชั้บสีเย้อม MO ที่ความสูงของเบดแตกต่างกันแสดงไว้ในภาพที่ 4.11b

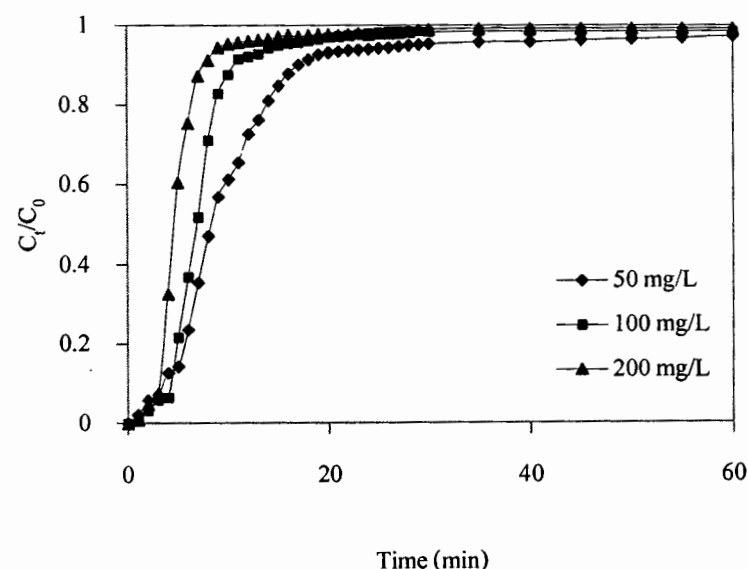
นอกจากนี้ยังพบอีกว่า ปริมาณการคุณชั้บที่สูงคุล เวลาและปริมาตรที่จุดเบรคทรูของการคุณชั้บสีเย้อม RBS จะมีค่ามากกว่าสีเย้อม MO

#### 4.4.2 ผลการศึกษาอิทธิพลของความเข้มข้นเริ่มต้นของสารละลายสีเย้อมต่อการคุณชั้บแบบเบดนิ่ง

จากการศึกษาอิทธิพลของความเข้มข้นเริ่มต้นของสารละลายสีเย้อมต่อการคุณชั้บแบบเบดนิ่ง พบว่า เมื่อความเข้มข้นเริ่มต้นของสารละลายเพิ่มขึ้น ปริมาณการคุณชั้บที่สูงคุลจะเพิ่มขึ้น แต่เวลาและปริมาตรที่จุดเบรคทรูจะลดลง เนื่องมาจากเมื่อความเข้มข้นเริ่มต้นเพิ่มขึ้นก็จะทำให้การถ่ายโอนมวลเกิดขึ้นได้มาก (การถ่ายโอนมวลของตัวถูกคุณชั้บจะแปรผันตามความเข้มข้นเริ่มต้นของสารละลาย) ดังนั้นจึงทำให้การคุณชั้บสีเย้อมเกิดขึ้นได้มากเช่นกัน (ปริมาณการคุณชั้บที่สูงคุลจะเพิ่มขึ้น) และนอกจากนี้ยังทำให้ตัวคุณชั้บอิ่มตัวเร็วมากขึ้นอีกด้วย จึงส่งผลให้เวลาและปริมาตรที่จุดเบรคทรูลดลง



(a)



(b)

ภาพที่ 4.12 กราฟเบรครหุของกรดซูดซัม (a) RB5 และ (b) MO คุ้งแร่ดิน CTS/MMT ที่ความเข้มข้นเริ่มต้นแตกต่างกัน (ความสูงของเบดเท่ากับ 15 cm และอัตราการไหลเท่ากับ  $3.57 \pm 0.02 \text{ mL/min}$ )

การคุณชับสีเย็บ RB 5 ในระบบหอดคุณชับแบบเบคนิ่ง ที่ความสูงของเบคเท่ากับ 15 cm และอัตราการไหลเท่ากับ  $3.57 \pm 0.02$  mL/min ได้ผลการศึกษาดังแสดงไว้ในตารางที่ 4.12 พบว่า ที่ความเข้มข้นเริ่มต้นเท่ากับ 200 mg/L จะมีปริมาณการคุณชับที่สมดุลมากกว่าที่ความเข้มข้นเริ่มต้นเท่ากับ 50 และ 100 mg/L มีค่าเท่ากับ 9.17 mg/g แต่ที่ความเข้มข้นเริ่มต้นเท่ากับ 50 mg/L จะมีเวลาและปริมาตรที่จุดเบรคทรูมากกว่าที่ความเข้มข้นเริ่มต้นเท่ากับ 100 และ 200 mg/L มีค่าเท่ากับ 2.93 min และ 10.54 mL ตามลำดับ ลักษณะของกราฟเบรคทรูของการคุณชับสีเย็บ RB5 ที่ความเข้มข้นเริ่มต้นแตกต่างกันแสดงไว้ในภาพที่ 4.12a

การคุณชับสีเย็บ MO ในระบบหอดคุณชับแบบเบคนิ่ง ที่ความสูงของเบคเท่ากับ 15 cm และอัตราการไหลเท่ากับ  $3.57 \pm 0.02$  mL/min ได้ผลการศึกษาดังแสดงไว้ในตารางที่ 4.13 พบว่า ที่ความเข้มข้นเริ่มต้นเท่ากับ 200 mg/L จะมีปริมาณการคุณชับที่สมดุลมากกว่าที่ความเข้มข้นเริ่มต้นเท่ากับ 50 และ 100 mg/L มีค่าเท่ากับ 7.35 mg/g แต่ที่ความเข้มข้นเริ่มต้นเท่ากับ 50 mg/L จะมีเวลาและปริมาตรที่จุดเบรคทรูมากกว่าที่ความเข้มข้นเริ่มต้นเท่ากับ 100 และ 200 mg/L มีค่าเท่ากับ 2.57 min และ 9.24 mL ตามลำดับ ลักษณะของกราฟเบรคทรูของการคุณชับสีเย็บ MO ที่ความเข้มข้นเริ่มต้นแตกต่างกันแสดงไว้ในภาพที่ 4.12b

นอกจากนี้ยังพบอีกว่า ปริมาณการคุณชับที่สูนดุล เวลาและปริมาตรที่จุดเบรคทรูของการคุณชับสีเย็บ RB5 จะมีค่ามากกว่าสีเย็บ MO

ก่อนหน้านี้ได้มีการศึกษาการคุณชับสีเย็บ RB5 ด้วยถ่านกัมมันต์ (Ahmad and Hameed, 2010) และสารไครโตซาน (Barron-Zambrano et al., 2010) ในระบบหอดคุณชับแบบเบคนิ่ง พบร่วมกันว่า เมื่อความเข้มข้นเริ่มต้นของสารละลายเพิ่มขึ้น ปริมาณการคุณชับที่สมดุลจะเพิ่มขึ้น แต่ ปริมาตรที่จุดเบรคทรูจะลดลง ต่อมาได้มีการศึกษาการคุณชับสีเย็บ MO ด้วยสารสปอร์โพรอลเลนิน (Sporopollenin: DAE-S) ในระบบหอดคุณชับแบบเบคนิ่ง พบร่วมกันว่า เมื่อความเข้มข้นเริ่มต้นของสารละลายเพิ่มขึ้น ปริมาณการคุณชับที่สมดุลจะเพิ่มขึ้นด้วย (Kucukosmanoglu et al., 2006) จากที่ได้กล่าวมาดังข้างต้น พบร่วมกันว่า มีความสอดคล้องกับงานวิจัยนี้

#### 4.4.3 ผลการศึกษาอิทธิพลของอัตราการไหลของสารละลายสีเย็บต่อการคุณชับแบบเบคนิ่ง

จากผลการศึกษาอิทธิพลของอัตราการไหลของสารละลายสีเย็บต่อการคุณชับแบบเบคนิ่ง พบร่วมกันว่า เมื่ออัตราการไหลของสารละลายเพิ่มขึ้น ปริมาณการคุณชับที่สมดุลและเวลาที่จุดเบรคทรูจะลดลง แต่ปริมาตรที่จุดเบรคทรูจะเพิ่มขึ้น เนื่องมาจากเมื่ออัตราการไหลเพิ่มขึ้นเวลาในการสัมผัสกับตัวคุณชับจะมีน้อย (เวลาในการสัมผัสจะแบ่งออกผันกับอัตราการไหล) จึงส่งผลให้ปริมาณการคุณชับที่สมดุลและเวลาที่จุดเบรคทรูลดลง ส่วนปริมาตรที่จุดเบรคทรูจะเพิ่มขึ้น เพราะว่า

เวลาที่จุดเบรคทรูทั้ง 3. อัตราการไอลมีค่าใกล้เคียงกันมาก ดังนั้นจึงทำให้ที่อัตราการไอลสูงนี้ ปริมาตรที่จุดเบรคทรูมากกว่าที่อัตราการไอลต่ำ (ปริมาตรที่จุดเบรคทรูหาได้จากอัตราการไอลคูณ กับเวลาที่จุดเบรคทรู) ซึ่งโดยปกติแล้วปริมาตรที่จุดเบรคทรูจะเปรียบพันตามเวลาที่จุดเบรคทรู

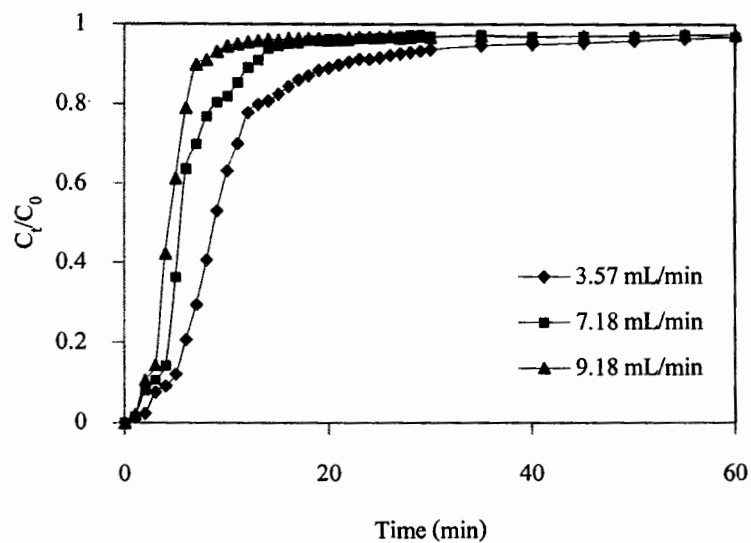
การคุณชั้บสีข้อม RB5 ในระบบหอดคุณชั้บแบบเบนิ่ง ที่ความสูงของเบดเท่ากับ 15 cm และความเข้มข้นเริ่มต้นเท่ากับ 100 mg/L ได้ผลการศึกษาดังแสดงไว้ในตารางที่ 4.12 พบว่า ที่อัตราการไอลเท่ากับ 3.57 mL/min จะมีปริมาณการคุณชั้บที่สมดุลและเวลาที่จุดเบรคทรูมากกว่าที่ อัตราการไอลเท่ากับ 7.18 และ 9.18 mL/min มีค่าเท่ากับ 7.98 mg/g และ 2.52 min ตามลำดับ แต่ที่ อัตราการไอลเท่ากับ 9.18 mL/min จะมีปริมาตรที่จุดเบรคทรูมากกว่าที่อัตราการไอลเท่ากับ 3.57 และ 7.18 mL/min มีค่าเท่ากับ 12.39 mL ลักษณะของกราฟเบรคทรูของการคุณชั้บสีข้อม RB5 ที่ อัตราการไอลแตกต่างกันแสดงไว้ในภาพที่ 4.13a

การคุณชั้บสีข้อม MO ในระบบหอดคุณชั้บแบบเบนิ่ง ที่ความสูงของเบดเท่ากับ 15 cm และความเข้มข้นเริ่มต้นเท่ากับ 100 mg/L ได้ผลการศึกษาดังแสดงไว้ในตารางที่ 4.13 พบว่า ที่อัตราการไอลเท่ากับ 3.58 mL/min จะมีปริมาณการคุณชั้บที่สมดุลและเวลาที่จุดเบรคทรูมากกว่าที่ อัตราการไอลเท่ากับ 7.15 และ 9.19 mL/min มีค่าเท่ากับ 5.29 mg/g และ 2.17 min ตามลำดับ แต่ที่ อัตราการไอลเท่ากับ 9.19 mL/min จะมีปริมาตรที่จุดเบรคทรูมากกว่าที่อัตราการไอลเท่ากับ 3.58 และ 7.15 mL/min มีค่าเท่ากับ 13.17 mL ลักษณะของกราฟเบรคทรูของการคุณชั้บสีข้อม Methyl Orange ที่อัตราการไอลแตกต่างกันแสดงไว้ในภาพที่ 4.13b

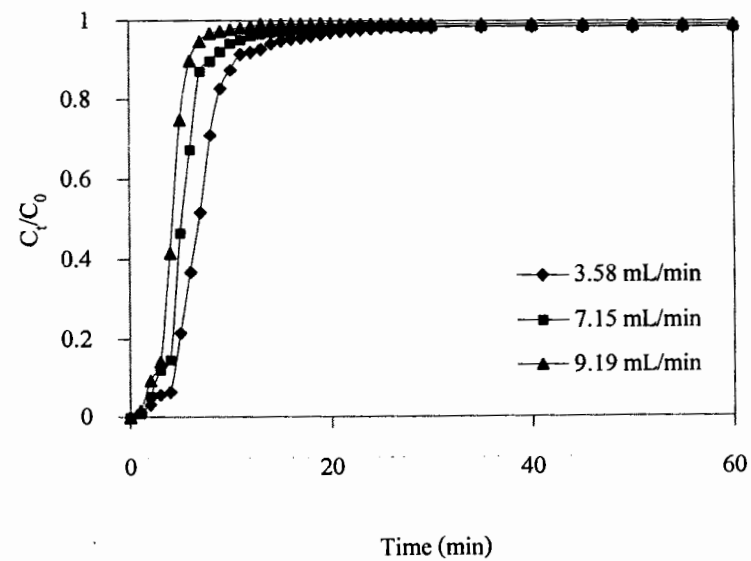
นอกจากนี้ยังพบอีกว่า ปริมาณการคุณชั้บที่สมดุลและเวลาที่จุดเบรคทรูของการคุณชั้บสีข้อม RB5 จะมีค่านากกว่าสีข้อม MO แต่ปริมาตรที่จุดเบรคทรูของการคุณชั้บสีข้อม RB5 จะ มีค่าน้อยกว่าสีข้อม MO

จากการวิจัยอื่น ๆ ที่ผ่านมาได้มีการศึกษาการคุณชั้บสีข้อม RB5 ด้วยสาร Chitosan/amino resin (Elwakeel, 2009) ถ่านกัมมันต์ (Ahmad and Hameed, 2010) และสารไคโตซาน (Bartron-Zambrano et al., 2010) ในระบบหอดคุณชั้บแบบเบนิ่ง พบว่า เมื่ออัตราการไอลของสารละลายเพิ่มขึ้น ปริมาณการคุณชั้บที่สมดุลและเวลาที่จุดเบรคทรูจะลดลง ส่วนปริมาตรที่จุดเบรคทรูจะเพิ่มขึ้น ซึ่งมีความสอดคล้องกับงานวิจัยนี้

จากการศึกษาควบคุมของสีข้อม RB5 และ MO ดังแสดงในตารางที่ ค.1-ค.6 พบว่า มีอัตราส่วนระหว่างค่าความเข้มข้นที่เวลาใด ๆ หลังผ่านหอดคุณชั้บกับค่าความเข้มข้นเริ่มต้น ( $C/C_0$ ) แตกต่างกันเพียงเล็กน้อย (ไม่เกินร้อยละ 5) หรือไม่เกิดการคุณชั้บเลย



(a)



(b)

ภาพที่ 4.13 กราฟเบรคทรูของการดูดซับสีข้อม (a) RB5 และ (b) MO ด้วยเรซิน CTS/MMT ที่อัตราการไหลแตกต่างกัน (ความสูงของเบดเท่ากับ 15 cm และ ความเข้มข้นเริ่มต้นเท่ากับ 100 mg/L)

จากการวิจัยนี้สามารถสรุปได้ว่า การศึกษาการคุดซับสีข้อม RB5 และ MO ในระบบหอดูดซับแบบเบคนิ่ง ที่ความสูงของเบค ความเข้มข้นเริ่มต้น และอัตราการไหลดแตกต่างกัน พบว่า ปริมาณการคุดซับจะเพิ่มขึ้นตามการเพิ่มขึ้นของความสูงของเบคและความเข้มข้นเริ่มต้น แต่ จะลดลงเมื่ออัตราการไหลดเพิ่มขึ้น เวลาที่จุดเบรคทรูจะเพิ่มขึ้นตามการเพิ่มขึ้นของความสูงของเบค แต่จะลดลงเมื่อความเข้มข้นเริ่มต้นและอัตราการไหลดเพิ่มขึ้น ปริมาตรที่จุดเบรคทรูจะเพิ่มขึ้นตาม การเพิ่มขึ้นของความสูงของเบคและอัตราการไหลด แต่จะลดลงเมื่อความเข้มข้นเริ่มต้นเพิ่มขึ้น

## บทที่ 5

### สรุปผลการวิจัยและข้อเสนอแนะ

#### 5.1 สรุปผลการวิจัย

จากการคัดแบร์แรดิน MMT ด้วยสารไกโตไซน พบร้า แรดิน CTS/MMT มีพื้นที่ผิวลดลง และมีขนาดของรูพรุนเฉลี่ยใหญ่กว่าแรดิน MMT นอกจากนี้ยังพบอีกว่ามีระบบของช่องว่างระหว่างชั้นคิดกว้างขึ้นอีกด้วย

จากการศึกษาการคุณภาพแบบกระบวนการสักขีตอนเดียว โดยแบ่งการทดลองออกเป็น 2 ส่วน ได้แก่ การทดลองส่วนที่ 1 การศึกษาสมดุลการคุณภาพ พบร้า แรดิน CTS/MMT สามารถคุณภาพสีข้อม RB5 และ MO (เป็นสีที่มีประจุลบ) ได้ดีกว่าแรดิน MMT สำหรับการศึกษาอิทธิพลของค่าพีเอช เริ่มต้นของสารละลายสีข้อมต่อปริมาณการคุณภาพ พบร้า การคุณภาพสีข้อมจากน้ำสีสังเคราะห์ที่มีค่าพีเอชต่ำจะสามารถคุณภาพสีข้อมได้ดีกว่าที่ค่าพีเอชสูง และการศึกษาอิทธิพลของอุณหภูมิต่อปริมาณการคุณภาพที่สภาวะสมดุล พบร้า เมื่ออุณหภูมิเพิ่มขึ้น ปริมาณการคุณภาพของสีข้อมทั้งสองชนิดจะเพิ่มขึ้นด้วย ไอโซเทอมการคุณภาพของสีข้อมทั้งสองชนิดมีความสอดคล้องกับไอโซเทอมการคุณภาพแบบແລງเมียร์ (การคุณภาพแบบชั้นเดียว) มากกว่าไอโซเทอมการคุณภาพแบบฟรุนดิช และปริมาณการคุณภาพแบบชั้นเดียวสูงสุด ( $q_m$ ) ของการคุณภาพสีข้อม RB5 ที่อุณหภูมิ 25 35 45 และ 55°C มีค่าเท่ากับ 82.64 94.34 111.11 และ 138.89 mg/g ตามลำดับ และสีข้อม MO ที่อุณหภูมิ 25 35 45 และ 55°C มีค่าเท่ากับ 68.49 84.75 100.00 และ 123.46 mg/g ตามลำดับ

การทดลองส่วนที่ 2 การศึกษาอัตราการคุณภาพ พบร้า อัตราการคุณภาพของสีข้อมทั้งสองชนิดมีความสอดคล้องกับสมการอัตราการคุณภาพอันดับสองเทียน (ชั้นตอนการเกิดปฏิกิริยาเคมีที่พื้นผิวของตัวคุณภาพเกิดขึ้นได้ช้าที่สุด) มากกว่าสมการอัตราการคุณภาพอันดับหนึ่งเทียน และค่าคงที่ของการเกิดปฏิกิริยาเคมี ( $k_2$ ) ของการคุณภาพสีข้อม RB5 ที่อุณหภูมิ 25 - 55°C มีค่าอยู่ในช่วง  $1.89 \times 10^3 - 8.51 \times 10^3$  g/mg\*min และสีข้อม MO ที่อุณหภูมิ 25 - 55°C มีค่าอยู่ในช่วง  $1.15 \times 10^3 - 6.15 \times 10^3$  g/mg\*min สำหรับการศึกษาอิทธิพลของเวลาสัมผัสต่อปริมาณการคุณภาพ พบร้า ปริมาณการคุณภาพของสีข้อมทั้งสองชนิดเพิ่มขึ้นอย่างรวดเร็วในช่วงแรก และจะเข้าสู่ส่วนคลื่น การคุณภาพภายในเวลา 60 นาที และการศึกษาอิทธิพลของอุณหภูมิต่ออัตราการคุณภาพ พบร้า อัตราการคุณภาพจะเพิ่มขึ้น ตามการเพิ่มขึ้นของอุณหภูมิการคุณภาพ

จากการศึกษาการดูดซับสีข้อม RB5 และ MO ในระบบหอดูดซับแบบเบ肯นิ่ง ที่ความสูงของเบค ความเข้มข้นเริ่มต้น และอัตราการไหลแตกต่างกัน พบว่า ปริมาณการดูดซับจะเพิ่มขึ้นตาม การเพิ่มขึ้นของความสูงของเบค และความเข้มข้นเริ่มต้น แต่จะลดลงเมื่ออัตราการไหลเพิ่มขึ้น ซึ่ง การดูดซับสีข้อม RB5 ในระบบหอดูดซับแบบเบ肯นิ่ง ควรเลือกใช้ความสูงของเบคเท่ากับ 25 cm ความเข้มข้นเริ่มต้นเท่ากับ 200 mg/L และอัตราการไหลเท่ากับ 3.56 mL/min ส่วนการดูดซับสีข้อม MO ในระบบหอดูดซับแบบเบ肯นิ่ง ควรเลือกใช้ความสูงของเบคเท่ากับ 25 cm ความเข้มข้นเริ่มต้น เท่ากับ 200 mg/L และอัตราการไหลเท่ากับ 9.19 mL/min

## 5.2 ข้อเสนอแนะ

5.2.1 ควรศึกษาเปรียบเทียบกับตัวดูดซับชนิดอื่น ๆ ในการดูดซับสีข้อม เช่น ถ่าน กัมมันต์ และ มวลชีวภาพ เป็นต้น

5.2.2 ควรศึกษาโดยใช้สารชนิดอื่น ๆ ในการนำมารักษาและรักษา MMT เพื่อให้มี ประสิทธิภาพในการดูดซับสีข้อมที่ดียิ่งขึ้น เช่น สาร Tetramethyl – ammonium (TMA), Tetradecyl trimethylhexadecylammonium (TDMA) และ Hexadecyltrimethylammonium (HDTMA) เป็นต้น

5.2.3 ควรศึกษาการดูดซับสีข้อมชนิดอื่น ๆ เช่น สีเอซิด สีไคเร็กท์ สีเบสิก สีดิสเพอร์ส และสีชัลเฟอร์ เป็นต้น

5.2.4 ควรศึกษาการดูดซับน้ำจิรงที่มีสีข้อม เพราะมีสารตัวอื่น ๆ อยู่ ซึ่งอาจส่งผล กระทบต่อประสิทธิภาพการดูดซับ

เอกสารอ้างอิง

## เอกสารอ้างอิง

- จักรกฤษณ์ อัมพุช. การกำจัดสีข้อมในน้ำทึ้งจากการบวนการย้อมผ้าในระดับอุตสาหกรรมครัวเรือนโดยใช้แร่คินมอนต์มอริลโลไนต์. วิทยานิพนธ์ปริญญาวิศวกรรมศาสตรมหาบัณฑิต : มหาวิทยาลัยเทคโนโลยีสุรนารี, 2549.
- จักรกฤษณ์ อัมพุช และรัตนวรรณ (วิญูลย์สวัสดิ์) เกียรติโภมล. “込んで脱色のためのアゾ染料の吸着による繊維の脱色”、“การดูดซับสารอินทรีย์จากน้ำโดยใช้แร่คินมอนต์มอริลโลไนต์ในระบบถังกวาน”, วิศวกรรมสารสนับสนุนวิจัยและพัฒนา. 17(3): 40-47, 2549.
- เดชา ฉัตรศิริเวช. กระบวนการดูดซับ. พิมพ์ครั้งที่ 1. กรุงเทพมหานคร : สำนักพิมพ์แห่งจุฬาลงกรณ์มหาวิทยาลัย, 2552.
- ปิยมากรณ์ จาเรววงศ์. การดูดซับสารอินทรีย์จากน้ำโดยใช้แร่คินมอนต์มอริลโลไนต์. วิทยานิพนธ์ปริญญาวิศวกรรมศาสตรมหาบัณฑิต : มหาวิทยาลัยเทคโนโลยีสุรนารี, 2545.
- ปิยมากรณ์ จาเรววงศ์ และรัตนวรรณ เกียรติโภมล. “การดูดซับสารอินทรีย์จากน้ำโดยใช้แร่คินมอนต์มอริลโลไนต์ธรรมชาติ และ Organo-clays”, วารสารเทคโนโลยีสุรนารี. 11(1) : 39-51 ; มกราคม-มีนาคม, 2547.
- Ahmad, A.A. and Hameed, B.H. “Fixed-bed adsorption of reactive azo dye onto granular activated carbon prepared from waste”, Journal of Hazardous Materials. 175: 298-303, 2010.
- Aksu, Z. “Adsorption of biosorption for the removal of organic pollutants: a review”, Process Biochemistry. 40: 997-1026, 2005.
- Alkan, M. and et al. “Adsorption kinetics and mechanism of maxilon blue 5G dye on sepiolite from aqueous solutions”, Chemical Engineering Journal. 139: 213-223, 2008.
- Almeida, C.A.P., and et al. “Removal of methylene blue from colored effluents by adsorption on montmorillonite clay”, Journal of Colloid and Interface Science. 332: 46-53, 2009.
- Al-Degs, Y.S. and et al. “Effect of solution pH, ionic strength, and temperature on adsorption behavior of reactive dyes on activated carbon”, Dyes and Pigments. 77: 16-23, 2008.
- An, J.-H. and Dultz, S. “Adsorption of tannic acid on chitosan-montmorillonite as a function of pH and surface charge properties”, Applied Clay Science. 36: 256-264, 2007.

### ເອກສາຣອ້າງອີງ (ຕ່ອ)

- Auta, M. and Hameed, B.H. "Optimized waste tea activated carbon for adsorption of methylene blue and acid blue 29 dyes using response surface methodology", Chemical Engineering Journal. 175: 233-243, 2011.
- Barron-Zambrano, J. and et al. "Biosorption of Reactive Black 5 from aqueous solutions by chitosan: Column studies", Journal of Environmental Management. 91: 2669-2675, 2010.
- Chen, J.P. and Wang, L. "Characterization of metal adsorption kinetic properties in batch and fixed-bed reactors", Chemosphere. 54: 397-404, 2004.
- Chen, D. and et al. "Characterization of anion-cationic surfactants modified montmorillonite and its application for removal of methyl orange" Chemical Engineering Journal. 171: 1150-1158, 2011.
- Dambies, L. and et al. "Characterization of metal ion interactions with chitosan by X-ray photoelectron spectroscopy", Colloids Surf., Colloids and Surfaces A: Physicochemical and Engineering Aspects. 177: 203-214, 2001.
- Darder, M., Colilla, M. and Ruiz-Hitzky, E. "Biopolymer-clay nanocomposites based on chitosan intercalated in montmorillonite" Chemistry of Materials. 15: 3774-3780, 2003.
- Elwakeel, K.Z. "Removal of Reactive Black 5 from aqueous solution using magnetic chitosan resins", Journal of Hazardous Materials. 167: 383-392, 2009.
- Elwakeel, K.Z. and Rekaby, M. "Efficient removal of Reactive Black 5 from aqueous media using glycidyl methacrylate resin modified with tetraethelenepentamine", Journal of Hazardous Materials. 188: 10-18, 2011.
- Farran, A. and Chentouf, A. "Study of the behaviour of azinphos-methyl in a clay mineral by batch and column leaching", Journal of Chromatography. A869: 481-485, 2000.
- Futalan, C.M. and et al. "Comparative and competitive adsorption of copper, lead, and nickel using chitosan immobilized on bentonite", Carbohydrate Polymers. 83: 528-536, 2011.

### เอกสารอ้างอิง (ต่อ)

- Haque, E., Jun, J.W. and Jhung S.H. "Adsorptive removal of methyl orange and methylene blue from aqueous solution with a metal-organic framework material, iron terephthalate (MOF-235)", Journal of Hazardous Materials. 185: 507-511, 2011.
- Juang, R., Lin, S. and Tsao, K. "Sorption of phenols from water in column systems using surfactant-modified montmorillonite", Journal of Colloid and Interface Science. 269: 46-52, 2004.
- Kan, T. and et al. "Removal of methyl orange from aqueous solutions using a bentonite modified with a new gemini surfactant", Applied Clay Science. 54: 184 – 187, 2011.
- Karaoglu, M.H., Dogan, M. and Alkan, M. "Kinetic analysis of reactive blue 221 adsorption on kaolinite", Desalination. 256: 154-165, 2010.
- Kittinaovarat, S., Kansomwan, P. and Jiratumnukul, N. "Chitosan/modified montmorillonite beads and adsorption reactive red 120", Applied clay Science. 48: 87-91, 2010.
- Kucukosmanoglu, M., Gezici, O. and Ayar, A. "The adsorption behaviors of Methylene Blue and Methyl Orange in a diaminoethane sporopollenin-mediated column system", Separation and Purification Technology. 52: 280-287, 2006.
- Lin, S., Juang, R. and Wang, Y. "Adsorption of acid dye from water onto pristine and acidactivated clays in fixed beds", Journal of Hazardous Materials. B 113: 195-200, 2004.
- McCabe, W.L., Smith, J.C. and Harriott, P. Unit Operations of Chemical Engineering. Singapore: McGraw-Hill, 2001.
- Mckay, G. Use of adsorbents for the removal of pollutants from wastewaters. New York: CRC Press, 1996.
- Mohammadi, N., and et al. "Adsorption process of methyl orange dye onto mesoporous carbon material-kinetic and thermodynamic studies", Journal of Colloid and Interface Science. 362: 457-462, 2011.

### ເອກສາຣອ້າງອີງ (ຕ່ອ)

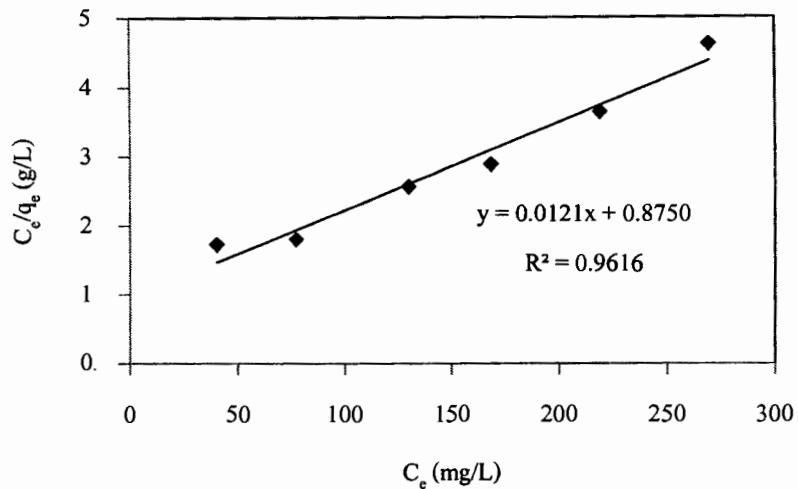
- Monvisade, P. and Siriphannon, P. "Chitosan intercalated montmorillonite : Preparation, characterization and cationic dye adsorption", Applied Clay Science. 42: 427-431, 2009.
- Nesic, A. R., Velickovic, S.J. and Antonovic, D.G. "Charaterization of chitosan/montmorillonite membranes as adsorbents for Bezactiv Orange V-3R dye", Journal of Hazardous Materials. Article in press, 2012.
- Ohtsuka, K. "Preparation and properties of two-dimensional microporous pillared interlayer solids", Chemistry of Materials. 9: 2039-2050, 1997.
- Pandy, S. and Mishra, S.B. "Organic-inorganic hybrid of chitosan/organoclay bionanocomposites for hexavalent chromium uptake", Journal of Colloid and Interface Science. 361: 509-520, 2011.
- Panneer Selvam, P., and et al. "Removal of rhodamine B from aqueous solution by adsorption onto sodium montmorillonite", Journal of Hazardous Materials. 155: 39-44, 2008.
- Rafatullah, M., and et al. "Adsorption of Methylene Blue on low-cost adsorbent", Journal of Hazardous Materials. 177: 70-80, 2010.
- Reddy, K. "Organic matter determination", Engineering Properties of Soils Based on Laboratory Testing. <http://www.uic.edu/classes/cemm/cemmlab/Experiment%202-Organic%20Content.pdf>. March, 2011.
- Reynolds, T.D. and Richards, P.A. Unit Operations and Process in Environmental Engineering. New York: PWS Publishing Company, 1996.
- Rozada, F., and et al. "Dye adsorption by sewage sludge-based activated carbons in batch and fixed-bed systems", Bioresource Technology. 87: 221-230, 2003.
- Seader, J.D. and Henley, J.E. Separation process principles. New York: John Wiley & Sons, 1998.
- Teng, M.-Y. and Lin, S.-H. "Removal of methyl orange dye from water onto raw and acid-activated montmorillonite in fixed beds", Desalination. 201: 71-81, 2006.

### ເອກສາຮ້າງອີງ (ຕ່ອ)

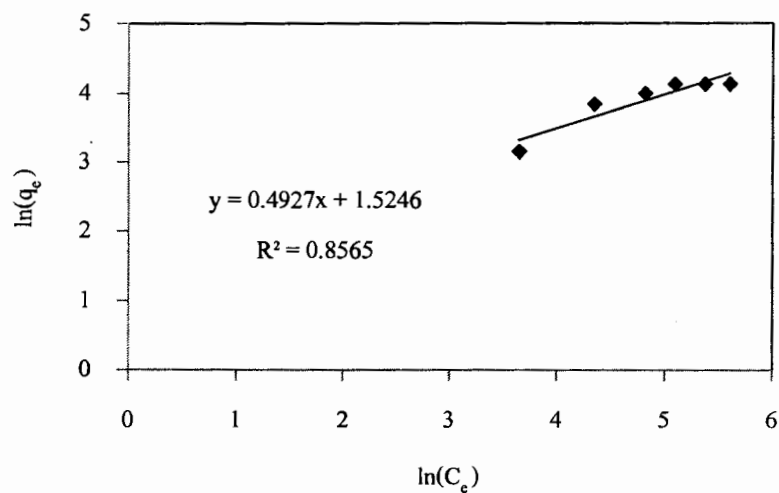
- Walker, G.M. and Weatherley, L.R. "Fixed bed adsorption of acid dyes onto activatedcarbon", Environmental Pollution. 99: 133-136, 1998.
- Wang, L. and Wang, A. "Adsorption characteristics of Congo Red onto the chitosan/montmorillonite nanocomposite", Journal of Hazardous Materials. 147: 979-985, 2007.
- Wang, L. and Wang, A. "Adsorption behaviors of Congo red on the N, O-carboxymethyl-chitosan/montmorillonite nanocomposite", Chemical Engineering Journal. 143: 43-50, 2008.
- Wang, L., Zhang, J. and Wang, A. "Removal of methylene blue from aqueous solution using chitosan-g-poly (acrylic acid)/montmorillonite superadsorbent nanocomposite", Colloids and Surfaces A: Physicochemical and Engineering Aspects. 322: 47-53, 2008.
- Wang, S.F., and et al. "Biopolymer chitosan/montmorillonite nanocomposite: Preparation and characterization", Polymer Degradation and Stability. 90: 123-131, 2005.
- Wibulswas, R. "Batch and fixed bed sorption of methylene blue on precursor and QACs modified montmorillonite", Separation and Purification Technology. 39: 3-12, 2004.
- Wu, F.C., Tseng, R.L. and Juang, R.S. "Role of pH in metal adsorption from aqueous solutions containing chelating agents onto chitosan", Industrial & Engineering Chemistry Research. 38: 270-275, 1999.
- Wu, F.C., Tseng, R.L. and Juang, R.S. "Enhanced abilities of highly swollen chitosan beads for color removal and tyrosinase immobilization", Journal of Hazardous Materials. B 81: 167-177, 2001.
- Yahya, S. and et al. "Effect of solution pH, ionic strength, and temperature on adsorption behavior of reactive dyes on activated carbon" Dyes and Pigments. 77: 16-23, 2008.
- Yao, Y. and et al. "Equilibrium and kinetic studies of methyl orange adsorption on multiwalled carbon nanotubes", Chemical Engineering Journal. 170: 82-89, 2011.

## ภาคผนวก

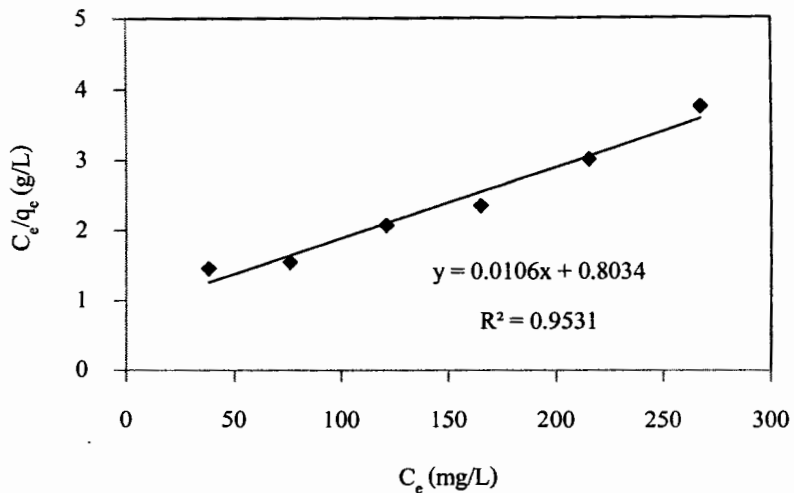
ภาคผนวก ก  
ผลการศึกษาสมดุลการดูดซับ



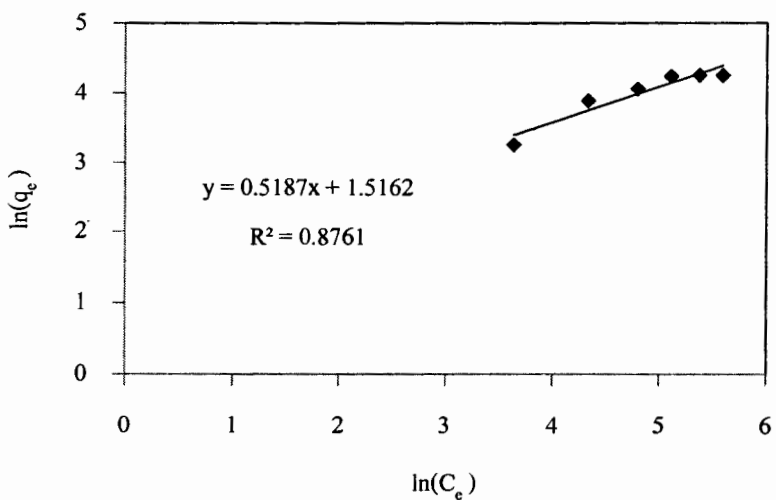
ภาพที่ ก.1 ไอโซเทอมการดูดซับแบบແลงເນີບ່ຽວຈາກນໍ້າສັງເຄຣະຫີ່ຍືອນ RB5 ໂດຍໃຊ້ຕັວດູດັບແຮ່ຄືນ CTS/MMT ປົມນາມ 0.1 g ອຸພທູນີໃນການດູດັບ 25 °C ແລະ  $pH_0 = 7 \pm 0.5$



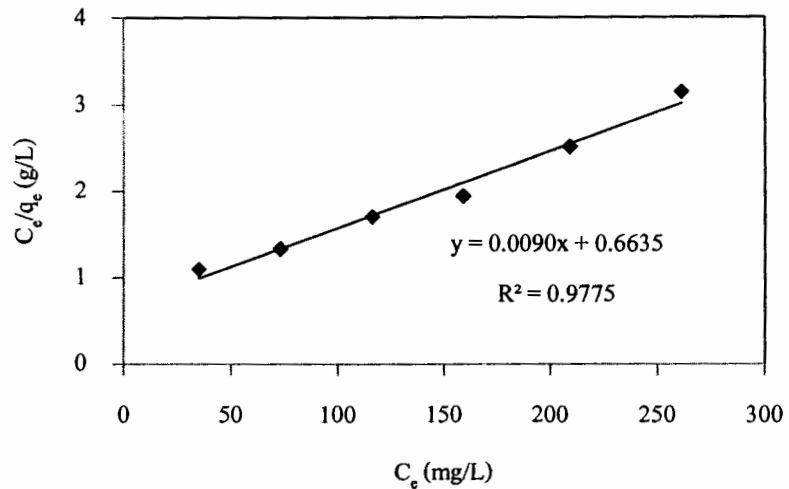
ภาพที่ ก.2 ไอโซທັມການດູດັບແບບຝຣຸນດິຈາກນໍ້າສັງເຄຣະຫີ່ຍືອນ RB5 ໂດຍໃຊ້ຕັວດູດັບແຮ່ຄືນ CTS/MMT ປົມນາມ 0.1 g ອຸພທູນີໃນການດູດັບ 25 °C ແລະ  $pH_0 = 7 \pm 0.5$



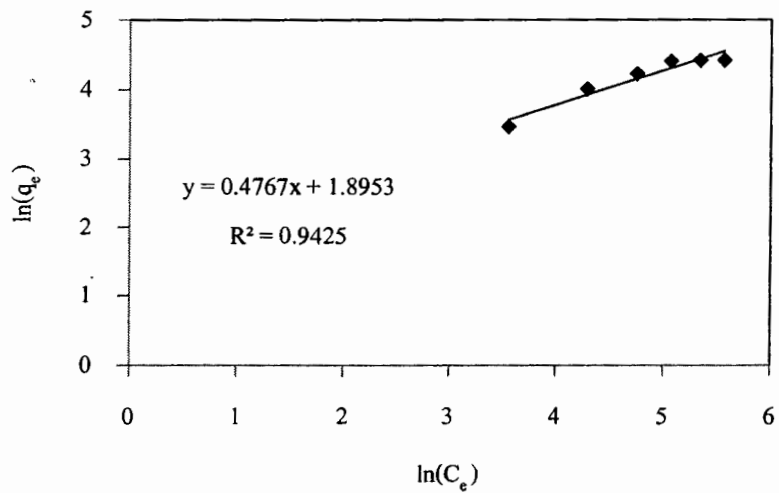
ภาพที่ ก.3 ไอโซเทอมการดูดซับแบบ Langmuir จากน้ำสีสังเคราะห์สีข้อน RB5 โดยใช้ตัวดูดซับแร่คิน CTS/MMT ปริมาณ 0.1 g อุณหภูมิในการดูดซับ 35 °C และ  $pH_0 = 7 \pm 0.5$



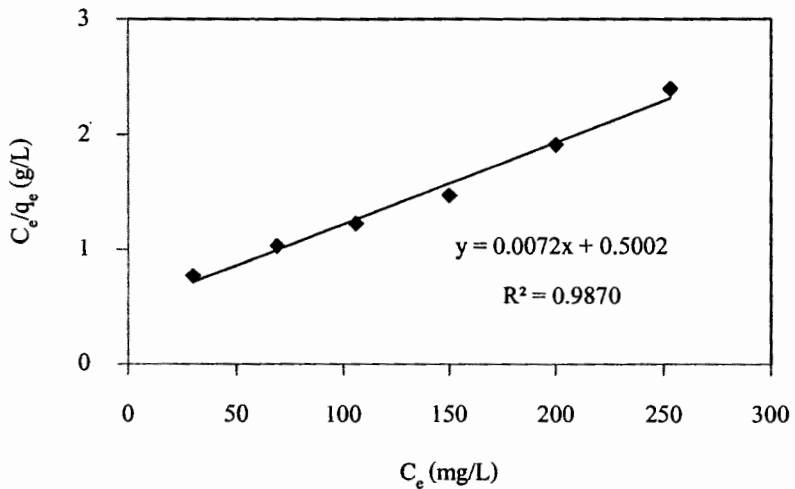
ภาพที่ ก.4 ไอโซเทอมการดูดซับแบบฟรุนเดิชจากน้ำสีสังเคราะห์สีข้อน RB5 โดยใช้ตัวดูดซับแร่คิน CTS/MMT ปริมาณ 0.1 g อุณหภูมิในการดูดซับ 35 °C และ  $pH_0 = 7 \pm 0.5$



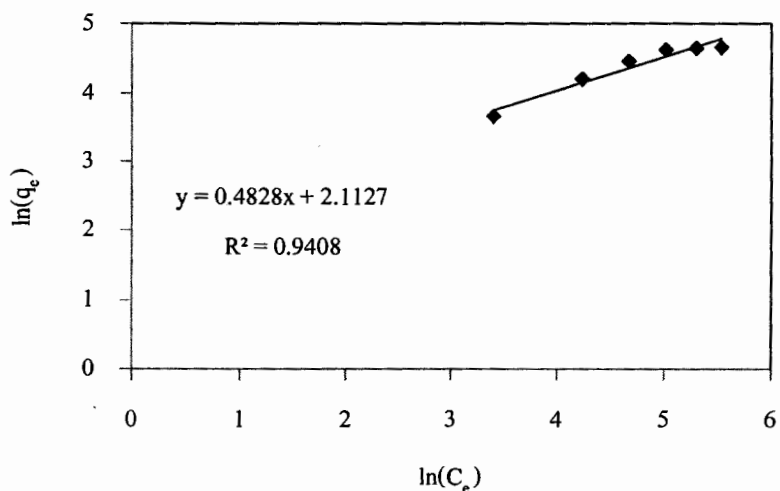
ภาพที่ ก.5 ไอโซเทอมการดูดซับแบบແลงເມີຣ໌ຈາກນ້ຳສີສັງເຄຣະທີ່ສືບ້ອນ RB5 ໂດຍໃຊ້ຕົວດູດຊັບແຮ່ດິນ CTS/MMT ປັບມາລັ 0.1 g ອຸພທຽມໃນການດູດຊັບ 45 °C ແລະ  $pH_0 = 7 \pm 0.5$



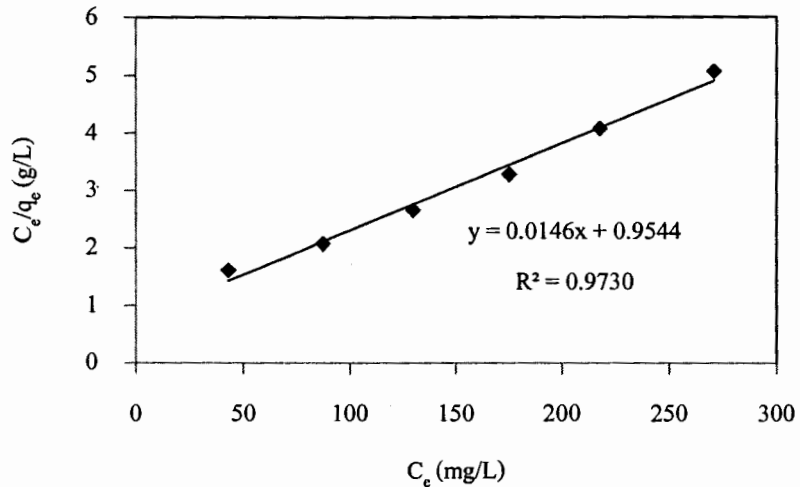
ภาพที่ ก.6 ไอโซທອມການດູດຊັບແບບຝຣຸນດີຈາກນ້ຳສີສັງເຄຣະທີ່ສືບ້ອນ RB5 ໂດຍໃຊ້ຕົວດູດຊັບແຮ່ດິນ CTS/MMT ປັບມາລັ 0.1 g ອຸພທຽມໃນການດູດຊັບ 45 °C ແລະ  $pH_0 = 7 \pm 0.5$



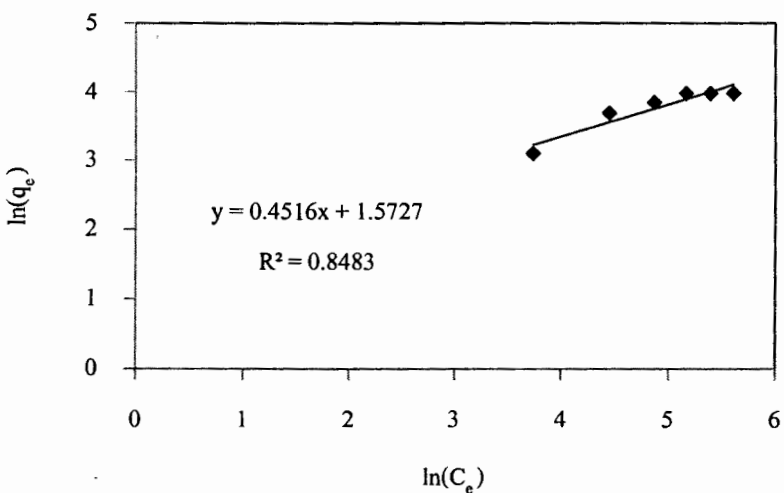
ภาพที่ ก.7 ไอโซเทอมการดูดซับแบบ Langmuir จากน้ำสีสังเคราะห์สีข้อน RB5 โดยใช้ตัวดูดซับแร่ดิน CTS/MMT ปริมาณ 0.1 g อุณหภูมิในการดูดซับ 55 °C และ  $pH_0 = 7 \pm 0.5$



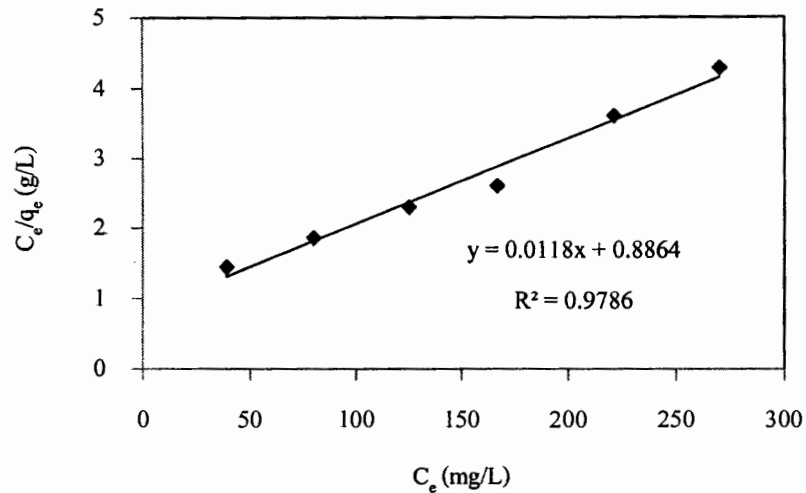
ภาพที่ ก.8 ไอโซเทอมการดูดซับแบบ Frumkin ค่าจากน้ำสีสังเคราะห์สีข้อน RB5 โดยใช้ตัวดูดซับแร่ดิน CTS/MMT ปริมาณ 0.1 g อุณหภูมิในการดูดซับ 55 °C และ  $pH_0 = 7 \pm 0.5$



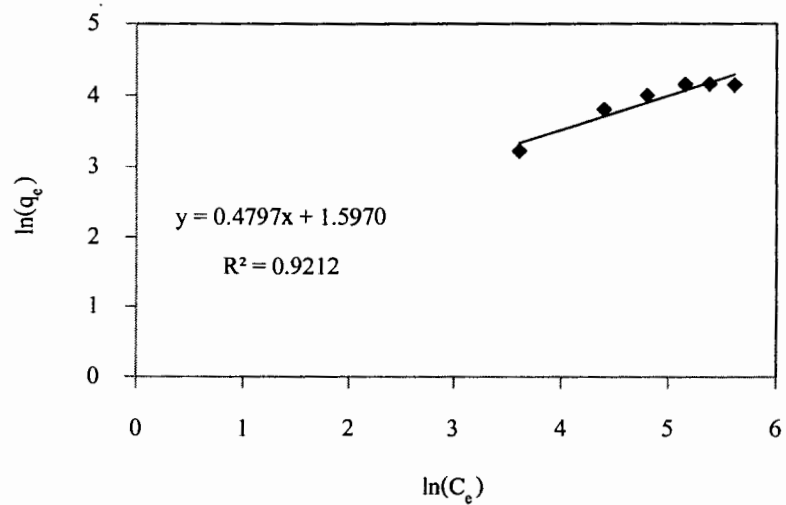
ภาพที่ ก.9 ใช้เทอมการคูดซับแบบ Langmuir จากน้ำสีสังเคราะห์สีข้อม MO โดยใช้ตัวคูดซับแร่คิน CTS/MMT ปริมาณ 0.1 g อุณหภูมิในการคูดซับ 25 °C และ  $pH_0 = 7 \pm 0.5$



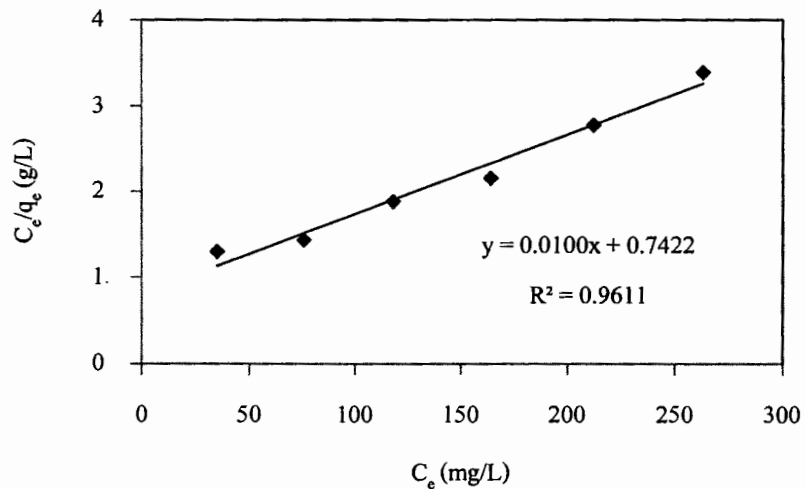
ภาพที่ ก.10 ใช้เทอมการคูดซับแบบพรุนคิชจากน้ำสีสังเคราะห์สีข้อม MO โดยใช้ตัวคูดซับแร่คิน CTS/MMT ปริมาณ 0.1 g อุณหภูมิในการคูดซับ 25 °C และ  $pH_0 = 7 \pm 0.5$



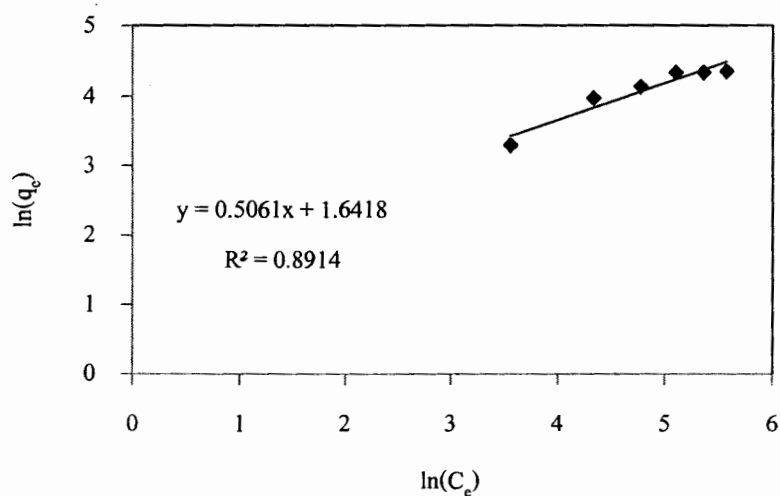
ภาพที่ ก.11 ไอโซเทอมการคูดซับแบบเมียร์จากน้ำสีสังเคราะห์สีเข้ม MO โดยใช้ตัวคูดซับแร่คิน CTS/MMT ปริมาณ 0.1 g อุณหภูมิในการคูดซับ 35 °C และ  $pH_0 = 7 \pm 0.5$



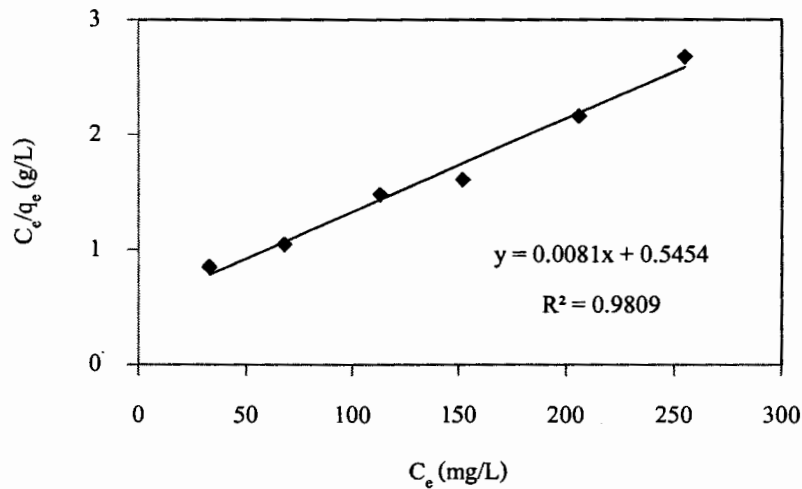
ภาพที่ ก.12 ไอโซเทอมการคูดซับแบบฟรุนคิชจากน้ำสีสังเคราะห์สีเข้ม MO โดยใช้ตัวคูดซับแร่คิน CTS/MMT ปริมาณ 0.1 g อุณหภูมิในการคูดซับ 35 °C และ  $pH_0 = 7 \pm 0.5$



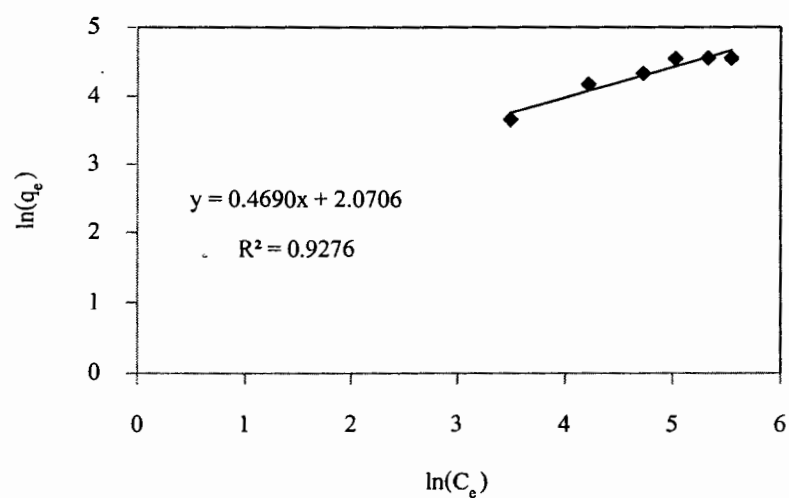
ภาพที่ ก.13 ໄອโซเทอมการดูดซับแบบเมียร์จากน้ำสีสังเคราะห์สีข้ม MO โดยใช้ตัวดูดซับเรื่อง CTS/MMT ปริมาณ 0.1 g อุณหภูมิในการดูดซับ 45 °C และ  $pH_0 = 7 \pm 0.5$



ภาพที่ ก.14 ໄອโซเทอมการดูดซับแบบฟรุนคิชจากน้ำสีสังเคราะห์สีข้ม MO โดยใช้ตัวดูดซับเรื่อง CTS/MMT ปริมาณ 0.1 g อุณหภูมิในการดูดซับ 45 °C และ  $pH_0 = 7 \pm 0.5$



ภาพที่ ก.15 ไอโซเทอมการคุณซับแบบ Langmuir จากน้ำสีสังเคราะห์สีข้อม MO โดยใช้ตัวคุณซับแร่ดิน CTS/MMT ปริมาณ 0.1 g อุณหภูมิในการคุณซับ 55 °C และ  $pH_0 = 7 \pm 0.5$



ภาพที่ ก.16 ไอโซเทอมการคุณซับแบบพรุนดิชจากน้ำสีสังเคราะห์สีข้อม MO โดยใช้ตัวคุณซับแร่ดิน CTS/MMT ปริมาณ 0.1 g อุณหภูมิในการคุณซับ 55 °C และ  $pH_0 = 7 \pm 0.5$

ตารางที่ ก.1 ปริมาณการดูดซับที่สมดุล ( $q_e$ ) ของสีข้อม RB5 ที่อุณหภูมิและความเข้มข้นเริ่มต้นแตกต่างกัน

อุณหภูมิ (°C)	ชุดควบคุม						ชุดการทดลอง					
	ปริมาณการดูดซับที่สมดุล (mg/g) ที่ $C_0$ (mg/L) แตกต่างกัน						ปริมาณการดูดซับที่สมดุล (mg/g) ที่ $C_0$ (mg/L) แตกต่างกัน					
	50	100	150	200	250	300	50	100	150	200	250	300
25	0	0	2.2	0	1.5	2.6	26.7	46.7	53.3	62.2	62.2	62.2
35	0	0	1.2	0	0	2.2	28.9	48.9	62.2	71.1	71.1	71.1
45	2.2	1.8	0	0	2.3	2.4	35.6	53.3	66.7	82.2	84.4	82.2
55	0	2.1	2.4	0	0	3.4	42.2	68.9	86.7	102.2	104.4	106.7

หมายเหตุ : ปริมาณการดูดซับก่อนการดูดซับมีค่าเท่ากับ 0 mg/g

ตารางที่ ก.2 ปริมาณการดูดซับที่สมดุล ( $q_e$ ) ของสีข้อม MO ที่อุณหภูมิและความเข้มข้นเริ่มต้นแตกต่างกัน

อุณหภูมิ (°C)	ชุดควบคุม						ชุดการทดลอง					
	ปริมาณการดูดซับที่สมดุล (mg/g) ที่ $C_0$ (mg/L) แตกต่างกัน						ปริมาณการดูดซับที่สมดุล (mg/g) ที่ $C_0$ (mg/L) แตกต่างกัน					
	50	100	150	200	250	300	50	100	150	200	250	300
25	0	0	2.8	0	3.2	2.3	23.3	38.8	46.6	54.4	54.4	54.4
35	0	0	0	2.3	3.1	3.3	27.2	42.7	54.3	62.1	62.1	62.1
45	0	2.6	3.4	3.5	0	2.5	31.1	50.5	62.2	73.8	77.7	73.7
55	3.1	0	3.2	0	2.3	0	38.8	62.1	77.6	93.2	97.1	93.2

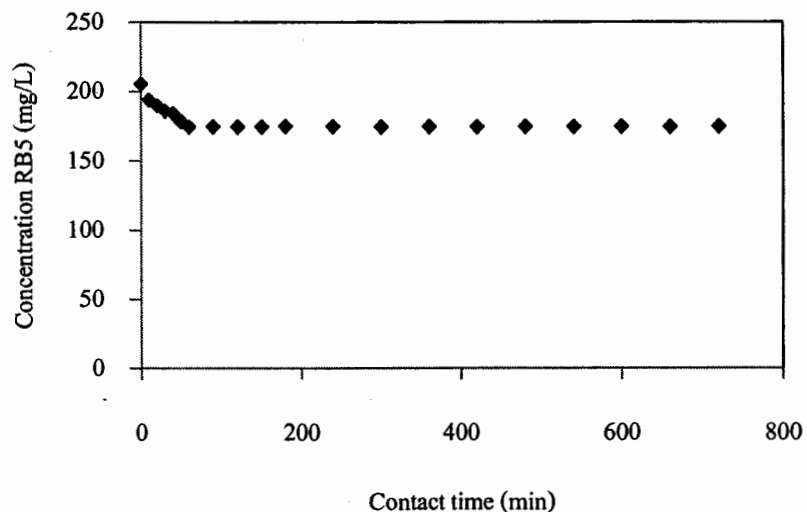
หมายเหตุ : ปริมาณการดูดซับก่อนการดูดซับมีค่าเท่ากับ 0 mg/g

ตารางที่ ก.3 ปริมาณการคูดซับที่สมดุล ( $q_s$ ) ของสีขึ้นร่อง RB5 และ MO ที่ค่าพีเอชเริ่มต้นแตกต่างกัน

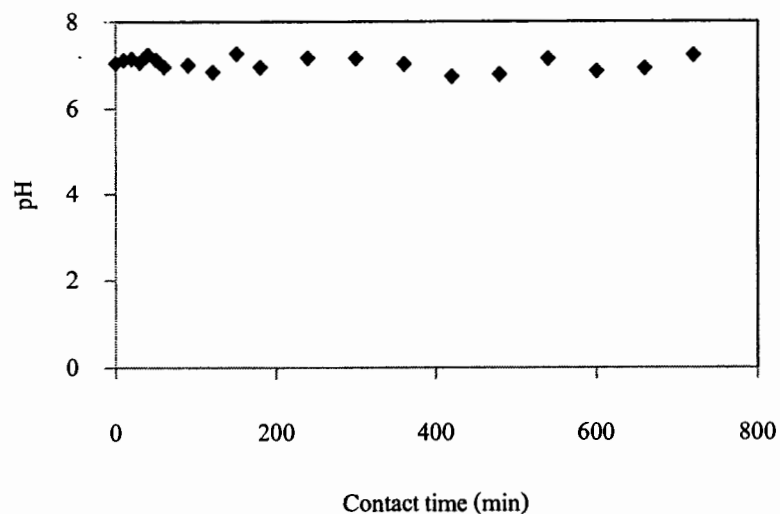
ชนิดสีขึ้นร่อง		ปริมาณการคูดซับที่สมดุล (mg/g) ที่พีเอชแตกต่างกัน				
		2	4	6	8	10
RB5	ชุดควบคุม	4.45	1.22	0	0	2.23
	ชุดการทดลอง	111.11	91.11	64.44	57.78	48.89
MO	ชุดควบคุม	1.48	0	3.89	0	0
	ชุดการทดลอง	97.09	69.90	58.25	50.48	38.83

หมายเหตุ : ปริมาณการคูดซับก่อนการคูดซับมีค่าเท่ากับ 0 mg/g

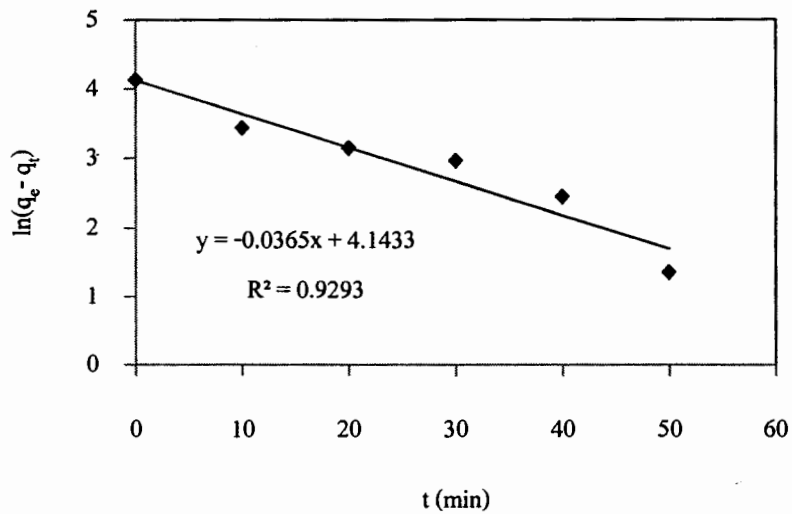
**ภาคผนวก ฯ**  
**ผลการศึกษาจ่อนพลศาสตร์การดูดซับ**



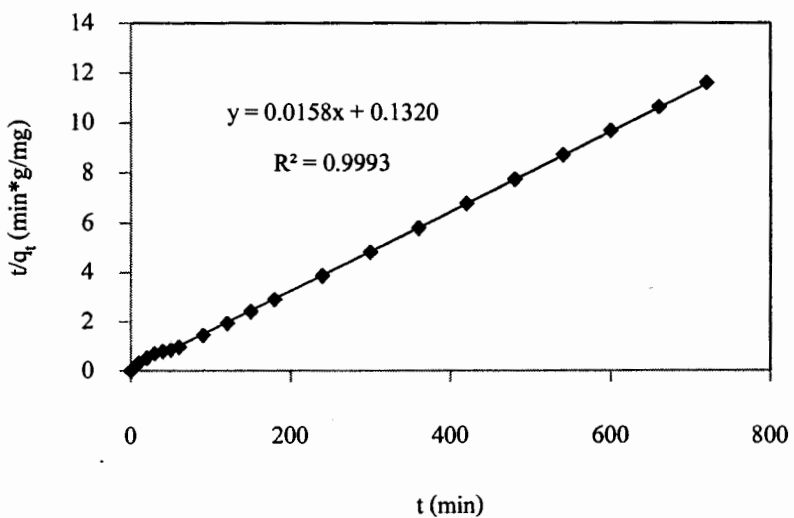
ภาพที่ X.1 ความสัมพันธ์ระหว่างความเข้มข้นของน้ำสีสังเคราะห์สีข้อม RB5 กับเวลาสัมผัส ที่  $C_0 = 205.31 \text{ mg/L}$  โดยใช้ตัวคุณชับแร่คิน CTS/MMT ปริมาณ  $0.1 \text{ g}$  อุณหภูมิในการคุณชับ  $25^\circ\text{C}$  และ  $\text{pH}_0 = 7 \pm 0.5$



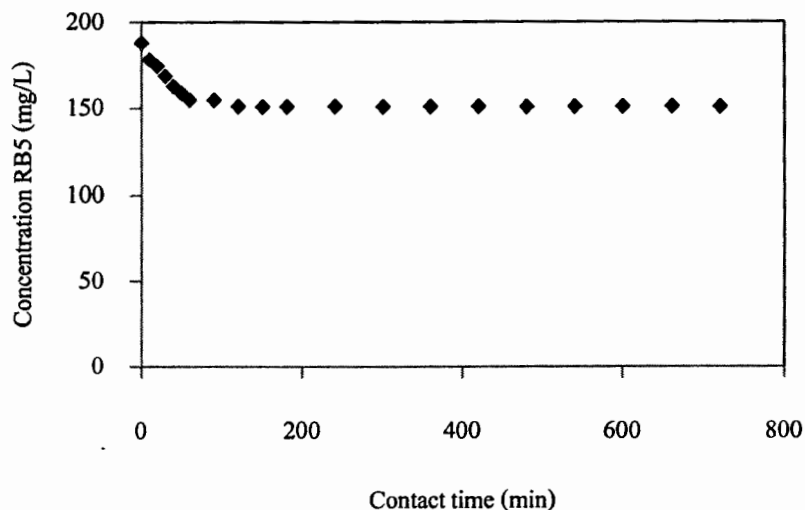
ภาพที่ X.2 ความสัมพันธ์ระหว่างค่า pH ของน้ำสีสังเคราะห์สีข้อม RB5 กับเวลาสัมผัส โดยใช้แร่คิน CTS/MMT เป็นตัวคุณชับ อุณหภูมิในการคุณชับ  $25^\circ\text{C}$  และ  $\text{pH}_0 = 7 \pm 0.5$



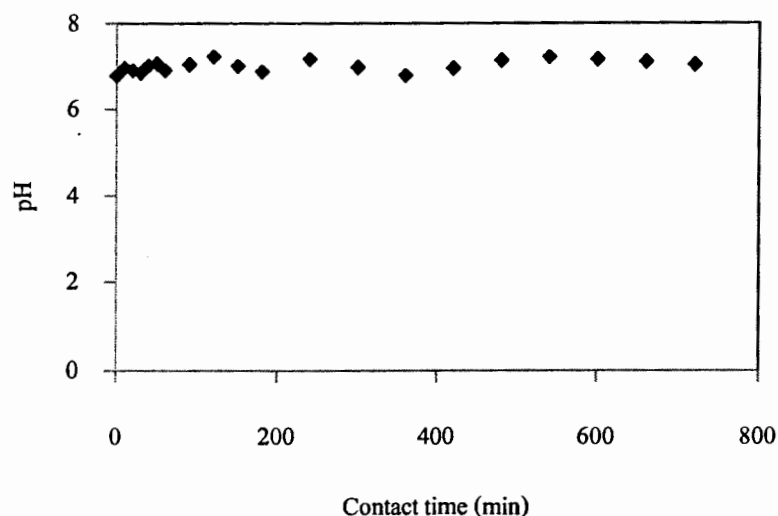
ภาพที่ ข.3 แบบจำลองอัตราการดูดซับอันดับหนึ่งเทียน (Pseudo-first order) ของการดูดซับสีเย็บ RB5 ที่  $C_0 = 205.31 \text{ mg/L}$  โดยใช้ตัวดูดซับแร่คิน CTS/MMT ปริมาณ  $0.1 \text{ g}$  อุณหภูมิใน การดูดซับ  $25^\circ\text{C}$  และ  $\text{pH}_0 = 7 \pm 0.5$



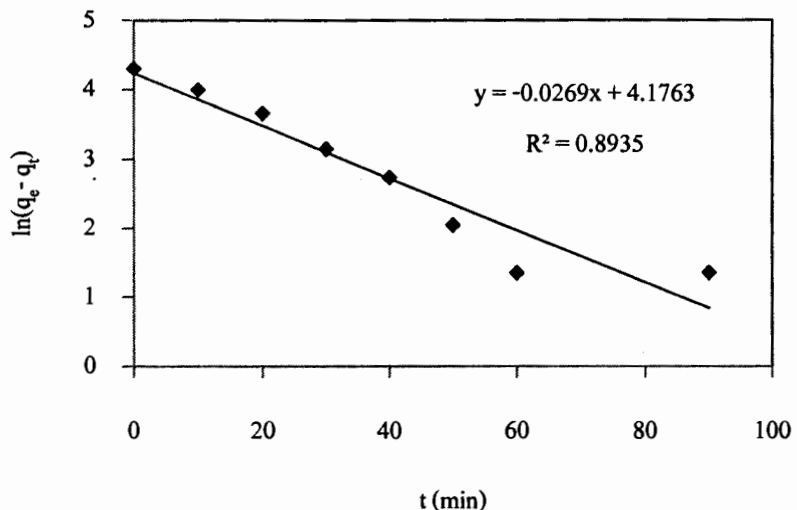
ภาพที่ ข.4 แบบจำลองอัตราการดูดซับอันดับสองเทียน (Pseudo-second order) ของการดูดซับสีเย็บ RB5 ที่  $C_0 = 205.31 \text{ mg/L}$  โดยใช้ตัวดูดซับแร่คิน CTS/MMT ปริมาณ  $0.1 \text{ g}$  อุณหภูมิใน การดูดซับ  $25^\circ\text{C}$  และ  $\text{pH}_0 = 7 \pm 0.5$



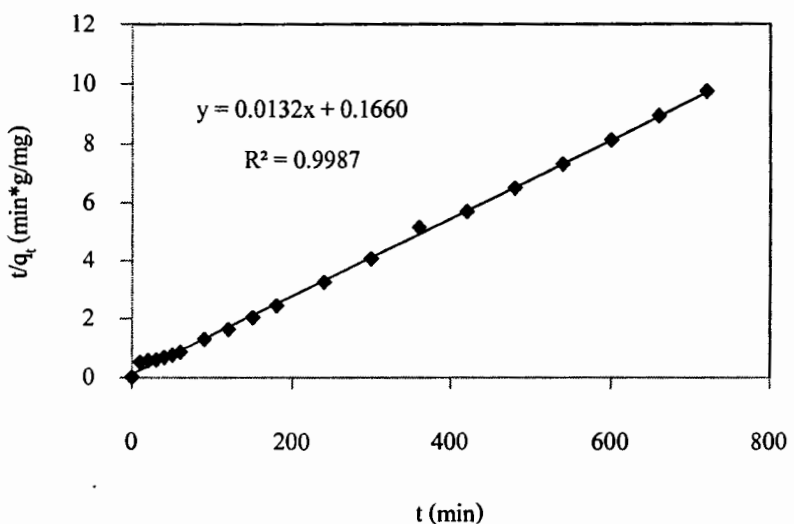
ภาพที่ ๖.๕ ความสัมพันธ์ระหว่างความเข้มข้นของน้ำสีสังเคราะห์สีข้อม RB5 กับเวลาสัมผัส ที่  $C_0 = 187.83 \text{ mg/L}$  โดยใช้ตัวดูดซับแร่คิน CTS/MMT ปริมาณ  $0.1 \text{ g}$  อุณหภูมิในการดูดซับ  $35^\circ\text{C}$  และ  $\text{pH}_0 = 7 \pm 0.5$



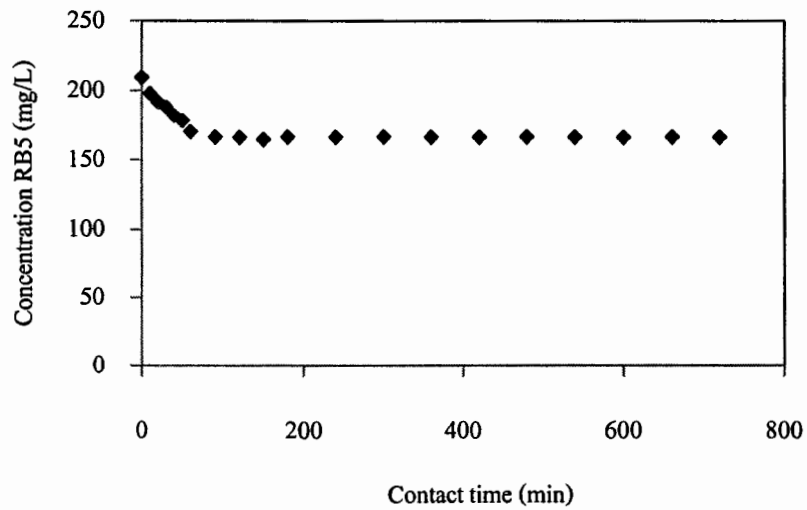
ภาพที่ ๖.๖ ความสัมพันธ์ระหว่างค่า pH เอขอของน้ำสีสังเคราะห์สีข้อม RB5 กับเวลาสัมผัส โดยใช้แร่คิน CTS/MMT เป็นตัวดูดซับ อุณหภูมิในการดูดซับ  $35^\circ\text{C}$  และ  $\text{pH}_0 = 7 \pm 0.5$



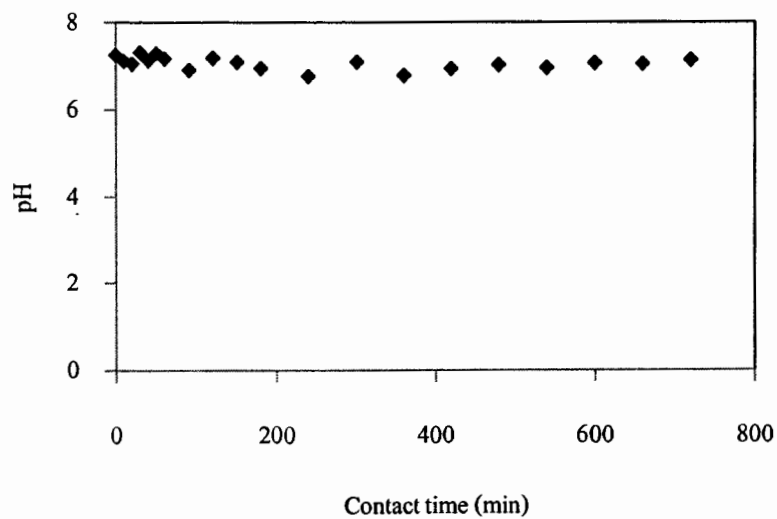
ภาพที่ ข.7 แบบจำลองอัตราการดูดซับอันดับหนึ่งเทียม (Pseudo-first order) ของการดูดซับสีข้อม RB5 ที่  $C_0 = 187.83 \text{ mg/L}$  โดยใช้ตัวดูดซับแร่คิน CTS/MMT ปริมาณ 0.1 g อุณหภูมิในการดูดซับ  $35^\circ\text{C}$  และ  $\text{pH}_0 = 7 \pm 0.5$



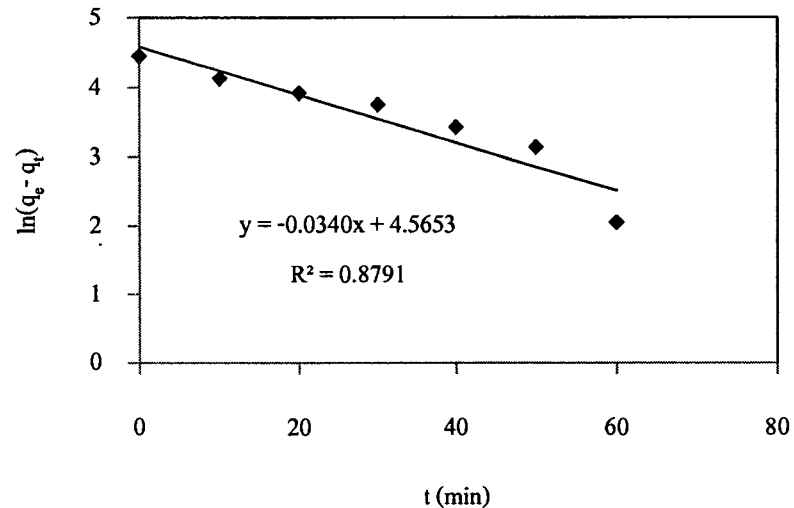
ภาพที่ ข.8 แบบจำลองอัตราการดูดซับอันดับสองเทียม (Pseudo-second order) ของการดูดซับสีข้อม RB5 ที่  $C_0 = 187.83 \text{ mg/L}$  โดยใช้ตัวดูดซับแร่คิน CTS/MMT ปริมาณ 0.1 g อุณหภูมิในการดูดซับ  $35^\circ\text{C}$  และ  $\text{pH}_0 = 7 \pm 0.5$



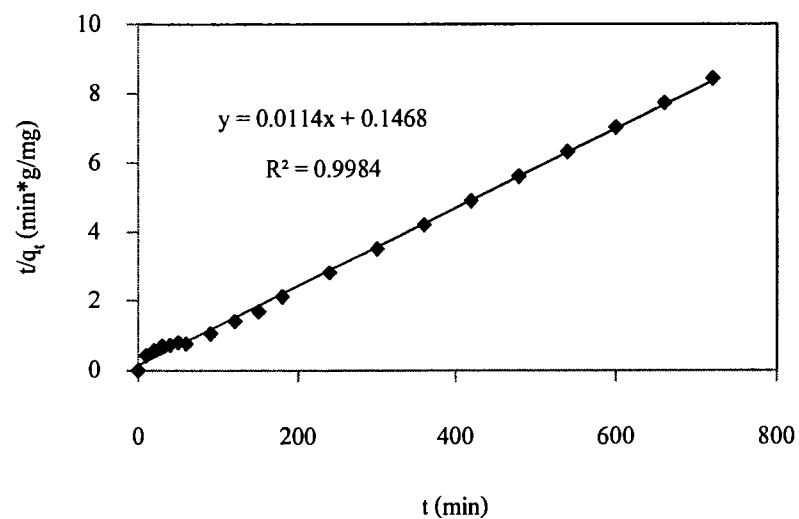
ภาพที่ ข.9 ความสัมพันธ์ระหว่างความเข้มข้นของน้ำสีสังเคราะห์สีข้อม RB5 กับเวลาสัมผัส ที่  $C_0 = 209.19 \text{ mg/L}$  โดยใช้ตัวคูดชันแร่คิน CTS/MMT ปริมาณ  $0.1 \text{ g}$  อุณหภูมิในการคูดชัน  $45^\circ\text{C}$  และ  $\text{pH}_0 = 7 \pm 0.5$



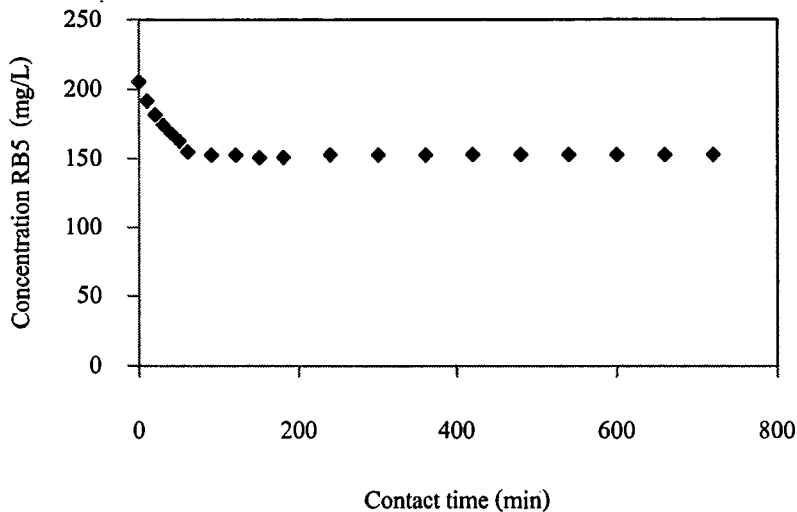
ภาพที่ ข.10 ความสัมพันธ์ระหว่างค่า pH เอชของน้ำสีสังเคราะห์สีข้อม RB5 กับเวลาสัมผัส โดยใช้แร่คิน CTS/MMT เป็นตัวคูดชัน อุณหภูมิในการคูดชัน  $45^\circ\text{C}$  และ  $\text{pH}_0 = 7 \pm 0.5$



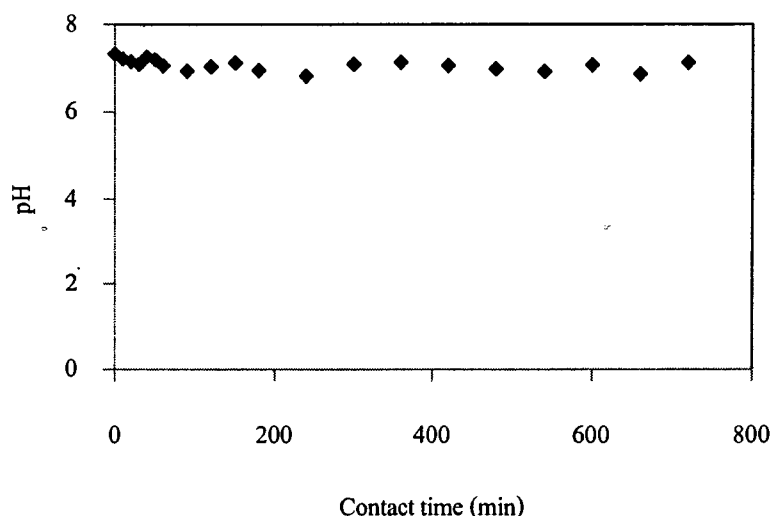
ภาพที่ ข.11 แบบจำลองอัตราการดูดซับอันดับหนึ่งเทิร์น (Pseudo-first order) ของการดูดซับสีบ้ม RB5 ที่  $C_0 = 209.19 \text{ mg/L}$  โดยใช้ตัวดูดซับแร่ดิน CTS/MMT ปริมาณ 0.1 g อุณหภูมิในการดูดซับ  $45^\circ\text{C}$  และ  $\text{pH}_0 = 7 \pm 0.5$



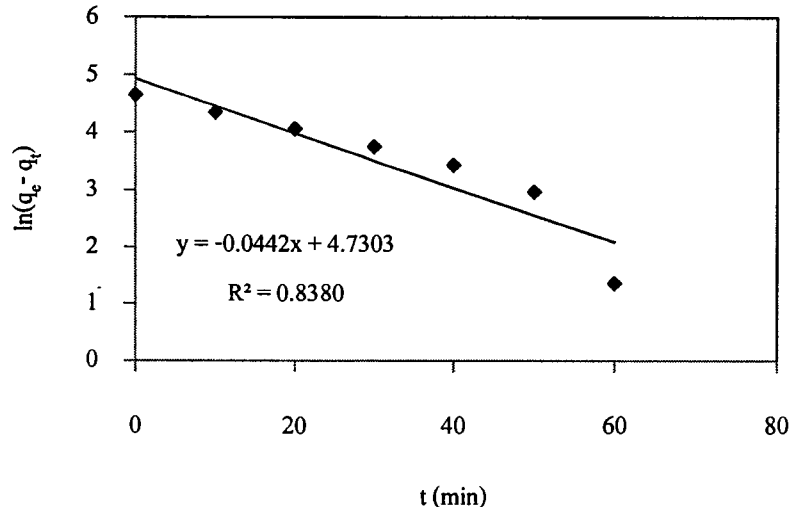
ภาพที่ ข.12 แบบจำลองอัตราการดูดซับอันดับสองเทิร์น (Pseudo-second order) ของการดูดซับสีบ้ม RB5 ที่  $C_0 = 209.19 \text{ mg/L}$  โดยใช้ตัวดูดซับแร่ดิน CTS/MMT ปริมาณ 0.1 g อุณหภูมิในการดูดซับ  $45^\circ\text{C}$  และ  $\text{pH}_0 = 7 \pm 0.5$



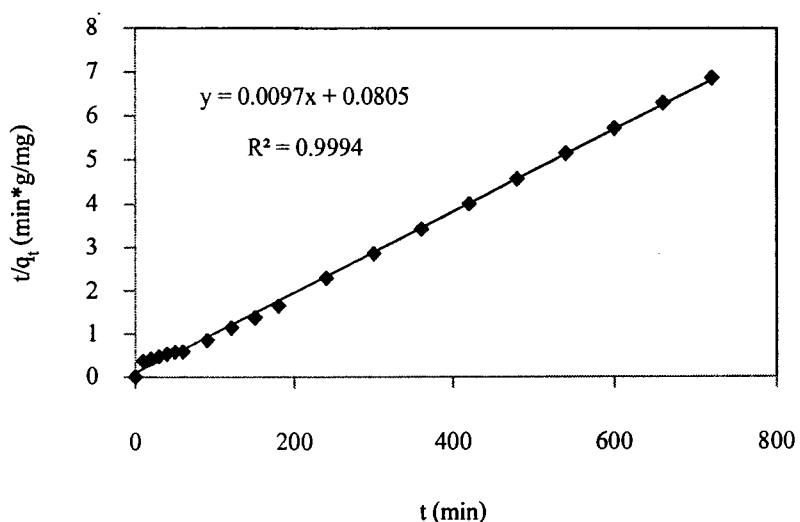
ภาพที่ ข.13 ความสัมพันธ์ระหว่างความเข้มข้นของน้ำสีสังเคราะห์สีข้อม RB5 กับเวลาสัมผัส ที่  $C_0 = 205.31 \text{ mg/L}$  โดยใช้ตัวคุณซับแร่คิน CTS/MMT ปริมาณ  $0.1 \text{ g}$  อุณหภูมิในการคุณซับ  $55^\circ\text{C}$  และ  $\text{pH}_0 = 7 \pm 0.5$



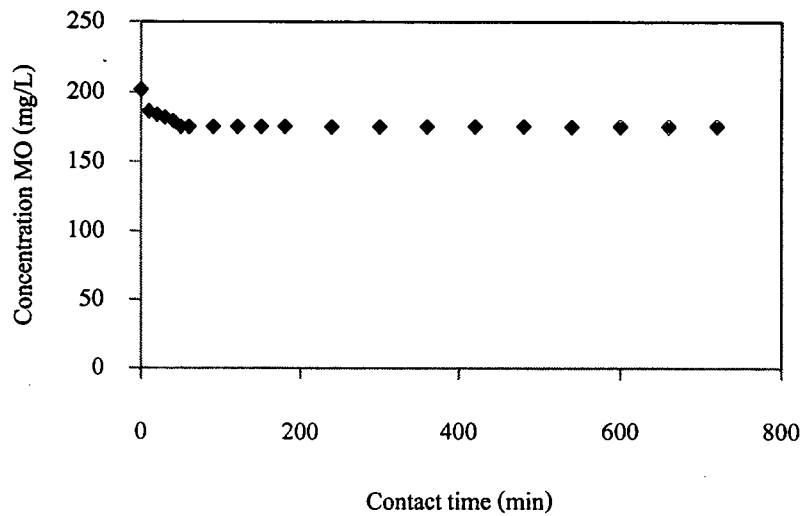
ภาพที่ ข.14 ความสัมพันธ์ระหว่างค่า pH เมื่อเวลาสัมผัส โดยใช้แร่คิน CTS/MMT เป็นตัวคุณซับ อุณหภูมิในการคุณซับ  $55^\circ\text{C}$  และ  $\text{pH}_0 = 7 \pm 0.5$



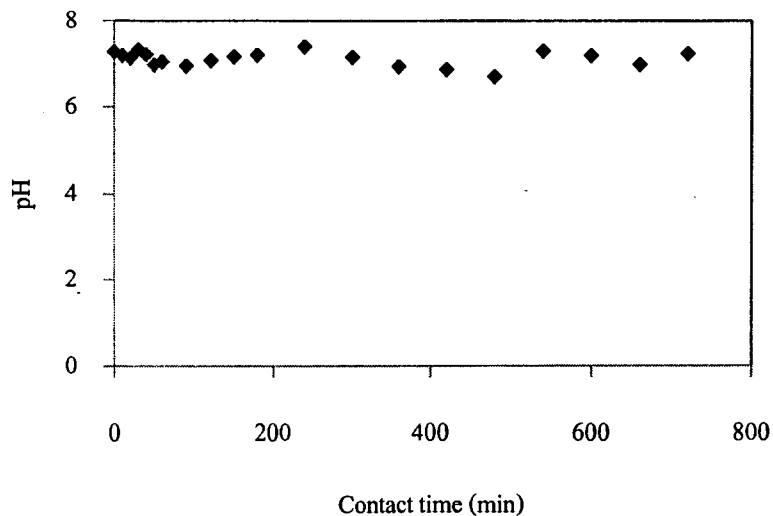
ภาพที่ ข.15 แบบจำลองอัตราการดูดซับอันดับหนึ่งเทียน (Pseudo-first order) ของการดูดซับสีขี้อ้ม RB5 ที่  $C_0 = 205.31 \text{ mg/L}$  โดยใช้ตัวดูดซับแร่คิน CTS/MMT ปริมาณ 0.1 g อุณหภูมิใน การดูดซับ  $55^\circ\text{C}$  และ  $\text{pH}_0 = 7 \pm 0.5$



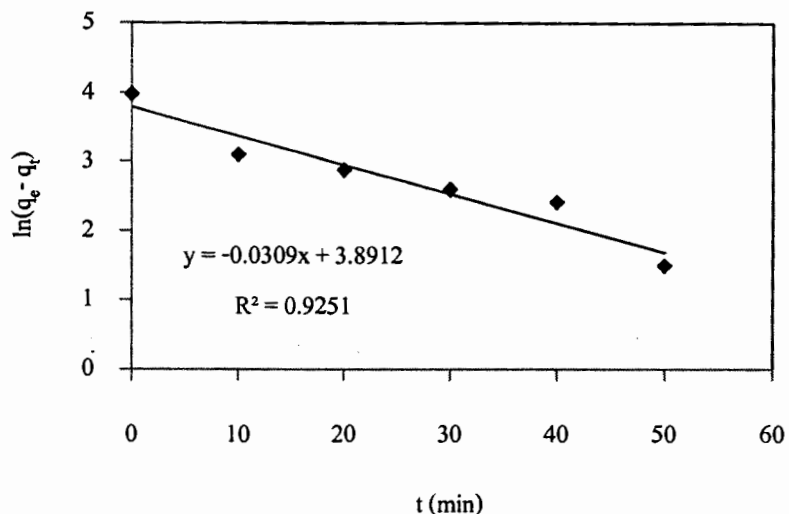
ภาพที่ ข.16 แบบจำลองอัตราการดูดซับอันดับสองเทียน (Pseudo-second order) ของการดูดซับสีขี้อ้ม RB5 ที่  $C_0 = 205.31 \text{ mg/L}$  โดยใช้ตัวดูดซับแร่คิน CTS/MMT ปริมาณ 0.1 g อุณหภูมิใน การดูดซับ  $55^\circ\text{C}$  และ  $\text{pH}_0 = 7 \pm 0.5$



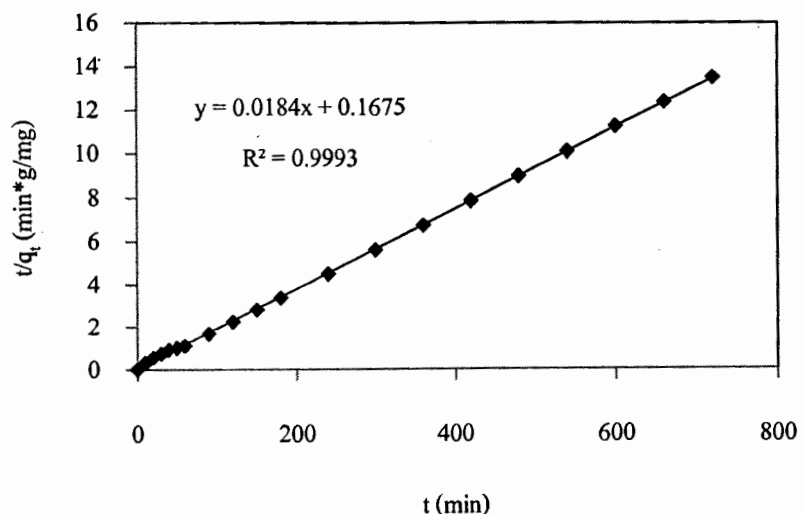
ภาพที่ ข.17 ความสัมพันธ์ระหว่างความเข้มข้นของน้ำสีสังเคราะห์สีข้อม MO กับเวลาสัมผัส ที่  $C_0 = 201.89 \text{ mg/L}$  โดยใช้ตัวคูดซับแร่คิน CTS/MMT ปริมาณ  $0.1 \text{ g}$  อุณหภูมิในการคูดซับ  $25^\circ\text{C}$  และ  $\text{pH}_0 = 7 \pm 0.5$



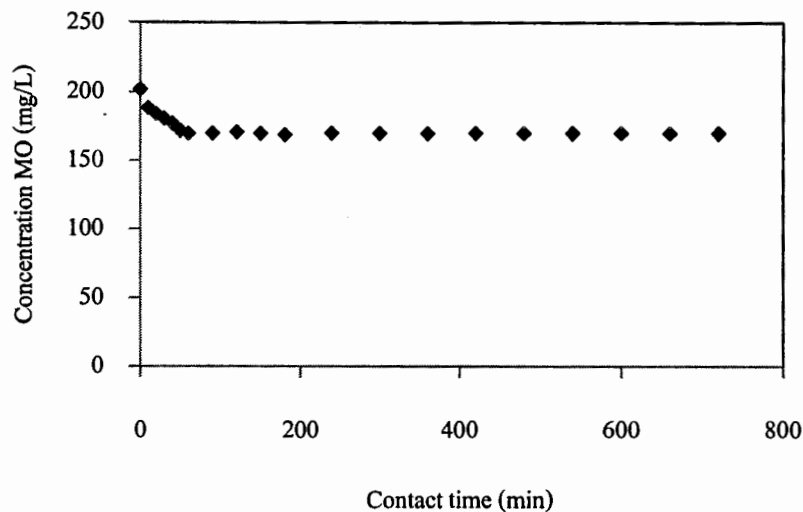
ภาพที่ ข.18 ความสัมพันธ์ระหว่างค่า pH เมื่อเวลาสัมผัส โดยใช้แร่คิน CTS/MMT เป็นตัวคูดซับ อุณหภูมิในการคูดซับ  $25^\circ\text{C}$  และ  $\text{pH}_0 = 7 \pm 0.5$



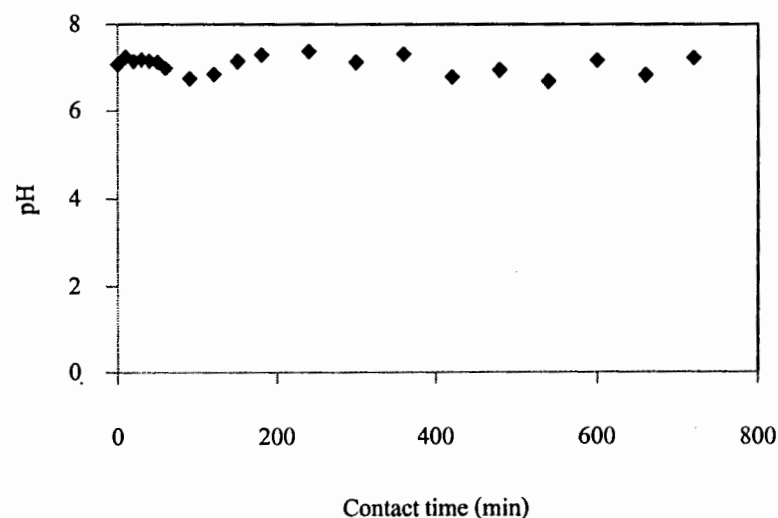
ภาพที่ X.19 แบบจำลองอัตราการดูดซับอันดับหนึ่งเทียม (Pseudo-first order) ของการดูดซับสีเย็น MO ที่  $C_0 = 201.89 \text{ mg/L}$  โดยใช้ตัวดูดซับเรซิน CTS/MMT ปริมาณ 0.1 g อุณหภูมิใน การดูดซับ  $25^\circ\text{C}$  และ  $\text{pH}_0 = 7 \pm 0.5$



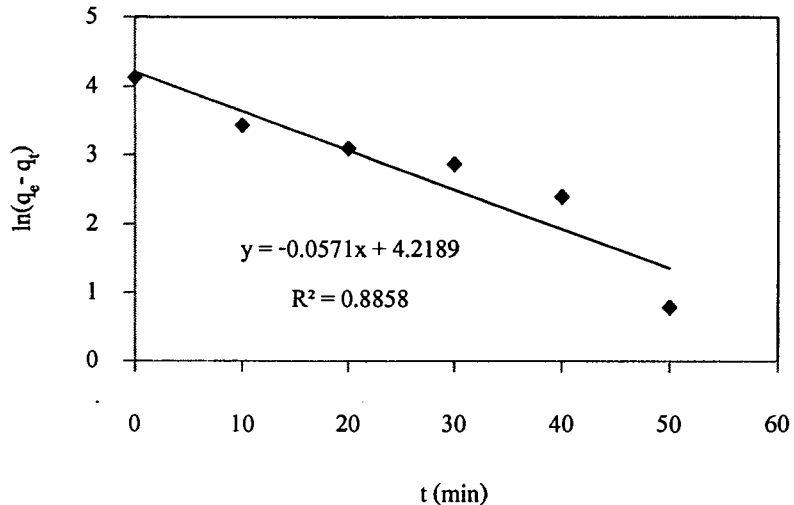
ภาพที่ X.20 แบบจำลองอัตราการดูดซับอันดับสองเทียม (Pseudo-second order) ของการดูดซับสีเย็น MO ที่  $C_0 = 201.89 \text{ mg/L}$  โดยใช้ตัวดูดซับเรซิน CTS/MMT ปริมาณ 0.1 g อุณหภูมิใน การดูดซับ  $25^\circ\text{C}$  และ  $\text{pH}_0 = 7 \pm 0.5$



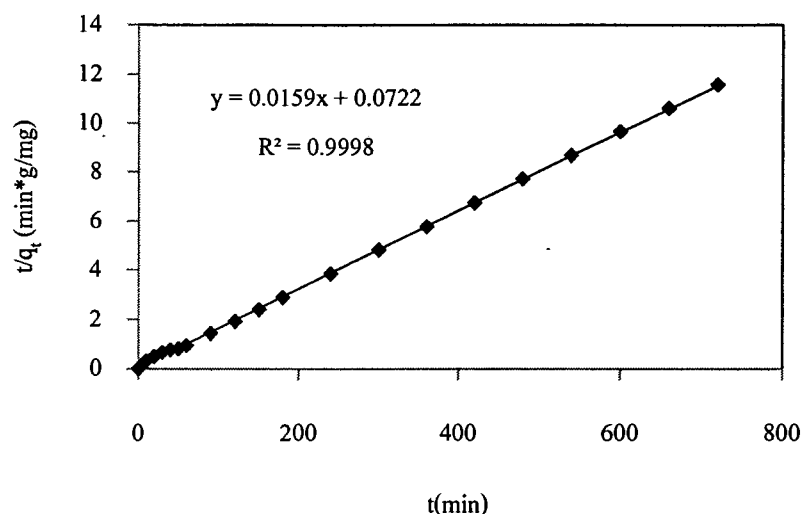
ภาพที่ ข.21 ความสัมพันธ์ระหว่างความเข้มข้นของน้ำสีสังเคราะห์ทึ่ง MO กับเวลาสัมผัส ที่  $C_0 = 201.89 \text{ mg/L}$  โดยใช้ตัวคุณซับแร่ดิน CTS/MMT ปริมาณ  $0.1 \text{ g}$  อุณหภูมิในการคุณซับ  $35^\circ\text{C}$  และ  $\text{pH}_0 = 7 \pm 0.5$



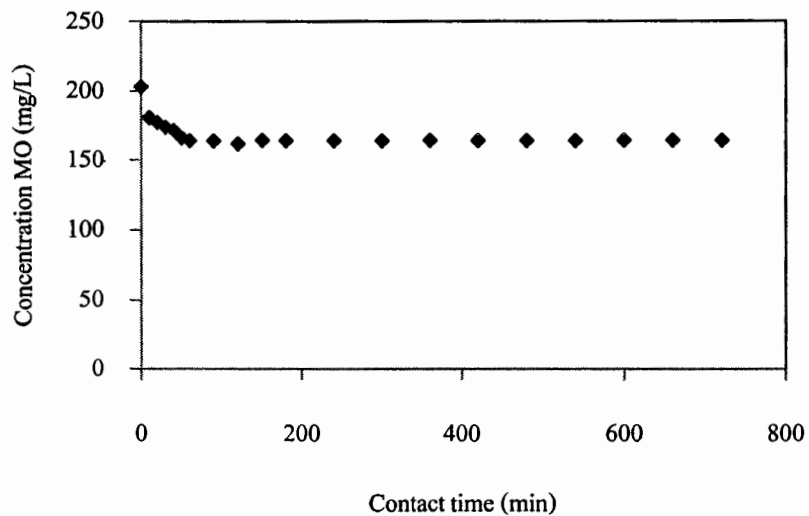
ภาพที่ ข.22 ความสัมพันธ์ระหว่างค่า pH เอชของน้ำสีสังเคราะห์ทึ่ง MO กับเวลาสัมผัส โดยใช้แร่ดิน CTS/MMT เป็นตัวคุณซับ อุณหภูมิในการคุณซับ  $35^\circ\text{C}$  และ  $\text{pH}_0 = 7 \pm 0.5$



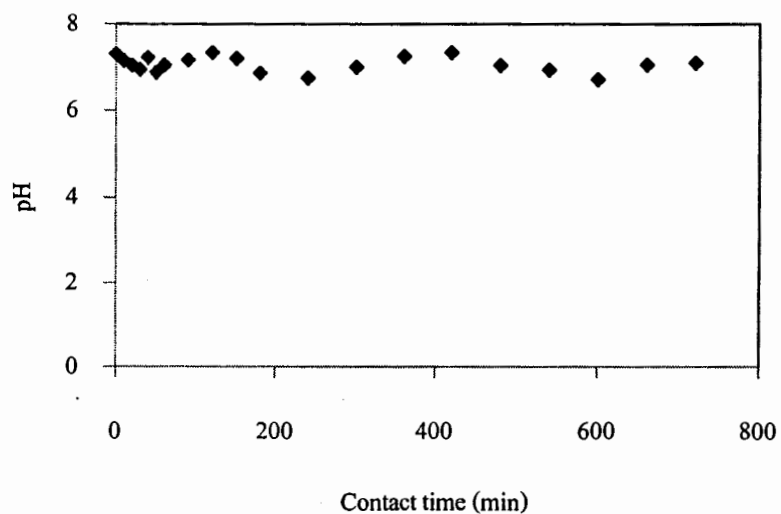
ภาพที่ X.23 แบบจำลองอัตราการดูดซับอันดับหนึ่งเทียม (Pseudo-first order) ของการดูดซับสีข้อน MO ที่  $C_0 = 201.89 \text{ mg/L}$  โดยใช้ตัวดูดซับแร่คิน CTS/MMT ปริมาณ 0.1 g อุณหภูมิใน การดูดซับ  $35^\circ\text{C}$  และ  $\text{pH}_0 = 7 \pm 0.5$



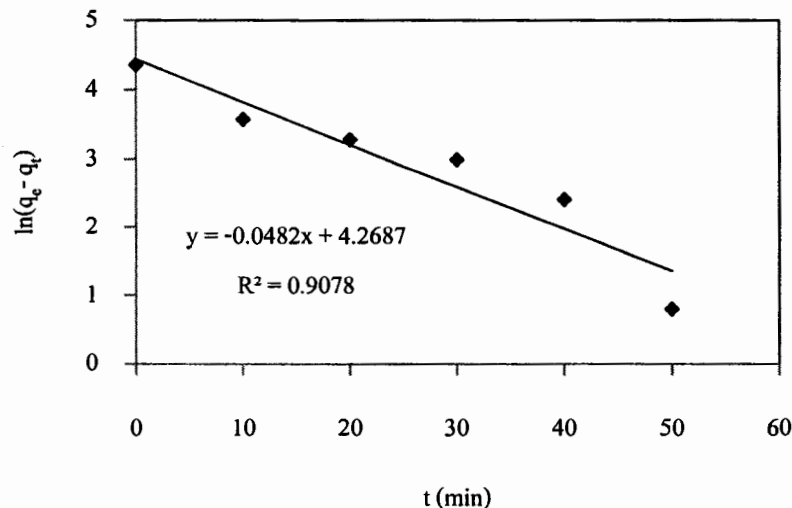
ภาพที่ X.24 แบบจำลองอัตราการดูดซับอันดับสองเทียม (Pseudo-second order) ของการดูดซับสีขอน MO ที่  $C_0 = 201.89 \text{ mg/L}$  โดยใช้ตัวดูดซับแร่คิน CTS/MMT ปริมาณ 0.1 g อุณหภูมิใน การดูดซับ  $35^\circ\text{C}$  และ  $\text{pH}_0 = 7 \pm 0.5$



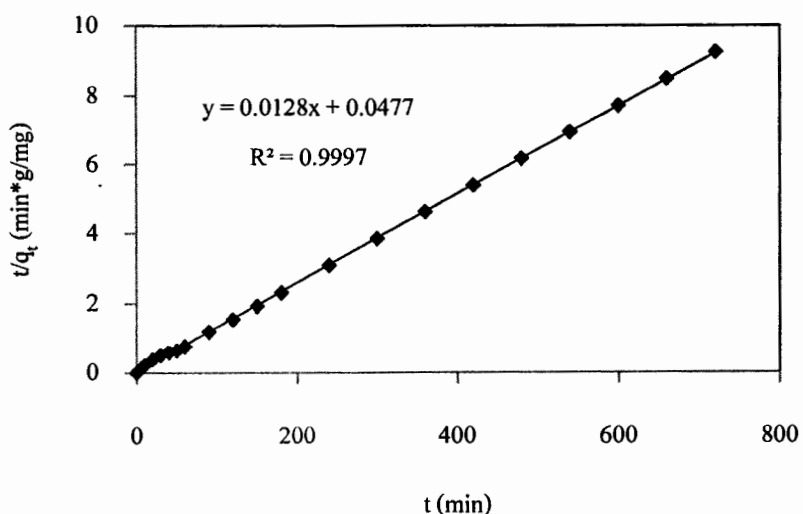
ภาพที่ ข.25 ความสัมพันธ์ระหว่างความเข้มข้นของน้ำสีสังเคราะห์สีข้อน MO กับเวลาสัมผัส ที่  $C_0 = 203.00 \text{ mg/L}$  โดยใช้ตัวคูคูบ์เร่อคิน CTS/MMT ปริมาณ  $0.1 \text{ g}$  อุณหภูมิในการคูคูบ  $45^\circ\text{C}$  และ  $\text{pH}_0 = 7 \pm 0.5$



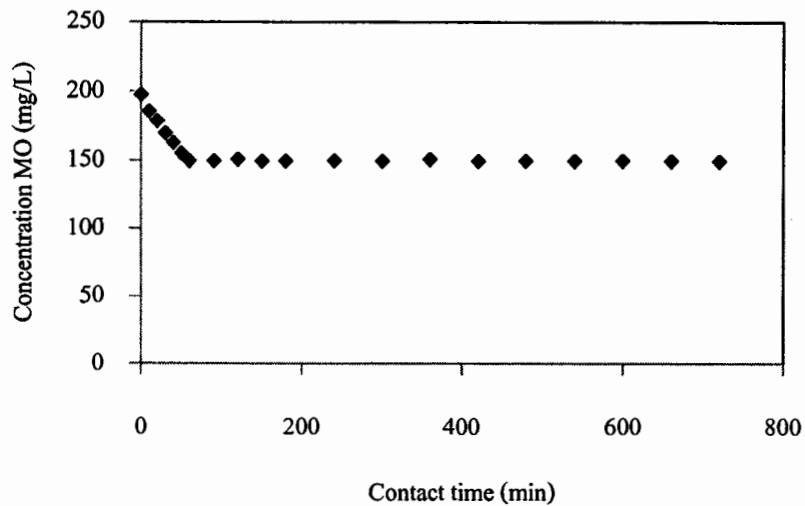
ภาพที่ ข.26 ความสัมพันธ์ระหว่างค่า pH เอขอของน้ำสีสังเคราะห์สีข้อน MO กับเวลาสัมผัส โดยใช้เร่อคิน CTS/MMT เป็นตัวคูคูบ อุณหภูมิในการคูคูบ  $45^\circ\text{C}$  และ  $\text{pH}_0 = 7 \pm 0.5$



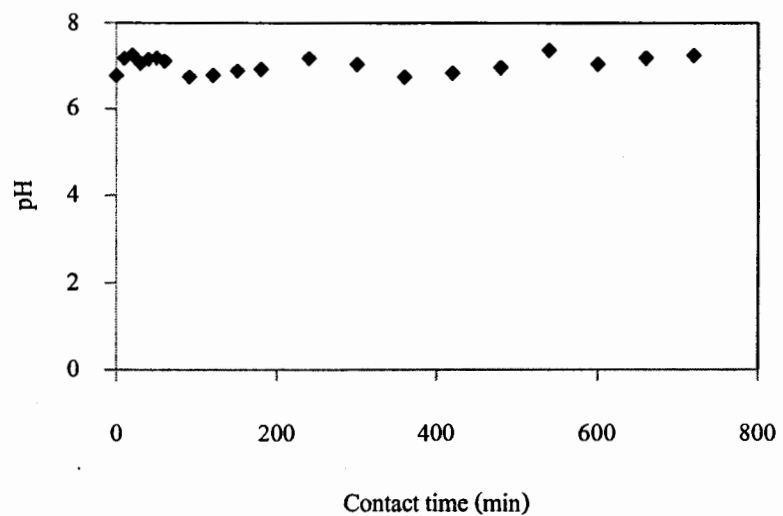
ภาพที่ ข.27 แบบจำลองอัตราการดูดซับอันดับหนึ่งเทียน (Pseudo-first order) ของการดูดซับสีเข้ม MO ที่  $C_0 = 203.00 \text{ mg/L}$  โดยใช้ตัวดูดซับแร่ดิน CTS/MMT ปริมาณ  $0.1 \text{ g}$  อุณหภูมิใน การดูดซับ  $45^\circ\text{C}$  และ  $\text{pH}_0 = 7 \pm 0.5$



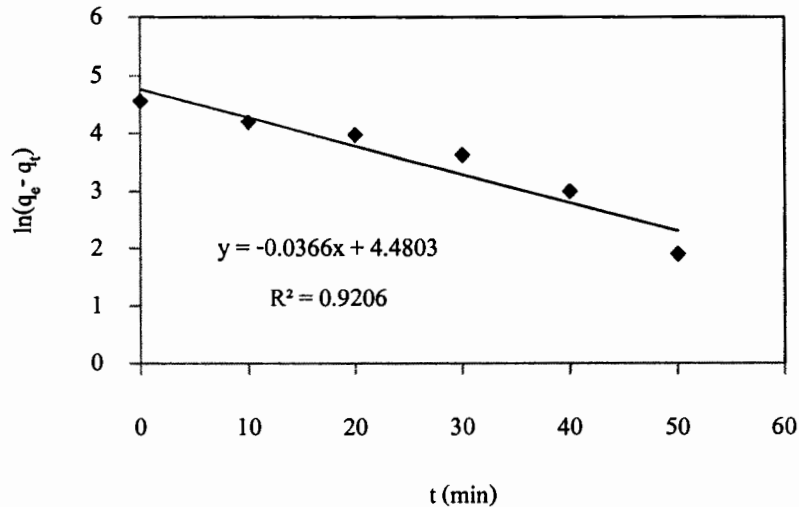
ภาพที่ ข.28 แบบจำลองอัตราการดูดซับอันดับสองเทียน (Pseudo-second order) ของการดูดซับสีเข้ม MO ที่  $C_0 = 203.00 \text{ mg/L}$  โดยใช้ตัวดูดซับแร่ดิน CTS/MMT ปริมาณ  $0.1 \text{ g}$  อุณหภูมิใน การดูดซับ  $45^\circ\text{C}$  และ  $\text{pH}_0 = 7 \pm 0.5$



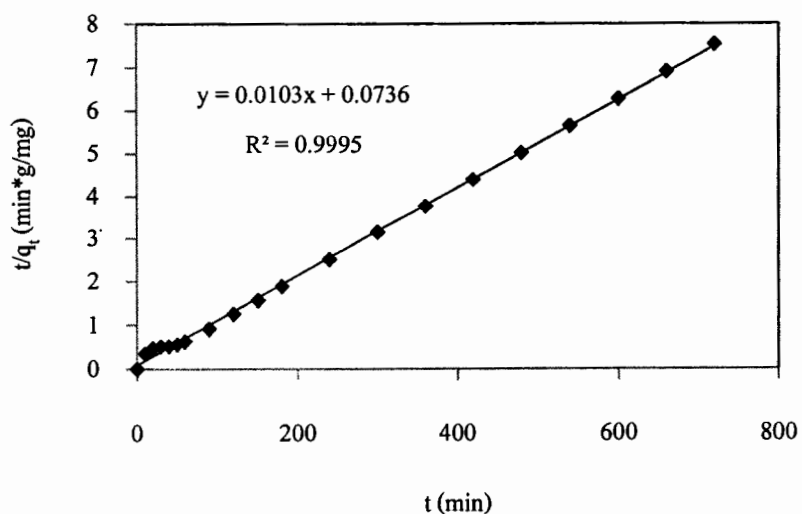
ภาพที่ ข.29 ความสัมพันธ์ระหว่างความเข้มข้นของน้ำสีสังเคราะห์สีข้อม MO กับเวลาสัมผัส ที่  $C_0 = 197.44 \text{ mg/L}$  โดยใช้ตัวดูดซับแร่ดิน CTS/MMT ปริมาณ  $0.1 \text{ g}$  อุณหภูมิในการดูดซับ  $55^\circ\text{C}$  และ  $\text{pH}_0 = 7 \pm 0.5$



ภาพที่ ข.30 ความสัมพันธ์ระหว่างค่า pH เอขอของน้ำสีสังเคราะห์สีข้อม MO กับเวลาสัมผัส โดยใช้แร่ดิน CTS/MMT เป็นตัวดูดซับ อุณหภูมิในการดูดซับ  $55^\circ\text{C}$  และ  $\text{pH}_0 = 7 \pm 0.5$



ภาพที่ ข.31 แบบจำลองอัตราการดูดซับอันดับหนึ่งเทียม (Pseudo-first order) ของการดูดซับสีเข้ม MO ที่  $C_0 = 197.44 \text{ mg/L}$  โดยใช้ตัวดูดซับแร่ดิน CTS/MMT ปริมาณ  $0.1 \text{ g}$  อุณหภูมิใน การดูดซับ  $55^\circ\text{C}$  และ  $\text{pH}_0 = 7 \pm 0.5$



ภาพที่ ข.32 แบบจำลองอัตราการดูดซับอันดับสองเทียม (Pseudo-second order) ของการดูดซับสีเข้ม MO ที่  $C_0 = 197.44 \text{ mg/L}$  โดยใช้ตัวดูดซับแร่ดิน CTS/MMT ปริมาณ  $0.1 \text{ g}$  อุณหภูมิใน การดูดซับ  $55^\circ\text{C}$  และ  $\text{pH}_0 = 7 \pm 0.5$

ตารางที่ ข.1 ปริมาณการคุณซับที่เวลาใด ๆ ของสีเย็บ RB5 ที่อุณหภูมิแตกต่างกัน

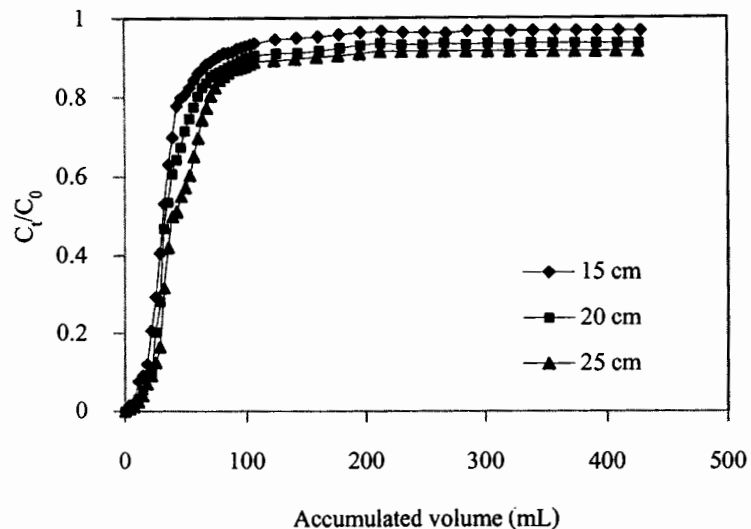
เวลา (นาที)	ชุดควบคุม				ชุดการทดลอง			
	ปริมาณการคุณซับ (mg/g) ที่อุณหภูมิ ( $^{\circ}$ C) แตกต่างกัน				ปริมาณการคุณซับ (mg/g) ที่อุณหภูมิ ( $^{\circ}$ C) แตกต่างกัน			
	25	35	45	55	25	35	45	55
0	0	0	0	0	0	0	0	0
10	0	1.25	0	0	24.44	33.33	35.34	51.11
20	2.42	0	0	0	31.12	42.22	53.33	82.22
30	0	0	3.14	0	37.78	57.78	68.89	93.33
40	0	1.22	0	2.62	42.22	66.67	77.78	97.78
50	2.45	0	0	2.22	55.56	66.67	77.78	100.00
60	2.27	0	3.24	4.15	62.22	73.33	80.00	100.00
90	0	3.24	2.22	1.25	62.22	73.33	88.89	108.89
120	4.48	0	0	0	62.25	73.33	88.89	108.89
150	0	0	2.34	2.72	62.22	73.33	88.89	108.79
180	0	1.45	3.24	2.34	62.22	73.35	88.89	108.89
240	2.22	0	0	2.45	62.23	73.33	84.44	104.45
300	0	1.25	2.24	0	62.22	73.33	84.54	104.45
360	0	2.24	0	0	62.22	73.35	84.44	104.44
420	0	0	0	2.22	62.23	73.33	84.44	104.44
480	2.25	0	3.24	0	62.22	73.35	84.54	104.45
540	2.14	0	4.15	4.15	62.23	73.33	84.54	104.44
600	0	0	0	2.22	62.22	73.33	84.44	104.45
660	0	0	1.25	0	62.22	73.33	84.44	104.44
720	0	0	0	0	62.22	73.33	84.44	104.44

ตารางที่ ข.2 ปริมาณการดูดซับที่เวลาใด ๆ ของสีขึ้น MO ที่อุณหภูมิแตกต่างกัน

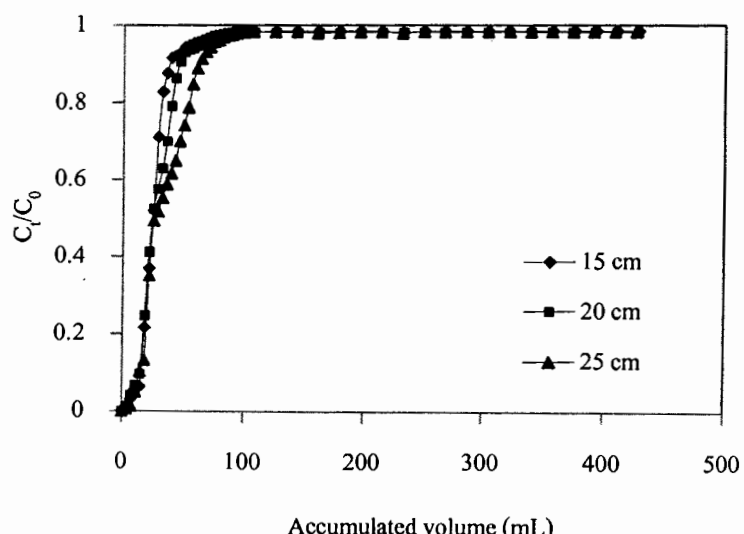
เวลา (นาที)	ชุดควบคุม				ชุดการทดสอบ			
	ปริมาณการดูดซับ (mg/g) ที่อุณหภูมิ (°C) แตกต่างกัน				ปริมาณการดูดซับ (mg/g) ที่อุณหภูมิ (°C) แตกต่างกัน			
	25	35	45	55	25	35	45	55
0	0	0	0	0	0	0	0	0
10	0	0	3.89	1.47	19.42	27.18	42.72	54.37
20	0	2.68	0	0	23.30	34.95	50.49	73.79
30	0	1.59	0	0	27.18	42.72	50.48	85.43
40	0	0	0	2.85	31.07	46.60	58.25	89.32
50	2.49	0	0	0	38.83	54.37	62.13	93.20
60	0	0	3.89	2.49	42.72	62.13	73.79	100.97
90	0	1.47	2.13	1.55	50.48	58.25	77.65	100.97
120	2.49	0	0	2.49	54.36	62.13	77.67	100.97
150	1.85	0	2.45	0	54.36	66.02	81.55	97.08
180	0	3.12	0	0	54.37	62.13	77.67	97.08
240	0	2.15	0	0	54.36	62.13	77.67	97.09
300	0	1.85	0	2.49	54.36	62.14	77.67	97.09
360	3.89	0	3.12	2.45	54.37	62.13	77.67	97.08
420	0	3.42	2.85	0	54.36	62.14	77.65	97.09
480	1.85	0	0	0	54.37	62.13	77.65	97.08
540	0	3.89	1.59	0	54.36	62.14	77.67	97.08
600	0	2.45	0	0	54.36	62.14	77.67	97.08
660	0	0	0	0	54.36	62.13	77.67	97.08
720	0	0	0	0	54.36	62.13	77.67	97.08

### ภาคผนวก ค

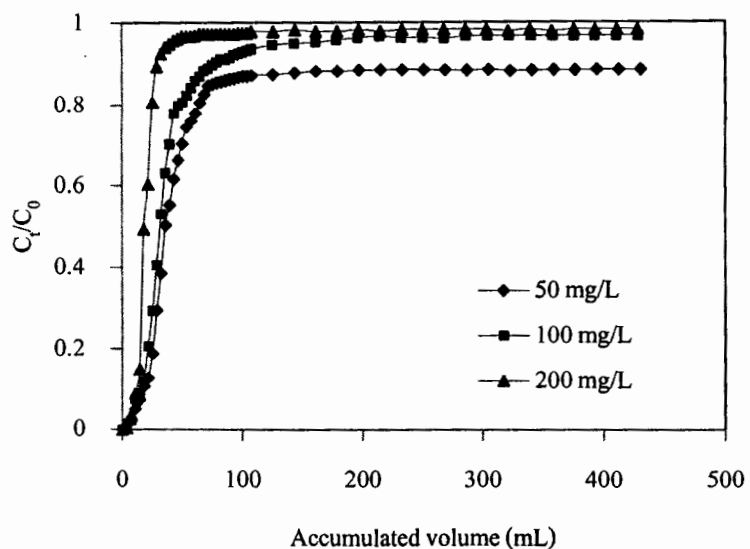
ผลการศึกษาการคุดซับสีย้อมในระบบหอคุดซับแบบเบดนิ่ง



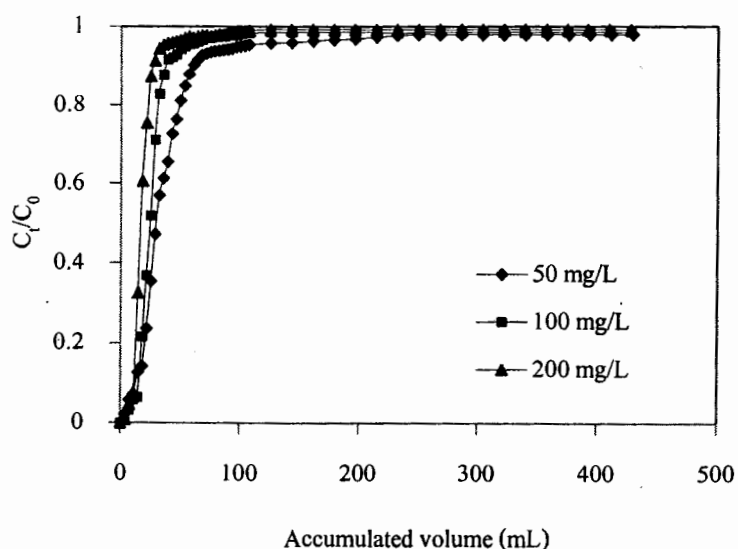
ภาพที่ ค.1 กราฟเบรคทຽของกรดซับสีเย้ม RB5 ด้วยแร่คิน CTS/MMT ที่ความสูงของเบดแตกต่างกัน (ความเข้มข้นเริ่มต้น=100 mg/L และอัตราการไหล=3.57 ± 0.02 mL/min)



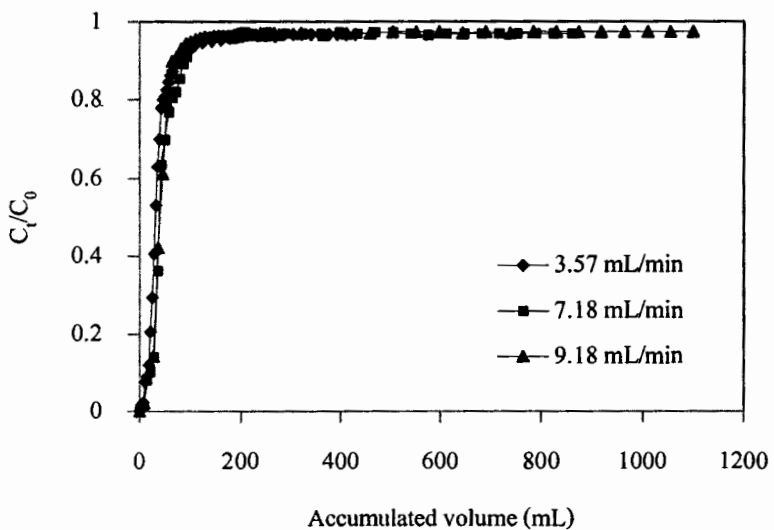
ภาพที่ ค.2 กราฟเบรคทຽของกรดซับสีเย้ม MO ด้วยแร่คิน CTS/MMT ที่ความสูงของเบดแตกต่างกัน (ความเข้มข้นเริ่มต้น=100 mg/L และอัตราการไหล=3.57 ± 0.02 mL/min)



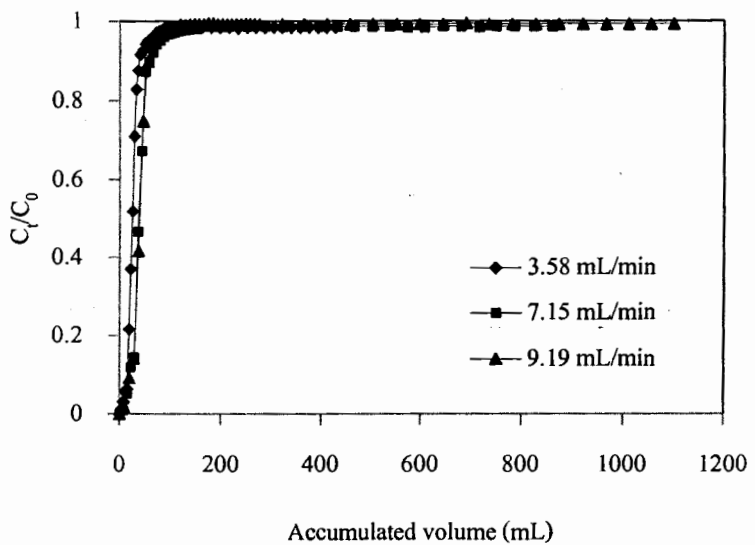
ภาพที่ ค.3 กราฟเบรคท์ของกรดูดซับสีข้ม RB5 ด้วยแร่ดิน CTS/MMT ที่ความเข้มข้นเริ่มต้นแตกต่างกัน (ความสูงของเบด = 15 cm และอัตราการไหล =  $3.57 \pm 0.02$  mL/min)



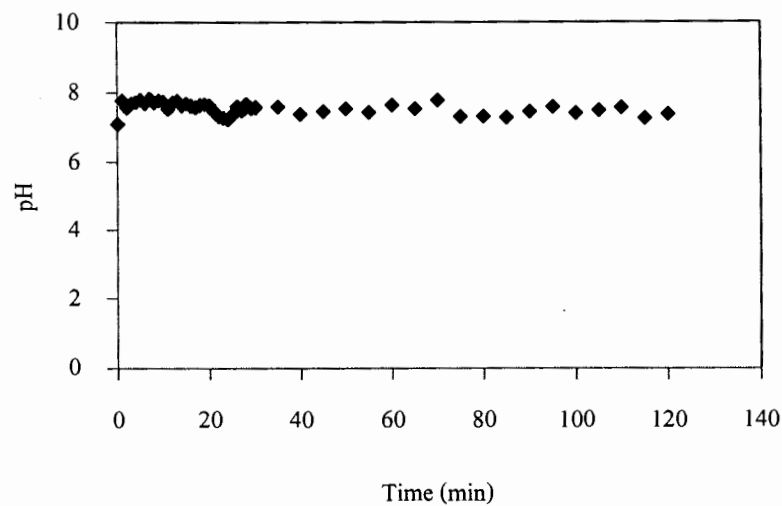
ภาพที่ ค.4 กราฟเบรคท์ของกรดูดซับสีข้ม MO ด้วยแร่ดิน CTS/MMT ที่ความเข้มข้นเริ่มต้นแตกต่างกัน (ความสูงของเบด = 15 cm และอัตราการไหล =  $3.57 \pm 0.02$  mL/min)



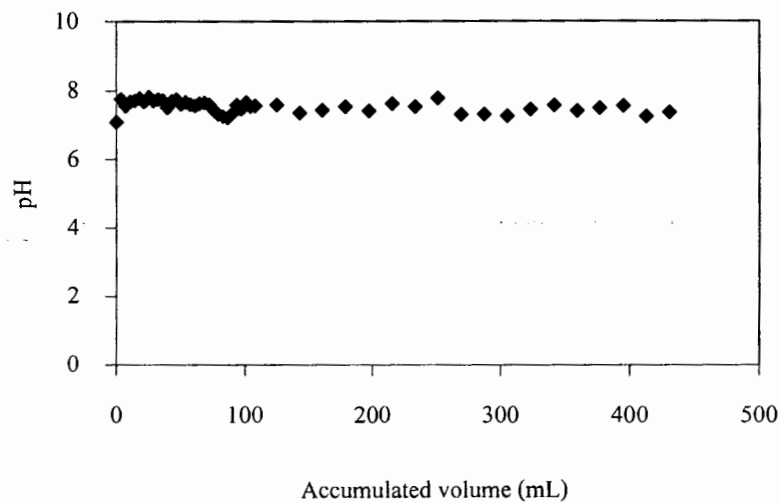
ภาพที่ ค.5 กราฟเบรคทຽของกรดคุดซับสีข้อม RB5 ด้วยแร่คิน CTS/MMT ที่อัตราการไหลแตกต่างกัน (ความเข้มข้นเริ่มต้น = 100 mg/L และความสูงของเบด = 15 cm)



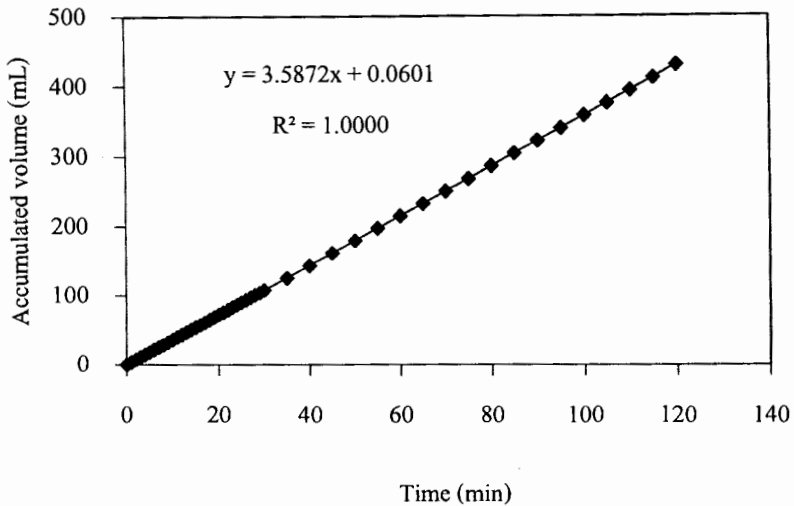
ภาพที่ ค.6 กราฟเบรคทຽของกรดคุดซับสีข้อม MO ด้วยแร่คิน CTS/MMT ที่อัตราการไหลแตกต่างกัน (ความเข้มข้นเริ่มต้น = 100 mg/L และความสูงของเบด = 15 cm)



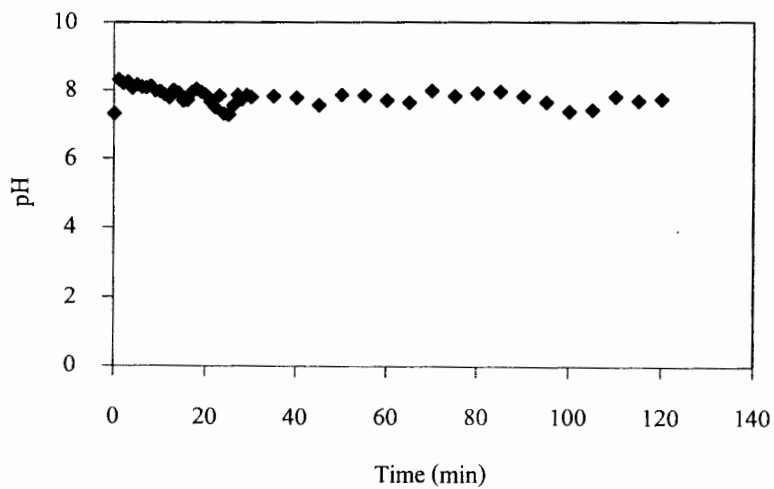
ภาพที่ ค.7 ความสัมพันธ์ระหว่างค่า pH เอขอของน้ำสีสังเคราะห์สีข้อม RB5 กับเวลา โดยใช้เรเดิน CTS/MMT เป็นตัวคูดซับในระบบหอคูดซับ ที่  $C_0 = 50 \text{ mg/L}$   $H = 15 \text{ cm}$   
 $Q = 3.59 \text{ mL/min}$  และ  $\text{pH}_0 = 7 \pm 0.5$



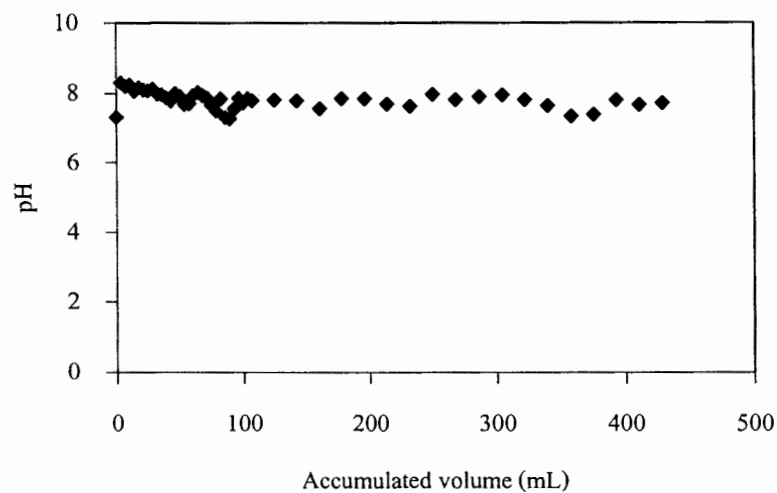
ภาพที่ ค.8 ความสัมพันธ์ระหว่างค่า pH เอขอของน้ำสีสังเคราะห์สีข้อม RB5 กับปริมาตรสะสมหลังผ่านหอคูดซับ โดยใช้เรเดิน CTS/MMT เป็นตัวคูดซับ ที่  $C_0 = 50 \text{ mg/L}$   $H = 15 \text{ cm}$   
 $Q = 3.59 \text{ mL/min}$  และ  $\text{pH}_0 = 7 \pm 0.5$



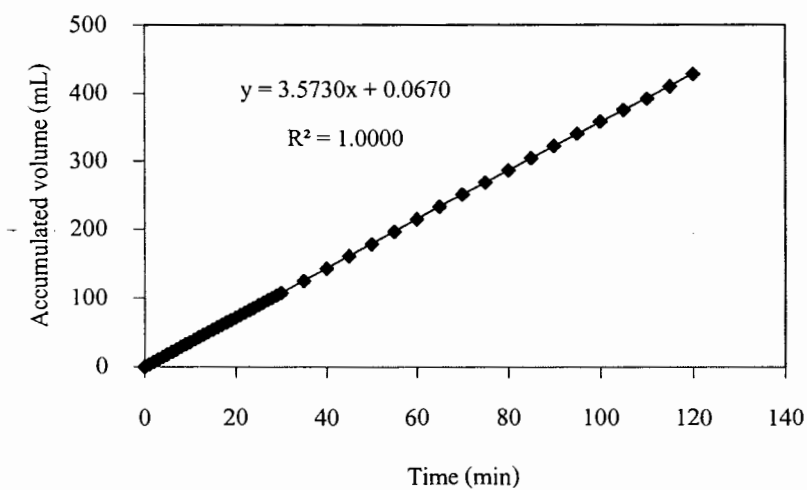
ภาพที่ ค.9 ความสัมพันธ์ระหว่างปริมาตรสะสมของน้ำสีสังเคราะห์สีเข้ม RB5 หลังผ่านหอดูดซับกับเวลา โดยใช้เรติน CTS/MMT เป็นตัวดูดซับ ที่  $C_0 = 50 \text{ mg/L}$   $H = 15 \text{ cm}$   
 $Q = 3.59 \text{ mL/min}$  และ  $\text{pH}_0 = 7 \pm 0.5$



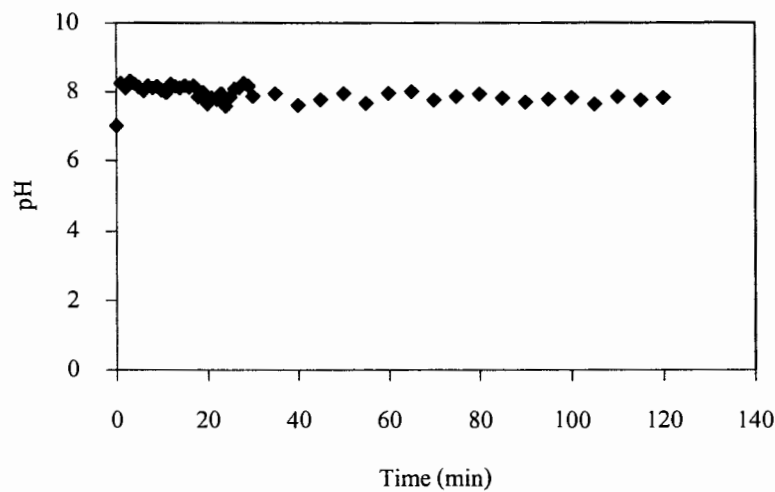
ภาพที่ ค.10 ความสัมพันธ์ระหว่างค่า pH ของน้ำสีสังเคราะห์สีเข้ม RB5 กับเวลา โดยใช้เรติน CTS/MMT เป็นตัวดูดซับในระบบหอดูดซับ ที่  $C_0 = 100 \text{ mg/L}$   $H = 15 \text{ cm}$   
 $Q = 3.57 \text{ mL/min}$  และ  $\text{pH}_0 = 7 \pm 0.5$



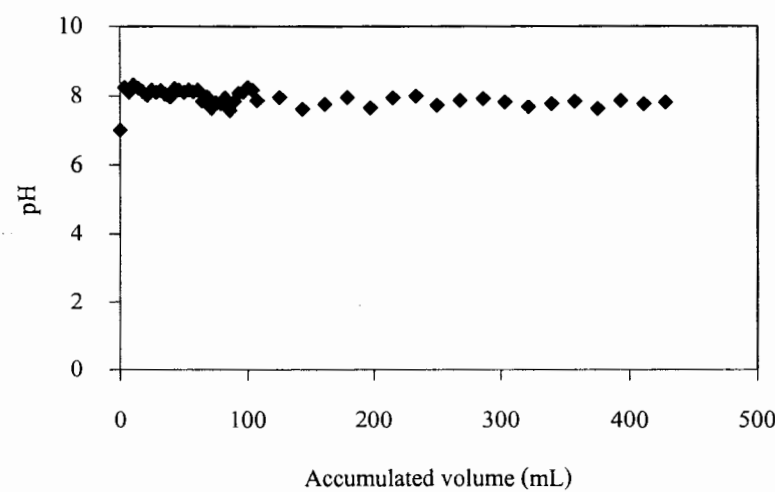
ภาพที่ ค.11 ความสัมพันธ์ระหว่างค่า pH ของน้ำสีสังเคราะห์สีย้อม RB5 กับปริมาตรสะสมหลังผ่านหอดูดซับ โดยใช้แร่ดิน CTS/MMT เป็นตัวดูดซับ ที่  $C_0 = 100 \text{ mg/L}$   $H = 15 \text{ cm}$   $Q = 3.57 \text{ mL/min}$  และ  $\text{pH}_0 = 7 \pm 0.5$



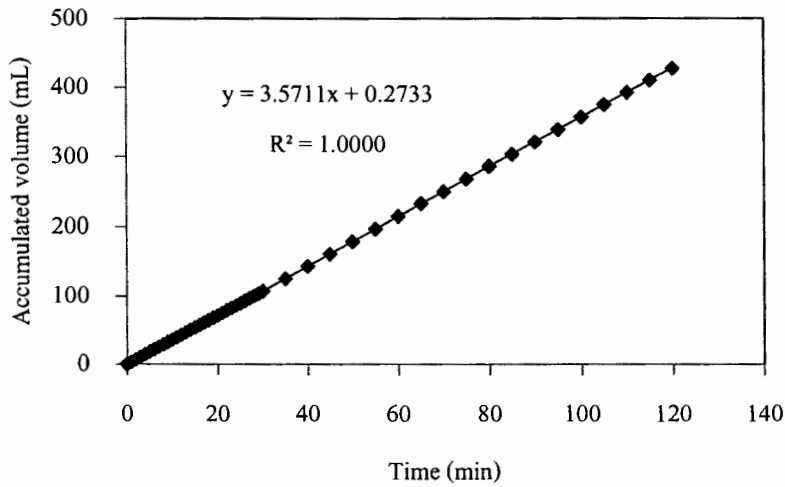
ภาพที่ ค.12 ความสัมพันธ์ระหว่างปริมาตรสะสมของน้ำสีสังเคราะห์สีย้อม RB5 หลังผ่านหอดูดซับ กับเวลา โดยใช้แร่ดิน CTS/MMT เป็นตัวดูดซับ ที่  $C_0 = 100 \text{ mg/L}$   $H = 15 \text{ cm}$   $Q = 3.57 \text{ mL/min}$  และ  $\text{pH}_0 = 7 \pm 0.5$



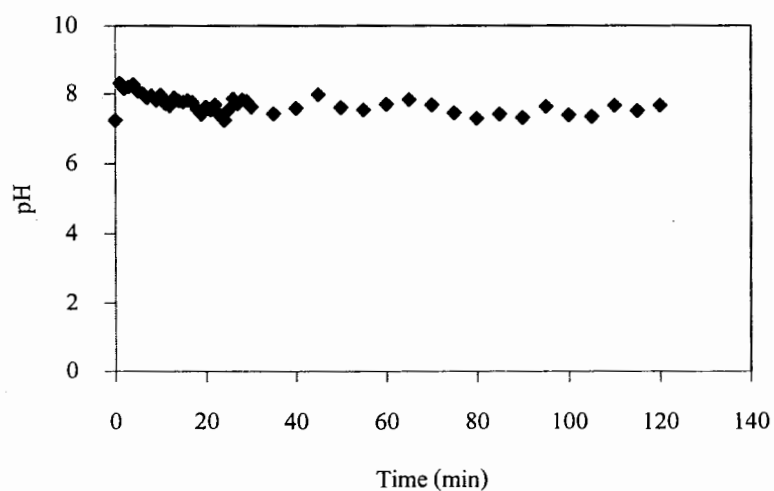
ภาพที่ ค.13 ความสัมพันธ์ระหว่างค่า pH ของน้ำสีสังเคราะห์สีลม RB5 กับเวลา โดยใช้เรคิน CTS/MMT เป็นตัวดูดซับในระบบหอดูดซับ ที่  $C_0 = 200 \text{ mg/L}$   $H = 15 \text{ cm}$   
 $Q = 3.57 \text{ mL/min}$  และ  $\text{pH}_0 = 7 \pm 0.5$



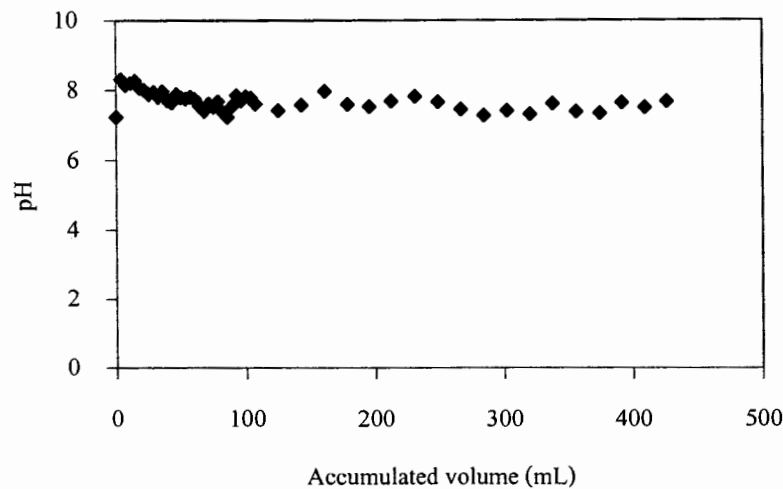
ภาพที่ ค.14 ความสัมพันธ์ระหว่างค่า pH ของน้ำสีสังเคราะห์สีลม RB5 กับปริมาตรสะสมหลังผ่านหอดูดซับ โดยใช้เรคิน CTS/MMT เป็นตัวดูดซับ ที่  $C_0 = 200 \text{ mg/L}$   $H = 15 \text{ cm}$   
 $Q = 3.57 \text{ mL/min}$  และ  $\text{pH}_0 = 7 \pm 0.5$



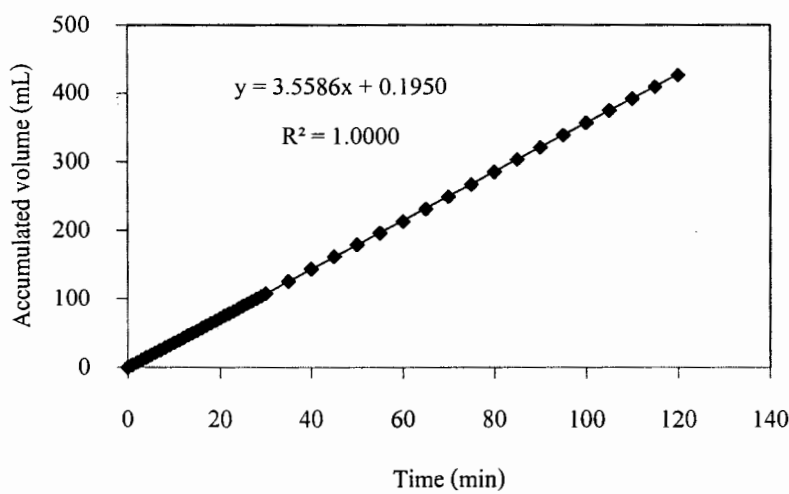
ภาพที่ ค.15 ความสัมพันธ์ระหว่างปริมาตรสะสมของน้ำสีสังเคราะห์สีข้อม RB5 หลังผ่านหอดูดซับ กับเวลา โดยใช้เรติน CTS/MMT เป็นตัวดูดซับ ที่  $C_0 = 200 \text{ mg/L}$   $H = 15 \text{ cm}$   
 $Q = 3.57 \text{ mL/min}$  และ  $\text{pH}_0 = 7 \pm 0.5$



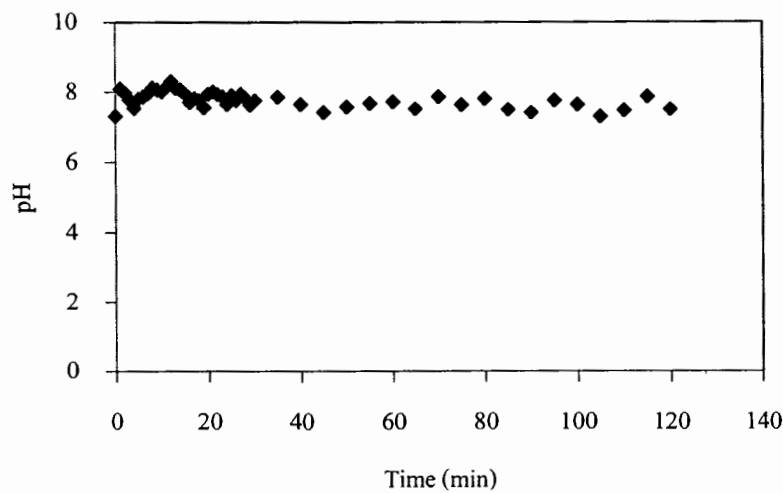
ภาพที่ ค.16 ความสัมพันธ์ระหว่างค่า pH ของน้ำสีสังเคราะห์สีข้อม RB5 กับเวลา โดยใช้เรติน CTS/MMT เป็นตัวดูดซับในระบบหอดูดซับ ที่  $C_0 = 100 \text{ mg/L}$   $H = 20 \text{ cm}$   
 $Q = 3.56 \text{ mL/min}$  และ  $\text{pH}_0 = 7 \pm 0.5$



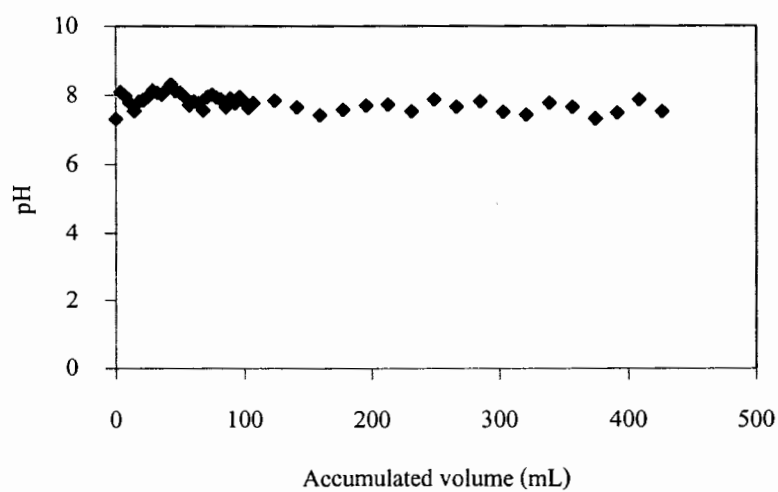
ภาพที่ ค.17 ความสัมพันธ์ระหว่างค่า pH เอขอของน้ำสีสังเคราะห์สีข้อม RB5 กับปริมาตรสะสมหลังผ่านหอดูดซับ โดยใช้เรเดิน CTS/MMT เป็นตัวดูดซับ ที่  $C_0 = 100 \text{ mg/L}$   $H = 20 \text{ cm}$   $Q = 3.56 \text{ mL/min}$  และ  $\text{pH}_0 = 7 \pm 0.5$



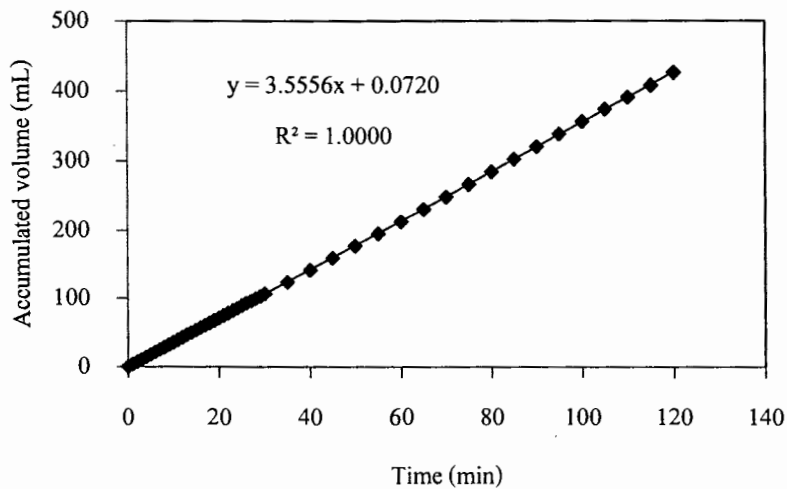
ภาพที่ ค.18 ความสัมพันธ์ระหว่างปริมาตรสะสมของน้ำสีสังเคราะห์สีข้อม RB5 หลังผ่านหอดูดซับ กับเวลา โดยใช้เรเดิน CTS/MMT เป็นตัวดูดซับ ที่  $C_0 = 100 \text{ mg/L}$   $H = 20 \text{ cm}$   $Q = 3.56 \text{ mL/min}$  และ  $\text{pH}_0 = 7 \pm 0.5$



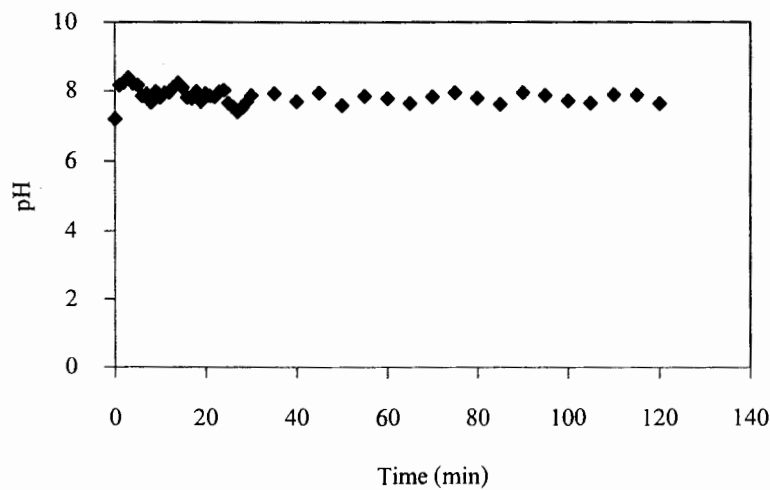
ภาพที่ ค.19 ความสัมพันธ์ระหว่างค่า pH เอขอของน้ำสีสังเคราะห์สีข้อม RB5 กับเวลา โดยใช้แร่ดิน CTS/MMT เป็นตัวดูดซับในระบบหอดูดซับ ที่  $C_0 = 100 \text{ mg/L}$   $H = 25 \text{ cm}$   $Q = 3.56 \text{ mL/min}$  และ  $\text{pH}_0 = 7 \pm 0.5$



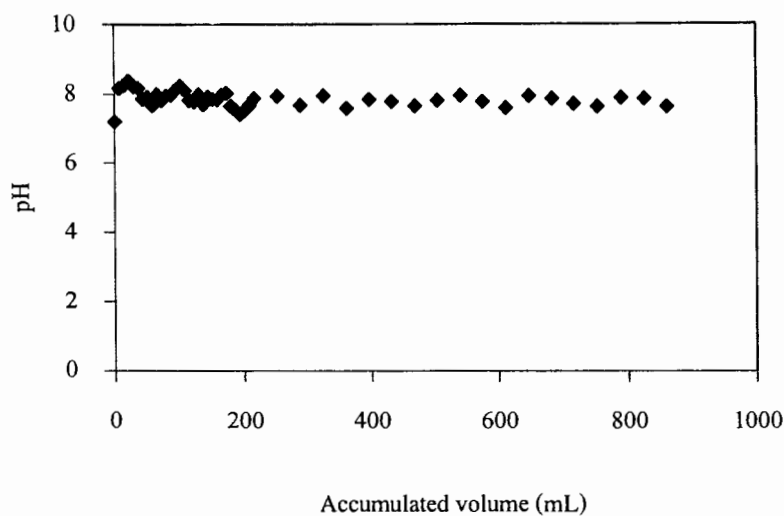
ภาพที่ ค.20 ความสัมพันธ์ระหว่างค่า pH เอขอของน้ำสีสังเคราะห์สีข้อม RB5 กับปริมาตรสะสมหลังผ่านหอดูดซับ โดยใช้แร่ดิน CTS/MMT เป็นตัวดูดซับ ที่  $C_0 = 100 \text{ mg/L}$   $H = 25 \text{ cm}$   $Q = 3.56 \text{ mL/min}$  และ  $\text{pH}_0 = 7 \pm 0.5$



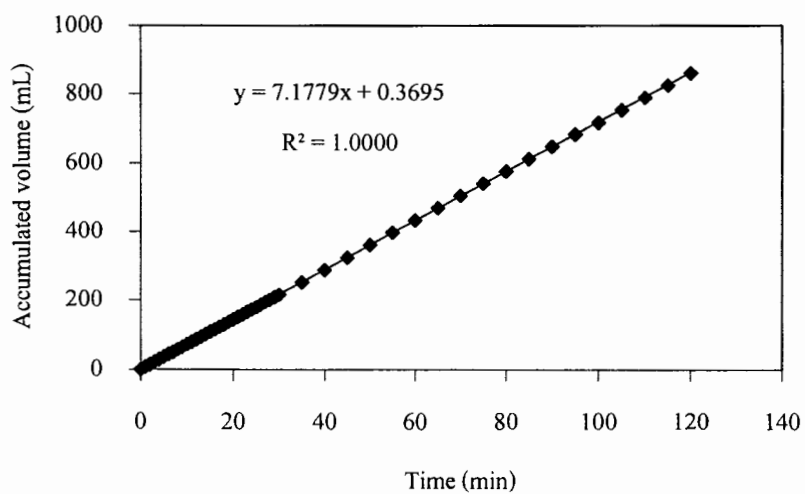
ภาพที่ ค.21 ความสัมพันธ์ระหว่างปริมาตรสะสมของน้ำสีสังเคราะห์สีข้อม RB5 หลังผ่านหอดูดซับกับเวลา โดยใช้แร่คิน CTS/MMT เป็นตัวดูดซับ ที่  $C_0 = 100 \text{ mg/L}$   $H = 25 \text{ cm}$   
 $Q = 3.56 \text{ mL/min}$  และ  $\text{pH}_0 = 7 \pm 0.5$



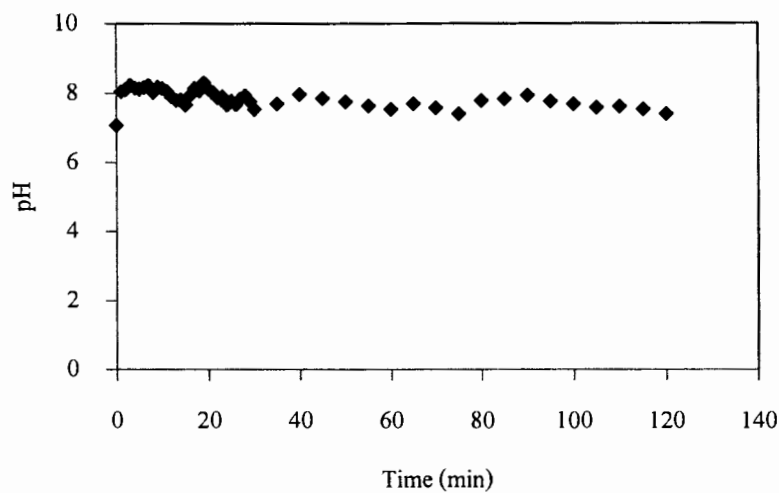
ภาพที่ ค.22 ความสัมพันธ์ระหว่างค่า pH เอชของน้ำสีสังเคราะห์สีข้อม RB5 กับเวลา โดยใช้แร่คิน CTS/MMT เป็นตัวดูดซับในระบบหอดูดซับ ที่  $C_0 = 100 \text{ mg/L}$   $H = 15 \text{ cm}$   
 $Q = 7.18 \text{ mL/min}$  และ  $\text{pH}_0 = 7 \pm 0.5$



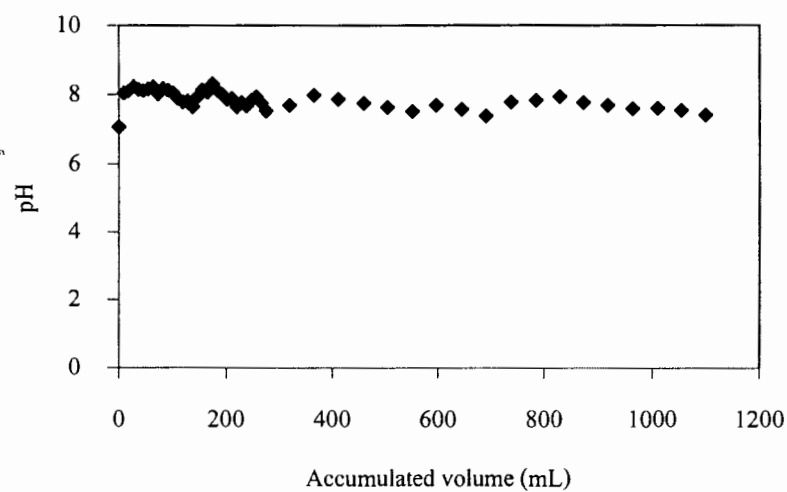
ภาพที่ ค.23 ความสัมพันธ์ระหว่างค่า pH ของน้ำสีสังเคราะห์สีข้อม RB5 กับปริมาตรสะสมหลังผ่านหอคุณชัย โดยใช้แร่ดิน CTS/MMT เป็นตัวคุณชัย ที่  $C_0 = 100 \text{ mg/L}$   $H = 15 \text{ cm}$   $Q = 7.18 \text{ mL/min}$  และ  $\text{pH}_0 = 7 \pm 0.5$



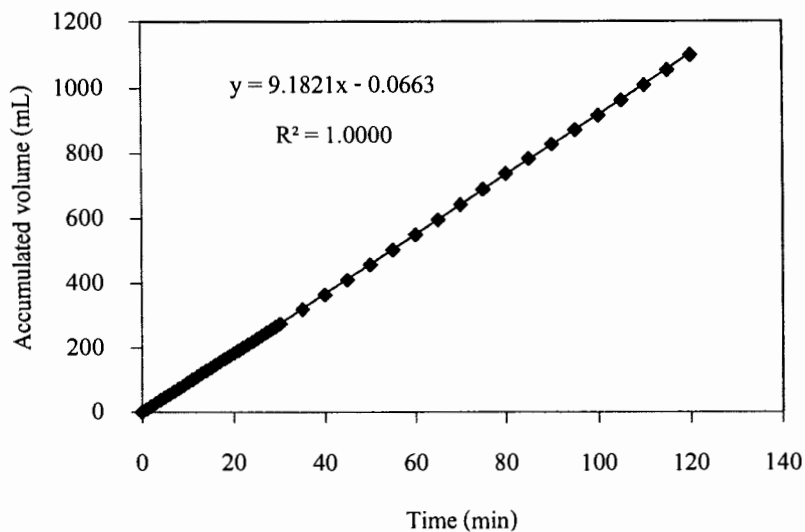
ภาพที่ ค.24 ความสัมพันธ์ระหว่างปริมาตรสะสมของน้ำสีสังเคราะห์สีข้อม RB5 หลังผ่านหอคุณชัย กับเวลา โดยใช้แร่ดิน CTS/MMT เป็นตัวคุณชัย ที่  $C_0 = 100 \text{ mg/L}$   $H = 15 \text{ cm}$   $Q = 7.18 \text{ mL/min}$  และ  $\text{pH}_0 = 7 \pm 0.5$



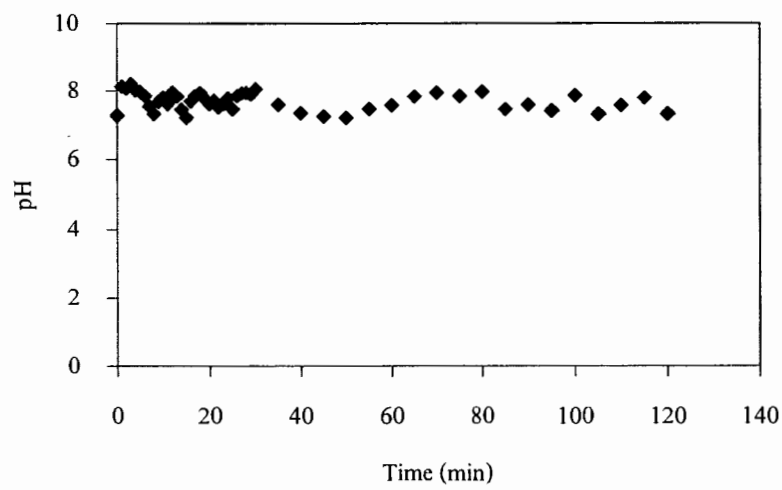
ภาพที่ ค.25 ความสัมพันธ์ระหว่างค่า pH ของน้ำสีสังเคราะห์สีเย็น RB5 กับเวลา โดยใช้เร่งดิน CTS/MMT เป็นตัวคูดซับในระบบหอคูดซับ ที่  $C_0 = 100 \text{ mg/L}$   $H = 15 \text{ cm}$   $Q = 9.18 \text{ mL/min}$  และ  $\text{pH}_0 = 7 \pm 0.5$



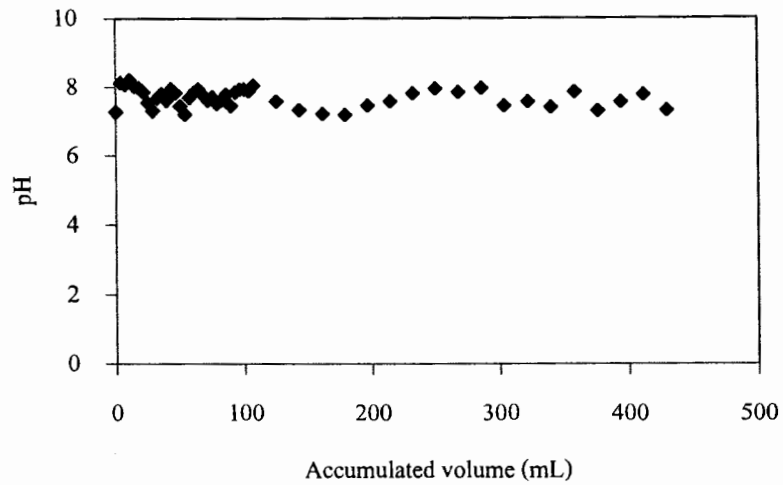
ภาพที่ ค.26 ความสัมพันธ์ระหว่างค่า pH ของน้ำสีสังเคราะห์สีเย็น RB5 กับปริมาตรสะสมหลังผ่านหอคูดซับ โดยใช้เร่งดิน CTS/MMT เป็นตัวคูดซับ ที่  $C_0 = 100 \text{ mg/L}$   $H = 15 \text{ cm}$   $Q = 9.18 \text{ mL/min}$  และ  $\text{pH}_0 = 7 \pm 0.5$



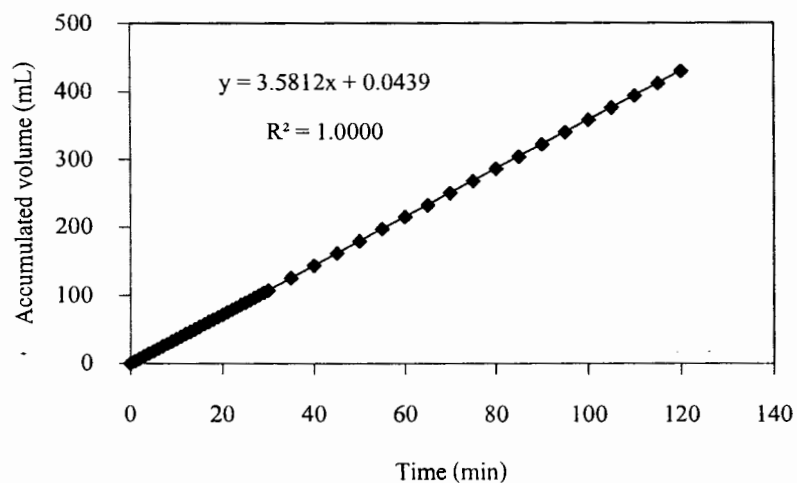
ภาพที่ ค.27 ความสัมพันธ์ระหว่างปริมาตรสะสมของน้ำสีสังเคราะห์ที่ซึม RBS หลังผ่านหอดูดซับกับเวลา โดยใช้แร่คิน CTS/MMT เป็นตัวดูดซับ ที่  $C_0 = 100 \text{ mg/L}$   $H = 15 \text{ cm}$   
 $Q = 9.18 \text{ mL/min}$  และ  $\text{pH}_0 = 7 \pm 0.5$



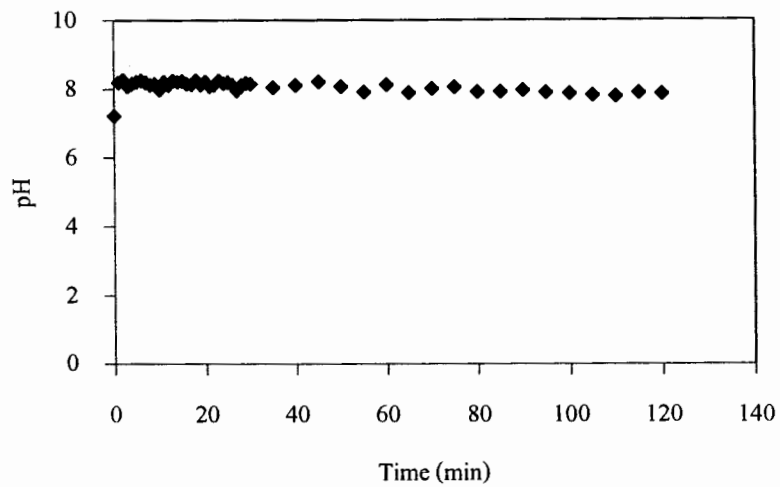
ภาพที่ ค.28 ความสัมพันธ์ระหว่างค่า pH ของน้ำสีสังเคราะห์ที่ซึม MO กับเวลา โดยใช้แร่คิน CTS/MMT เป็นตัวดูดซับในระบบหอดูดซับ ที่  $C_0 = 50 \text{ mg/L}$   $H = 15 \text{ cm}$   
 $Q = 3.58 \text{ mL/min}$  และ  $\text{pH}_0 = 7 \pm 0.5$



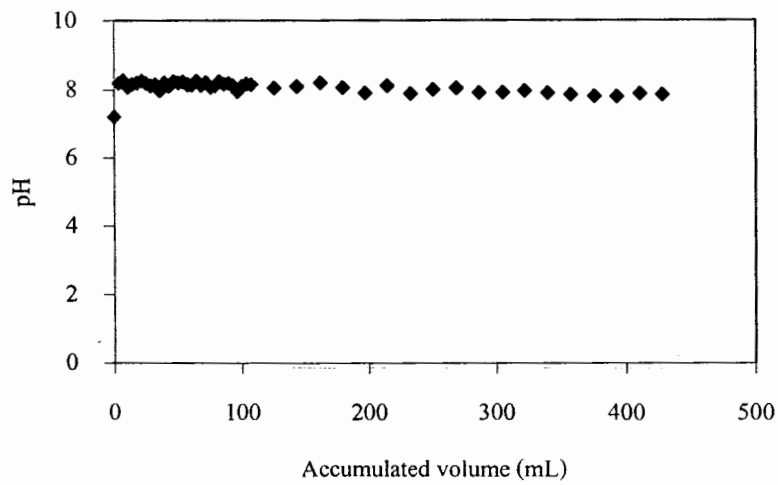
ภาพที่ ค.29 ความสัมพันธ์ระหว่างค่า pH เอขอของน้ำสีสังเคราะห์สีข้อม MO กับปริมาตรสะสมหลังผ่านหอคูดซับ โดยใช้แร่ดิน CTS/MMT เป็นตัวคูดซับ ที่  $C_0 = 50 \text{ mg/L}$   $H = 15 \text{ cm}$   
 $Q = 3.58 \text{ mL/min}$  และ  $\text{pH}_0 = 7 \pm 0.5$



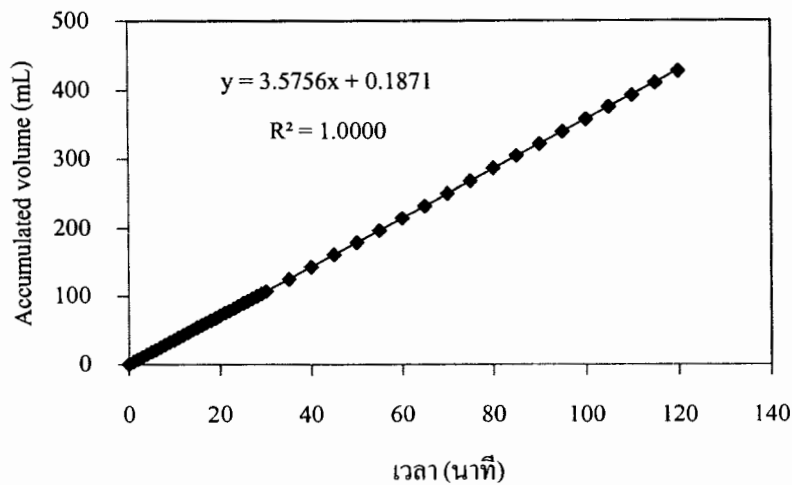
ภาพที่ ค.30 ความสัมพันธ์ระหว่างปริมาตรสะสมของน้ำสีสังเคราะห์สีข้อม MO หลังผ่านหอคูดซับ กับเวลา โดยใช้แร่ดิน CTS/MMT เป็นตัวคูดซับ ที่  $C_0 = 50 \text{ mg/L}$   $H = 15 \text{ cm}$   
 $Q = 3.58 \text{ mL/min}$  และ  $\text{pH}_0 = 7 \pm 0.5$



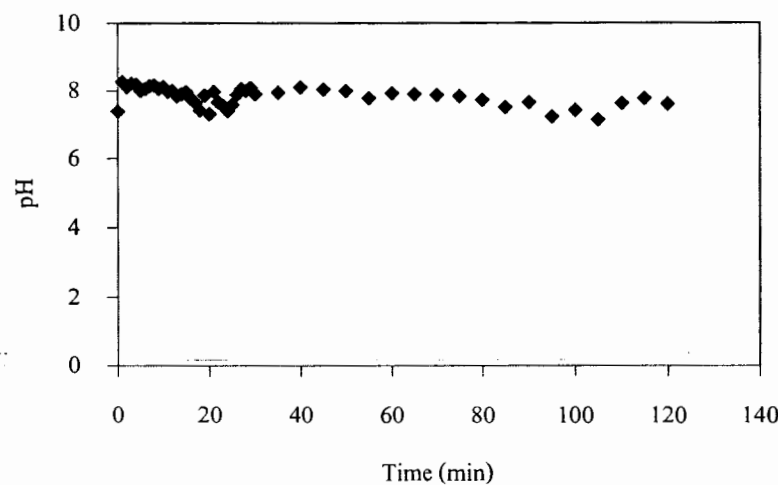
ภาพที่ ค.31 ความสัมพันธ์ระหว่างค่า pH เอขอของน้ำสีสังเคราะห์สีข้อม MO กับเวลา โดยใช้แร่ดิน CTS/MMT เป็นตัวดูดซับในระบบหอดูดซับ ที่  $C_0 = 100 \text{ mg/L}$   $H = 15 \text{ cm}$   
 $Q = 3.58 \text{ mL/min}$  และ  $\text{pH}_0 = 7 \pm 0.5$



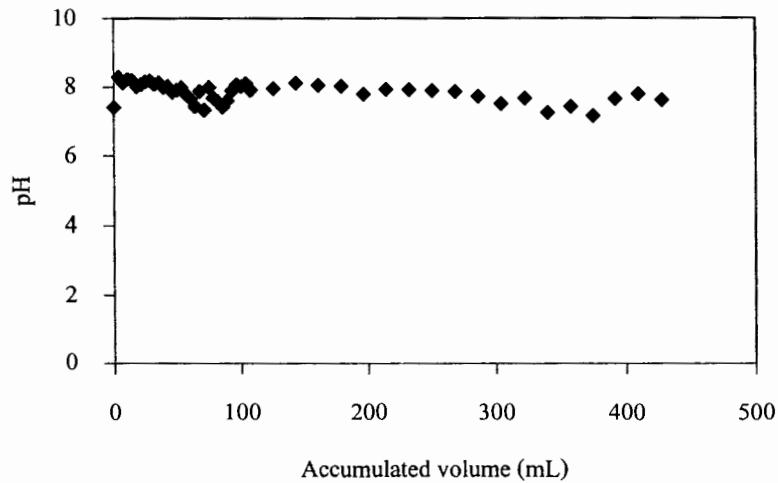
ภาพที่ ค.32 ความสัมพันธ์ระหว่างค่า pH เอขอของน้ำสีสังเคราะห์สีข้อม MO กับปริมาตรสะสมหลังผ่านหอดูดซับ โดยใช้แร่ดิน CTS/MMT เป็นตัวดูดซับ ที่  $C_0 = 100 \text{ mg/L}$   $H = 15 \text{ cm}$   
 $Q = 3.58 \text{ mL/min}$  และ  $\text{pH}_0 = 7 \pm 0.5$



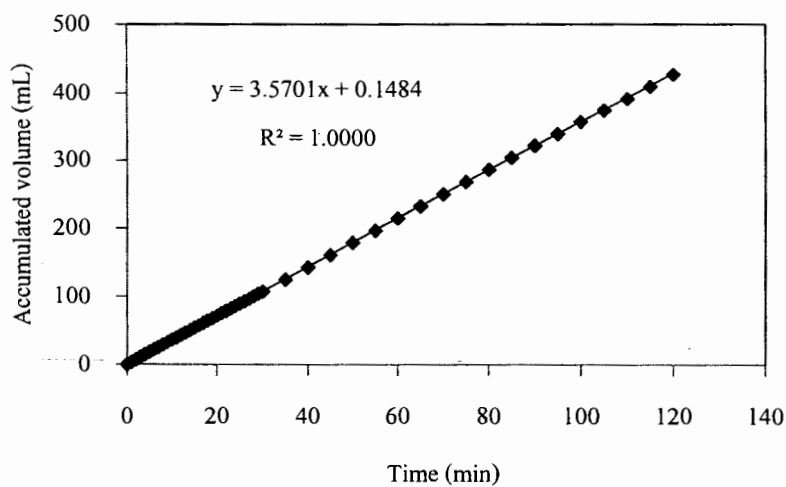
ภาพที่ ค.33 ความสัมพันธ์ระหว่างปริมาตรสะสมของน้ำสีสังเคราะห์สีข้ม MO หลังผ่านหอดูดซับ กับเวลา โดยใช้เรเดิน CTS/MMT เป็นตัวดูดซับ ที่  $C_0 = 100 \text{ mg/L}$   $H = 15 \text{ cm}$   
 $Q = 3.58 \text{ mL/min}$  และ  $\text{pH}_0 = 7 \pm 0.5$



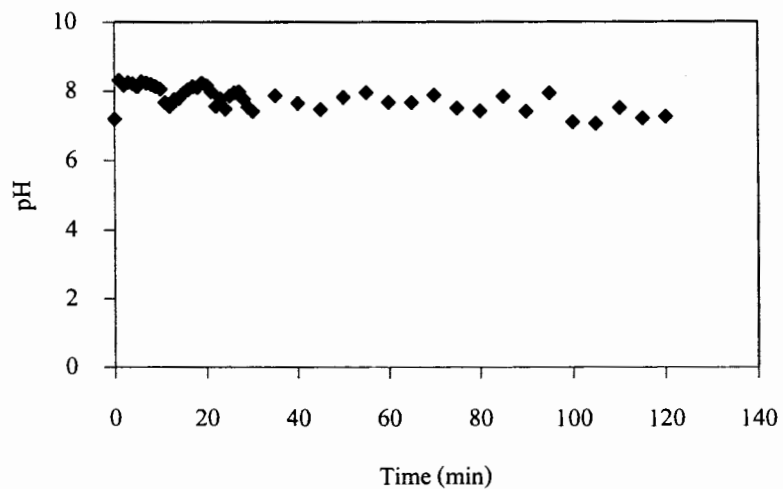
ภาพที่ ค.34 ความสัมพันธ์ระหว่างค่า pH เอขอของน้ำสีสังเคราะห์สีข้ม MO กับเวลา โดยใช้เรเดิน CTS/MMT เป็นตัวดูดซับในระบบหอดูดซับ ที่  $C_0 = 200 \text{ mg/L}$   $H = 15 \text{ cm}$   
 $Q = 3.57 \text{ mL/min}$  และ  $\text{pH}_0 = 7 \pm 0.5$



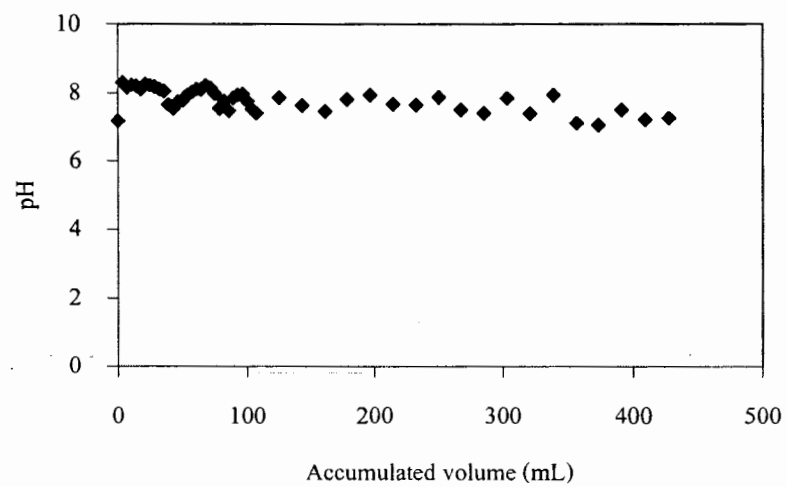
ภาพที่ ค.35 ความสัมพันธ์ระหว่างค่า pH ของน้ำสีสังเคราะห์สีข้ม MO กับปริมาตรสะสมหลังผ่านหอคุณภาพ โดยใช้แร่ดิน CTS/MMT เป็นตัวคุณภาพ ที่  $C_0 = 200 \text{ mg/L}$   $H = 15 \text{ cm}$   $Q = 3.57 \text{ mL/min}$  และ  $\text{pH}_0 = 7 \pm 0.5$



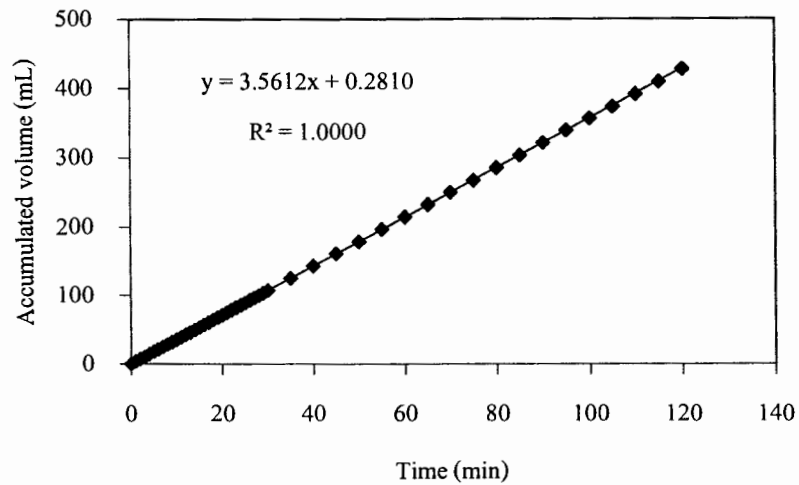
ภาพที่ ค.36 ความสัมพันธ์ระหว่างปริมาตรสะสมของน้ำสีสังเคราะห์สีข้ม MO หลังผ่านหอคุณภาพ กับเวลา โดยใช้แร่ดิน CTS/MMT เป็นตัวคุณภาพ ที่  $C_0 = 200 \text{ mg/L}$   $H = 15 \text{ cm}$   $Q = 3.57 \text{ mL/min}$  และ  $\text{pH}_0 = 7 \pm 0.5$



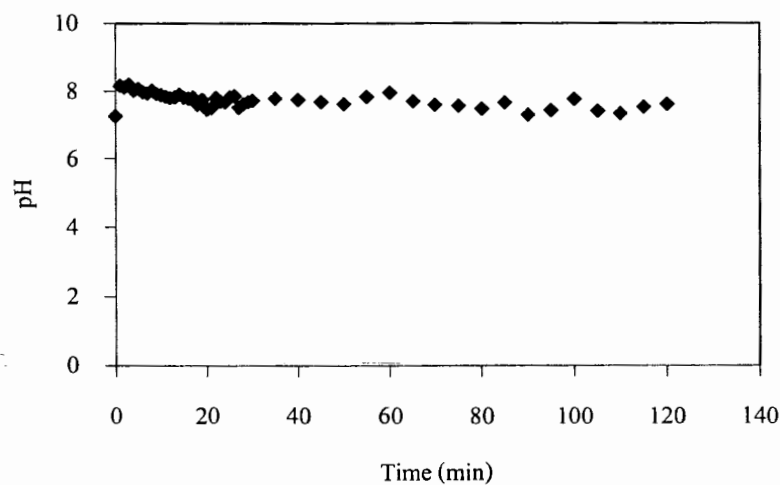
ภาพที่ ค.37 ความสัมพันธ์ระหว่างค่า pH ของน้ำสีสังเคราะห์สีข้ม MO กับเวลา โดยใช้เรเดิน CTS/MMT เป็นตัวดูดซับในระบบหอดูดซับ ที่  $C_0 = 100 \text{ mg/L}$   $H = 20 \text{ cm}$   
 $Q = 3.56 \text{ mL/min}$  และ  $\text{pH}_0 = 7 \pm 0.5$



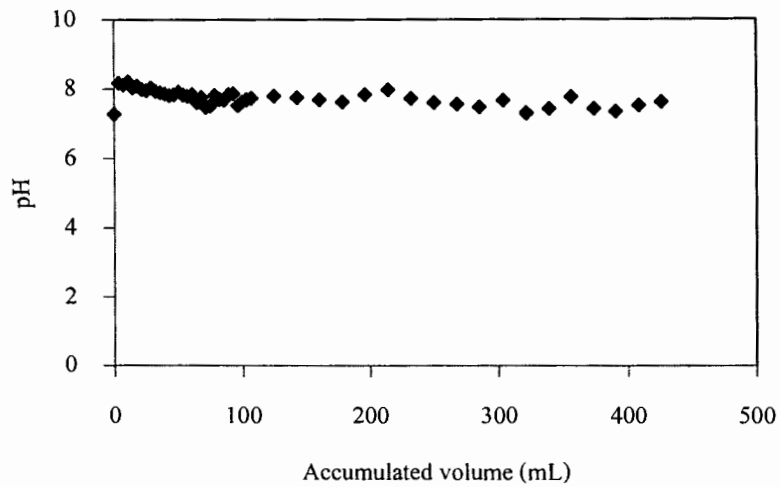
ภาพที่ ค.38 ความสัมพันธ์ระหว่างค่า pH ของน้ำสีสังเคราะห์สีข้ม MO กับปริมาตรสะสมหลังผ่านหอดูดซับ โดยใช้เรเดิน CTS/MMT เป็นตัวดูดซับ ที่  $C_0 = 100 \text{ mg/L}$   $H = 20 \text{ cm}$   
 $Q = 3.56 \text{ mL/min}$  และ  $\text{pH}_0 = 7 \pm 0.5$



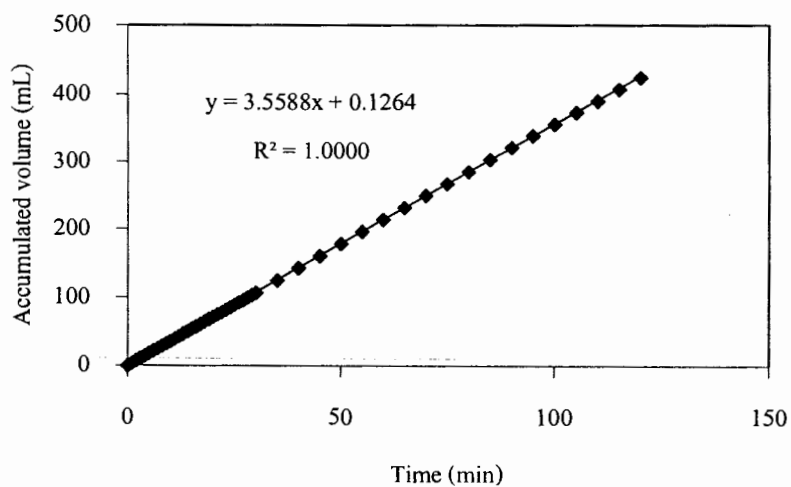
ภาพที่ ค.39 ความสัมพันธ์ระหว่างปริมาตรสะสมของน้ำสีสังเคราะห์สีข้อม MO หลังผ่านหอคูดซับ กับเวลา โดยใช้แร่ดิน CTS/MMT เป็นตัวคูดซับ ที่  $C_0 = 100 \text{ mg/L}$   $H = 20 \text{ cm}$   
 $Q = 3.56 \text{ mL/min}$  และ  $\text{pH}_0 = 7 \pm 0.5$



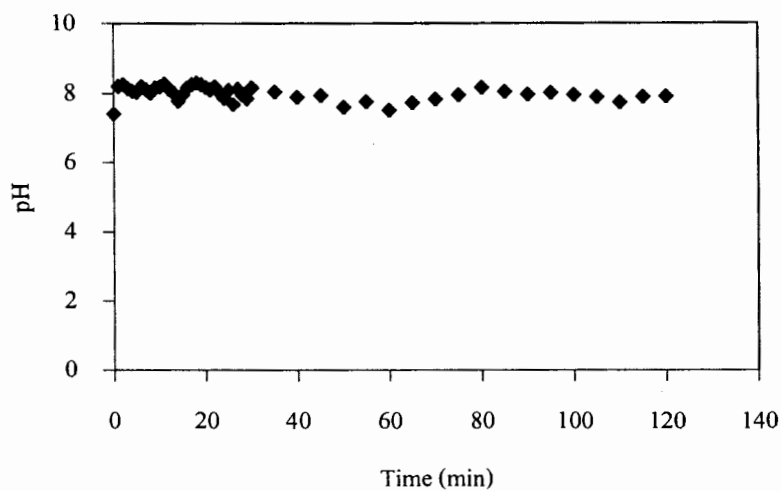
ภาพที่ ค.40 ความสัมพันธ์ระหว่างค่า pH ของน้ำสีสังเคราะห์สีข้อม MO กับเวลา โดยใช้แร่ดิน CTS/MMT เป็นตัวคูดซับในระบบหอคูดซับ ที่  $C_0 = 100 \text{ mg/L}$   $H = 25 \text{ cm}$   
 $Q = 3.56 \text{ mL/min}$  และ  $\text{pH}_0 = 7 \pm 0.5$



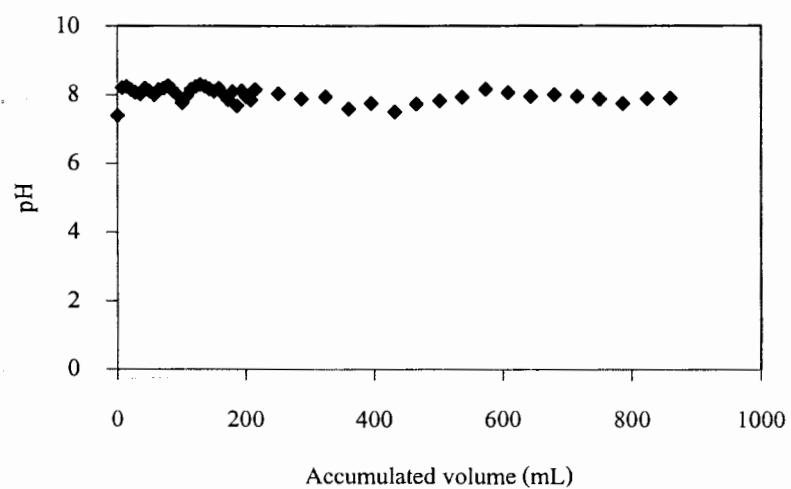
ภาพที่ ค.41 ความสัมพันธ์ระหว่างค่า pH ของน้ำสีสังเคราะห์สีย้อม MO กับปริมาตรสะสมหลังผ่านหอคุณชับ โดยใช้เรซิน CTS/MMT เป็นตัวหอคุณชับ ที่  $C_0 = 100 \text{ mg/L}$   $H = 25 \text{ cm}$   $Q = 3.56 \text{ mL/min}$  และ  $\text{pH}_0 = 7 \pm 0.5$



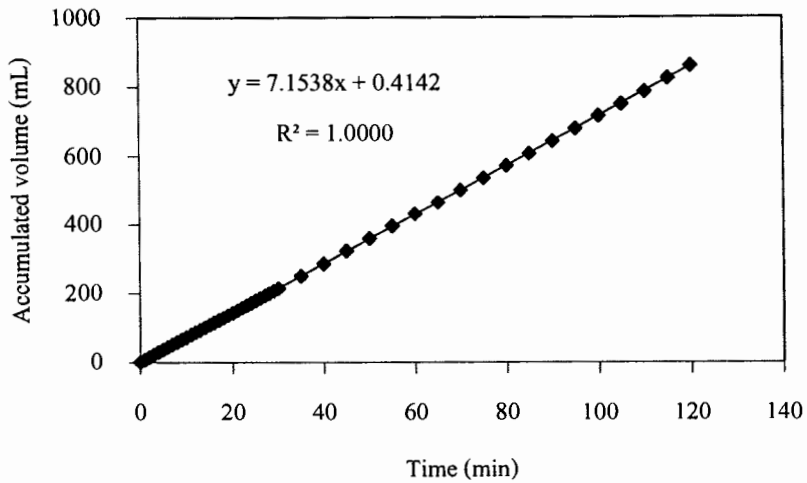
ภาพที่ ค.42 ความสัมพันธ์ระหว่างปริมาตรสะสมของน้ำสีสังเคราะห์สีย้อม MO หลังผ่านหอคุณชับ กับเวลา โดยใช้เรซิน CTS/MMT เป็นตัวหอคุณชับ ที่  $C_0 = 100 \text{ mg/L}$   $H = 25 \text{ cm}$   $Q = 3.56 \text{ mL/min}$  และ  $\text{pH}_0 = 7 \pm 0.5$



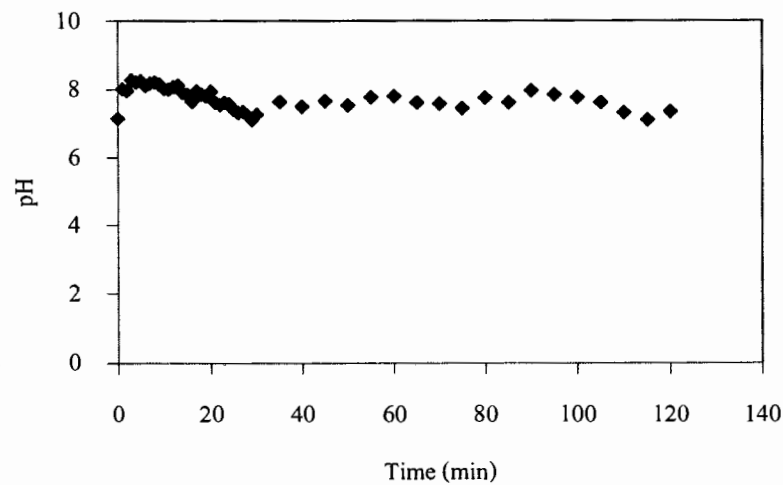
ภาพที่ ค.43 ความสัมพันธ์ระหว่างค่า pH ของน้ำสีสังเคราะห์สีข้อม MO กับเวลา โดยใช้เรเดิน CTS/MMT เป็นตัวดูดซับในระบบหอดูดซับ ที่  $C_0 = 100 \text{ mg/L}$   $H = 15 \text{ cm}$   
 $Q = 7.15 \text{ mL/min}$  และ  $\text{pH}_0 = 7 \pm 0.5$



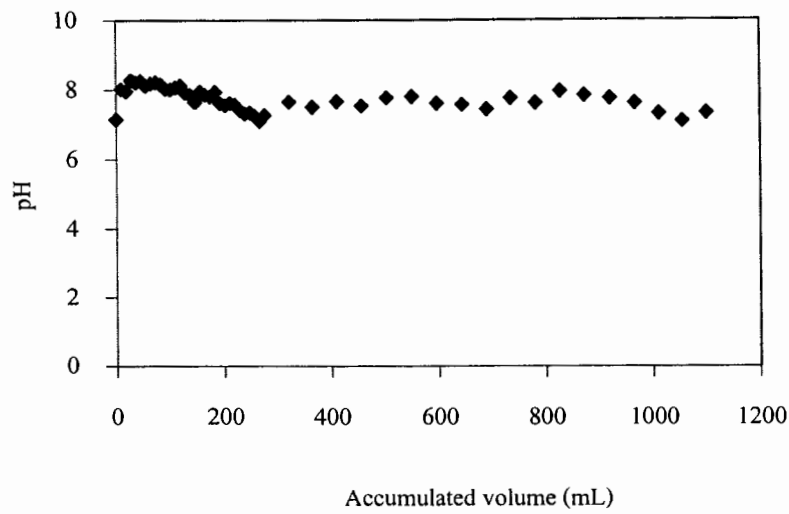
ภาพที่ ค.44 ความสัมพันธ์ระหว่างค่า pH ของน้ำสีสังเคราะห์สีข้อม MO กับปริมาตรสะสมหลังผ่านหอดูดซับ โดยใช้เรเดิน CTS/MMT เป็นตัวดูดซับ ที่  $C_0 = 100 \text{ mg/L}$   $H = 15 \text{ cm}$   
 $Q = 7.15 \text{ mL/min}$  และ  $\text{pH}_0 = 7 \pm 0.5$



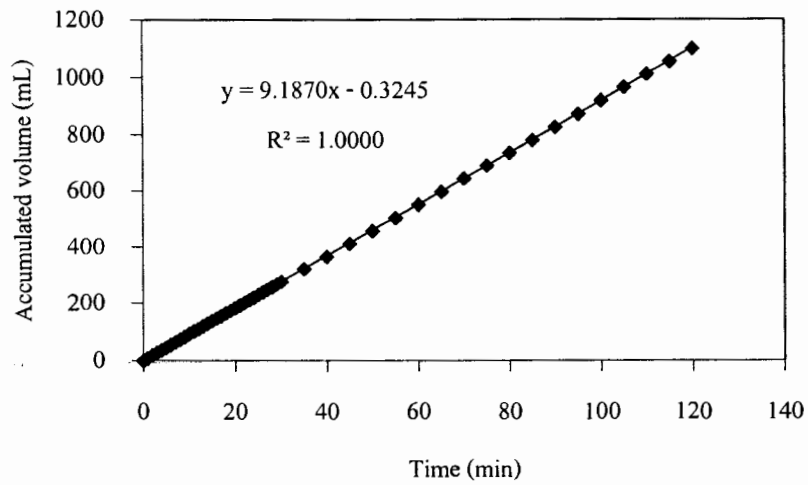
ภาพที่ ค.45 ความสัมพันธ์ระหว่างปริมาตรสะสมของน้ำสีสังเคราะห์สีข้ม MO หลังผ่านหอดูดซับกับเวลา โดยใช้แร่ดิน CTS/MMT เป็นตัวดูดซับ ที่  $C_0 = 100 \text{ mg/L}$   $H = 15 \text{ cm}$   
 $Q = 7.15 \text{ mL/min}$  และ  $\text{pH}_0 = 7 \pm 0.5$



ภาพที่ ค.46 ความสัมพันธ์ระหว่างค่า pH ของน้ำสีสังเคราะห์สีข้ม MO กับเวลา โดยใช้แร่ดิน CTS/MMT เป็นตัวดูดซับในระบบหอดูดซับ ที่  $C_0 = 100 \text{ mg/L}$   $H = 15 \text{ cm}$   
 $Q = 9.19 \text{ mL/min}$  และ  $\text{pH}_0 = 7 \pm 0.5$



ภาพที่ C.47 ความสัมพันธ์ระหว่างค่า pH ของน้ำสีสังเคราะห์สีข้ม MO กับปริมาตรสะสมหลังผ่านหอดูดซับ โดยใช้เรเดิน CTS/MMT เป็นตัวดูดซับ ที่  $C_0 = 100 \text{ mg/L}$   $H = 15 \text{ cm}$   $Q = 9.19 \text{ mL/min}$  และ  $\text{pH}_0 = 7 \pm 0.5$



ภาพที่ C.48 ความสัมพันธ์ระหว่างปริมาตรสะสมของน้ำสีสังเคราะห์สีข้ม MO หลังผ่านหอดูดซับ กับเวลา โดยใช้เรเดิน CTS/MMT เป็นตัวดูดซับ ที่  $C_0 = 100 \text{ mg/L}$   $H = 15 \text{ cm}$   $Q = 9.19 \text{ mL/min}$  และ  $\text{pH}_0 = 7 \pm 0.5$

ตารางที่ ค.1 อัตราส่วนระหว่างค่าความเข้มข้นที่เวลาใด ๆ หลังผ่านหอคุณภาพกับค่าความเข้มข้นเริ่มต้น ( $C_t/C_0$ ) ของสีชื่อ RB5 ที่ความสูงของเบดแตกต่างกัน (ความเข้มข้นเริ่มต้นเท่ากับ 100 mg/L และอัตราการไหลเท่ากับ  $3.57 \pm 0.02 \text{ mL/min}$ )

เวลา (นาที)	ชุดความคูณ			ชุดการทดสอบ		
	$C_t/C_0$			$C_t/C_0$		
	ที่ความสูงของเบด (cm) แตกต่างกัน	15	20	25	15	20
0	1.0000	1.0000	1.0000	1.0000	1.0000	1.0000
1	1.0000	1.0000	1.0000	0.0155	0.0086	0.0051
2	1.0000	1.0000	1.0000	0.0223	0.0120	0.0120
3	1.0000	1.0000	1.0000	0.0756	0.0309	0.0240
4	0.9983	1.0000	0.9965	0.0911	0.0532	0.0394
5	1.0000	0.9965	1.0000	0.1203	0.0875	0.0703
6	0.9983	1.0000	1.0000	0.2062	0.0978	0.0909
7	0.9966	0.9965	1.0000	0.2938	0.2024	0.1252
8	1.0000	0.9982	1.0000	0.4055	0.2813	0.1647
9	1.0000	0.9965	0.9965	0.5309	0.4683	0.3173
10	1.0000	1.0000	0.9982	0.6306	0.5352	0.4202
11	1.0000	1.0000	0.9965	0.6993	0.6072	0.4991
12	1.0000	1.0000	1.0000	0.7784	0.6432	0.5111
13	0.9966	1.0000	1.0000	0.7989	0.6741	0.5506
14	0.9983	1.0000	0.9982	0.8076	0.7153	0.5729
15	1.0000	0.9982	1.0000	0.8247	0.7461	0.6038
16	1.0000	0.9982	1.0000	0.8436	0.7753	0.6518
17	1.0000	1.0000	0.9965	0.8608	0.8027	0.6981
18	0.9983	1.0000	1.0000	0.8711	0.8250	0.7444
19	1.0000	1.0000	1.0000	0.8849	0.8371	0.7736
20	1.0000	1.0000	1.0000	0.8900	0.8525	0.8045
21	1.0000	1.0000	0.9965	0.8986	0.8593	0.8250

**ตารางที่ ค.1 อัตราส่วนระหว่างค่าความเข้มข้นที่เวลาใด ๆ หลังผ่านหอศูนย์ชั้นกับค่าความเข้มข้นเริ่มต้น ( $C_t/C_0$ ) ของสีข้อน RB5 ที่ความสูงของเบดแตกต่างกัน (ความเข้มข้นเริ่มต้นเท่ากับ 100 mg/L และอัตราการไหลเท่ากับ  $3.57 \pm 0.02$  mL/min) (ต่อ)**

เวลา (นาที)	ชุดควบคุม			ชุดการทดลอง		
	$C_t/C_0$ ที่ความสูงของเบด (cm) แตกต่างกัน			$C_t/C_0$ ที่ความสูงของเบด (cm) แตกต่างกัน		
	15	20	25	15	20	25
22	1.0000	0.9982	1.0000	0.9055	0.8645	0.8439
23	1.0000	0.9965	1.0000	0.9124	0.8696	0.8542
24	1.0000	1.0000	1.0000	0.9124	0.8765	0.8628
25	1.0000	1.0000	0.9965	0.9158	0.8816	0.8713
26	0.9983	0.9982	1.0000	0.9227	0.8867	0.8731
27	0.9983	1.0000	1.0000	0.9261	0.8936	0.8713
28	0.9983	0.9965	0.9965	0.9295	0.9005	0.8765
29	1.0000	1.0000	1.0000	0.9329	0.9022	0.8799
30	1.0000	1.0000	0.9965	0.9364	0.9056	0.8902
35	1.0000	1.0000	1.0000	0.9467	0.9108	0.8937
40	1.0000	1.0000	1.0000	0.9502	0.9125	0.8970
45	1.0000	1.0000	1.0000	0.9536	0.9177	0.9022
50	1.0000	0.9983	1.0000	0.9587	0.9245	0.9057
55	1.0000	1.0000	1.0000	0.9639	0.9314	0.9108
60	1.0000	1.0000	1.0000	0.9673	0.9365	0.9159
65	1.0000	1.0000	1.0000	0.9639	0.9331	0.9159
70	1.0000	1.0000	1.0000	0.9639	0.9331	0.9159
75	1.0000	1.0000	1.0000	0.9622	0.9365	0.9159
80	1.0000	1.0000	1.0000	0.9673	0.9331	0.9159
85	1.0000	1.0000	0.9982	0.9673	0.9365	0.9159
90	1.0000	1.0000	1.0000	0.9673	0.9331	0.9159
95	1.0000	1.0000	1.0000	0.9673	0.9365	0.9159

ตารางที่ ค.1 อัตราส่วนระหว่างค่าความเข้มข้นที่เวลาใด ๆ หลังผ่านหอดูดซับกับค่าความเข้มข้นเริ่มต้น ( $C_t/C_0$ ) ของสีเยื่อม RB5 ที่ความสูงของเบดแตกต่างกัน (ความเข้มข้นเริ่มต้นเท่ากับ 100 mg/L และอัตราการไหลเท่ากับ  $3.57 \pm 0.02$  mL/min) (ต่อ)

เวลา (นาที)	ชุดควบคุม			ชุดการทดลอง			
	$C_t/C_0$			$C_t/C_0$			
	ที่ความสูงของเบด (cm) แตกต่างกัน	15	20	25	ที่ความสูงของเบด (cm) แตกต่างกัน	15	20
100	1.0000	1.0000	1.0000	1.0000	0.9673	0.9365	0.9159
105	1.0000	1.0000	1.0000	1.0000	0.9673	0.9365	0.9159
110	1.0000	1.0000	1.0000	1.0000	0.9673	0.9365	0.9159
115	1.0000	1.0000	1.0000	1.0000	0.9673	0.9365	0.9159
120	1.0000	1.0000	1.0000	1.0000	0.9673	0.9365	0.9159

ตารางที่ ค.2 อัตราส่วนระหว่างค่าความเข้มข้นที่เวลาใด ๆ หลังผ่านหอดูดซับกับค่าความเข้มข้นเริ่มต้น ( $C_t/C_0$ ) ของสีเย้อม RBS ที่ความเข้มข้นเริ่มต้นแตกต่างกัน (ความสูงของเบดเท่ากับ 15 cm และอัตราการไหลเท่ากับ  $3.57 \pm 0.02 \text{ mL/min}$ )

เวลา (นาที)	ชุดควบคุม			ชุดการทดลอง		
	$C_t/C_0$ ที่ความเข้มข้นเริ่มต้น (mg/L) แตกต่างกัน			$C_t/C_0$ ที่ความเข้มข้นเริ่มต้น (mg/L) แตกต่างกัน		
	50	100	200	50	100	200
0	1.0000	1.0000	1.0000	1.0000	1.0000	1.0000
1	0.9971	1.0000	1.0000	0.0122	0.0155	0.0033
2	0.9981	1.0000	1.0000	0.0254	0.0223	0.0344
3	1.0000	1.0000	0.9980	0.0519	0.0756	0.0889
4	1.0000	0.9983	0.9942	0.0733	0.0911	0.1493
5	0.9971	1.0000	0.9980	0.1069	0.1203	0.4938
6	1.0000	0.9983	1.0000	0.1283	0.2062	0.6028
7	1.0000	0.9966	1.0000	0.1884	0.2938	0.8073
8	1.0000	1.0000	1.0000	0.2943	0.4055	0.8949
9	0.9990	1.0000	1.0000	0.3859	0.5309	0.9260
10	0.9971	1.0000	1.0000	0.5031	0.6306	0.9416
11	1.0000	1.0000	0.9980	0.5519	0.6993	0.9494
12	1.0000	1.0000	1.0000	0.6151	0.7784	0.9572
13	1.0000	0.9966	1.0000	0.6609	0.7989	0.9611
14	1.0000	0.9983	1.0000	0.7006	0.8076	0.9669
15	1.0000	1.0000	1.0000	0.7413	0.8247	0.9669
16	1.0000	1.0000	1.0000	0.7586	0.8436	0.9669
17	0.9990	1.0000	1.0000	0.7790	0.8608	0.9688
18	1.0000	0.9983	1.0000	0.8055	0.8711	0.9727
19	1.0000	1.0000	0.9980	0.8269	0.8849	0.9727
20	1.0000	1.0000	1.0000	0.8483	0.8900	0.9727
21	1.0000	1.0000	1.0000	0.8523	0.8986	0.9727

ตารางที่ ค.2 อัตราส่วนระหว่างค่าความเข้มข้นที่เวลาได ๆ หลังผ่านหอคูดซับกับค่าความเข้มข้นเริ่มต้น ( $C_t/C_0$ ) ของสีข้อม RB5 ที่ความเข้มข้นเริ่มต้นแตกต่างกัน (ความสูงของเบดเท่ากับ 15 cm และอัตราการไหลเท่ากับ  $3.57 \pm 0.02 \text{ mL/min}$ ) (ต่อ)

เวลา (นาที)	ชุดควบคุม			ชุดการทดสอบ		
	$C_t/C_0$ ที่ความเข้มข้นเริ่มต้น (mg/L) แตกต่างกัน			$C_t/C_0$ ที่ความเข้มข้นเริ่มต้น (mg/L) แตกต่างกัน		
	50	100	200	50	100	200
22	1.0000	1.0000	1.0000	0.8564	0.9055	0.9727
23	1.0000	1.0000	1.0000	0.8584	0.9124	0.9727
24	1.0000	1.0000	0.9980	0.8615	0.9124	0.9727
25	1.0000	1.0000	1.0000	0.8645	0.9158	0.9727
26	0.9990	0.9983	1.0000	0.8666	0.9227	0.9727
27	0.9990	0.9983	1.0000	0.8696	0.9261	0.9746
28	1.0000	0.9983	1.0000	0.8717	0.9295	0.9746
29	1.0000	1.0000	1.0000	0.8717	0.9329	0.9746
30	0.9990	1.0000	1.0000	0.8737	0.9364	0.9785
35	0.9981	1.0000	1.0000	0.8757	0.9467	0.9785
40	1.0000	1.0000	1.0000	0.8798	0.9502	0.9824
45	1.0000	1.0000	1.0000	0.8839	0.9536	0.9785
50	1.0000	1.0000	0.9980	0.8839	0.9587	0.9785
55	1.0000	1.0000	1.0000	0.8859	0.9639	0.9824
60	1.0000	1.0000	1.0000	0.8869	0.9673	0.9785
65	1.0000	1.0000	1.0000	0.8869	0.9639	0.9824
70	1.0000	1.0000	1.0000	0.8869	0.9639	0.9824
75	1.0000	1.0000	1.0000	0.8859	0.9622	0.9824
80	1.0000	1.0000	1.0000	0.8849	0.9673	0.9824
85	0.9990	1.0000	1.0000	0.8869	0.9673	0.9824
90	1.0000	1.0000	1.0000	0.8839	0.9673	0.9785
95	1.0000	1.0000	1.0000	0.8849	0.9673	0.9824

ตารางที่ ค.2 อัตราส่วนระหว่างค่าความเข้มข้นที่เวลาใด ๆ หลังผ่านหอดูดซับกับค่าความเข้มข้นเริ่มต้น ( $C_t/C_0$ ) ของสีข้อน RB5 ที่ความเข้มข้นเริ่มต้นแตกต่างกัน (ความสูงของเบดเท่ากับ 15 cm และอัตราการไหลเท่ากับ  $3.57 \pm 0.02 \text{ mL/min}$ ) (ต่อ)

เวลา (นาที)	ชุดควบคุม			ชุดการทดลอง		
	$C_t/C_0$ ที่ความเข้มข้นเริ่มต้น (mg/L) แตกต่างกัน			$C_t/C_0$ ที่ความเข้มข้นเริ่มต้น (mg/L) แตกต่างกัน		
	50	100	200	50	100	200
100	1.0000	1.0000	1.0000	0.8859	0.9673	0.9785
105	1.0000	1.0000	1.0000	0.8849	0.9673	0.9825
110	1.0000	1.0000	1.0000	0.8869	0.9673	0.9825
115	1.0000	1.0000	1.0000	0.8859	0.9673	0.9825
120	1.0000	1.0000	1.0000	0.8859	0.9673	0.9825

ตารางที่ ค.3 อัตราส่วนระหว่างค่าความเข้มข้นที่เวลาใด ๆ หลังผ่านหอดูดซับกับค่าความเข้มข้นเริ่มต้น ( $C_t/C_0$ ) ของสีข้อม RB5 ที่อัตราการไหลแตกต่างกัน (ความสูงของเบดเท่ากับ 15 cm และ ความเข้มข้นเริ่มต้นเท่ากับ 100 mg/L)

เวลา (นาที)	ชุดควบคุม			ชุดการทดลอง		
	$C_t/C_0$ ที่อัตราการไหล (mL/min) แตกต่างกัน			$C_t/C_0$ ที่อัตราการไหล (mL/min) แตกต่างกัน		
	3.57	7.18	9.18	3.57	7.18	9.18
0	1.0000	1.0000	1.0000	1.0000	1.0000	1.0000
1	1.0000	1.0000	1.0000	0.0155	0.0153	0.0207
2	1.0000	1.0000	1.0000	0.0223	0.0801	0.1052
3	1.0000	1.0000	1.0000	0.0756	0.1056	0.1431
4	0.9983	1.0000	1.0000	0.0911	0.1413	0.4224
5	1.0000	1.0000	1.0000	0.1203	0.3628	0.6120
6	0.9983	0.9965	0.9982	0.2062	0.6354	0.7896
7	0.9966	1.0000	0.9982	0.2938	0.6984	0.8982
8	1.0000	1.0000	0.9982	0.4055	0.7683	0.9103
9	1.0000	1.0000	1.0000	0.5309	0.8040	0.9310
10	1.0000	0.9982	0.9948	0.6306	0.8194	0.9448
11	1.0000	0.9982	1.0000	0.6993	0.8534	0.9500
12	1.0000	0.9965	1.0000	0.7784	0.8909	0.9552
13	0.9966	0.9965	1.0000	0.7989	0.9097	0.9586
14	0.9983	0.9982	0.9982	0.8076	0.9386	0.9620
15	1.0000	1.0000	1.0000	0.8247	0.9454	0.9603
16	1.0000	1.0000	0.9982	0.8436	0.9505	0.9637
17	1.0000	0.9982	0.9982	0.8608	0.9523	0.9637
18	0.9983	1.0000	1.0000	0.8711	0.9591	0.9637
19	1.0000	0.9982	1.0000	0.8849	0.9591	0.9637
20	1.0000	1.0000	0.9982	0.8900	0.9625	0.9603
21	1.0000	0.9982	1.0000	0.8986	0.9625	0.9620

ตารางที่ ก.3 อัตราส่วนระหว่างค่าความเข้มข้นที่เวลาใด ๆ หลังผ่านหอดคุณภาพกับค่าความเข้มข้นเริ่มต้น ( $C/C_0$ ) ของสีชี้อน RB5 ที่อัตราการไหลแตกต่างกัน (ความสูงของเบดเท่ากับ 15 cm และ ความเข้มข้นเริ่มต้นเท่ากับ 100 mg/L) (ต่อ)

เวลา (นาที)	ชุดควบคุม			ชุดการทดลอง		
	$C/C_0$ ที่อัตราการไหล (mL/min) แตกต่างกัน			$C/C_0$ ที่อัตราการไหล (mL/min) แตกต่างกัน		
	3.57	7.18	9.18	3.57	7.18	9.18
22	1.0000	1.0000	0.9982	0.9055	0.9591	0.9655
23	1.0000	1.0000	0.9982	0.9124	0.9642	0.9672
24	1.0000	1.0000	1.0000	0.9124	0.9642	0.9672
25	1.0000	0.9982	1.0000	0.9158	0.9659	0.9672
26	0.9983	0.9965	1.0000	0.9227	0.9659	0.9706
27	0.9983	1.0000	1.0000	0.9261	0.9693	0.9655
28	0.9983	0.9965	1.0000	0.9295	0.9727	0.9672
29	1.0000	0.9982	1.0000	0.9329	0.9727	0.9706
30	1.0000	0.9982	1.0000	0.9364	0.9693	0.9672
35	1.0000	1.0000	1.0000	0.9467	0.9727	0.9706
40	1.0000	1.0000	0.9982	0.9502	0.9693	0.9672
45	1.0000	1.0000	0.9982	0.9536	0.9693	0.9706
50	1.0000	0.9982	1.0000	0.9587	0.9693	0.9706
55	1.0000	0.9982	1.0000	0.9639	0.9727	0.9741
60	1.0000	1.0000	0.9982	0.9673	0.9693	0.9741
65	1.0000	1.0000	1.0000	0.9639	0.9727	0.9741
70	1.0000	1.0000	1.0000	0.9639	0.9727	0.9706
75	1.0000	1.0000	0.9982	0.9622	0.9693	0.9741
80	1.0000	1.0000	1.0000	0.9673	0.9659	0.9706
85	1.0000	1.0000	1.0000	0.9673	0.9693	0.9741
90	1.0000	1.0000	0.9982	0.9673	0.9693	0.9741
95	1.0000	1.0000	0.9982	0.9673	0.9693	0.9741

ตารางที่ ก.3 อัตราส่วนระหว่างค่าความเข้มข้นที่เวลาใด ๆ หลังผ่านหอดูดซับกับค่าความเข้มข้นเริ่มต้น ( $C_t/C_0$ ) ของสีย้อม RB5 ที่อัตราการไหลแตกต่างกัน (ความสูงของเบดเท่ากับ 15 cm และ ความเข้มข้นเริ่มต้นเท่ากับ 100 mg/L) (ต่อ)

เวลา (นาที)	ชุดควบคุม			ชุดการทดลอง		
	$C_t/C_0$ ที่อัตราการไหล (mL/min) แตกต่างกัน			$C_t/C_0$ ที่อัตราการไหล (mL/min) แตกต่างกัน		
	3.57	7.18	9.18	3.57	7.18	9.18
100	1.0000	1.0000	1.0000	0.9673	0.9693	0.9741
105	1.0000	1.0000	1.0000	0.9673	0.9693	0.9741
110	1.0000	1.0000	1.0000	0.9673	0.9693	0.9741
115	1.0000	1.0000	1.0000	0.9673	0.9693	0.9741
120	1.0000	1.0000	1.0000	0.9673	0.9693	0.9741

ตารางที่ ค.4 อัตราส่วนระหว่างค่าความเข้มข้นที่เวลาใด ๆ หลังผ่านหอคุดซับกับค่าความเข้มข้นเริ่มต้น ( $C_r/C_0$ ) ของสีเยื่อม MO ที่ความสูงของเบดแตกต่างกัน (ความเข้มข้นเริ่มต้นเท่ากับ 100 mg/L และอัตราการไหลเท่ากับ  $3.57 \pm 0.02 \text{ mL/min}$ )

เวลา (นาที)	ชุดควบคุม			ชุดการทดลอง		
	$C_r/C_0$			$C_r/C_0$		
	ที่ความสูงของเบด (cm) แตกต่างกัน	15	20	25	15	20
0	1.0000	1.0000	1.0000	1.0000	1.0000	1.0000
1	1.0000	1.0000	1.0000	0.0174	0.0138	0.0057
2	1.0000	1.0000	1.0000	0.0429	0.0426	0.0150
3	1.0000	1.0000	1.0000	0.0835	0.0680	0.0508
4	1.0000	1.0000	0.9988	0.0951	0.0980	0.1052
5	0.9988	0.9976	1.0000	0.2018	0.2468	0.1329
6	0.9988	1.0000	1.0000	0.3723	0.4117	0.3514
7	1.0000	1.0000	0.9976	0.5208	0.5224	0.4924
8	1.0000	1.0000	1.0000	0.7111	0.5743	0.5156
9	0.9976	0.9976	0.9976	0.8109	0.6286	0.5514
10	1.0000	1.0000	1.0000	0.8758	0.7001	0.5872
11	1.0000	1.0000	1.0000	0.9037	0.7912	0.6162
12	1.0000	1.0000	1.0000	0.9141	0.8627	0.6497
13	1.0000	1.0000	1.0000	0.9245	0.9054	0.7005
14	0.9988	1.0000	0.9976	0.9454	0.9307	0.7421
15	1.0000	0.9988	0.9988	0.9524	0.9365	0.7884
16	0.9976	0.9988	0.9988	0.9570	0.9400	0.8473
17	1.0000	0.9988	0.9976	0.9524	0.9469	0.8890
18	0.9988	1.0000	1.0000	0.9571	0.9515	0.9132
19	0.9988	1.0000	0.9976	0.9593	0.9596	0.9317
20	1.0000	1.0000	0.9988	0.9651	0.9630	0.9445
21	0.9976	0.9976	0.9976	0.9698	0.9677	0.9572

ตารางที่ ค.4 อัตราส่วนระหว่างค่าความเข้มข้นที่เวลาใด ๆ หลังผ่านหอดูดซับกับค่าความเข้มข้นเริ่มต้น ( $C_t/C_0$ ) ของสีเยื่อม MO ที่ความสูงของเบดแตกต่างกัน (ความเข้มข้นเริ่มต้นเท่ากับ 100 mg/L และอัตราการไหลเท่ากับ  $3.57 \pm 0.02 \text{ mL/min}$ ) (ต่อ)

เวลา (นาที)	ชุดความคุณ			ชุดการทดลอง		
	$C_t/C_0$			$C_t/C_0$		
	ที่ความสูงของเบด (cm) แตกต่างกัน			ที่ความสูงของเบด (cm) แตกต่างกัน		
	15	20	25	15	20	25
22	1.0000	1.0000	0.9988	0.9733	0.9723	0.9618
23	1.0000	1.0000	0.9988	0.9756	0.9769	0.9699
24	1.0000	1.0000	1.0000	0.9779	0.9792	0.9734
25	1.0000	1.0000	1.0000	0.9802	0.9815	0.9757
26	1.0000	1.0000	1.0000	0.9825	0.9815	0.9791
27	1.0000	1.0000	0.9976	0.9837	0.9815	0.9815
28	1.0000	1.0000	1.0000	0.9849	0.9815	0.9826
29	0.9976	1.0000	1.0000	0.9825	0.9815	0.9849
30	1.0000	1.0000	1.0000	0.9849	0.9815	0.9838
35	1.0000	1.0000	0.9976	0.9849	0.9815	0.9838
40	1.0000	0.9976	0.9976	0.9837	0.9815	0.9838
45	0.9976	0.9976	1.0000	0.9849	0.9815	0.9803
50	0.9988	1.0000	1.0000	0.9849	0.9815	0.9815
55	1.0000	1.0000	1.0000	0.9849	0.9815	0.9838
60	1.0000	0.9988	0.9976	0.9837	0.9815	0.9838
65	1.0000	1.0000	0.9988	0.9849	0.9815	0.9803
70	1.0000	0.9976	1.0000	0.9849	0.9815	0.9838
75	1.0000	1.0000	1.0000	0.9849	0.9815	0.9838
80	0.9976	1.0000	1.0000	0.9849	0.9815	0.9838
85	0.9976	1.0000	1.0000	0.9849	0.9815	0.9838
90	1.0000	0.9976	1.0000	0.9849	0.9815	0.9838
95	1.0000	0.9976	1.0000	0.9849	0.9815	0.9838

ตารางที่ ก.4 อัตราส่วนระหว่างค่าความเข้มข้นที่เวลาใด ๆ หลังผ่านหอคุณภาพกับค่าความเข้มข้นเริ่มต้น ( $C_t/C_0$ ) ของสีข้อม MO ที่ความสูงของเบดแตกต่างกัน (ความเข้มข้นเริ่มต้นเท่ากับ 100 mg/L และอัตราการไหลเท่ากับ  $3.57 \pm 0.02$  mL/min) (ต่อ)

เวลา (นาที)	ชุดควบคุม			ชุดการทดลอง		
	$C_t/C_0$			$C_t/C_0$		
	ที่ความสูงของเบด (cm) แตกต่างกัน	15	20	25	15	20
100	0.9988	1.0000	1.0000	0.9849	0.9815	0.98381
105	1.0000	1.0000	1.0000	0.9849	0.9815	0.98381
110	1.0000	0.9988	1.0000	0.9849	0.9815	0.98381
115	1.0000	1.0000	1.0000	0.9849	0.9815	0.98381
120	1.0000	1.0000	1.0000	0.9849	0.9815	0.98381

ตารางที่ ค.5 อัตราส่วนระหว่างค่าความเข้มข้นที่เวลาใด ๆ หลังผ่านหอดูดซับกับค่าความเข้มข้นเริ่มต้น ( $C_t/C_0$ ) ของสีข้อม MO ที่ความเข้มข้นเริ่มต้นแตกต่างกัน (ความสูงของเบดเท่ากับ 15 cm และอัตราการไหลเท่ากับ  $3.57 \pm 0.02$  mL/min)

เวลา (นาที)	ชุดควบคุม			ชุดการทดลอง		
	$C_t/C_0$ ที่ความเข้มข้นเริ่มต้น (mg/L) แตกต่างกัน			$C_t/C_0$ ที่ความเข้มข้นเริ่มต้น (mg/L) แตกต่างกัน		
	50	100	200	50	100	200
0	1.0000	1.0000	1.0000	1.0000	1.0000	1.0000
1	1.0000	1.0000	1.0000	0.0099	0.0174	0.0088
2	1.0000	1.0000	1.0000	0.0280	0.0429	0.0473
3	1.0000	1.0000	1.0000	0.0668	0.0835	0.0751
4	0.9990	1.0000	0.9986	0.1183	0.0951	0.3255
5	0.9990	0.9988	1.0000	0.1309	0.2018	0.6051
6	1.0000	0.9988	1.0000	0.2384	0.3723	0.7535
7	1.0000	1.0000	1.0000	0.3495	0.5208	0.8727
8	1.0000	1.0000	1.0000	0.4706	0.7111	0.9125
9	1.0000	0.9976	0.9986	0.5736	0.8109	0.9443
10	0.9981	1.0000	1.0000	0.6115	0.8758	0.9536
11	0.9990	1.0000	1.0000	0.6486	0.9037	0.9575
12	1.0000	1.0000	1.0000	0.7253	0.9141	0.96024
13	1.0000	1.0000	1.0000	0.7606	0.9245	0.9628
14	0.9990	0.9988	1.0000	0.7976	0.9454	0.9655
15	0.9990	1.0000	0.9973	0.8626	0.9524	0.9708
16	0.9990	0.9976	1.0000	0.8753	0.9570	0.9748
17	1.0000	1.0000	0.9973	0.8988	0.9524	0.9721
18	1.0000	0.9988	1.0000	0.9141	0.9571	0.9748
19	1.0000	0.9988	1.0000	0.9259	0.9593	0.9774
20	1.0000	1.0000	1.0000	0.9277	0.9651	0.9774
21	1.0000	0.9976	1.0000	0.9331	0.9698	0.9748

ตารางที่ ค.5 อัตราส่วนระหว่างค่าความเข้มข้นที่เวลาใด ๆ หลังผ่านหอคุณภาพกับค่าความเข้มข้นเริ่มต้น ( $C/C_0$ ) ของสีข้อน MO ที่ความเข้มข้นเริ่มต้นแตกต่างกัน (ความสูงของเบดเท่ากับ 15 cm และอัตราการไหลเท่ากับ  $3.57 \pm 0.02$  mL/min) (ต่อ)

เวลา (นาที)	ชุดควบคุม			ชุดการทดลอง		
	$C/C_0$ ที่ความเข้มข้นเริ่มต้น (mg/L) แตกต่างกัน			$C/C_0$ ที่ความเข้มข้นเริ่มต้น (mg/L) แตกต่างกัน		
	50	100	200	50	100	200
22	0.9990	1.0000	1.0000	0.9349	0.9733	0.9774
23	1.0000	1.0000	1.0000	0.9367	0.9756	0.9801
24	1.0000	1.0000	1.0000	0.9385	0.9779	0.9774
25	1.0000	1.0000	1.0000	0.9412	0.9802	0.9801
26	1.0000	1.0000	1.0000	0.9439	0.9825	0.9801
27	1.0000	1.0000	0.9986	0.9457	0.9837	0.9814
28	1.0000	1.0000	1.0000	0.9494	0.9849	0.9840
29	0.9991	0.9976	1.0000	0.9530	0.9825	0.9880
30	0.9991	1.0000	1.0000	0.9557	0.9849	0.9894
35	1.0000	1.0000	0.9973	0.9584	0.9849	0.9920
40	0.9982	1.0000	1.0000	0.9638	0.9837	0.9920
45	0.9982	0.9976	1.0000	0.9683	0.9849	0.9920
50	1.0000	0.9988	1.0000	0.9710	0.9849	0.9920
55	0.9991	1.0000	1.0000	0.9765	0.9849	0.9920
60	1.0000	1.0000	1.0000	0.9774	0.9837	0.9920
65	1.0000	1.0000	1.0000	0.9765	0.9849	0.9920
70	1.0000	1.0000	1.0000	0.9765	0.9849	0.9920
75	1.0000	1.0000	1.0000	0.9765	0.9849	0.9920
80	1.0000	0.9976	0.9986	0.9765	0.9849	0.9920
85	1.0000	0.9976	1.0000	0.9765	0.9849	0.9920
90	1.0000	1.0000	1.0000	0.9765	0.9849	0.9920
95	1.0000	1.0000	1.0000	0.9765	0.9849	0.9920

ตารางที่ ค.5 อัตราส่วนระหว่างค่าความเข้มข้นที่เวลาใด ๆ หลังผ่านหอดูดซับกับค่าความเข้มข้นเริ่มต้น ( $C_t/C_0$ ) ของสีเย้อม MO ที่ความเข้มข้นเริ่มต้นแตกต่างกัน (ความสูงของเบดเท่ากับ 15 cm และอัตราการไหลเท่ากับ  $3.57 \pm 0.02$  mL/min) (ต่อ)

เวลา (นาที)	ชุดควบคุม			ชุดการทดลอง		
	$C_t/C_0$ ที่ความเข้มข้นเริ่มต้น (mg/L) แตกต่างกัน			$C_t/C_0$ ที่ความเข้มข้นเริ่มต้น (mg/L) แตกต่างกัน		
	50	100	200	50	100	200
100	1.0000	0.9988	0.9987	0.9765	0.9849	0.9920
105	1.0000	1.0000	1.0000	0.9765	0.9849	0.9920
110	1.0000	1.0000	1.0000	0.9765	0.9849	0.9920
115	1.0000	1.0000	1.0000	0.9765	0.9849	0.9920
120	1.0000	1.0000	1.0000	0.9765	0.9849	0.9920

**ตารางที่ ค.6 อัตราส่วนระหว่างค่าความเข้มข้นที่เวลาใด ๆ หลังผ่านหอดูดซับกับค่าความเข้มข้นเริ่มต้น ( $C/C_0$ ) ของสีเย็น MO ที่อัตราการไหลแตกต่างกัน (ความสูงของเบดเท่ากับ 15 cm และความเข้มข้นเริ่มต้นเท่ากับ 100 mg/L)**

เวลา (นาที)	ชุดควบคุม			ชุดการทดลอง		
	$C/C_0$ ที่อัตราการไหล (mL/min) แตกต่างกัน			$C/C_0$ ที่อัตราการไหล (mL/min) แตกต่างกัน		
	3.57	7.18	9.18	3.57	7.18	9.18
0	1.0000	1.0000	1.0000	1.0000	1.0000	1.0000
1	1.0000	1.0000	1.0000	0.0174	0.0092	0.0172
2	1.0000	1.0000	1.0000	0.0429	0.0530	0.0931
3	1.0000	1.0000	1.0000	0.0835	0.1199	0.1425
4	1.0000	1.0000	1.0000	0.0951	0.1464	0.4161
5	0.9988	0.9988	0.9988	0.2018	0.4659	0.7494
6	0.9988	1.0000	1.0000	0.3723	0.6735	0.8988
7	1.0000	1.0000	1.0000	0.5208	0.8719	0.9482
8	1.0000	1.0000	0.9976	0.7111	0.8973	0.9678
9	0.9976	1.0000	1.0000	0.8109	0.9215	0.9735
10	1.0000	0.9976	0.9976	0.8758	0.9423	0.9781
11	1.0000	1.0000	1.0000	0.9037	0.9515	0.9816
12	1.0000	1.0000	1.0000	0.9141	0.9619	0.9862
13	1.0000	0.9988	0.9976	0.9245	0.9665	0.9919
14	0.9988	0.9976	0.9976	0.9454	0.9700	0.9908
15	1.0000	1.0000	1.0000	0.9524	0.9723	0.9919
16	0.9976	1.0000	1.0000	0.9570	0.9746	0.9931
17	1.0000	1.0000	1.0000	0.9524	0.9769	0.9919
18	0.9988	1.0000	0.9976	0.9571	0.9780	0.9919
19	0.9988	1.0000	0.9976	0.9593	0.9792	0.9942
20	1.0000	1.0000	0.9976	0.9651	0.9803	0.9942
21	0.9976	1.0000	0.9976	0.9698	0.9815	0.9919

ตารางที่ ค.6 อัตราส่วนระหว่างค่าความเข้มข้นที่เวลาใด ๆ หลังผ่านหอดูดซับกับค่าความเข้มข้นเริ่มต้น ( $C_t/C_0$ ) ของสีข้อม MO ที่อัตราการไหลดแตกต่างกัน (ความสูงของเบดเท่ากับ 15 cm และความเข้มข้นเริ่มต้นเท่ากับ 100 mg/L) (ต่อ)

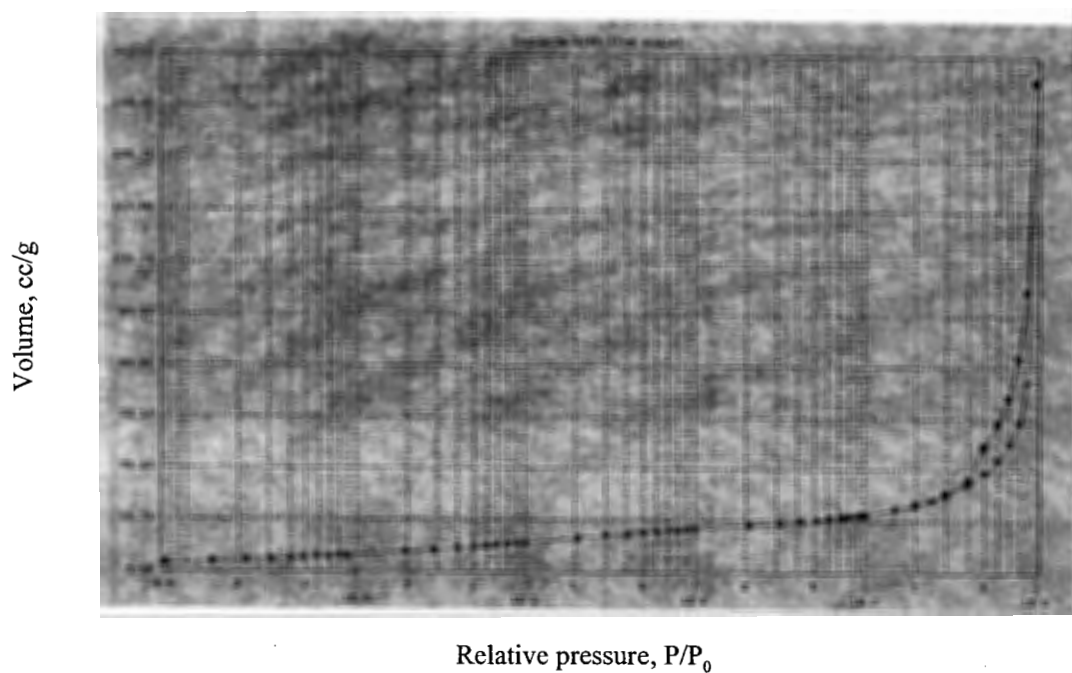
เวลา (นาที)	ชุดควบคุม			ชุดการทดสอบ		
	$C_t/C_0$ ที่อัตราการไหลด (mL/min) แตกต่างกัน			$C_t/C_0$ ที่อัตราการไหลด (mL/min) แตกต่างกัน		
	3.57	7.18	9.18	3.57	7.18	9.18
22	1.0000	0.9976	1.0000	0.9733	0.9861	0.9919
23	1.0000	1.0000	1.0000	0.9756	0.9861	0.9919
24	1.0000	1.0000	1.0000	0.9779	0.9861	0.9919
25	1.0000	1.0000	1.0000	0.9802	0.9861	0.9919
26	1.0000	1.0000	1.0000	0.9825	0.9861	0.9919
27	1.0000	1.0000	1.0000	0.9837	0.9861	0.9931
28	1.0000	0.9976	1.0000	0.9849	0.9861	0.9919
29	0.9976	1.0000	1.0000	0.9825	0.9861	0.9919
30	1.0000	1.0000	1.0000	0.9849	0.9861	0.9919
35	1.0000	1.0000	0.9976	0.9849	0.9861	0.9919
40	1.0000	0.9988	0.9976	0.9837	0.9861	0.9919
45	0.9976	1.0000	1.0000	0.9849	0.9861	0.9919
50	0.9988	0.9976	1.0000	0.9849	0.9861	0.9919
55	1.0000	0.9976	1.0000	0.9849	0.9861	0.9919
60	1.0000	1.0000	0.9988	0.9837	0.9861	0.9919
65	1.0000	1.0000	1.0000	0.9849	0.9861	0.9919
70	1.0000	1.0000	1.0000	0.9849	0.9861	0.9919
75	1.0000	1.0000	1.0000	0.9849	0.9861	0.9942
80	0.9976	1.0000	1.0000	0.9849	0.9838	0.9919
85	0.9976	1.0000	1.0000	0.9849	0.9838	0.9919
90	1.0000	0.9976	0.9976	0.9849	0.9861	0.9919
95	1.0000	1.0000	1.0000	0.9849	0.9861	0.9919

ตารางที่ ค.6 อัตราส่วนระหว่างค่าความเข้มข้นที่เวลาใด ๆ หลังผ่านหอคุณตับกับค่าความเข้มข้นเริ่มต้น ( $C_t/C_0$ ) ของสีเย้อม MO ที่อัตราการไหลดแตกต่างกัน (ความสูงของเบดเท่ากับ 15 cm และความเข้มข้นเริ่มต้นเท่ากับ 100 mg/L) (ต่อ)

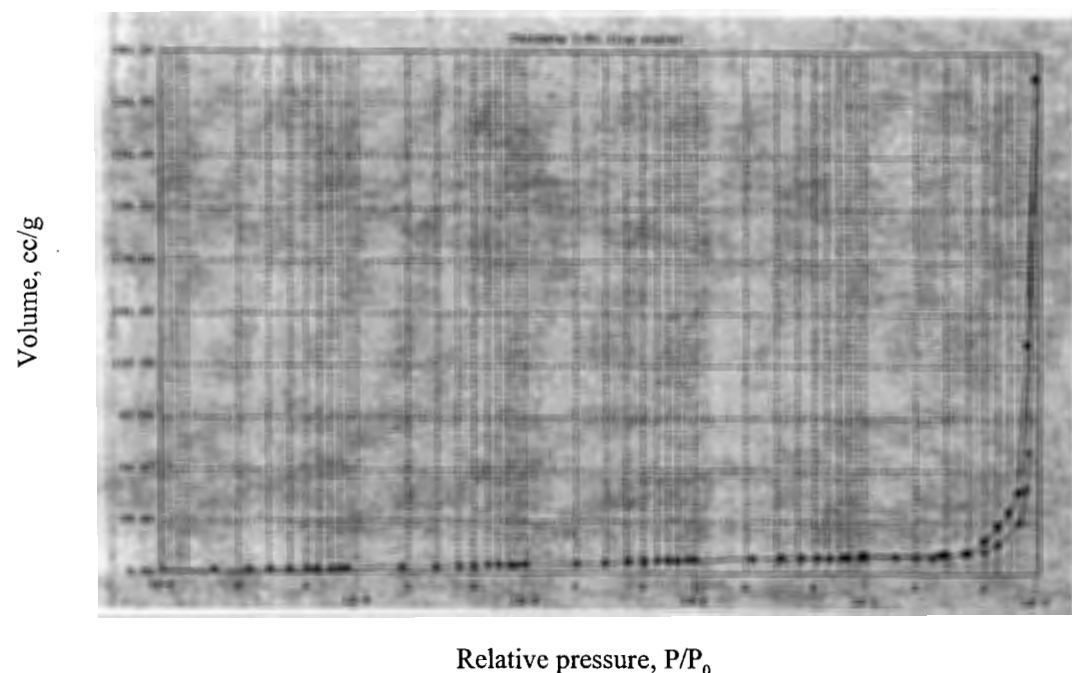
เวลา (นาที)	ชุดควบคุม			ชุดการทดลอง		
	$C_t/C_0$ ที่อัตราการไหลด (mL/min) แตกต่างกัน		$C_t/C_0$ ที่อัตราการไหลด (mL/min) แตกต่างกัน			
	3.57	7.18		9.18	3.57	7.18
100	0.9988	1.0000	1.0000	0.9849	0.9838	0.9919
105	1.0000	1.0000	1.0000	0.9849	0.9861	0.9919
110	1.0000	1.0000	1.0000	0.9849	0.9861	0.9919
115	1.0000	1.0000	1.0000	0.9849	0.9861	0.9919
120	1.0000	1.0000	1.0000	0.9849	0.9861	0.9919

ภาคผนวก ง

ไฮโซเทอมการดูดซับและการขยายซับของก้าชในโตรเจน



ภาพที่ 4.1 ไอโซเทอมการดูดซับและการคายซับของก้าชในโตรเจนบันแร่คิน MMT



ภาพที่ 4.2 ไอโซเทอมการดูดซับและการคายซับของก้าชในโตรเจนบันแร่คิน CTS/MMT

**ภาคผนวก จ**

**ผลงานการนำเสนอในการประชุมวิชาการระดับชาติ**

การกำจัดสี雍ผ้าจากน้ำเสียสังเคราะห์โดยใช้แร่ดินมอนต์มอร์

## ริลโล ไนต์เคลือบผิวด้วยไฮโคลาชัน

## **Removal of Dye from Synthetic Wastewater by using**

## **Chitosan-coated-Montmorillonite clay**

ทรงศักดิ์ สรวงแก้ว<sup>1</sup> และ จักรกฤษณ์ อัมพุช<sup>2\*</sup>

Songsak Sakaew<sup>1</sup> and Chakkrit Umpuch<sup>2\*</sup>

**นิสิตบัณฑิตศึกษา ภาควิชาวิศวกรรมเคมี คณะวิศวกรรมศาสตร์ มหาวิทยาลัยอุบลราชธานี จ.อุบลราชธานี 34190**

<sup>2</sup>อาจารย์ ภาควิชาวิศวกรรมเคมี คณะวิศวกรรมศาสตร์ มหาวิทยาลัยอุบลราชธานี จ.อุบลราชธานี 34190

<sup>2</sup>ศูนย์ความเป็นเลิศแห่งชาติด้านการจัดการสิ่งแวดล้อมและของเสียอันตราย มหาวิทยาลัยอุบลราชธานี

จ.อุบลราชธานี 34190

\*โทรศัพท์ : 045-353300 ต่อ 3359, โทรสาร : 045-353333, E-mail : Jaggrit@hotmail.com

บทคัดย่อ

งานวิจัยนี้มีวัตถุประสงค์เพื่อศึกษาการคุณชั้บสีข้อมูลจากน้ำเสียสังเคราะห์โดยใช้เรดิโนนเดิมอนเดิมอริลในตัวรรนชาติ (MMT) และเรดิโนนเดิมอริลโลในตัวเคลือบผิวคั่วไก่โตกาชาน (CTS/MMT) เป็นตัวคุณชั้บ งานวิจัยนี้แบ่งออกเป็น 3 ส่วน ได้แก่ การทดลองส่วนที่ 1 การวิเคราะห์คุณสมบัติของตัวคุณชั้บและสีข้อมูล พบว่าสารไก่โตกาชานสามารถเข้าไปปิดติดกับผิวของเรดิโนนและแทรกเข้าไปอยู่ในช่องว่างระหว่างชั้นคิน ส่งผลให้ช่องว่างระหว่างชั้นคิน ( $d_{001}$ ) กว้างขึ้นซึ่งวิเคราะห์ด้วยเครื่อง XRD และยืนยันการแตกเปลี่ยนหมุนฟังก์ชันของสารไก่โตกาชาน กับโมเลกุลที่อยู่ภายในช่องว่างระหว่างชั้นคินด้วยเครื่อง FTIR สีข้อมูลที่นำมาศึกษามีทั้งสิ้น 5 สี ได้แก่ สีเขียวหัวเป็ด สีคราม สีเลือดหมู สีไฟ嫩 และสีแดง ซึ่งองค์ประกอบส่วนใหญ่ของสีข้อมูลมาเป็นสารอินทรีย์ วิเคราะห์ด้วย Organic Matter method การทดลองส่วนที่ 2 การศึกษาการคุณชั้บแบบง่าย พบว่า แรดิโนนเดิมอริลโลในตัวรรนชาติ ไอโซเทอมการคุณชั้บสอดคล้องกับไอโซเทอมการคุณชั้บแบบเมเยอร์ ยกเว้นสีเขียวหัวเป็ดจะสอดคล้องกับไอโซเทอมแบบฟรุนซิช และการทดลองส่วนที่ 3 การศึกษาจลนพลดศาสตร์การคุณชั้บ พบว่า อัตราการคุณชั้บสอดคล้องกับสมการการคุณชั้บอันดับหนึ่งและสองเทียม นอกจากนี้การประภูมิของสีข้อมูลในตัวคุณชั้บหลังการคุณชั้บถูกยืนยันด้วยปริมาณ Organic matter หลังการคุณชั้บเพิ่มขึ้น

**คำสำคัญ :** การคุกคาม ลีชื่อมผ้าเกม สารไก่โตชาณ น้ำเสียสังเคราะห์ แร่ดินอนค์มอริล โลไม้ต์ธรรมชาติ แร่ดินอนค์มอริล โลไม้ต์เคลือบผิวด้วยไก่โตชาณ

## Abstract

The objective of this research was to study the adsorption of chemical dyes from synthetic wastewater by using montmorillonite (MMT) and chitosan-coated-montmorillonite clay (CTS/MMT) as adsorbents. This research was divided into 3 parts. Firstly, The properties of both adsorbents and 5 chemical dyes such as dark green, ocean blue, maroon, yellow and red color were analyzed. The interlayer ( $d_{001}$ ) of montmorillonite clay was increased by modifying the clay surface with chitosan analyzed by XRD and the substitute of functional group of chitosan to those in the interlayer was analyzed by FTIR. The chemical dyes were organic determined by organic matter method. Secondly, the batch adsorption showing that the chitosan-coated-montmorillonite clay adsorbed those dyes greater than that of the precursor. The equilibrium data of those dyes are fitted well by Langmuir's isotherm except the dark green dye that is conform to Freudlich's isotherm. Finally, kinetic adsorption showing that was conform to presudo-first and presudo-second order kinetic models with good correlation. The increase of organic matter of the adsorbent after adsorption confirmed the chemical dye adsorbed on the clay.

**Keywords :** Adsorption, Chemical dyes, Chitosan, Synthetic wastewater, Montmorillonite clay, Chitosan-coated-Montmorillonite clay

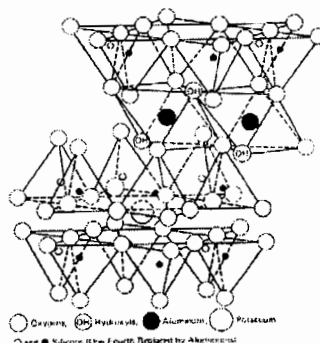
### บทนำ

ผลิตภัณฑ์ผ้าไนลอน ผ้าฝ้าย และผ้ากางเกงบัว เป็นต้น เป็นสินค้าโอทอปที่มีการผลิตเป็นจำนวนมากในชุมชน ใกล้เคียงกับมหาวิทยาลัยอุบลราชธานี แต่ในขั้นตอนการย้อมสีผ้าก่อให้เกิดน้ำเสียปริมาณมาก เนื่องจากชาวบ้าน จะนิยมใช้สีข้อมผ้าเคมีสังเคราะห์ ที่มีราคาถูก หาซื้อได้ง่ายในห้องถัง และให้ผ้าที่มีสีสดดicitทนนาน น้ำเสียเหล่านี้ จะถูกปล่อยสู่แหล่งรองรับทางธรรมชาติ เช่น ลำธารที่อยู่ใกล้เคียง พื้นดินใต้ดินบ้าน เป็นต้น โดยไม่ได้รับการ บำบัดก่อนทึ่งแค่บ่ำได้ น้ำเสียเหล่านี้บ่อมลายของความธรรมชาติได้น้อย จึงก่อให้เกิดปัญหาแหล่งน้ำเน่าเสียและ การปนเปื้อนของสีข้อมในดิน ได้ซึ่งกระบวนการดูดซับเป็นกระบวนการหันน้ำที่เหมาะสมสำหรับใช้บำบัดน้ำเสียที่บ่อมลายได้น้อยโดยกระบวนการทางชีวภาพ [1]

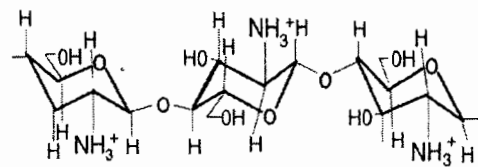
แร่ดินมองต์มอริลโลไนต์เป็นแร่ดินที่พบมากในประเทศไทย มีราคาถูก มีการผลิตเชิงพาณิชย์จึงทำให้มี มีปัญหานักวักกับความบริสุทธิ์และปริมาณของแร่ดิน องค์ประกอบทางเคมีส่วนใหญ่ของแร่ดินมองต์มอริลโลไนต์เป็นออกไซด์ของอลูมิเนียม (Al<sub>2</sub>O<sub>3</sub>) อยู่ในแผ่นอลูมิโนและซิลิกาออกไซด์ (SiO<sub>4</sub>) อยู่ในแผ่นซิลิกา ในลักษณะ ชั้นกันเป็นชั้นๆ (Lamellar structure) โดยหนึ่งชั้นดินจะประกอบไปด้วยแผ่นซิลิกาสองแผ่นประกอบกันแผ่นอลูมินาหนึ่งแผ่นและมีช่องว่างชั้นอยู่ระหว่างแต่ละชั้นดิน ลักษณะโครงสร้างของแร่ดินมองต์มอริลโลไนต์แสดงไว้ในรูปที่ 1 โดยในชั้นโครงสร้างของแร่ดินจะมีประจุสุทธิเป็นลบ [2] ลักษณะโครงสร้างที่เป็นชั้นสามารถดูดตัวได้ เมื่อออยู่ในน้ำจึงทำให้โนเลกูลที่มีประจุบวก เช่น Na<sup>+</sup> Ca<sup>2+</sup> และน้ำ เป็นต้น เข้ามาแทรกอยู่ในช่องว่างระหว่างชั้นดิน เพื่อให้ประจุภายในแร่ดินมองต์มอริลโลไนต์สมดุลกัน [3] ด้วยลักษณะเช่นนี้จึงทำให้แร่ดินชนิดนี้สามารถดูดซับ และแทนที่ด้วยโนเลกูลที่มีประจุบวกได้ เช่น สารเมทิลเด็นบูลู [4] เป็นต้น

นอกจากนี้ แร่คินนอมอนต์มอริลโลไนต์ขังสามารถนำมาปรับปรุงคุณสมบัติทางกายภาพและทางเคมีของแร่คินเพื่อให้มีสภาพเหมือนกับการนำไปใช้คุดชับสารปูนที่ต่างชนิดกันในน้ำ เช่น การนำแร่คินนอมอนต์มอริลโลไนต์ธรรมชาติตามทำปฏิกิริยา (ion-exchange) กับสารลดแรงตึงผิวประเภท Quaternary ammonium Compound (QACs) เพื่อเปลี่ยนแปลงพื้นผิวในโครงสร้างของแร่คินนอมอนต์มอริลโลไนต์ให้เหมาะสมกับการคุดชับสารอินทรีย์ ซึ่งตัวคุดชับชนิดนี้จะถูกเรียกว่า “Organo-clay” [5] และคิน Organo-clay สามารถเพิ่มประสิทธิภาพในการกำจัดสีข้อมผ้าเคมีในน้ำเสียสังเคราะห์ได้ดี เนื่องจากสีข้อมผ้าเหล่านี้มีองค์ประกอบบนหลักเป็นสารอินทรีย์ [3]

ไฮโคลาแทน (CTS) เป็นใบโอลิเมอร์ธรรมชาติตอย่างหนึ่ง เป็นสารอนุพันธุ์ของไฮคลินที่ไม่คลายน้ำ ซึ่งมีองค์ประกอบสำคัญในรูปของ D-glucosamine พบ ได้ในธรรมชาติ โดยเป็นองค์ประกอบอยู่ในเปลือกนอกของสัตว์ พอกกุ้ง ปู แมลง และเชื้อรา เป็นสารธรรมชาติที่มีลักษณะโดยเด่นเฉพาะตัว คือ เป็นวัสดุชีวภาพ (Biomaterials) ย่อยสลายตามธรรมชาติ มีความปลดปล่อยในการนำมาใช้กับมนุษย์ ไม่เกิดผลเสียและปลดปล่อยต่อสิ่งแวดล้อม ไม่เกิดการแพ้ ไม่ไวไฟและไม่เป็นพิษ (non-phylotoxic) ต่อพืช ไฮโคลาแทนเป็นตัวคุดชับที่นำมาใช้ในการคุดชับของแข็ง แขวนลดยึดซึ่งไม่มีประจุ และสามารถนำไปใช้คุดชับโดยที่มีประจุบวกได้ดี เพราะว่ามีหมู่อะมิโน (-NH<sub>2</sub>) และหมู่ไฮดรอกซิล (-OH) อยู่บนโซ่อิเลเมอร์ทำหน้าที่เป็นตัวยึดเกาะและเกิดปฏิกิริยา โครงสร้างของไฮโคลาแทนแสดงไว้ในรูปที่ 2 [6] ในประเทศไทยมีการบริโภคสัตว์ที่มีเปลือก เช่น กุ้ง ปู และแมลง เป็นต้น จึงทำให้มีเปลือกเหล่านี้เหลือทึ่งเป็นจำนวนมาก เมื่อนำมาสักด้วยไฮโคลาแทน ก็จะเป็นการเพิ่มน้ำค่าของเสียงประเทกน์ได้



รูปที่ 1 โครงสร้างของแร่คินนอมอนต์มอริลโลไนต์ [7]



รูปที่ 2 โครงสร้างของโมเลกุลไฮโคลาแทน

ดังนั้นงานวิจัยนี้มีวัตถุประสงค์เพื่อศึกษาการคุดชับสีข้อมผ้าเคมีจากน้ำเสียสังเคราะห์โดยใช้แร่คินนอมอนต์มอริลโลไนต์ธรรมชาติเป็นตัวคุดชับ และศึกษาการเพิ่มประสิทธิภาพการคุดชับโดยการปรับปรุงพื้นผิวของแร่คินด้วยสารไฮโคลาแทนต่อมาวิเคราะห์คุณสมบัติของตัวคุดชับและสีข้อมผ้า ศึกษาประสิทธิภาพการคุดชับ ศึกษาไอโซเทอโนมและจลนพลศาสตร์การคุดชับ โดยจะแสดงของรูปของพารามิเตอร์ต่าง ๆ เชิงจลนพลศาสตร์และเชิงสมดุลในการทดลองแบบชนิดขั้นตอนเดียว

## อุปกรณ์และวิธีการ

### สารเคมีที่ใช้ในการทดลอง

1. สีข้อมผ้าเคมีสังเคราะห์ที่ใช้ในการทดลองคือสีข้อมผ้าตราสิงโตศักดิ์ของบริษัท พวคีym สี จำนวน 5 สี ได้แก่ สีเขียวหัวเป็ด สีคราม สีเลือดหมู สีไฟ嫩 และสีแดงแก่

## 2. สารไกโคไซนจากบริษัท Aldrich Chemistry

3. แร่ดินมอนต์morilloidainต์ธรรมชาติที่ใช้ในงานวิจัยนี้ผลิตโดยบริษัทไทยนิปปอนค์เคมีภัณฑ์จำกัด โดยแร่ดินมีปริมาณขององค์ประกอบทางเคมีโดยน้ำหนัก (%wt) ประกอบไปด้วย  $\text{SiO}_2$  (56-60 %),  $\text{Al}_2\text{O}_3$  (16-18 %),  $\text{Fe}_2\text{O}_3$  (5-7 %),  $\text{Na}_2\text{O}$  (2.4-3 %),  $\text{MgO}$  (1.5-2.0 %),  $\text{CaO}$  (1.9-2.1 %),  $\text{K}_2\text{O}$  (0.3-0.5 %) และ  $\text{TiO}_2$  (1.2-1.5 %) มีค่า CEC (Cation exchange capacity) เท่ากับ 0.8 meq./g ซึ่งเป็นข้อมูลที่ทางบริษัทระบุไว้

### วิธีการทดลอง

#### 1. การเตรียมแร่ดินมอนต์morilloidainต์เคลือบผิวด้วยไกโคไซน

นำแร่ดินมอนต์morilloidainต์ธรรมชาติ 1 g ละลายในน้ำกลั่น 100 mL และเติมสารละลายน้ำไกโคไซนเข้มข้น 2 g/L ปริมาตร 100 mL ทำการกวนด้วยอัตราการกวนคงที่ ที่ความเร็วรอบ 200 รอบต่อนาที เป็นเวลา 1 ชั่วโมง ที่ 25°C จากนั้นปรับค่า pH ด้วยสารละลายน้ำ NaOH หรือ 0.1 M HCl ให้อยู่ในช่วง 7.0 - 7.5 ทิ้งสารละลายน้ำให้อยู่ในรูปของเจลเป็นเวลาครึ่งชั่วโมง ที่ 25°C หลังจากนั้นกรองแร่ดินด้วยเครื่องกรองสุญญากาศ เพื่อแยกแร่ดินและล้างด้วยน้ำกลั่น และทำให้แห้งโดยอบในเตาอบที่อุณหภูมิ 40°C เป็นเวลา 24 ชั่วโมง นำแร่ดินมอนต์morilloidainต์ที่เคลือบผิวด้วยไกโคไซนมาบดด้วยครกวิทยาศาสตร์ให้ละเอียด แล้วกึ่นนำไปร่อนผ่านตะแกรงขนาด 200 mesh ก็จะได้ขนาดอนุภาคเท่ากับ 75  $\mu\text{m}$

#### 2. การวิเคราะห์คุณสมบัติของตัวคุณชันและสีข้อมผ้า

กรณีที่ 1 การวิเคราะห์หาระยะห่างชั้นดิน (ค่า  $d_{50}$ ) ของแร่ดินมอนต์morilloidainต์และแร่ดินมอนต์morilloidainต์เคลือบผิวด้วยสารไกโคไซน โดยใช้กฎของเบรคส์ (Bragg's law) เพื่อเปลี่ยนค่า  $2\theta$  ไปเป็นค่า  $d_{50}$  วิเคราะห์ด้วยเครื่อง X-ray diffraction (Philips Model X' Pert MPD) กรณีที่ 2 การวิเคราะห์หาการแทนที่ของหมู่ฟังก์ชัน ได้แก่ ( $\text{-NH}_2$ ) และหมู่ไฮดรอกซิດ ( $\text{-OH}$ ) ของสารไกโคไซน กับหมู่ของน้ำในแร่ดินมอนต์morilloidainต์ เมื่อทำการปรับปรุงพื้นผิวของแร่ดินมอนต์morilloidainต์ด้วยสารไกโคไซน วิเคราะห์ด้วยเครื่อง Fourier transform infrared spectrophotometer (Perkin Elmer Model Spectrum RX 1) [8] กรณีที่ 3 วิเคราะห์หาปริมาณสารอินทรีย์ ในตัวคุณชันทั้งสองชนิดก่อนการคุณชันและในตัวคุณชัน (CTS/MMT) หลังการคุณชันสีข้อมผ้าทั้ง 5 สี ซึ่งใช้ปริมาณตัวอย่างในการทดลอง 2 g เพื่อใช้เป็นตัวอย่างคุณชันว่าสีข้อมถูกครึ่งไว้ที่พิวของตัวคุณชัน โดยใช้วิธี Organic matter determination ข้างต้น ASTM D 2974 – Standard Test Methods for Moisture, Ash, and Organic Matter of Peat and Organic Soils กรณีที่ 4 เนื่องจากสีข้อมผ้าเกมนีสังเคราะห์ส่วนใหญ่มีองค์ประกอบหลักเป็นสารอินทรีย์ เพราะมีชาตุการบอนเป็นส่วนประกอบหลัก [3] ดังนั้น จึงได้ทำการวิเคราะห์หาปริมาณสารอินทรีย์ในสีข้อมผ้า โดยใช้วิธี Organic matter determination มีวิธีการวิเคราะห์เช่นเดียวกับกรณีที่ 3 ดังข้างต้น แต่เปลี่ยนจากตัวคุณชันเป็นผงสีข้อมผ้า

#### 3. วิธีการวัดปริมาณสีข้อมผ้าในของเหลว

การวัดความเข้มข้นของสีข้อมผ้าในสารละลายน้ำ ทำได้โดยการวัดความเข้มของแสงส่องผ่านในรูปของค่า ความสามารถในการคูณกลืนแสง (Absorbance, Abs) โดยใช้เครื่อง UV-VIS Spectrophotometer และเปลี่ยนเป็นความเข้มข้นด้วยกราฟมาตรฐาน กระทำโดยใช้ตัววิธีของ จักรกฤษณ์ อัมพุช [3]

#### 4. การศึกษาการคุณชั้บแบบง่ายของสีข้อมผ้า

การศึกษาการคุณชั้บแบบง่ายของสีข้อมผ้าประกอบไปด้วยการศึกษาประสิทธิภาพการคุณชั้บ และการศึกษาไอโซเทอมการคุณชั้บ มีวิธีการทดลองโดยการทำตามวิธีของ จักรกฤษณ์ อัมพุช [3] ยกเว้น ใช้ปริมาณแร่ดินเท่ากับ 0.5 g

#### 5. การศึกษาอัตราผลลัพธ์ของการคุณชั้บ

การศึกษาอัตราผลลัพธ์ของการคุณชั้บสีข้อมผ้า มีวิธีการทดลองโดยการทำตามวิธีของ จักรกฤษณ์ อัมพุช [3] ยกเว้น จะเปลี่ยนมาใช้ปริมาตรของสารละลายเป็น 800 mL ปริมาณแร่ดิน 0.4 g และศึกษาในเครื่อง Jar-test

#### ผลการทดลองและวิจารณ์

##### 1 ประสิทธิภาพการคุณชั้บสีข้อมผ้า

ประสิทธิภาพการคุณชั้บสีข้อมผ้า สามารถคำนวณได้จากเบอร์เช็นต์การกำจัดสีข้อมผ้าดังสมการ (1)

$$\% Removal = \frac{(C_0 - C_e)}{C_0} \times 100 \quad (1)$$

โดย  $C_0$  คือ ความเข้มข้นเริ่มต้นของสีข้อมผ้าในน้ำ (mg/L) และ  $C_e$  คือ ความเข้มข้นที่สภาวะสมดุลของสีข้อมผ้าในน้ำ (mg/L)

เบอร์เช็นต์การกำจัดสีข้อมผ้าแสดงไว้ในตารางที่ 1 แร่ดินมอนต์moriliteเคลือบผิวด้วยไฮโดรเจนมีเบอร์เช็นต์การกำจัดสูงกว่าแร่ดินมอนต์มอริลิตolineในธรรมชาติ การที่แร่ดินมอนต์มอริลิตolineเคลือบผิวด้วยไฮโดรเจนสามารถคุณชั้บสีข้อมผ้าได้มากกว่านั้น เนื่องจากโมเลกุลของไฮโดรเจนเข้าไปยึดจับกับพื้นผิวของแร่ดินมอนต์มอริลิตolineและแทรกเข้าไปอยู่ในช่องระหว่างชั้นดินส่งผลให้ค่า 20 มิลลิลตรัมดังแสดงไว้ในรูปที่ 3 จึงทำให้แร่ดินมีช่องระหว่างชั้นดินที่กว้างขึ้นและทำให้ขนาดของรูพรุนเฉลี่ยใหญ่กว่าแร่ดินมอนต์มอริลิตolineธรรมชาติอีกด้วย ทำให้สีข้อมผ้าเข้าไปยึดจับกับแร่ดินได้มากขึ้นทั้งพื้นที่ผิวนอก และพื้นที่ในช่องระหว่างชั้นดิน [8]

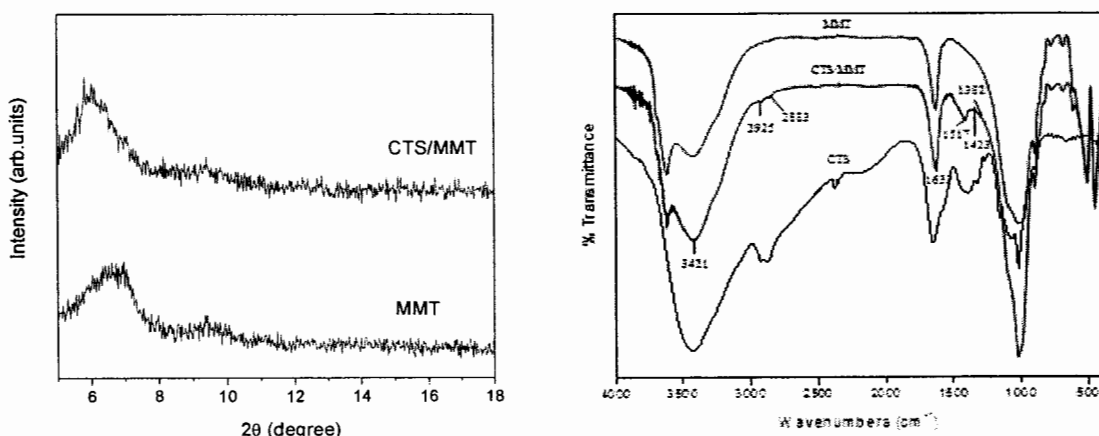
ตารางที่ 1 ประสิทธิภาพการกำจัดสีข้อมผ้า และปริมาณสารอินทรีย์ในสีข้อมผ้าและตัวคุณชั้บ

ชนิดสี	% การกำจัดสีข้อมผ้า		% Organic matter	
	CTS/MMT	MMT	ผงสีข้อมผ้า	แร่ดิน CTS/MMT หลังคุณชั้บ
สีเขียวหัวเป็ด	18.29	4.73	19.13	33.33
สีคราม	97.71	40.29	3.61	40.49
สีเดือดหมา	96.49	33.88	21.74	35.17
สีไฟเน่า	61.22	16.62	21.78	34.45
สีแดงแก่	93.44	30.60	8.71	37.90

หมายเหตุ แร่ดิน MMT มีปริมาณสารอินทรีย์ก่อนการคุณชั้บเท่ากับ 0.00 %

แร่ดิน CTS/MMT มีปริมาณสารอินทรีย์ก่อนการคุณชั้บเท่ากับ 26.28 %

จากรูปที่ 4 พบว่า ที่ความถี่  $3421\text{ cm}^{-1}$  ของ CTS/MMT จะพบหมู่ฟังก์ชัน O-H และ N-H (ส่วน MMT จะพบหมู่ฟังก์ชัน -OH และ น้ำ) ที่ความถี่  $2925\text{ cm}^{-1}$  และ  $1423\text{ cm}^{-1}$  พบหมู่ฟังก์ชัน C-H (Methyl) ส่วนที่ความถี่  $2883\text{ cm}^{-1}$  และ  $1382\text{ cm}^{-1}$  พบหมู่ฟังก์ชัน C-H (Methylene) และที่ความถี่  $1517\text{ cm}^{-1}$  พบหมู่ฟังก์ชัน N-H (Amine) แต่สำหรับในแร่ดินมอนต์moril โลในตัวธรรมชาติจะไม่พบเลย และที่ความถี่  $1633\text{ cm}^{-1}$  ของ CTS/MMT พบหมู่ฟังก์ชัน NH-CO (ส่วน MMT จะพบหมู่ฟังก์ชัน -OH และ น้ำ) ดังนั้นจึงสามารถอ้างอิงได้ว่ามีโมเลกุลของไคโ拓ชานอยู่ในตัวคุณชั้บแร่ดินมอนต์moril ไลด์เคลือบผิวด้วยไคโ拓ชานจริง



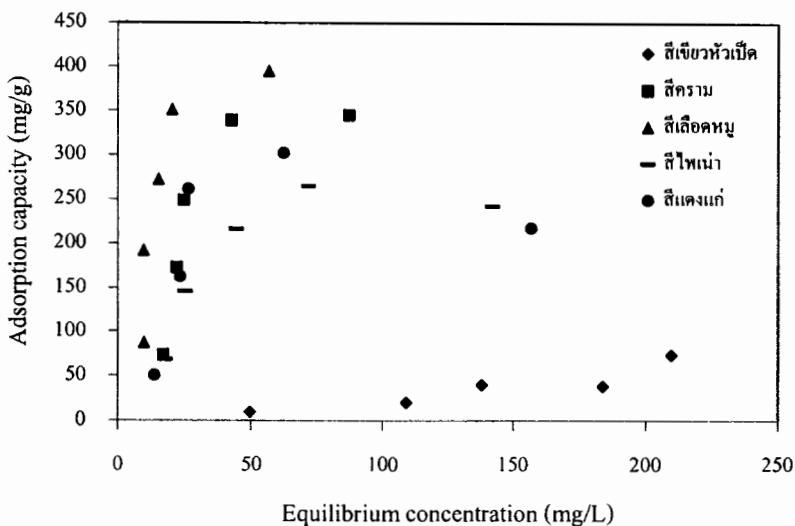
รูปที่ 3 ผลการวิเคราะห์ด้วยเครื่อง XRD ของ MMT และ CTS/MMT

รูปที่ 4 สเปกตรัม FTIR ของ MMT, CTS/MMT และ CTS

จากตารางที่ 1 พบว่า แร่ดินมอนต์moril ไลด์เคลือบผิวด้วยไคโ拓ชาน (CTS/MMT) และผงสีข้อมผ้าทั้ง 5 ชนิดจะมีสารอินทรีย์เป็นองค์ประกอบส่วนในแร่ดินมอนต์moril โลในตัวธรรมชาติ (MMT) จะไม่มีสารอินทรีย์อยู่เลย โดยพิจารณาจากปริมาณสารอินทรีย์สำหรับในแร่ดินมอนต์moril ไลด์เคลือบผิวด้วยไคโ拓ชาน (CTS/MMT) ก่อนการคุณชับจะมีสารอินทรีย์อยู่ประมาณ 26.28 % แต่ในแร่ดินมอนต์moril ไลด์เคลือบผิวด้วยไคโ拓ชานหลังการคุณชับสีข้อมผ้าทั้ง 5 ชนิด พบว่ามีปริมาณสารอินทรีย์สูงกว่า ดังนั้นจึงสามารถพิสูจน์ได้ว่าแร่ดินมอนต์moril ไลด์เคลือบผิวด้วยไคโ拓ชานเกิดการคุณชับสีข้อมผ้าจริง

## 2 ไอโซเทอมการคุณชับสีข้อมผ้า

ไอโซเทอมของการคุณชับ เป็นความสัมพันธ์ระหว่างปริมาณของตัวคุณคุณชับที่อยู่บนพื้นผิวด้วยของตัวคุณชับกับความเข้มข้นของตัวคุณคุณชับในของเหลวที่สภาวะสมดุล อยู่หมุนเวียน ไอโซเทอมของการคุณชับเป็นแบบจำลองที่อธิบายได้โดยสมการซึ่งมีประโยชน์สำหรับการวิเคราะห์กตไกรการคุณชับ ส่วนใหญ่พฤติกรรมของการคุณชับในของเหลวจะมีความสอดคล้องกับไอโซเทอมการคุณชับแบบแลงเมียร์ (Langmuir) และแบบฟรุนเดิช (Freundlich) [8] ปริมาณของสีข้อมที่ถูกคุณชับสามารถคำนวณได้จากสมดุลมวลสาร [9]



รูปที่ 5 ไอโซเทอมการดูดซับสีข้อมผ้าด้วยแร่ดินมอนต์อิริลโลไนต์เคลือบผิวด้วยไกโคชาน

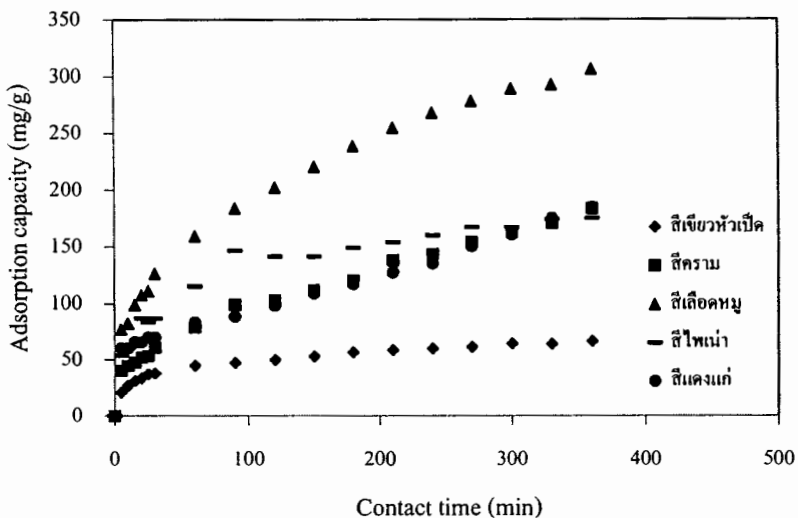
จากรูปที่ 5 พบว่า ไอโซเทอมการดูดซับสีข้อมผ้าส่วนใหญ่มีความสอดคล้องกับ ไอโซเทอมการดูดซับแบบแลงเมียร์ ยกเว้นสีเขียวหัวเป็ดซึ่งสอดคล้องกับ ไอโซเทอมการดูดซับแบบฟรุนเดิช โดยพิจารณาจากค่า  $R^2$  ในตารางที่ 4

ตารางที่ 4 ค่าคงที่ของไอโซเทอมการดูดซับแบบ Langmuir และ Freundlich ของสีข้อมผ้า

ชนิดสี	ไอโซเทิร์มแบบ Langmuir			ไอโซเทิร์มแบบ Freundlich		
	$q_m$ (mg/g)	b (L/mg)	$R^2$	$K_f$ (L/g)	n	$R^2$
สีเขียวหัวเป็ด	-	-	0.8764	3.270	1.584	0.9725
สีคราม	454.546	0.042	0.9271	-	-	0.6330
สีเดือดหมม	476.191	0.101	0.9764	-	-	0.5886
สีไวน่า	277.778	0.063	0.9762	-	-	0.7050
สีแดงแก่	222.222	0.563	0.9720	-	-	0.4016

### 3 ผลพัฒนาการดูดซับสีข้อมผ้า

อัตราการดูดซับสีข้อมผ้าจะพิจารณาระยะเวลาในการเข้าสู่สมดุลของการดูดซับสีข้อมผ้า ดังแสดงในรูปที่ 6 กราฟความสัมพันธ์ระหว่างปริมาณการดูดซับกับเวลาสัมผัส พบว่า ปริมาณการดูดซับของสีข้อมผ้าเพิ่มขึ้นตามระยะเวลาที่เพิ่มขึ้น สีเขียวหัวเป็ดและสีไวน่าจะเข้าสู่สมดุลการดูดซับเร็วที่สุด (ประมาณ 120 นาที) ส่วนสีข้อมผ้าที่เหลือน่าจะมีระยะเวลาเข้าสู่สมดุลนานกว่า 360 นาที นอกจากนี้ ยังพบว่า กลไกการดูดซับสีข้อมผ้าส่วนใหญ่มีความสอดคล้องกับทั้งอัตราการดูดซับอันดับหนึ่งเทิบมและอันดับสองเทิบม ยกเว้นสีแดงแก่จะสอดคล้องกับอัตราการดูดซับอันดับสองเทิบมอย่างเดียว โดยพิจารณาจากค่า  $R^2$  ในตารางที่ 5



รูปที่ 6 กราฟความสัมพันธ์ระหว่างปริมาณการดูดซับของสีข้อมผ้าเทียนกับเวลาล้างผ้า

เพื่อทำการทำนายกลไกอัตราการดูดซับ ผลการทดลองจะถูกนำมาพิจารณาด้วยสมการกลไกการดูดซับ อันดับหนึ่งเทียน (Pseudo-first order) และสมการการดูดซับอันดับสองเทียน (Pseudo-second order) [8] อัตราการ ดูดซับขึ้นอยู่กับขั้นตอนในการเพรช่องตัวถูกดูดซับ ว่าขั้นตอนใดเกิดขึ้นช้าที่สุด ขั้นตอนนั้นจะเป็นขั้นตอน กำหนดอัตราการดูดซับ [10]

ตารางที่ 5 ค่าคงที่ของสมการอันดับหนึ่งเทียนและสมการอันดับสองเทียนของการดูดซับสีข้อมผ้า

ชนิดสี	$q_{e,exp}$ (mg/g)	สมการอันดับหนึ่งเทียน (Pseudo-first order)			สมการอันดับสองเทียน (Pseudo-second order)		
		$k_1$ ( $\text{min}^{-1}$ )	$q_{e,cal}$ (mg/g)	$R^2$	$k_2$ ( $\text{g}/\text{mg} \cdot \text{min}$ )	$q_{e,cal}$ (mg/g)	$R^2$
สีเขียวหัวเป็ด	66.025	$8.80 \times 10^{-3}$	43.978	0.9672	$6.68 \times 10^{-4}$	66.667	0.9910
สีคราม	183.678	$6.50 \times 10^{-3}$	161.451	0.9615	$9.639 \times 10^{-5}$	185.185	0.9415
สีเดือดหมู	306.118	$8.30 \times 10^{-3}$	256.364	0.9835	$7.38 \times 10^{-5}$	322.581	0.9758
สีไวน่า	175.354	$9.10 \times 10^{-3}$	145.795	0.9500	$2.18 \times 10^{-4}$	181.818	0.9920
สีแดงแก่	184.714	-	-	0.8696	$1.17 \times 10^{-4}$	178.571	0.9218

หมายเหตุ  $q_{e,exp}$  คือ ปริมาณของสีข้อมที่ถูกดูดซับที่สภาวะสมดุลจากการทดลอง (mg/g)

$q_{e,cal}$  คือ ปริมาณของสีข้อมที่ถูกดูดซับที่สภาวะสมดุลจากการคำนวณ (mg/g)

## สรุป

การปรับปรุงแร่ดินอนต์มอริลโลในตัวยาไดโอดีไซด์ ไอโคโตกานส์เพื่อให้ได้ผลลัพธ์ที่ดีกว่าเดิม สำหรับการดูดซับสีข้อมผ้า ผลลัพธ์แสดงว่าปรับปรุงแร่ดินอนต์มอริลโลในตัวยาไดโอดีไซด์ ไอโคโตกานส์ สามารถลดเวลาล้างสีลงได้มากกว่าเดิม แต่ยังคงประสิทธิภาพดูดซับสีข้อมผ้าไว้

เข้าไปปีกจับกับพื้นผิวของแร่ดินมอนต์มอริลโลไนต์และแทรกเข้าไปอยู่ในช่องว่างระหว่างชั้นดิน ดังนี้จึงทำให้มีประสิทธิภาพในการดูดซับสีข้อม้าหัว 5 ชนิดมีค่าสูงกว่าแร่ดินมอนต์มอริลโลไนต์ธรรมชาติ จากการหาเว็บสารอินทรีย์พบว่า แร่ดิน CTS/MMT และผงสีข้อม้าหัว 5 ชนิด มีสารอินทรีย์เป็นองค์ประกอบ ส่วนในแร่ดิน MMT จะไม่มีสารอินทรีย์อยู่เลย และปริมาณสารอินทรีย์ในตัวดูดซับหลังการดูดซับมีค่ามากกว่าก่อนการดูดซับ แสดงว่าปริมาณสารอินทรีย์ส่วนที่เกินมาันเป็นของสีข้อม้าหัว ซึ่งสามารถยืนยันได้ว่าสีข้อม้าหัวถูกดูดซับไว้ที่ผิวของตัวดูดซับจริง นอกจากนั้น ไอโซเทอมการดูดซับสอดคล้องกับ ไอโซเทอมการดูดซับแบบแลงเมียร์ ยกเว้นสีเขียวหัวเป็ดที่ไอโซเทอมสอดคล้องกับ ไอโซเทอมของฟรุนดิช พารามิเตอร์เชิงสมดุลของ ไอโซเทอมแบบแลงเมียร์ ที่ได้คือ  $q_m$  อยู่ในช่วง  $222.222-476.191 \text{ mg/g}$  และ ไอโซเทอมแบบฟรุนดิชที่ได้คือ  $K_f$  มีค่าเท่ากับ  $3.270 \text{ L/g}$  สำหรับการศึกษาลงผลศาสตร์การดูดซับ พบว่า อัตราการดูดซับสอดคล้องกับสมการอัตราการดูดซับอันดับหนึ่ง และสองเที่ยม พารามิเตอร์เชิงลงผลศาสตร์ของสมการอัตราการดูดซับอันดับหนึ่งเที่ยมคือ  $k_1$  อยู่ในช่วง  $6.50 \times 10^{-3} - 9.10 \times 10^{-3} \text{ min}^{-1}$  และสมการอัตราการดูดซับอันดับสองเที่ยมคือ  $k_2$  อยู่ในช่วง  $7.38 \times 10^{-5} - 6.68 \times 10^{-4} \text{ g/mg} \cdot \text{min}$

### กิตติกรรมประกาศ

ขอขอบพระคุณภาควิชาวิศวกรรมเคมี คณะวิศวกรรมศาสตร์ มหาวิทยาลัยอุบลราชธานี ที่ได้ให้ความอนุเคราะห์สถานที่ เครื่องมือและอุปกรณ์ต่าง ๆ ในการทดลองเป็นอย่างดี และขอขอบพระคุณ โครงการทุนนักวิจัยหน้าใหม่ ที่ให้การสนับสนุนด้านทุนวิจัย

### เอกสารอ้างอิง

- [1] McKay, G. 1996. Use of adsorbents for the removal of pollutants from wastewaters. New York: CRC Press.
- [2] Charuwong, P. and Kiattikomol, R. 2004. Removal of Organic Compounds from Aqueous Solution by Montmorillonite clays and Organo-clays. Suranaree J. Sci. Technol. 11: 39-51.
- [3] จักรกฤษณ์ อัมพุช. 2549. การกำจัดสีข้อม้าหัวในน้ำทึบจากการกระบวนการย้อมผ้าในระดับอุดสาหกรรมครัวเรือน โดยใช้แร่ดินมอนต์มอริลโลไนต์. วิทยานิพนธ์ปริญญาวิศวกรรมศาสตร์มหาบัณฑิต : มหาวิทยาลัยเทคโนโลยีสุรนารี.
- [4] Almeida, C.A.P., Debacher, N.A., Downs, A.J., Cottet, L. and Mello, C.A.D. 2009 Removal of methylene blue from colored effluents by adsorption on montmorillonite clay. Journal of Colloid and Interface Science 332: 46-53.
- [5] Detel, S.K., Jamrah, A.L. and Sparks, D.L. 1998. Sorption and co-sorption of 1,2,4-trichloro-benzene and tannic acid by organo-clays. Water Research. 32:3689–3697.
- [6] An, J.-H. and Dultz, S. 2007. Adsorption of tannic acid on chitosan-montmorillonite as a function of pH and surface charge properties. Applied Clay Science 36: 256-264.
- [7] Ohtsuka, K. 1997. Preparation and properties of two-dimensional microporous pillared interlayer solids. Chem. Matter 9: 2039-2050.

- [8] Wang, L. and Wang, A. 2007 Adsorption characteristics of Congo Red onto the chitosan/montmorillonite nanocomposite. *Journal of Hazardous Materials* 147: 979-985.
- [9] Seader, J.D. and Henley, J.E. 1998. *Separation process principles*. New York: John Wiley & Sons.
- [10] เดชา ฉัตรศิริเวช. 2552. กระบวนการกรดซับ. พิมพ์ครั้งที่ 1. กรุงเทพมหานคร : สำนักพิมพ์แห่งจุฬาลงกรณ์มหาวิทยาลัย.

## Removal of Azo Dyes from Aqueous Solution by using Chitosan-coated-Montmorillonite clay

S. Sakaew<sup>1</sup>, C. Umpuch<sup>1,2\*</sup>

<sup>1</sup> Department of Chemical Engineering, Faculty of Engineering,  
Ubon Ratchathani University, Ubon Ratchathani, 34190, Thailand

<sup>2</sup> National Center of Excellence for Environmental and Hazardous Waste Management, Ubon  
Ratchathani University, Ubon Ratchathani, 34190, Thailand

\*e-mail: Jaggrit@hotmail.com

---

**Abstract** – In this study, montmorillonite clay (MMT) was modified by chitosan to form a nanocomposite: chitosan-coated montmorillonite (CTS/MMT) and used as the adsorbent for the removal of two azo dyes, reactive black (RB5) and methyl orange (MO), from aqueous solution by the batch adsorption technique. The MMT and CTS/MMT samples were characterized by X-ray diffraction (XRD) and CHNS-analyzer. Batch adsorption experiment was divided into 3 parts. Firstly, the dye removal efficiency was investigated. It was observed that CTS/MMT provides higher removal efficiency of both dyes than that of MMT. Secondly, the dye equilibrium adsorption was investigated and the equilibrium data was fitted by Langmuir and Freundlich equations. It was demonstrated that the experimental results are better fitted to Langmuir isotherm. Finally, the kinetic adsorption was studied by studying effect of contact time and fitting the experimental data to pseudo-first-order and pseudo-second-order kinetic models. The results indicate that the adsorption rate is initially rapid and reaches equilibrium at 60 min and the experimental results follows pseudo-second order kinetic model with the best correlation.

**Keyword:** *adsorption, azo dye, chitosan-coated-montmorillonite, isotherm, kinetic adsorption*

---

## 1. Introduction

Presently, textile industries are much larger scale-up to increase the amount of products. Reactive dyes, which contains at least one azo bond (-N=N-) bearing aromatic rings, are the most common dyes used due to their advantages such as bright colors, excellent color fastness and ease of applications [1]. Many reactive dyes are toxic to some organisms and may cause direct destruction of creatures in water. In addition, since reactive dyes are highly soluble in water, their removal from effluent is difficult by using conventional physicochemical and biological treatment methods [2].

MMT is the natural matter, low cost and high support in Thailand. The inner layer of MMT composes of an alumina ( $\text{Al}_2\text{O}_3$ ) complex octahedral sheet, which is situated between two silica ( $\text{SiO}_4$ ) tetrahedral sheets. The substitution of  $\text{Al}^{3+}$  for  $\text{Si}^{4+}$  in the tetrahedral layer and  $\text{Mg}^{2+}$  or  $\text{Fe}^{2+}$  for  $\text{Al}^{3+}$  in the octahedral layer results in a net negative charge on the layer surfaces. Naturally, the negative charge in the interlayer is compensated with cations such as  $\text{Na}^+$ , or  $\text{Ca}^{2+}$ . When MMT dissolves in water, it swells due to cations accumulation in the interlayer enhancing its basal spacing. Since the charge on the clay surface is negative, it can highly adsorb cationic dye such as methylene blue [3].

Chitosan (CTS) is the N-deacetylated derivative of chitin and the second most plentiful natural biopolymer. As a well-known sorbent, CTS is widely used for the removal of heavy, transition metals and dyes because amine group (-NH<sub>2</sub>) and hydroxyl group (-OH) on the polymer chain of CTS can adsorb both cationic and anionic molecules [4]. Nevertheless, CTS has some limitation that is the weak mechanical property and low specific gravity so it swells and floats when dissolves in water. To improve this limitation, it is immobilized on the negatively charged MMT surface to form nanocomposite such CTS/MMT. Therefore, the objective of this research was to study adsorption of two azo dyes by using MMT and CTS/MMT as adsorbents in batch adsorption test.

## 2. RESEARCH METHODOLOGY

### 2.1 Materials

The commercial montmorillonite (MMT) was supplied by Thai Nippon Chemical Industries Co. Ltd., Thailand and was used without further

purification. The chemical composition (wt%) of the MMT was  $\text{SiO}_2$ : 56-60% and  $\text{Al}_2\text{O}_3$ : 16-18%. The cation exchange capacity (CEC) of this clay was 0.8 meq/g. The chitosan (CTS) was purchased from Sigma-Aldrich. The azo dyes used were reactive black 5 (RB5) and methyl orange (MO) obtained from Asia Pacific Specialty.

### 2.2 Preparation of chitosan-coated-montmorillonite

An amount of 1.0 g of MMT dissolved in 100 mL distilled water and 100 mL of 2g/L chitosan solution were added into a batch reactor. The mixing was done by stirring at constant speed 200 rpm for 1 h at room temperature (25°C). The pH of suspension was adjusted to 7.0-7.5 by 0.1M NaOH or 0.1M HCl solutions and let it in gel for 30 min. The formed composite was filtrated and washed with distilled water and then dried at 40°C for 12 h. All samples as adsorbents were ground into powder to pass through a 200-mesh sieve, and stored in desiccators. The adsorbents were characterized by X-ray power diffractometer (XRD). The intercalation of chitosan onto MMT surface was confirmed by using CHNS-analyzer.

### 2.3 Batch adsorption test

All adsorption experiments were carried out on a mechanical shaker at 200 rpm using 250 mL Erlenmeyer flasks. A series of adsorption experiment were carried out at room temperature (25°C). The first experiment was to study the isotherm. 100 mL of dye solutions with different initial concentrations of 50, 100, 150, 200 and 250 ppm were prepared. Then, the dye solution and 0.1 g of CTS/MMT was added into the flasks and then horizontally shaken for 24 h at 200 rpm and then centrifuged at 30,000 rpm for 1 hr. The supernatant was measured absorbance by using UV-spectrophotometer at  $\lambda_{\text{max}}$  equal to 614 nm and 520 nm for RB5 and MO, respectively. The second experiment the effect of contact time and kinetic study was carried out. 200mL of 200 mg/L dye solution and 0.1 g of CTS/MMT was added into the flasks and then shaken horizontally for contact time ranging from 5 to 12 h. The samples were collected in certain time interval and then treated as the procedure in the first experiment.

### 3. RESULT AND DISCUSSION

#### 3.1 Properties of MMT and CTS/MMT

The content of C, H and N of CTS/MMT was higher than that of MMT. This confirms that the CTS were intercalated to the surface and interlayer of MMT. It causes wider interlayer in CTS/MMT. The  $d_{001}$  reflection for basal spacing determined by XRD was found to shift from 1.27 nm (original clay) to 1.40 nm in CTS/MMT.

#### 3.2 Adsorption isotherms of azo dyes

The percent removal of RB5 and MO adsorbed onto CTS/MMT was 73.33% and 67.33%, respectively, whereas that of MMT was 1.85% for RB5 and 2.15% for MO so that adsorption equilibrium and kinetic adsorption test were carried with only CTS/MMT.

Fig. 1 shows adsorption isotherms of RB5 and MO dyes adsorbed onto CTS/MMT constructed by plotting equilibrium quantity of azo dye adsorbed on CTS/MMT:  $q_e$  (mg adsorbed azo dye/g adsorbent) versus equilibrium dye concentration:  $C_e$  (mg/L). The equilibrium experimental data was fitted to Langmuir's and Freundlich's equation to determine model parameters for both dyes as shown in Table 1.

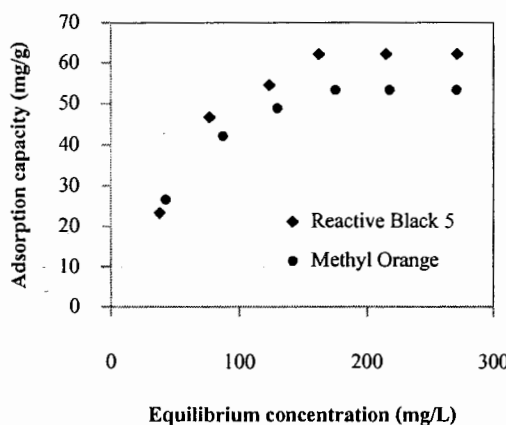


Fig. 1. Adsorption isotherms of RB5 and MO adsorbed onto CTS/MMT ( $C_0$  50–200 mg/L, 0.1g adsorbent, 25°C)

The Langmuir [5] isotherm is valid for monolayer adsorption onto a surface with a finite number of identical sites. The Langmuir model is based on the assumption of adsorption homogeneity, such as equally available adsorption sites, monolayer surface coverage, and no interaction between adsorbed species. If azo dyes adsorption follows the Langmuir model, the adsorption process can be expressed as:

$$\frac{C_e}{q_e} = \frac{1}{bq_m} + \frac{C_e}{q_m} \quad (1)$$

where  $q_m$  (mg/g) the maximum adsorption capacity and  $b$  is the Langmuir constant related to the rate of adsorption. The Langmuir equation obeys Henry's law at low concentration.

The Freundlich [6] equation is the empirical relationship whereby it is assumed that the adsorption energy of dye binding to a site on an adsorbent depends on whether or not the adjacent sites are already occupied. The Freundlich isotherm model is usually adopted for heterogeneous adsorption. One limitation of the Freundlich model is that the amount of adsorbed solute increases indefinitely with the concentration of solute in the solution. This isotherm can be described as follows:

$$\ln q_e = \log k_f + \frac{1}{n} \log C_e \quad (2)$$

where  $k_f$  (mg/g)(L/g)<sup>1/n</sup> and  $n$  are the physical constants of the Freundlich adsorption isotherm. The  $k_f$  and  $n$  are indicators of the adsorption capacity and adsorption intensity, respectively.  $N$  is a constant representing the mutual interaction of sorbed species. Experimental values of  $n$  are usually greater than unity and this means that the forces between the sorbed molecules are repulsive. In addition, the closer the  $n$  value of the Freundlich sorption equations is the zero, the more heterogeneous is the system.

The equilibrium data was fitted to Langmuir and Freundlich isotherms. The results shows best fit to Langmuir isotherm for both RB5 and MO indicating the monolayer of dye molecules covers along CTS/MMT surface. The maximum monolayer capacity was 64.51 mg/g for RB5 and 54.64 mg/g for MO.

Table 1. Adsorption parameters of Langmuir and Freundlich isotherms

RB5		
Equilibrium model	parameter	Value
Langmuir isotherm	$q_{\max}$ (mg/g)	64.51
	$b$ (L/mg)	0.010
	$R^2$	0.9685
Freundlich isotherm	$k_f$ (mg/g)(L/g) <sup>1/n</sup>	4.53
	$n$	2.07
	$R^2$	0.8565
MO		
Equilibrium model	parameter	Value
Langmuir isotherm	$q_{\max}$ (mg/g)	54.64
	$b$ (L/mg)	0.009
	$R^2$	0.9880
Freundlich isotherm	$k_f$ (mg/g)(L/g) <sup>1/n</sup>	4.37
	$n$	2.13
	$R^2$	0.8917

### 3.3 Adsorption kinetics of azo dyes

Adsorption rate of both dyes onto CTS/MMT was illustrated in Fig. 2. It was found that the adsorption capacity rapidly increased and reached equilibrium within 60 min.

The relationship between quantities of azo dye adsorbed on CTS/MMT:  $q_t$  (mg adsorbed dye/g CTS/MMT) versus time  $t$  (min) was constructed to analyze the effect of contact time to the adsorption efficiency. Moreover, the kinetic data were analyzed by applying pseudo-first-order and pseudo-second-order models in order to gain a better understanding of the adsorption process.

Pseudo-first order kinetic model [7] is the earliest known one describing the adsorption rate based on the adsorption capacity. The pseudo-first-order rate expression is generally expressed as follows:

$$\ln(q_e - q_t) = \log q_e - k_1 t \quad (3)$$

where  $k_1$  is the rate constant of first-order adsorption. The pseudo-first-order equation does not fit well for whole range of contact time and is in generally applicable over the initial 20-30 min of the sorption process.

Pseudo-second order kinetic model [8] was developed by Ho in 1995. The fitting of experimental data and second-order kinetic expression for the sorption systems of dye using CTS/MMT was obtained in which chemical sorption is the rate-limiting step. It is expressed as:

$$\frac{t}{q_t} = \frac{1}{k_2 q_e^2} + \frac{t}{q_e} \quad (4)$$

where  $k_2$  is the rate constant of second-order adsorption.

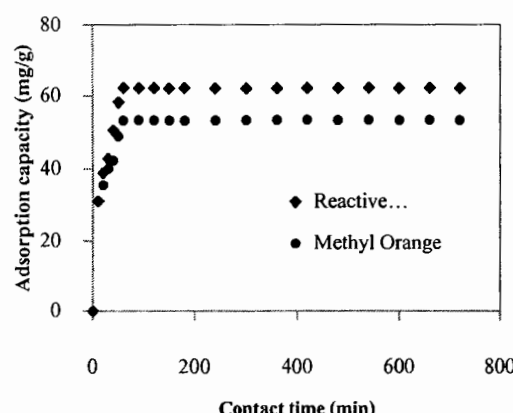


Fig. 2. Effect of contact time on the adsorption of RB5 and MO onto CTS/MMT ( $C_0$  200 mg/L, 0.1g adsorbent, 200 rpm and 25°C)

The experimental data conform to Pseudo-second-order kinetic with good correlation. The kinetic rate constants were  $3.17 \times 10^{-2}$  g/mg.min for RB5 and  $4.27 \times 10^{-3}$  g/mg.min for MO. This indicates that the adsorption rate was controlled by chemical adsorption [9].

Table 2. Adsorption parameters of pseudo-first and pseudo-second order model

RB5		
Kinetic model	parameter	Value
Pseudo-first-order	$k_1$ (g/mg.min)	$3.65 \times 10^{-2}$
	$q_{e,cal}$	54.64
	$R^2$	0.9279
Pseudo-second-order	$k_2$ (g/mg.min)	$3.17 \times 10^{-2}$
	$q_{e,cal}$ (mg/g)	52.89
	$R^2$	0.9997
MO		
Kinetic model	parameter	Value
Pseudo-first-order	$k_1$ (g/mg.min)	$4.23 \times 10^{-2}$
	$q_{e,cal}$	44.59
	$R^2$	0.9276
Pseudo-second-order	$k_2$ (g/mg.min)	$4.27 \times 10^{-3}$
	$q_{e,cal}$ (mg/g)	53.76
	$R^2$	0.9998

## 4. CONCLUSIONS

The intercalation of CTS in MMT structure producing CTS/MMT causes higher RB5 and MO dyes removal efficiency. The equilibrium data conforms to Langmuir isotherm and the adsorption rate rapidly increased and reached to equilibrium within 60 min and the result was better fitted to pseudo-second order kinetic model. The CTS/MMT is effective adsorbent for remove azo dyes.

## 5. ACKNOWLEDGEMENT

The authors gratefully acknowledge the environmental engineering program in department of chemical engineering, Faculty of engineering, Ubon Ratchathani University for financial support.

## REFERENCES

- A.A. Ahmad, B.H. Hameed, Fixed-bed adsorption of reactive azo dye onto granular activated carbon prepared from waste. *J. Hazard Mater* 175 (2010) 298-303.
- D. Fan, X. Zhu, J. Yan, Adsorption properties of Chromium (VI) by chitosan coated montmorillonite, *J. Bio. Sci.* 6(5) (2006) 941-945.
- R. Wibulswas, Batch and fixed bed sorption of methylene blue on precursor and QACs modified montmorillonite, *Sep and Purif Technol* 39 (2004) 3-12.
- F.C. Wu, R.L. Tseng, R.S. Juang, Enhanced abilities of highly swollen chitosan beads for color removal and

- tyrosinase immobilization, *J. Hazard Mater.* **B81** (2001) 167-177.
- V. Lugo-Lugo, S. Hernandez-Lopez, C. Barrear-Diaz, F. Urena-Nunez, and B. Bilyeu, A comparative study of natural, formaldehyde-treated and copolymer-grafted orange peel for Pb(II) adsorption under batch and continuous mode, *J Hazard Mater.* **161** (2009) 1255-1264.
- M. Ajmal, R.A.K. Rao, R. Ahmad, and J. Ahmad, Adsorption studies on Citrus reticulata (fruit peel of orange): removal and recovery of Ni(II) from electroplating wastewater, *J Hazard Mater.* **B79** (2000) 117-131.
- S. Lagegren, B.K. Svenska, Zur theorie der sogenannten adsorption geloester stoffe, *Vaternskapsakad handlingar*, **24(4)** (1898), 1-39.
- Y.S. Ho, G. Mckay, "Sorption of dye from aqueous solution by peat, *Chem Eng J* **70** (1998) 115-124.
- N. Feng, G. Xueyi, S. Liang, Adsorption study of copper (II) by chemically modified orange peel, *J. Hardzd.Mater* **164** (2009) 1286-1292.

## ประวัติผู้วิจัย

ชื่อ	นายทรงศักดิ์ สาระแก้ว
วัน เดือน ปี เกิด	26 มิถุนายน 2530
ประวัติการศึกษา	วิศวกรรมศาสตรบัณฑิต (วิศวกรรมเคมีและชีวภาพ) มหาวิทยาลัยอุบลราชธานี, พ.ศ. 2552
นำเสนอผลงานในการประชุมวิชาการ	ทรงศักดิ์ สาระแก้ว และจารุกรฤษณ์ อัมพุช. “การกำจัดสี ข้อม้าจากน้ำเสียสังเคราะห์โดยใช้แร่ดินมองต์morillonite ออนไลน์เคลือบพิเศษไคโตซาน”, ใน <u>การประชุม</u> <u>วิชาการสิ่งแวดล้อมแห่งชาติครั้งที่ 10.</u> น.31. สงขลา : สมาคมวิศวกรรมสิ่งแวดล้อมแห่งประเทศไทย, 2554.  Sakaew, S. and Umpuch, C. “Removal of Azo Dyes from Aqueous Solution by using Chitosan-coated- Montmorillonite clay”, <u>Thailand Chemical</u> <u>Engineering and Applied Chemistry Conference</u> <u>(TICChE) International Conference 2011.</u> p.52.  Songkhla : The Thai Institute of Chemical Engineering and Applied Chemistry, 2011.  Umpuch, C. and Sakaew, S. “Removal of commercial blue dye from water onto Chitosan-coated- Montmorillonite in fixed bed”, <u>Thailand Chemical</u> <u>Engineering and Applied Chemistry Conference 2011.</u> p.T-31. Songkhla : The Thai Institute of Chemical Engineering and Applied Chemistry, 2011.